

ZAKŁAD GEOFIZYKI
POLSKIEJ AKADEMII NAUK

MATERIAŁY I PRACE

29

PUBLICATIONS
DE L'INSTITUT DE GÉOPHYSIQUE
DE L'ACADÉMIE POLONAISE DES SCIENCES

RÉSULTATS
DES ENREGISTREMENTS SÉISMOLOGIQUES
DANS LES OBSERVATOIRES POLONAIIS
1965

PAŃSTWOWE WYDAWNICTWO NAUKOWE
WARSZAWA 1969

Redaktor Naczelny

Roman TEISSEYRE

Adres Redakcji

Zakład Geofizyki Polskiej Akademii Nauk
Warszawa, ul. Pasteura 3

Sekretarz Redakcji

Wacław KOWALSKI

Printed in Poland

Państwowe Wydawnictwo Naukowe
Oddział w Łodzi 1969

Wydanie I. Nakład 330 + 90 egz. Ark. wyd. 14,25. Ark. druk. 10,50. Papier druk sat. kl. III. 80 g. 70 × 100. Oddano do druku 23. VII. 1969 r. Druk ukończono w sierpniu 1969 r. Zam. nr 158 B-8. Cena zł 43,-

Zakład Graficzny PWN
Łódź, ul. Gdańska 162

INTRODUCTION

La publication que nous vous présentons ici est un recueil des résultats d'enregistrement séismologique des observatoires de l'Institut de Géophysique de l'Académie Polonaise des Sciences à Kraków, Racibórz et Rybnik, dans les observatoires de l'Institut Central des Mines (GIG) à Dąbrowa Górnicza, Bytom, Zabrze, Bobrek, ainsi qu'à la Station Séismologique de l'Observatoire Astronomique et du Planétarium à Chorzów. En 1965, les observatoires de l'Institut de Géophysique à Warszawa et Niedzica étaient inactifs pour cause de Nemise à neuf en état des caves.

La première partie de la publication comprend l'élaboration des secousses distantes ainsi que des secousses locales mais qui ne proviennent pas de la région silésienne. L'identification des secousses distantes s'appuie sur des données accessibles des centres séismologiques de BCIS, USCGS, Moskva. Les valeurs des magnitudes des secousses dont les distances épacentrales sont $\geq 5^{\circ}$ furent notées dans les observatoires de Kraków, Racibórz et Rybnik, à l'aide des amplitudes d'ondes volumétriques (m) et d'ondes superficielles (M).

La deuxième partie comporte une étude comparative des secousses de Haute Silésie, enregistrées par les observatoires de Kraków, Racibórz, Rybnik et Chorzów. Les premières phases des secousses silésiennes, enregistrées par les observatoires de GIG, à Dąbrowa Górnicza, Bytom, Zabrze et Bobrek ont été indiquées avant chaque secousse élaborée. Les phases, mentionnées dans les publications de GIG, sont marquées (GIG). Les coordonnées des épacentres ainsi que le temps de l'apparition des secousses dans le foyer sont calculés sur la base des temps d'arrivée des ondes longitudinales et latitudinales ainsi que des intervalles des ondes S - P. Dans un certain nombre de cas l'emplacement des épacentres fut établi par la méthode d'Isikawa, ce qui permettait de déterminer la profondeur de l'hypocentre. Les magnitudes furent calculées d'après la formule $M = \log A/T + a \log \Delta \text{ km} + b$. Les coefficients a, b, furent déterminés séparément pour chaque station et chaque appareillage.

La première partie de cette publication a été rédigée par Z. Grygliewicz, B. Guterch, H. Lewandowska - Marciniak et M. Mazur, la deuxième partie par D. Draber et M. Wernik.

OBSERVATOIRE SÉISMOLOGIQUE À KRAKÓW

Coordonnées géographiques: $\varphi = 50^{\circ}03'22''N$,
 $\lambda = 19^{\circ}56'23''E$, $h = 223$ m.

Sous-sol: calcaire jurassique.

Appareils: deux séismographes horizontaux Galitzine-Wilip (NS, EW), les séismographes Charin (NS, EW, vertical), les séismographes type SKM-3 (NS, EW, vertical). Tous séismographes à enregistrement galvanométrique. La régularité de la pendule de contact est vérifiée par rapport aux signaux de la radio.

Constantes des séismographes

Galitzine-Wilip (GW) du 1.I au 31.XII.1965

	N	E
T_s	12,54 sec	8,47 sec
T_g	3,47 sec	4,23 sec
D_s	1,00	0,43
D_g	1,08	0,76
σ^2	0,019	0,036
V_o	2570	3758
R	30 mm/min	30 mm/min

Charin (Ch) dn 1.I au 31.XII.1965

	N	E	Z
T_s	1,517 sec	1,480 sec	1,113 sec
T_g	0,4167 sec	0,3333 sec	0,2727 sec
D_s	0,8218	0,8425	0,7821
D_g	1,8283	1,6275	1,5165
σ^2	0,4992	0,4687	0,4481
V_o	25800	27500	22000
R	60 mm/min	60 mm/min	60 mm/min

SKM-3 (SKM) du 1.I au 31.XII.1965

	N	E	Z
T_s	1,6 sec	1,6 sec	1,6 sec
T_g	0,166 sec	0,097 sec	0,195 sec
D_s	0,7	0,7	0,7
D_g	3,0	4,0	3,0

σ^2	0,040	0,220	0,550
V_o	46000	56000	42500
R	60 mm/min	60 mm/min	60 mm/min

STATION GEOPHYSIQUE SILÉSIEENNE À RACIBÓRZ

Coordonnées géographiques: $\varphi = 50^{\circ}05'00,3''N$,
 $\lambda = 18^{\circ}11'39''E$, $h = 209$ m.

Sous-sol: argiles plastiques miocène.

Appareils: les séismographes Mainka (NS, EW, vertical) à enregistrement mécanique, les séismographes type SK-58 (NS, EW, vertical) à enregistrement galvanométrique. La régularité des pendules de contacts sont vérifiées par rapport signaux de la radio.

Constantes des séismographes

Mainka (M) du 1 au 14.I.1965

	N	E	Z
M	1050 kg	1050 kg	750 kg
T_s	6,20 sec	5,90 sec	2,00 sec
D_s	0,230	0,275	0,162
V_o	121	150	120
R	30 mm/min	30 mm/min	30 mm/min

Mainka (M) du 15.I au 31.XII.1965

	N	E	Z
M	1050 kg	1050 kg	750 kg
T_s	6,21 sec	5,90 sec	2,00 sec
D_s	0,192	0,211	0,158
V_o	120	177	120
R	30 mm/min	30 mm/min	30 mm/min

SK-58 (SK) du 1.I au 31.XII.1965

	N	E	Z
T_s	2,37 sec	2,30 sec	2,16 sec
T_g	0,394 sec	0,540 sec	0,517 sec
D_s	0,70	0,70	0,70
D_g	3,00	3,00	3,00
σ^2	0,0234	0,0229	0,0381
V_o	1500	1500	1500
R	60 mm/min	60 mm/min	60 mm/min

- 6. -

STATION SÉISMOLOGIQUE À RYBNIK

Coordonnées géographiques: $\varphi = 50^{\circ}05'53''N$,
 $\lambda = 18^{\circ}32'01''E$, $h = 250$ m.

Sous-sol: sables et graviers fluvioglaciers déposés sur des argiles plastiques miocène.

Appareils: les séismographes type SK-58 (NS, EW, vertical) à enregistrement galvanométrique. La régularité de la pendule de contact est vérifiée par rapport aux signaux de la radio.

Constantes des séismographes

SK-58 (SK) du 1.I au 19.VII.1965

	N	E	Z
T_s	2,02 sec	2,01 sec	1,91 sec
T_g	0,425 sec	0,425 sec	0,360 sec
D_s	0,70	0,70	0,70
D_g	3,0	3,0	3,0
σ^2	0,04819	0,04185	0,07570
V_o	2000	2000	2000
R	60 mm/min	60 mm/min	60 mm/min

SK-58 (SK) du 20.VII au 31.XII.1965

	N	E	Z
T_s	2,02 sec	2,01 sec	1,91 sec
T_g	0,425 sec	0,425 sec	0,360 sec
D_s	0,70	0,70	0,70
D_g	3,0	3,0	3,0
σ^2	0,01205	0,01046	0,01892
V_o	1000	1000	1000
R	60 mm/min	60 mm/min	60 mm/min

STATION SÉISMOLOGIQUE DE L'OBSERVATOIRE ASTRONOMIQUE
 ET DU PLANETARIUM À CHORZÓW

Coordonnées géographiques: $\varphi = 50^{\circ}17'33''N$,
 $\lambda = 18^{\circ}59'30''E$, $h = 316$ m.

Sous-sol: grès carbonifère.

Appareils: les séismographes Wiechert (NS, EW, vertical) à inscription mécaniques, les séismographes type SK-58 (NS, EW, vertical) à enregistrement galvanométrique. La régularité de la pendule de contact Auricoste est vérifiée par rapport aux signaux de la radio.

- 7. -

Constantes des séismographes

Wiechert (W) du 1.I au 14.IV.1965

	N	E	Z
M	1000 kg	1000 kg	1450 kg
T_s	6,00 sec	6,00 sec	1,10 sec
D_s	0,292	0,297	0,192
V_o	89	96	205
R	15 mm/min	15 mm/min	30 mm/min

Wiechert (W) du 15.IV au 31.XII.1965

	N	E	Z
M	1000 kg	1000 kg	1450 kg
T_s	5,30 sec	5,30 sec	1,10 sec
D_s	0,267	0,254	0,300
V_o	130	110	204
R	15 mm/min	15 mm/min	30 mm/min

SK-58 (SK) du 1.I au 31.XII.1965

	N	E	Z
T_s	1,77 sec	1,75 sec	1,75 sec
T_g	0,25 sec	0,32 sec	0,47 sec
D_s	0,70	0,70	0,70
D_g	3,00	3,00	3,00
σ^2	0,0352	0,0072	0,0085
V_o	1000	1000	1000
R	60 mm/min	60 mm/min	60 mm/min

OBSERVATOIRES DE L'INSTITUT CENTRAL DES MINES
 STATION SÉISMOLOGIQUE À BYTOM

Coordonnées géographiques: $\varphi = 50^{\circ}21'44''N$,
 $\lambda = 18^{\circ}54'52''E$, $h = 283$ m.

Sous-sol: sables et argiles plastiques

Appareils: les séismographes mécaniques type Mainka (NS, EW)

- 8 -

STATION SÉISMOLOGIQUE À DĄBROWA GÓRNICZA

Coordonnées géographiques: $\varphi = 50^{\circ}19'45''$ N,
 $\lambda = 19^{\circ}12'51''$ E, h = 275 m.
Sous-sol: schistes carbonifère.
Appareils: les séismographes électrodynamiques type SK-58
(NS, EW, vertical).

STATION SÉISMOLOGIQUE À ZABRZE

Coordonnées géographiques: $\varphi = 50^{\circ}18'05''$ N,
 $\lambda = 18^{\circ}47'40''$ E, h = 258 m.
Sous-sol: sables et argiles plastiques.
Appareils: les séismographes électrodynamiques type SU
(NS, EW, vertical).

Symboles

- M - masse pendulaire
- T_s - période du pendule
- T_g - période du galvanomètre
- D_s - amortissement du pendule
- D_g - amortissement du galvanomètre
- σ^2 - coefficient du couplage
- V_0 - amplification statique
- R - vitesse d'enregistrement

- 9 -

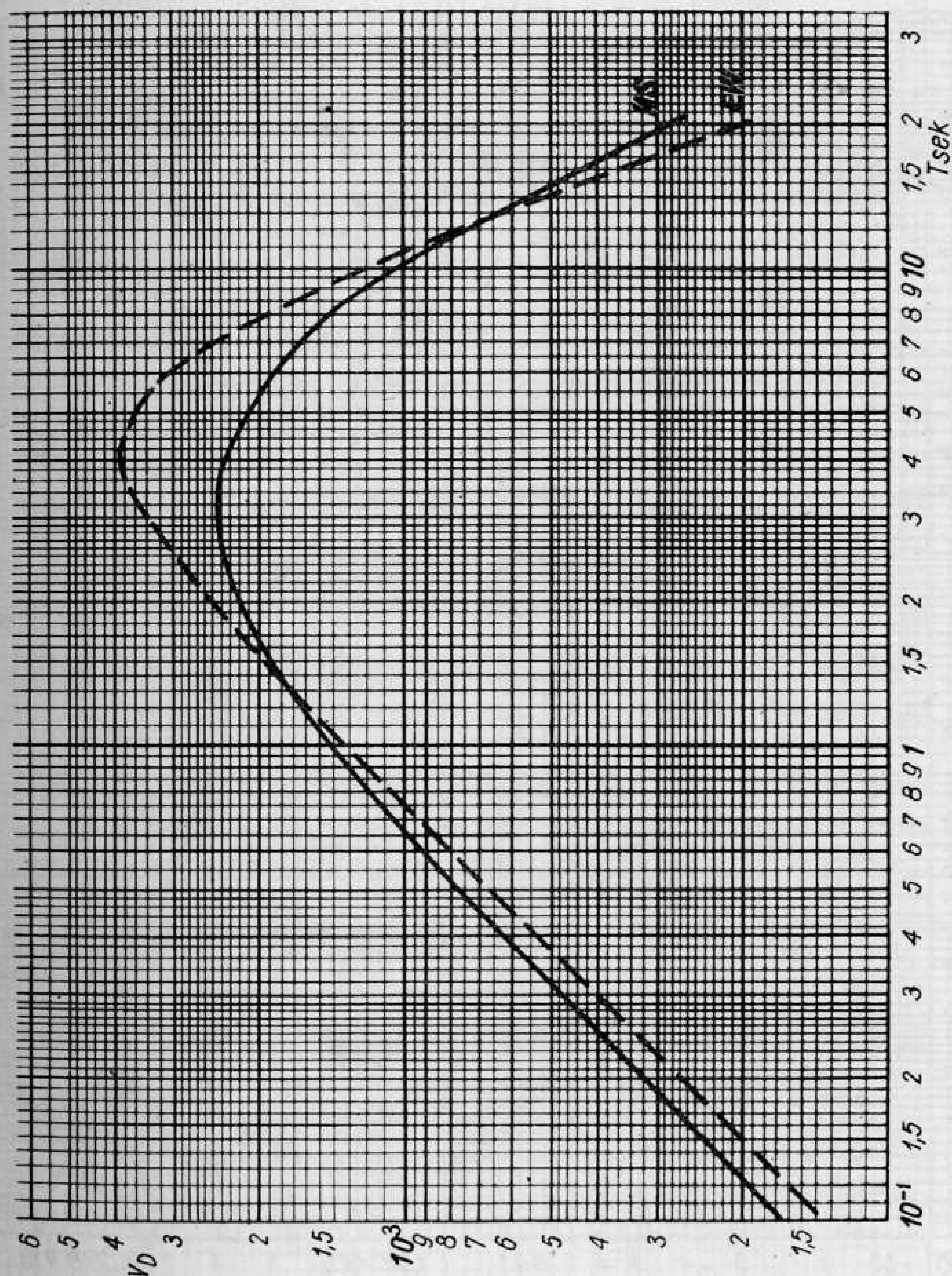


Fig. 1. L'amplification dynamique des séismographes Galitzine-Wilip Kraków, du 1.I au 31.XII.1965

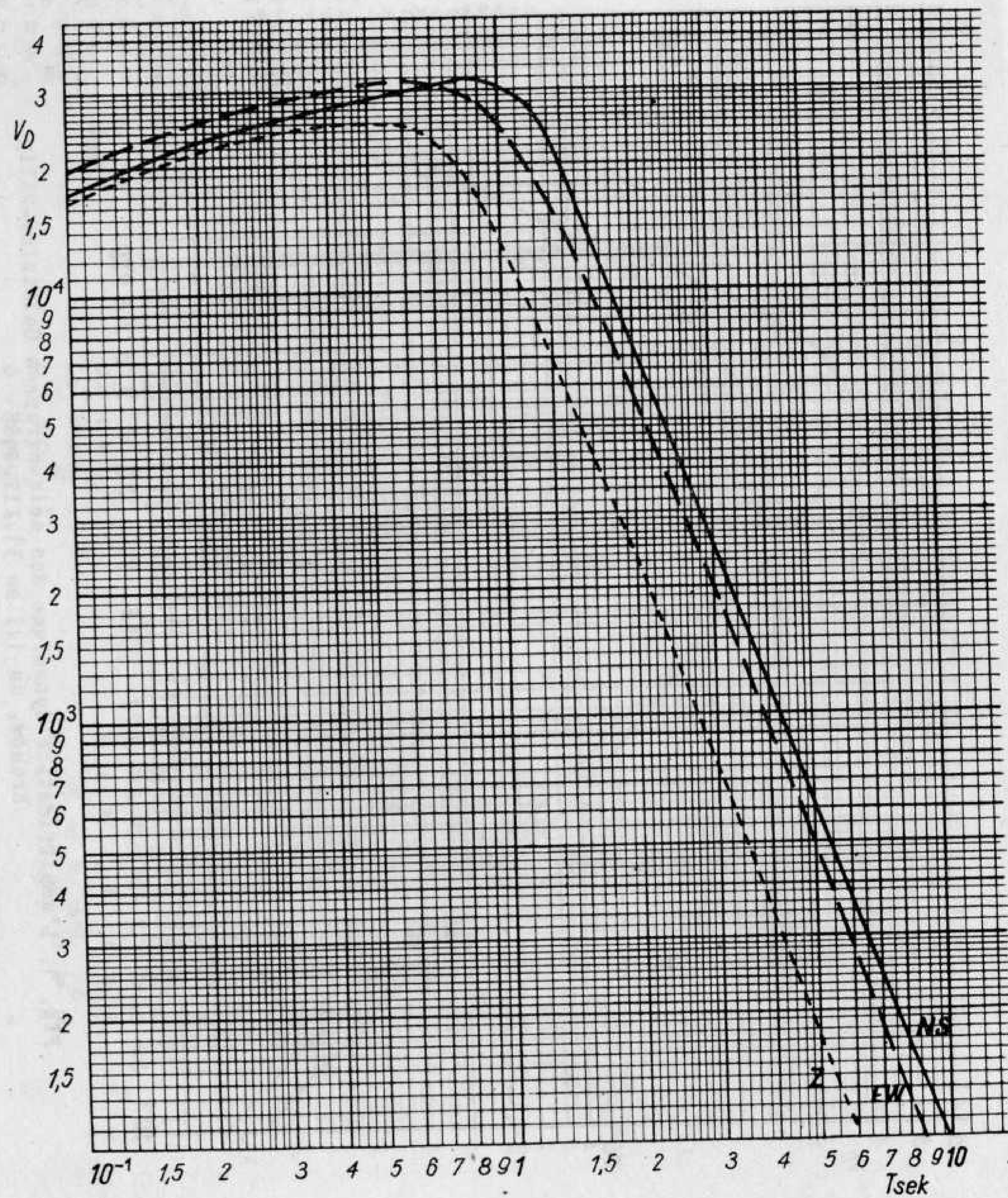


Fig. 2. L'amplification dynamique des séismographes Charin Kraków, du 1.I au 31.XII.1965

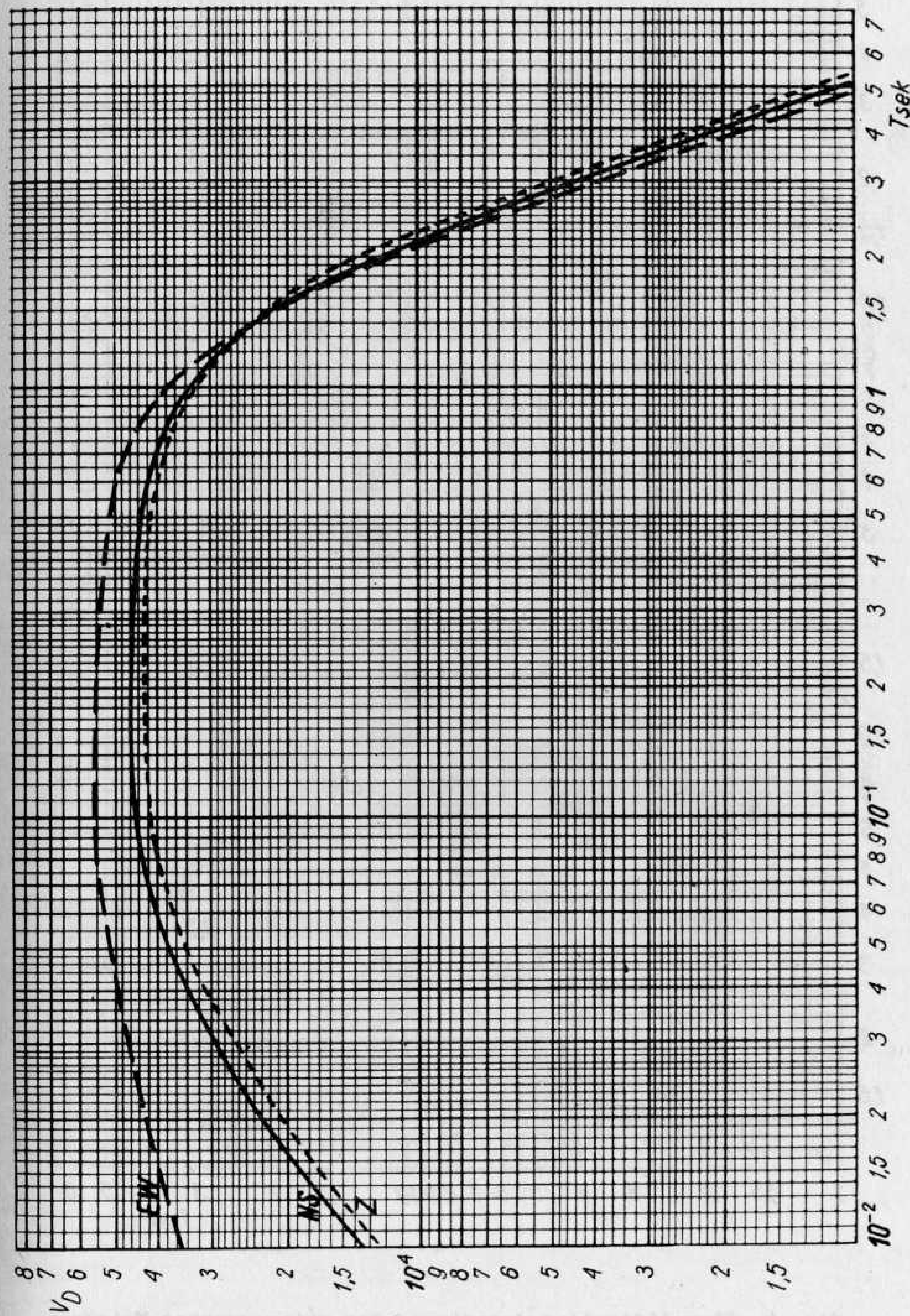


Fig. 3. L'amplification dynamique des séismographes type SKM-3 Kraków, du 1.I au 31.XII.1965

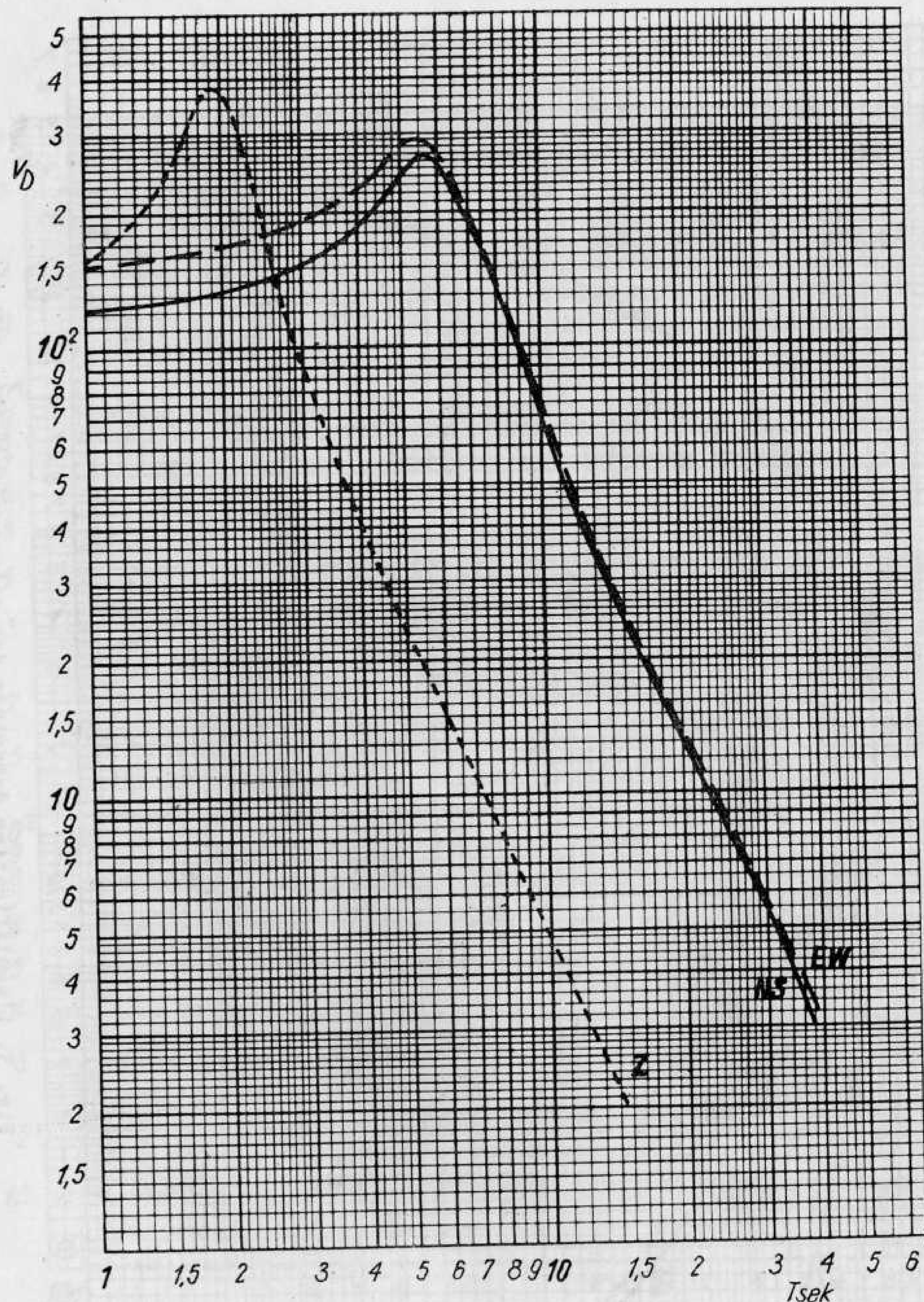


Fig. 4. L'amplification dynamique des séismographes Mainka Racibórz, du 1 au 14.I.1965

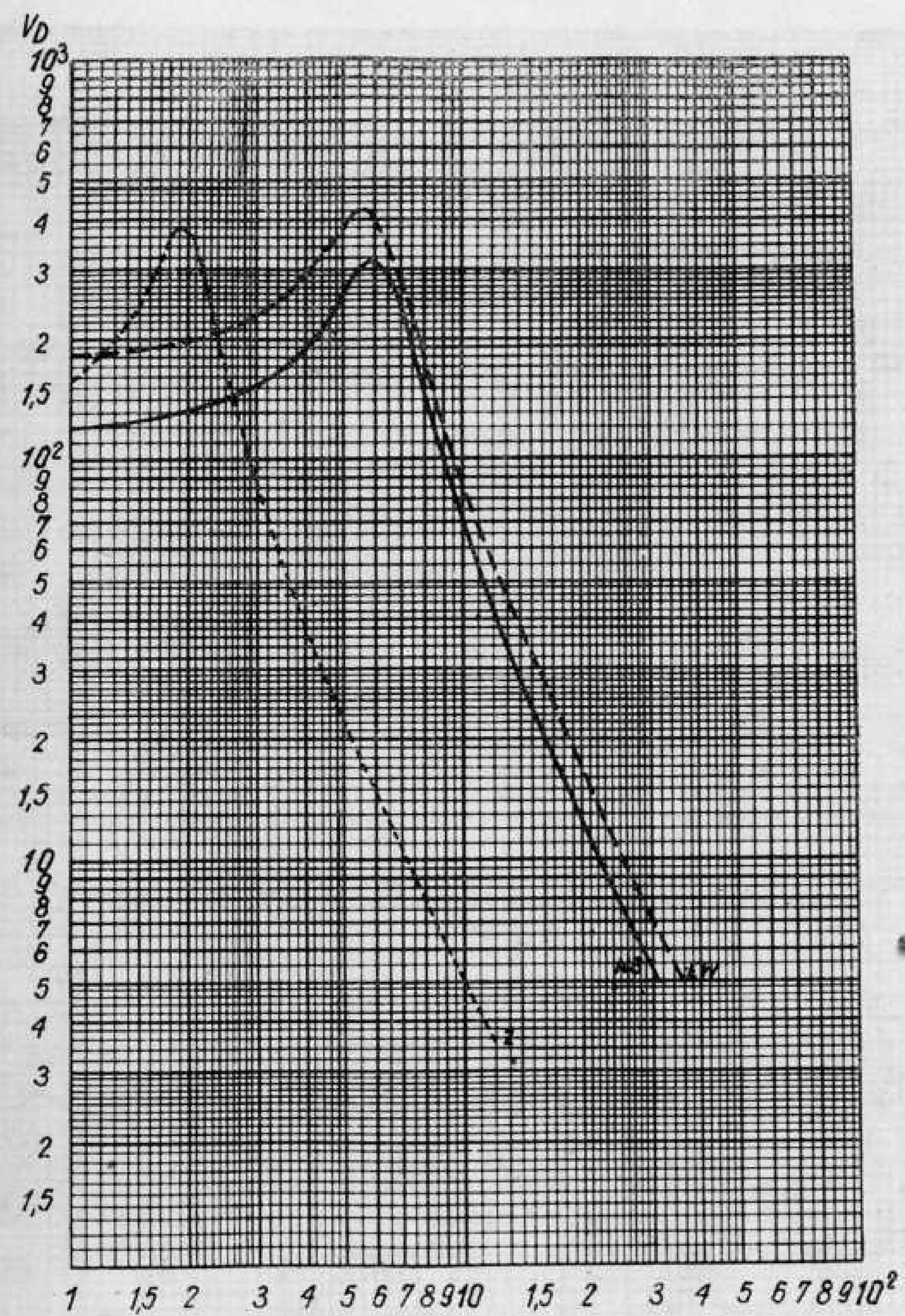


Fig. 5. L'amplification dynamique des séismographes Mainka Racibórz, du 15.I au 31.XII.1965

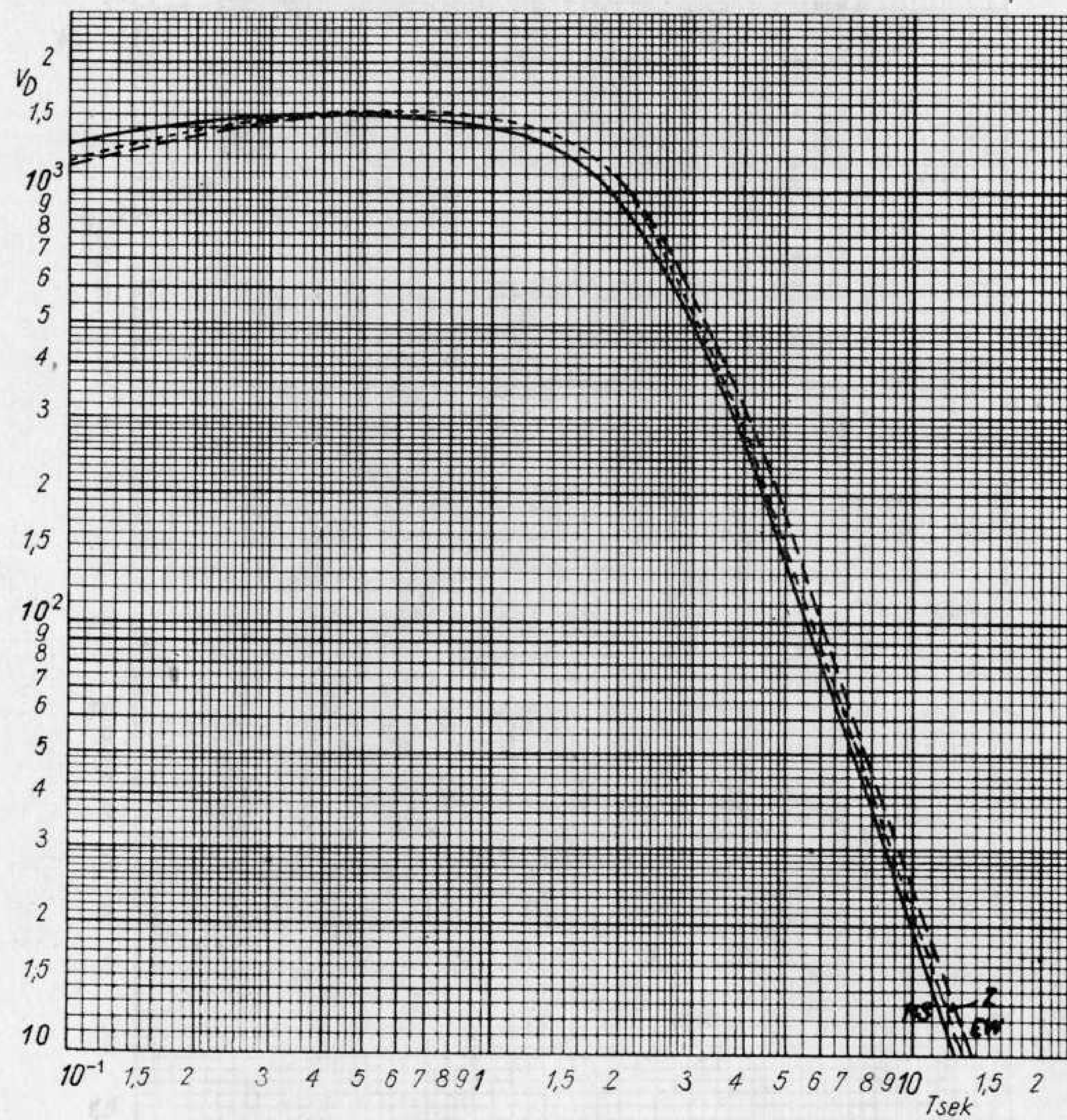


Fig. 6. L'amplification dynamique des séismographes type SK-58 Racibórz, du 1.I au 31.XII.1965

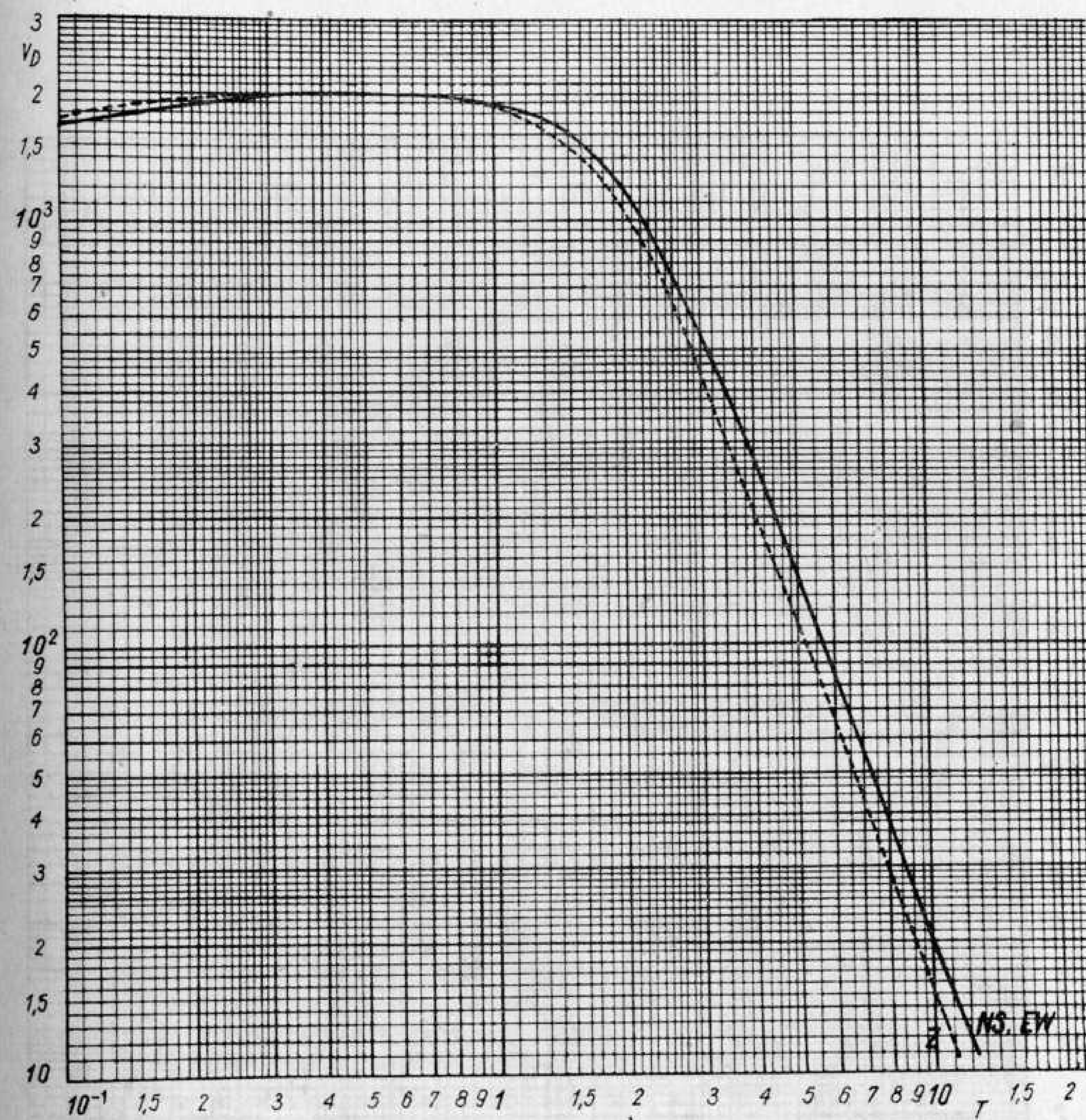


Fig. 7. L'amplification dynamique des séismographes type SK-58 Rybnik, du 1.I au 19.VII.1965

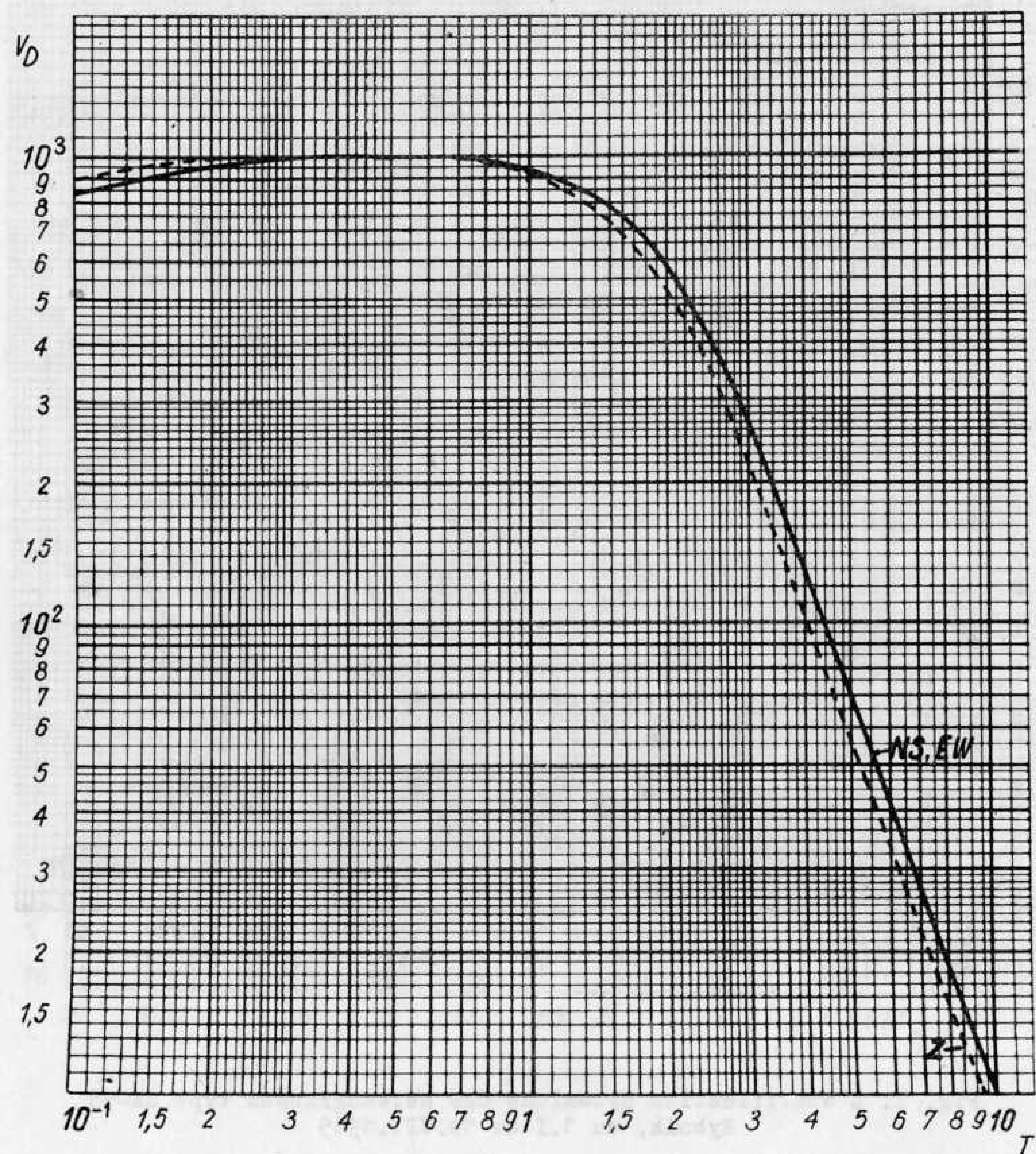


Fig. 8. L'amplification dynamique des séismographes type SK-58 Rybnik, du 20.VII au 31.XII.1965

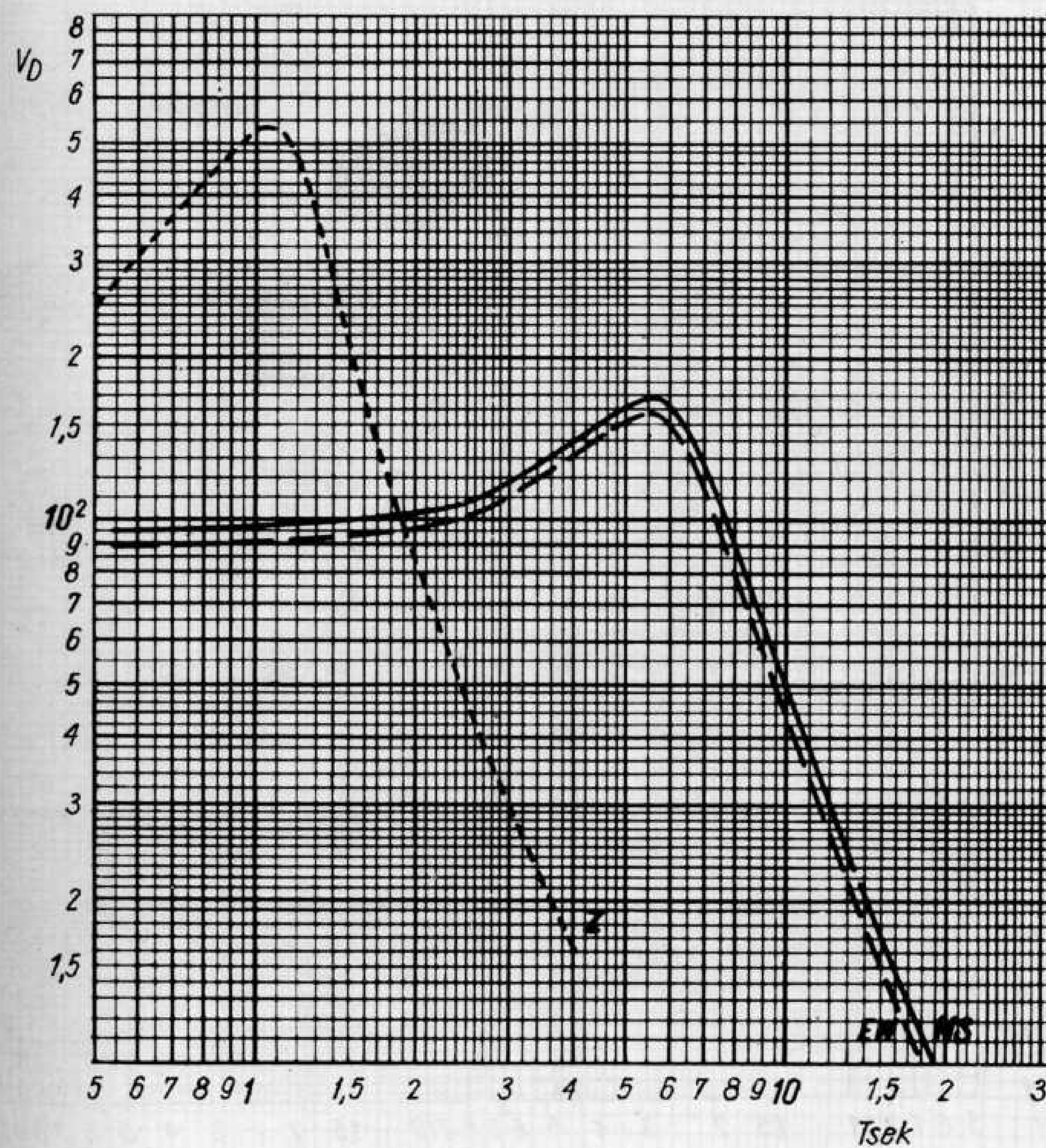


Fig. 9. L'amplification dynamique des séismographes Wiechert Chorzów, du 1.I au 14.IV.1965

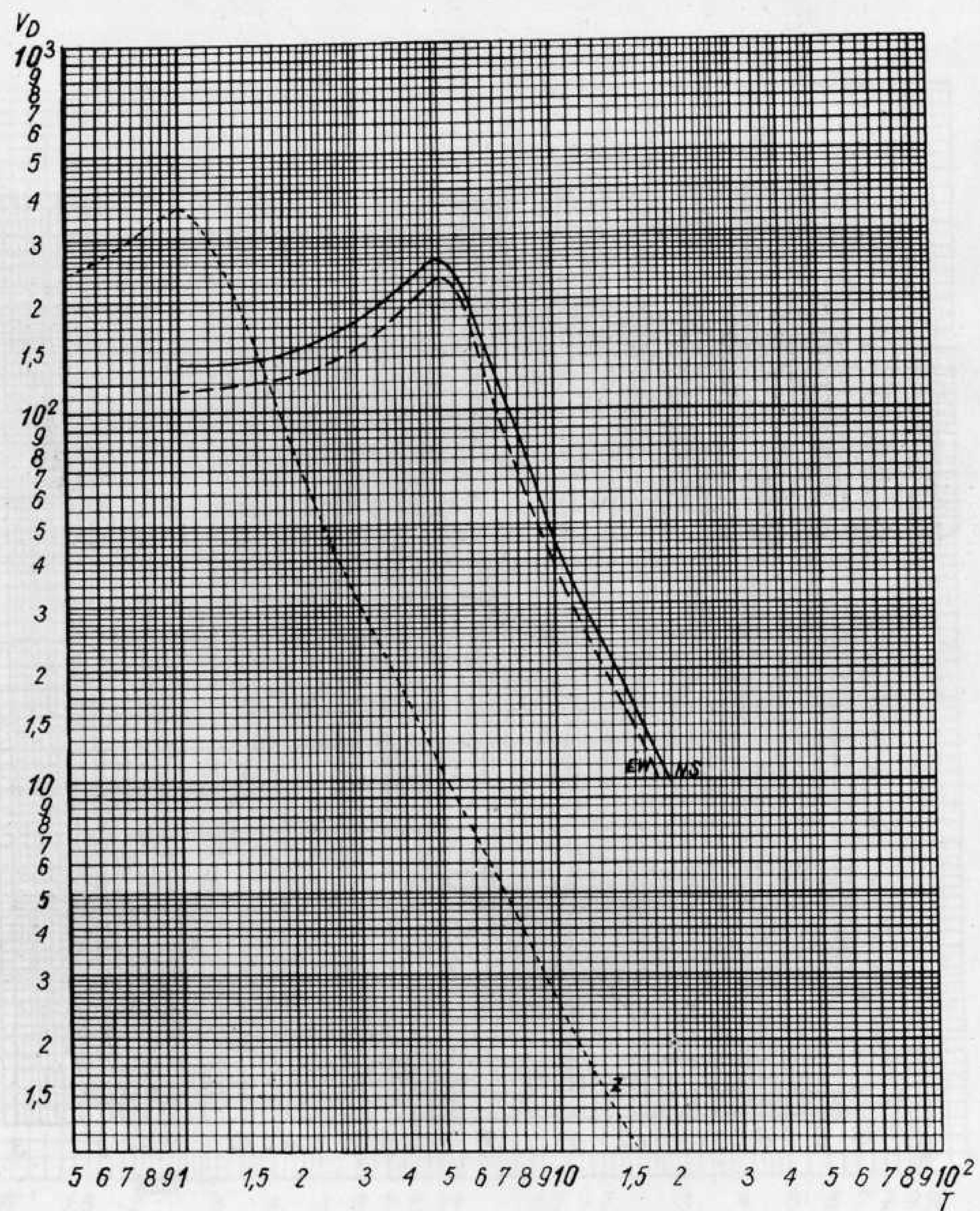


Fig. 10. L'amplification dynamique des séismographes Wiechert Chorzów, du 15.IV au 31.XII.1965

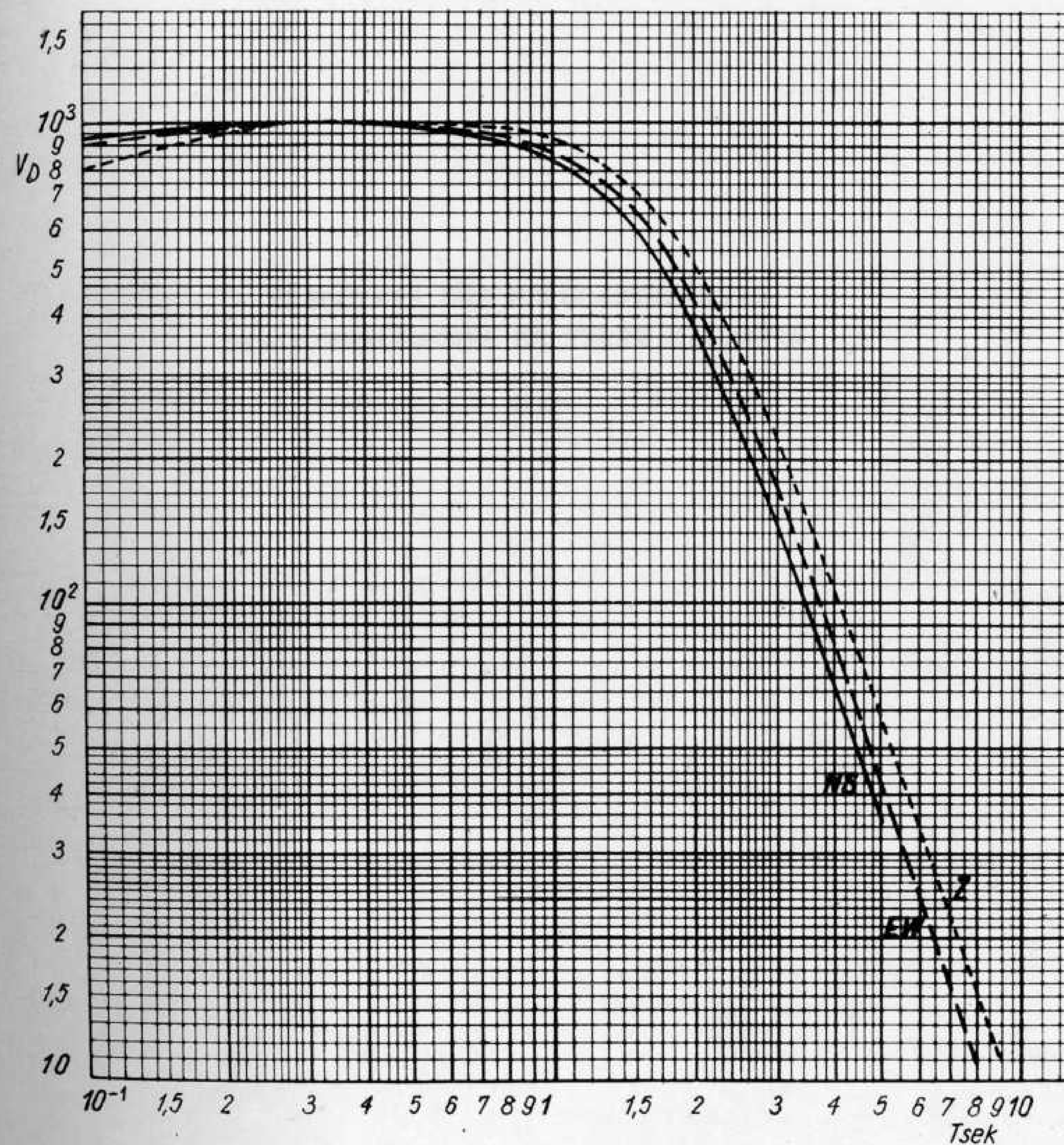


Fig. 11. L'amplification dynamique des séismographes type SK-58 Chorzów, du 1.I au 31.XII.1965

These data are considered public domain and may be freely distributed or copied for non-profit purposes provided the project is properly quoted.

**RÉSULTATS DES ENREGISTREMENTS
DES TREMBLEMENTS DE TERRE DISTANTS**

- 22 -

Dates	Station	Phases	G.M.T. h m s	Dates	Station	Phases	G.M.T. h m s	
1965				J A N V I E R				1965
1.I		Formose, USCGS: 23,5°N, 121,2°E, H = 12 ^h 46 ^m 43,4 ^s , h = 33 km ca; M = 5,2 (USCGS)		3.I		H = 23 ^h 13 ^m 50,4 ^s , h = = 93 km ca; M = 5,6 (USCGS)		
	Kra. (SKM)	Δ = 79,0°			Kra. (SKM)	Δ = 69,5°. Traces		
	eP		12 58 46 D		eiP		23 24 52 D	
	ePcP		50	5.I		Iles Tonga, USCGS: 20,3°S, 174,1°W, H = 18 ^h 05 ^m 58,6 ^s , h = 33 km ca; M = 6 3/4 (Pasadena), 6 1/4 (Berkeley), 6,0 (USCGS)		
1.I		Au Sud Wienerneustadt Vienne, Autriche, BCIS: 47,7°N, 16,1°E, H = = 19 ^h 08 ^m 51 ^s			Kra. (SKM)	Δ = 148,0°		
	Rac. (SK)	Δ = 4,1°. Traces			eiPKP ₁		18 25 44 C	
	e		19 10 32		ePKP ₂		55	
	eSn		45		ePKS		29 11	
1.I		Hodna, aux environs de Msila, Algérie, BCIS: 35,7°N, 4,4°E, H = = 21 ^h 38 ^m 32 ^s ; M = 5,5 (Strasbourg), 4,9 (Collmberg), MLH = 5,4 (Kraków)			Rac. (SK)	Δ = 148,5°		
	Rac. (SK)	Δ = 17,6°			ePKP ₁		18 25 46	
	eP		21 42 37		ePKP ₂		56	
	ePP		53	6.I		Proche		
	ePPP		43 02		Kra. (SKM)	iP	11 17 52 C	
	eL		47	6.I		Péninsule de Kenai, Alaska, USCGS: 60,1°N, 151,8°W, H = 18 ^h 27 ^m 36,0 ^s , h = = 76 km ca; M = 5,2 (USCGS)		
	Ryb. (SK)	Δ = 17,7°			Kra. (SKM)	Δ = 69,7°		
	eP		21 42 38		eP		18 38 41	
	ePP		50		epP		49	
	ePPP		56		iPcP		39 02	
	eL		46,2	7.I				
	Kra. (SKM)	Δ = 18,3°			Kra. (SKM)	eP	00 04 46	
	ei		53		ei		52,8	
	eS		45 58	7.I		Au voisinage de l'île de Kos, Mer Egée, BCIS: 36,7°N, 27,1°E, H = = 10 ^h 22 ^m 17 ^s		
1.I	(GW)	eL	48,0		Kra. (SKM)	Δ = 14,4°		
	Lm		50 26		eP		10 25 49	
		NE: 12,5 ^s ; 11,6 ^μ , 7,5 ^μ		7.I		Ile Luçon, Philippines, USCGS: 18,6°N, 120,9°E, H = 18 ^h 49 ^m 35,0 ^s , h = = 33 km ca; M = 4,8 (USCGS)		
2.I								
	Kra. (SKM)	e	13 57 31					
	e		14 01 02					
3.I		Péninsule de Kenai, Alaska, USCGS: 60,2°N, 151,2°W,						

- 23 -

Dates	Station	Phases	G.M.T. h m s	Dates	Station	Phases	G.M.T. h m s
7.I (suite)	Kra. (SKM)	Δ = 82,5°	19 01 58	10.I		vie, BCIS: 44,1°N, 16,2°E, H = 20 ^h 10 ^m 20 ^s	
9.I		Région des Iles Philippines, USCGS: 11,9°N, 126,2°E, H = 13 ^h 32 ^m 46,4 ^s , h = = 5 km ca; M = 5 1/2 (Moskva), 6,1 (USCGS)			Rac. (SK)	Δ = 6,2°	
	Kra. (SKM)	Δ = 91,0°			ePn		20 11 52
	eP		13 45 54		eSn		13 09
	ePP		49 33		eSS		17
10.I		Foyer profond de la région de Vrancea, Roumanie, BCIS: 45,9°N, 26,6°E, H = 02 ^h 52 ^m 25 ^s , h = 125 km ca			eL		14,0
	Kra. (SKM)	Δ = 6,0°			Ryb. (SK)	Δ = 6,3°. Traces	
	eiPn		02 53 56 D		ePn		20 11 54
	iPP		54 06		eSg		13 52
	(GW) eiSn		55 06		Kra. (SKM)	Δ = 6,4°	
	(SKM) eiSg		41		ePn		20 11 57
10.I	Ryb. (SK)	Δ = 6,9°			eiSn		13 11
	iPn		02 54 05 D		eL		14,3
	ePP		14	11.I		Mer du Japon, USCGS: 43,0°N, 139,2°E, H = 20 ^h 14 ^m 33,5 ^s , h = 189 km ca; M = 5;3 (USCGS)	
	eL		56,5		Kra. (SKM)	Δ = 72,8°	
	Rac. (SK)	Δ = 7,0°			eP		20 25 46
	iPn		02 54 09	11.I		Iles Kouriles, USCGS: 48,8°N, 153,5°E, H = 22 ^h 47 ^m 06,3 ^s , h = 102 km ca; M = 5,0 (USCGS)	
	eiPP		18		Kra. (SKM)	Δ = 73,0°	
	ep*		31		iP		22 58 31 C
	iPg		43	12.I		Iles Tonga, USCGS: 21,1°S, 174,7°W, H = 04 ^h 41 ^m 18 ^s , h = 123 km ca; M = 4,9 (USCGS)	
	eiSn		55 28		Kra. (SKM)	Δ = 149,0°	
	eSS		48		ePKP ₁		05 00 54
	eS*		56 01		ePKP ₂		01 16
	eSg		19	12.I		Népal, USCGS: 27,6°N, 88,0°E, H = 13 ^h 32 ^m 24,0 ^s , h = 23 km ca; M = 6,1 (USCGS)	
	eL		57,8		Kra. (SKM)	Δ = 55,2°	
	Lm		58,1		eiP		13 41 59 C
		NE: 2 ^s , 3 ^s ; 2 ^μ , 5 ^μ			ePP		44 05
10.I		Région des Iles Nouvelles Hébrides, USCGS: 13,5°S, 166,6°E, H = 13 ^h 36 ^m 30,7 ^s , h = 33 km ca; M = 6 3/4 (Pasadena), 6 1/2 (Moskva), 5 3/4 (Berkeley), 6,5 (USCGS)			(GW) eSS		53 28
	Rac. (SK)	Δ = 135,3°			Rac. (SK)	Δ = 56,4°	
	ePKP		13 55 49		eiP		13 42 08 C
	ePP		58 32		ePcP		43 05
10.I		Région de Split, Yougosla-					

- 24 -

Dates	Station	Phases	G.M.T. h m s	Dates	Station	Phases	G.M.T. h m s
14.I		Ile de Hondo, Japon, USCGS: 30,2°N, 129,0°E, H = 01 ^h 33 ^m 14,6 ^s , h = 140 km ca; M = 5,3 (USCGS)		15.I	Kra. Δ = 79,0° (SKM) eiP ei		18 46 13 36
	Kra. Δ = 78,0°. Traces (SKM) eP		01 45 03	15.I	Région de Msila, Algérie, BCIS: 35,7°N, 4,4°E, H = 23 ^h 47 ^m 29 ^s ; M = 5¼ (Strasbourg)		
15.I		Région frontière Afghanistan - URSS, USCGS: 36,5°N, 71,0°E, H = 00 ^h 34 ^m 15,2 ^s , h = 245 km ca; M = 5,4 (USCGS)			Rac. Δ = 17,6°. Traces (SK) eP		23 51 35
	Kra. Δ = 38,6° (SKM) eiP epP ePP		00 41 18 42 02 50		Kra. Δ = 18,4° (SKM) eP		23 51 43
15.I		Région des Iles Fidji, USCGS: 20,9°S, 177,8°W, H = 03 ^h 30 ^m 22,2 ^s , h = 597 km ca; M = 5,3 (USCGS)		17.I	Caucase, URSS, Moskva: 43,4°N, 47,3°E, H = 02 ^h 13 ^m 54 ^s ; M = 4½ (Moskva)		
	Kra. Δ = 147,6° (SKM) ePKP ₁ ei		03 48 59 C 49 02		Kra. Δ = 19,6°. Traces (SKM) eP eL		02 18 23 24,2
	Rac. Δ = 148,4°. Traces (SK) ePKP ₁ ePKP ₂		03 49 04 22		Rac. Traces (SK) NEZ		02 24-29
15.I		Kazakstan, région de Semipalatinsk; BCIS: 49¾°N, 78,0°E, H = 06 ^h 00 ^m 00 ^s ; M = 6,9 (Uppsala), 6,3 (USCGS), 5½-5¾ (Berkeley)		17.I	À l'Est de la Crête. Mer Méditerranée, BCIS: 34,7°N, 27,8°E, H = 03 ^h 39 ^m 34 ^s , h = 45 km ca; M = 4,8 (USCGS)		
	Kra. Δ = 36,4° (SKM) iP ePP eL		06 07 12 C 08 25 15,6		Kra. Δ = 16,4° (SKM) eP ePP ePPP		03 43 25 35 44
	Rac. Δ = 37,5° (SK) eP ePP eL Lm		06 07 18 08 40 16,5 20,7	21.I	Iles Tonga, USCGS: 15,9°S, 173,2°W, H = 02 ^h 04 ^m 43,7 ^s , h = 33 km ca		
	NE: 2 ^s ; 1μ, 1μ				Kra. Δ = 144,2°. Traces (SKM) eiPKP		02 24 18 D
15.I		Formose, USCGS: 23,6°N, 121,7°E, H = 18 ^h 34 ^m 07,6 ^s , h = 33 km ca; M = 5,6 (USCGS)		21.I	Chine, USCGS: 34,6°N, 86,9°E, H = 13 ^h 31 ^m 29,4 ^s , h = 33 km ca; M = 5,0 (USCGS)		
					Kra. Δ = 49,9°. Traces (SKM) eP		13 40 24
				22.I	Région des Iles Fidji, USCGS: 19,7°S, 176,1°W, H = 05 ^h 18 ^m 27,5 ^s , h = 210 km ca; M = 4,7 (USCGS)		

- 25 -

Dates	Station	Phases	G.M.T. h m s	Dates	Station	Phases	G.M.T. h m s
22.I (suite)	Kra. Δ = 147,0°. Traces (SKM) ePKP ₁		05 37 49	23.I	Ryb. (SK) e		13 28 45
22.I	Proche. Dab. (GIG): 12 45 08,4 Pruhonice: e(Pg) 12 45 38				Kra. (SKM) ei(S)		13 29 12
	Rac. (SK) e e i		12 45 04,7 11,7 20,0	23.I	Ile Hondo, Japon, USCGS: 36,9°N, 140,9°E, H = 21 ^h 51 ^m 15 ^s , h = 58 km ca; M = 5,1 (USCGS)		
	Kra. (SKM) eP eiS		12 45 04;8 21,8		Kra. Δ = 78,7° (SKM) eiP ePcP		22 03 14 C 28
	Ryb. (SK) e		12 45 17,5	23.I	Pakistan, USCGS: 35,3°N, 72,8°E, H = 22 ^h 03 ^m 08,7 ^s , h = 200 km ca; M ≈ 4½ (Moskva), 4,9 (USCGS)		
23.I	Bosnie-Herzégovine, Yougoslavie BCIS: 44,5°N, 17,9°E, H = 02 ^h 39 ^m 34 ^s				Kra. Δ = 40,6° (SKM) eP		22 10 32 C
	Ryb. Δ = 5,6° (SK) ePn ePP eSn eL		02 40 57,7 41 08 42 08 42,5	24.I	Mer de Ceram, USCGS: 2,4°S, 126,0°E, H = 00 ^h 11 ^m 12,1 ^s , h = 6 km ca; M = 7¾ (Berkeley), 7½-7¾ (Pasadena), 7½ (Moskva), MLH = 7,7 (Racibórz)		
	Kra. Δ = 5,7° (SKM) eiPn (GW) ePP eP* ePPP ePg eSn		02 40 59 D 41 08 16 18 33 42 13		Kra. Δ = 102,0° (SKM) eP ei eiPP (GW) eSKS ePS ePSPS		00 25 09 24 29 28 35 50 38 49 44 11
	Rac. Δ = 5,6° (SK) ePn ePP eP* ePg eSn eL Lm		02 41(00) 05 13 23 42 07 42,7 43,5		Rac. Δ = 103,3° (M) eP i (SK) eL (M) Lm		00 25 16 31 30 45 01 03,8 NE: 35 ^s ; 320μ, 312μ
	NE: 2 ^s ; 1,5μ, 2μ F		50	24.I	Mer du Groenland, USCGS: 73,1°N, 6,5°E, H = 22 ^h 38 ^m 56,0 ^s , h = 33 km ca; M = 4,8 (USCGS)		
23.I	Proche. Dab. (GIG): iP 13 28 55,9 Pruhonice: iP 13 28 11,2				Rac. Δ = 23,5°. Traces (SK) eP Kra. Δ = 24,0° (SKM) eP ePP		22 44 08 22 44 14 51
	Rac. (SK) e		13 28 41				

Dates	Station	Phases	G.M.T. h m s	Dates	Station	Phases	G.M.T. h m s
26.I	Région de Slavanski Brod, Yougoslavie, BCIS: 45,1°N, 18,0°E, E = 11 ^h 56 ^m 46 ^s			29.I	h = 33 km ca; M = 5½ (Moskva), 5,8 (USCGS)		
	Kra. Δ = 5,2°. Traces				Kra. Δ = 70,2°		
	(SKM) eS*	11 59 22			(SKM) eP	09 46 40 C	
	eSg	34			ePcP	47 00	
27.I	Proche?				Rac. Δ = 70,6°		
	Kra. (SKM) eP	09 59 16,0			(SK) eiP	09 46 43	
	e(S)	35,5		29.I	Cachemire, USCGS: 35,6°N, 73,6°E, H = 20 ^h 06 ^m 02,4 ^s , h = 33 km ca; M = 5,7 (USCGS)		
28.I	Sud de Sumatra, USCGS: 2,5°S, 102,5°E, H = 02 ^h 34 ^m 03,0 ^s , h = 33 km ca; M = 5,6 (USCGS)				Kra. Δ = 40,8°		
	Kra. Δ = 87,5°				(SKM) eP	20 13 43	
	(SKM) eiP	02 46 47			ePP	15 21	
28.I	Bulgarie, BCIS: 42,7°N, 23,3°E, H = 23 ^h 10 ^m 45 ^s			29.I	À l'Est de la Crête, Mer Méditerranée, BCIS: 35,0°N, 27,6°E, H = 23 ^h 39 ^m 06 ^s , h = 60 km ca		
	Kra. Δ = 7,7°				Kra. Δ = 16,1°		
	(SKM) ePn	23 12 38			(SKM) eP	23 42 51	
	ePP	45			ePP	43 00	
	eP*	13 04		30.I	Proche		
	eSg	15 02			Kra. (SKM) eP	11 24 05,4	
	Rac. Traces			31.I	Iles aux Rats, Aléoutiennes, USCGS: 51,2°N, 178,6°E, H = 23 ^h 36 ^m 13 ^s , h = 33 km ca; M = 5½ (Moskva), 5,2 (USCGS)		
	(SK) NEZ	23 14-18			Kra. Δ = 77,0°, Traces		
	Ryb. Traces				(SKM) eP	23 48 08 D	
	(SK) NE	23 15-17					
29.I	Au large de la côte E du Kamtchatka, USCGS: 54,8°N, 161,7°E, H = 09 ^h 35 ^m 25,7 ^s						
1965	F É V R I E R			1965			
1.II	Région des Iles Fidji, USCGS: 18,6°S, 178,1°W, H = 05 ^h 27 ^m 04,5 ^s , h = 472 km ca; M = 5,6 (USCGS)			2.II	Kra. Δ = 78,2°		
	Kra. Δ = 145,3°				(SKM) eiP	04 25 42	
	(Ch) eiPKP ₁	05 45 50		2.II	Région des Iles Fidji, USCGS: 21,4°S, 176,2°W, H = 09 ^h 58 ^m 17,7 ^s , h = 171 km ca; M = 5,1 (USCGS, Berkeley)		
	iPKP ₂	51			Kra. Δ = 148,5°		
	Rac. Δ = 146,0°				(SKM) ePKP ₁	10 17 45 D	
	(SK) ePKP ₁	05 45 53			ePKP ₂	51	
	eiPKP ₂	55			Rac. Δ = 149,2°		
2.II	Près de la côte E de Hondo, Japon, USCGS: 38,0°N, 142,1°E, H = 04 ^h 13 ^m 41,1 ^s , h = 33 km ca; M = 4,8 (USCGS)				(SK) ePKP ₁	10 17 46	
					ePKP ₂	52	

Dates	Station	Phases	G.M.T. h m s	Dates	Station	Phases	G.M.T. h m s
2.II	Proche			4.II	Kra. Δ = 76,8°		
	Kra. (SKM) ei(P)	14 23 00			(GW) eiP	05 13 13	
	i	05			i	31	
2.II	Tadzjik, URSS; USCGS: 37,5°N, 73,4°E, H = 15 ^h 56 ^m 51,0 ^s , h = 33 km ca; M = 6 (Moskva), 5,8 (USCGS), MLH = 5,9 (Kraków)				iPP	16 17	
	Kra. Δ = 39,6°				iS	23 09	
	(SKM) eiP	16 04 22 C			iSKS	20	
	eipP	31			Rac. Δ = 77,0°		
	ePP	05 54			(M) eP	05 13 17	
	eiS	10 24			eiPcP	25	
	eSS	13 30			i	15 13	
	eL	14			iPP	16 19	
	Lm	20 21			i	17 00	
	NE: 12 ^s , 8 ^s ; 9,2μ, 4,6μ				iPPP	49	
	Rac. Δ = 40,6°. Traces				eSKS	23 16	
	(SK) eP	16 04 40			Lm	49,8	
	eL	13,5			NEZ: 22 ^s ; 3250μ, 2700μ, 4000μ		
3.II	Région de Mostar, Yougoslavie, BCIS: 43,3°N, 17,8°E, H = 01 ^h 18 ^m 46 ^s			4.II	Iles Proches, Aléoutiennes, USCGS: 51,7°N, 174,9°E, H = 06 ^h 04 ^m 58 ^s , h = 35 km ca; M = 6,1 (USCGS, Berkeley)		
	Kra. Δ = 6,9°. Traces				Kra. Δ = 76,0°		
	(SKM) eSn	01 21 49			(Ch) eP	06 16 46	
	eSg	22 25			Rac. Δ = 76,0°		
4.II	Sud de l'Australie, USCGS: 51,8°S, 139,7°E, H = 03 ^h 25 ^m 00,8 ^s , h = 33 km ca; M = 5,9 (USCGS)				(SK) eP	06 16 49	
	Kra. Δ = 143,0°. Traces			4.II	Kra. Traces		
	(SKM) ePKP	03 44 35			(Ch) eP	06 33 45	
				4.II	Iles aux Rats, Aléoutiennes, USCGS: 52,2°N, 177,1°E, H = 06 ^h 34 ^m 17,0 ^s , h = 25 km ca; M = 5,4 (USCGS)		
					Kra. Δ = 75,8°		
					(Ch) eP	06 46 06	
				4.II	Iles Proches, Aléoutiennes, USCGS: 52,6°N, 172,0°E, H = 06 ^h 37 ^m 05,4 ^s , h = 35 km ca; M = 5,7 (USCGS)		
					Kra. Δ = 74,0°		
					(Ch) eP	06 48 46	
					ePcP	59	
					Rac. Δ = 74,6°		
					(SK) eP	06 48 50	
4.II	Iles aux Rats, Aléoutiennes, USCGS: 51,3°N, 178,6°E, H = 05 ^h 01 ^m 21,8 ^s , h = 40 km ca; M = 7¾ (Pasadena, Berkeley), ML = 7,5 (USCGS)			4.II	Iles aux Rats, Aléoutiennes, USCGS: 51,7°N, 175,8°E, H = 06 ^h 39 ^m 30,1 ^s , h = 30 km ca; M = 5,9 (USCGS)		
	Kra. Δ = 76,9°						
	(SKM) eP	05 05 48					

- 28 -

Dates	Station	Phases	G.M.T. h m s	Dates	Station	Phases	G.M.T. h m s
4.II (suite)	Kra. (SKM)	$\Delta = 74,0^{\circ}$ eP	06 51 20	4.II	Kra. (SKM)	$\Delta = 75,5^{\circ}$ eIP	08 18 02
		ePcP	36			ePcP	17
4.II	Rac. (SK)	$\Delta = 76,0^{\circ}$ eP	06 51 20	4.II	Rac. (SK)	$\Delta = 75,7^{\circ}$ eP	08 18 05
						ePcP	20
4.II	Kra. (Ch)	Iles Proches, Aléoutiennes, USCGS: 52,2 ⁰ N, 173,1 ⁰ E, H = 06 ^h 52 ^m 51,7 ^s , h = = 33 km ca; M = 5,5 (USCGS)		4.II	Kra. (SKM)	Iles Proches, Aléoutiennes, USCGS: 51,9 ⁰ N, 174,0 ⁰ E, H = 08 ^h 33 ^m 40,9 ^s , h = = 30 km ca; M = 5,7 (USCGS)	
		$\Delta = 74,6^{\circ}$ eP	07 04 36			$\Delta = 75,5^{\circ}$ eP	08 45 27
4.II	Kra. (SKM)	Iles aux Rats, Aléoutiennes, USCGS: 51,1 ⁰ N, 177,7 ⁰ E, H = 07 ^h 11 ^m 22,7 ^s , h = = 35 km ca; M = 5,9 (USCGS)		4.II	Rac. (SK)	$\Delta = 75,5^{\circ}$ eP	08 45 30
		$\Delta = 76,6^{\circ}$ ePcP	07 23 16 30				
4.II	Rac. (SK)	$\Delta = 77,0^{\circ}$ eP	07 23 19	4.II	Kra. (SKM)	Iles aux Rats, Aléoutiennes, USCGS: 51,3 ⁰ N, 179,5 ⁰ E, H = 08 ^h 40 ^m 40,9 ^s , h = = 40 km ca; M = 6 3/4 (Pasa- adena), 6,4 (USCGS), MLH = 7,3 (Kraków), 7,2 (Racibórz)	
						$\Delta = 77,0^{\circ}$ iP	08 52 35 C
4.II	Kra. (Ch)	Iles Proches, Aléoutiennes, USCGS: 52,0 ⁰ N, 173,9 ⁰ E, H = 07 ^h 14 ^m 58,7 ^s , h = = 25 km ca; M = 5,8 (USCGS)		4.II	(GW)	ePcP	52
		$\Delta = 75,4^{\circ}$ iP	07 26 46			ePP	55 35
4.II	Rac. (SK)	$\Delta = 75,6^{\circ}$ ePcP	57	4.II	Rac. (M)	eIS	09 02 22
		$\Delta = 75,6^{\circ}$ eP	07 26 49			Lm	29 45
4.II	Kra. (SKM)	Iles Proches, Aléoutiennes, USCGS: 51,9 ⁰ N, 173,2 ⁰ E, H = 07 ^h 23 ^m 12,3 ^s , h = = 25 km ca; M = 5,5 (USCGS)		4.II	Rac. (M)	NE: 18 ^s ; 125 μ , 73 μ	
		$\Delta = 75,6^{\circ}$ eP	07 34 58			eP	08 52 39
4.II	Rac. (SK)	$\Delta = 75,4^{\circ}$ ePcP	35 05	4.II	Kra. (GW)	ePcP	52
		$\Delta = 75,4^{\circ}$ eP	07 35 04			eSKS	09 02 47
4.II	Kra. (SKM)	Iles Proches, Aléoutiennes, USCGS: 52,6 ⁰ N, 172,1 ⁰ E, H = 12 ^h 06 ^m 04,3 ^s , h = = 25 km ca; M = 6 1/2 (Pasa- adena), 5,8 (USCGS)		4.II	Rac. (SK)	eL	08
		$\Delta = 75,6^{\circ}$ eP	07 35 04			Lm	33,8
4.II	Rac. (SK)	$\Delta = 75,6^{\circ}$ eP	07 35 04	4.II	Kra. (SKM)	NE: 16 ^s ; 100 μ , 60 μ	
						eP	12 17 44
4.II	Kra. (SKM)	Iles Proches, Aléoutiennes, USCGS: 51,9 ⁰ N, 174,3 ⁰ E, H = 08 ^h 06 ^m 16,6 ^s , h = = 40 km ca; M = 5,6 (USCGS)		4.II	Rac. (SK)	eIPcP	18 05
		$\Delta = 74,1^{\circ}$ eP	12 17 44			eIPP	20 32

- 29 -

Dates	Station	Phases	G.M.T. h m s	Dates	Station	Phases	G.M.T. h m s
4.II (GW) (suite)	Kra. (suite)	eIPPP	12 22 22	4.II	Kra.	eIP	16 05 53
		iS	27 21			eIS	12 35
		eISKS	28 05	Rac. (SK)	$\Delta = 74,0^{\circ}$ eIP	16 03 04	
		Lm	54 51				
4.II	Rac. (M)	NE: 16 ^s ; 18 μ , 11 μ $\Delta = 74,6^{\circ}$ eP	12 17 50	4.II	Kra. (SKM)	Iles aux Rats, Aléoutiennes, USCGS: 51,5 ⁰ N, 176,4 ⁰ E, H = 16 ^h 28 ^m 14,6 ^s , h = 35 km ca; M = 5,0 (USCGS)	
		eS	27 29			$\Delta = 76,5^{\circ}$. Traces eP	16 40 06
		ePPS	28 11			ePcP	18
4.II	Kra. (SKM)	Iles Proches, Aléoutiennes, USCGS: 51,6 ⁰ N, 174,8 ⁰ E, H = 12 ^h 50 ^m 57,5 ^s , h = = 25 km ca; M = 5,2 (USCGS)		4.II	Rac. (SK)	Iles Proches, Aléoutiennes, USCGS: 52,0 ⁰ N, 173,1 ⁰ E, H = 16 ^h 32 ^m 36,0 ^s , h = = 30 km ca; M = 5,2 (USCGS)	
		$\Delta = 76,0^{\circ}$ eIP	13 02 47 C			$\Delta = 75,0^{\circ}$ eP	16 44 23
4.II	Rac. (SK)	$\Delta = 76,0^{\circ}$. Traces eP	13 02 49	4.II	Rac. (SK)	$\Delta = 75,4^{\circ}$. Traces eP	16 44 31
4.II	Kra. (GW)	Iles Proches, Aléoutiennes, USCGS: 53,0 ⁰ N, 171,0 ⁰ E, H = 14 ^h 18 ^m 27,9 ^s , h = = 30 km ca; M = 6 1/4 (Pasa- adena), 5,7 (USCGS); 5,6 (Kraków)		4.II	Kra. (SKM)	Iles aux Rats, Aléoutiennes, USCGS: 51,3 ⁰ N, 176,9 ⁰ E, H = 17 ^h 04 ^m 35,4 ^s , h = = 20 km ca; M = 5,2 (USCGS)	
		$\Delta = 73,5^{\circ}$ eIP	14 30 06			$\Delta = 76,7^{\circ}$ eP	17 16 29
4.II	Rac. (SK)	ePcP	21	4.II	Kra. (SKM)	ePcP	43
		eIPP	33 01			4.II	Rac. (SK)
4.II	Kra. (SK)	eIS	39 41	4.II	Kra. (SKM)		
		eSKS	40 16			ePcP	53
4.II	Rac. (SK)	eL	15 02,2	4.II	Rac. (SK)	Iles aux Rats, Aléoutiennes, USCGS: 51,2 ⁰ N, 176,7 ⁰ E, H = 18 ^h 34 ^m 07,3 ^s , h = = 35 km ca; M = 5,3 (USCGS)	
		Lm	08 04			$\Delta = 76,5^{\circ}$ eP	18 45 59
4.II	Rac. (SK)	N: 16 ^s ; 20 μ E: 14 ^s ; 10,8 μ		4.II	Kra. (SKM)	ePcP	46 18
		$\Delta = 74,2^{\circ}$ eP	14 30 07			$\Delta = 76,8^{\circ}$ eP	18 46 02
4.II	Rac. (SK)	ePcP	24	4.II	Kra. (GW)	Iles Proches, Aléoutiennes, USCGS: 53,1 ⁰ N, 170,8 ⁰ E, H = 15 ^h 51 ^m 25,5 ^s , h = = 40 km ca; M = 6 1/4 (Pasa- adena), 5,7 (USCGS)	
		eS	39 44			$\Delta = 73,5^{\circ}$ eP	16 03 02
4.II	Rac. (SK)	Iles Proches, Aléoutiennes, USCGS: 53,1 ⁰ N, 170,8 ⁰ E, H = 15 ^h 51 ^m 25,5 ^s , h = = 40 km ca; M = 6 1/4 (Pasa- adena), 5,7 (USCGS)		4.II	Rac. (SK)	ePcP	18
		$\Delta = 73,5^{\circ}$ eP	16 03 02				

- 30 -

Dates	Station	Phases	G.M.T. h m s	Dates	Station	Phases	G.M.T. h m s
4.II	Iles Proches, Aléoutiennes, USCGS: 51,5°N, 174,8°E, H = 18 ^h 39 ^m 47,2 ^s , h = = 33 km ca; M = 5,1 (USCGS)	Kra. (SKM) eP epP	Δ = 76,0° 18 51 37 45	4.II	Kra. (SKM) eP	Δ = 75,5° 22 41 53	
4.II	Crête médiane de l'Atlanti- que, USCGS: 13,5°N, 44,8°W, H = 18 ^h 56 ^m 27,7 ^s , h = = 33 km ca; M = 5,5 (USCGS)	Kra. (SKM) eP epP	Δ = 63,5° 19 06 58 07 05	5.II	Iles aux Rats, Aléoutien- nes, USCGS: 52,0°N, 176,6°E, H = 00 ^h 31 ^m 35,5 ^s , h = = 40 km ca; M = 4,9 (USCGS)	Kra. (SKM) eP i	Δ = 76,0° 00 43 23 55
4.II	Crête médiane de l'Atlanti- que Nord, USCGS: 13,3°N, 44,8°W, H = 19 ^h 44 ^m 05,6 ^s , h = 33 km ca; M = 5,4 (USCGS)	Rac. (SK) eP ePcP	Δ = 62,5° 19 54 30 55 06	5.II	Iles Proches, Aléoutiennes, USCGS: 51,5°N, 174,9°E, H = 02 ^h 58 ^m 28,5 ^s , h = = 36 km ca; M = 5,4 (USCGS)	Kra. (SKM) eP iPcP	Δ = 76,0° 03 10 18 28
4.II	Iles Proches, Aléoutiennes, USCGS: 51,6°N, 174,7°E, H = 19 ^h 57 ^m 49,1 ^s , h = = 25 km ca; M = 5,3 (USCGS)	Kra. (SKM) eiP epP	Δ = 63,6° 19 54 37 20 03 17	5.II	Iles aux Rats, Aléoutien- nes, USCGS: 51,8°N, 175,1°E, H = 06 ^h 39 ^m 49,6 ^s , h = = 25 km ca; M = 6 1/4 - 6 1/2 (Pa- sadena), 5,7 (USCGS), 5 3/4 (Palisades)	Kra. (SKM) eiP ePcP	Δ = 76,0° 06 51 38 48
4.II	Iles aux Rats, Aléoutien- nes, USCGS: 51,6°N, 176,6°E, H = 20 ^h 32 ^m 25,1 ^s , h = = 40 km ca; M = 5,6 (USCGS)	Rac. (SK) eP	Δ = 76,5° 20 44 16	5.II	Iles Proches, Aléoutiennes, USCGS: 51,7°N, 174,7°E, H = 07 ^h 19 ^m 15,0 ^s , h = = 40 km ca; M = 5,0 (USCGS)	Rac. (SK) eP ePcP	Δ = 75,8° 06 51 42 52
4.II	Iles Proches, Aléoutiennes, USCGS: 51,8°N, 174,2°E, H = 22 ^h 30 ^m 05,1 ^s , h = = 31 km ca; M = 5,4 (USCGS)	Kra. (SKM) eP ePcP	Δ = 76,0° 20 44 15 28	5.II	Iles Proches, Aléoutiennes, USCGS: 52,3°N, 174,3°E, H = 09 ^h 32 ^m 09,3 ^s , h = = 41 km ca; M = 6 1/2 (Pasa- dena), 5,9 (USCGS), 5 1/2 (Berkeley)	Kra. (Ch) eP	Δ = 76,0°. Traces 07 31 00

- 31 -

Dates	Station	Phases	G.M.T. h m s	Dates	Station	Phases	G.M.T. h m s
5.II (suite)	Kra. (SKM) eiP (GW) iPcP eS eSKS ePS eL	Δ = 75,0° 09 43 53 D 44 08 53 28 54 02 09 10 01		5.II	Iles aux Rats, Aléoutien- nes, USCGS: 51,1°N, 178,3°E, H = 21 ^h 48 ^m 25,8 ^s , h = 25 km ca; M = 5,4 (USCGS)	Kra. (SKM) eP ePcP	Δ = 76,5°. Traces 22 00 22 32
5.II	Rac. (SK) eP	Δ = 75,3° 09 43(54)		5.II	Iles aux Rats, Aléoutien- nes, USCGS: 51,5°N, 176,7°E, H = 22 ^h 15 ^m 59,5 ^s , h = = 25 km ca; M = 5,6 (USCGS)	Rac. (SK) eP	Δ = 77,2°. Traces 22 00 23
5.II	Iles Proches, Aléoutiennes, USCGS: 52,0°N, 174,0°E, H = 13 ^h 38 ^m 46,7 ^s , h = = 35 km ca; M = 6,6 (USCGS)	Kra. (SKM) eiP Rac. (SK) eP	Δ = 75,0° 13 50 32 D Δ = 75,6°. Traces 13 50 34	5.II	Iles Proches, Aléoutiennes, USCGS: 51,6°N, 174,0°E, H = 18 ^h 24 ^m 02,8 ^s , h = = 34 km ca; M = 5,3 (USCGS)	Kra. (SKM) eP epP	Δ = 76,0° 22 27 51 28 00 23 03 Δ = 76,5°. Traces 22 27 52
5.II	Iles Proches, Aléoutiennes, USCGS: 51,6°N, 174,0°E, H = 18 ^h 24 ^m 02,8 ^s , h = = 34 km ca; M = 5,3 (USCGS)	Rac. (SK) eP	Δ = 75,6°. Traces 13 50 34	6.II	Sud de l'Alaska, USCGS: 53,2°N, 161,9°W, H = = 01 ^h 40 ^m 33,2 ^s , h = = 33 km ca; M = 6 1/2 - 6 3/4 (Pasadena), 6,4 (USCGS)	Rac. (SK) eP	Δ = 76,5°. Traces 22 27 52
5.II	Iles Proches, Aléoutiennes, USCGS: 52,0°N, 173,2°E, E = 19 ^h 00 ^m 41,9 ^s , h = = 27 km ca; M = 5 1/2 (Moskva), 5,5 (USCGS)	Kra. (SKM) eP epP	Δ = 75,5° 18 35 53 36 02	6.II	Iles Proches, Aléoutiennes, USCGS: 51,9°N, 174,6°E, H = 20 ^h 47 ^m 13,3 ^s , h = = 35 km ca; M = 5,7 (USCGS)	Kra. (GW) iP ePcP ePP eIS eSKS eScS ePS Lm E: 13 ^s ; 4μ Lm N: 17 ^s ; 9,2μ	Δ = 76,7° 01 52 26 36 55 20 02 02 20 36 38 56 31 54 32 54
5.II	Iles Proches, Aléoutiennes, USCGS: 51,9°N, 174,6°E, H = 20 ^h 47 ^m 13,3 ^s , h = = 35 km ca; M = 5,7 (USCGS)	Rac. (SK) iP ePcP	Δ = 75,3° 19 12 35 D 45	6.II	Région de la Crête, BCIS: 35,4°N, 26,3°E, H = 03 ^h 47 ^m 55 ^s	Rac. (SK) eiP ePcP ePP eS ePPS	Δ = 76,7° 01 52 27 D 39 55 19 02 02 20 03 19
5.II	Iles Proches, Aléoutiennes, USCGS: 51,9°N, 174,6°E, H = 20 ^h 47 ^m 13,3 ^s , h = = 35 km ca; M = 5,7 (USCGS)	Rac. (SK) eP Kra. (GW) eiP ePP eS	Δ = 75,7° 20 59 01 Δ = 75,0° 20 59 03 21 01 53 08 42				

- 32 -

Dates	Station	Phases	G.M.T. h m s	Dates	Station	Phases	G.M.T. h m s
6.II (suite)	Kra. (SKM)	$\Delta = 15,4^\circ$ eiP eiPP ePPP	03 51 36 45 56	6.II		H = 07 ^h 14 ^m 45,1 ^s , h = = 35 km ca; M = 5,4 (USCGS)	
6.II		Iles aux Rats, Aléoutiennes, USCGS: 52,1 ^o N, 175,7 ^o E, H = 04 ^h 02 ^m 53 ^s , h = 35 km ca; M = 5,9 (USCGS), 6 (Palisades) MLH = 6,1 (Kraków)			Kra. (SKM)	$\Delta = 74,5^\circ$ eiP ePcP	07 26 29 38
	Kra. (SKM) (GW)	$\Delta = 76,0^\circ$ iP epP eiPPP eS eSKS eScS ePS Lm	04 14 39 D 52 19 23 24 36 50 56 25 05 49 21		Rac. (SK)	$\Delta = 75,3^\circ$. Traces eP	07 26 32
		N: 17 ^s ; 6,2 μ Lm	30	6.II		Iles aux Rats, Aléoutiennes, USCGS: 51,8 ^o N, 175,3 ^o E, H = 12 ^h 22 ^m 26,2 ^s , h = 35 km ca; M = 5,4 (USCGS)	
	Rac. (SK)	$\Delta = 75,7^\circ$ eP ePP	04 14 42 17 41		Kra. (SKM)	$\Delta = 76,0^\circ$ iP ePcP	12 34 14 C 25
6.II		Iles aux Rats, Aléoutiennes, USCGS: 51,5 ^o N, 175,8 ^o E, H = 05 ^h 32 ^m 12,2 ^s , h = 30 km ca; M = 5,0 (USCGS)			Rac. (SK)	$\Delta = 76,0^\circ$. Traces eP ePcP	12 34 16 26
	Kra. (SKM)	$\Delta = 76,0^\circ$ eP ePcP	05 44 03 13	6.II		Iles Proches, Aléoutiennes, USCGS: 51,7 ^o N, 174,2 ^o E, H = 14 ^h 11 ^m 10,1 ^s , h = 38 km ca; M = 6,0 (USCGS)	
6.II		Iles Proches, Aléoutiennes, USCGS: 52,0 ^o N, 173,2 ^o E, H = 06 ^h 23 ^m 39,0 ^s , h = 30 km ca; M = 5,3 (USCGS)			Kra. (SKM)	$\Delta = 75,8^\circ$ eiP ePcP	14 22 57 23 06
	Kra. (SKM)	$\Delta = 74,5^\circ$ eP ePcP	06 35 24 34		Rac. (SK)	$\Delta = 75,8^\circ$. Traces eP ePcP	14 22 59 23 09
	Rac. (SK)	$\Delta = 75,5^\circ$. Traces eP ePcP	06 35 26 35	6.II		Sud de l'Alaska, USCGS: 53,3 ^o N, 161,8 ^o W, H = 16 ^h 50 ^m 29 ^s , h = 33 km ca; M = 6 1/2 (Pasadena), 6,5 (Berkeley), 6,1 (USCGS)	
6.II		Iles Proches, Aléoutiennes, USCGS: 52,1 ^o N, 173,0 ^o E,			Kra. (GW)	$\Delta = 76,7^\circ$ eP ePcP ePP ePPP eS sSKS eScS Lm	17 02 20 35 05 17 07 09 12 10 12 33 39 37 28
		N: 18 ^s ; 8 μ					

- 33 -

Dates	Station	Phases	G.M.T. h m s	Dates	Station	Phases	G.M.T. h m s
6.II (suite)	Rac. (SK)	$\Delta = 76,2^\circ$ eP ePcP ePP	17 02 21 34 05 06	7.II		Iles Proches, Aléoutiennes, USCGS: 51,9 ^o N, 173,4 ^o E, H = 23 ^h 48 ^m 16,9 ^s , h = 31 km ca; M = 5,2 (USCGS)	
6.II		Iles aux Rats, Aléoutiennes, USCGS: 51,3 ^o N, 176,5 ^o E, H = 18 ^h 07 ^m 24,7 ^s , h = 33 km ca; M = 5,0 (USCGS)			Kra. (SKM)	$\Delta = 74,5^\circ$ eP ePcP	00 00 03 13
	Kra. (SKM)	$\Delta = 76,0^\circ$ eP ePP	18 19 17 22 19		Rac. (SK)	$\Delta = 75,5^\circ$. Traces eP	00 00 05
6.II		Iles aux Rats, Aléoutiennes, USCGS: 51,5 ^o N, 176,5 ^o E, H = 18 ^h 10 ^m 28,8 ^s , h = 35 km ca; M = 5,3 (USCGS)		7.II		Iles Proches, Aléoutiennes, USCGS: 52,2 ^o N, 172,1 ^o E, H = 01 ^h 00 ^m 12,5 ^s , h = 30 km ca; M = 5,3 (USCGS)	
	Kra. (SKM)	$\Delta = 76,0^\circ$ eiP	18 22 19		Kra. (SKM)	$\Delta = 74,5^\circ$ eP	01 11 55
	Rac. (SK)	$\Delta = 76,5^\circ$. Traces eP	18 22 22	7.II		Iles Proches Aléoutiennes, USCGS: 51,4 ^o N, 173,4 ^o E, H = 02 ^h 17 ^m 09,2 ^s , h = 40 km ca; M = 6,0 (USCGS)	
6.II		Iles aux Rats, Aléoutiennes, USCGS: 51,3 ^o N, 176,2 ^o E, H = 18 ^h 42 ^m 29,2 ^s , h = 25 km ca; M = 5,0 (USCGS)			Kra. (SKM) (GM)	$\Delta = 75,6^\circ$ eiP ePcP ePP	02 28 57 D 29 17 31 54
	Kra. (SKM)	$\Delta = 76,0^\circ$ eiP eiPcP	18 54 23 35		Rac. (SK)	$\Delta = 76,0^\circ$ eP ePcP	02 29 00 09
	Rac. (SK)	$\Delta = 76,7^\circ$ eP	18 54 24	7.II		Iles aux Rats, Aléoutiennes, USCGS: 51,9 ^o N, 175,3 ^o E, H = 04 ^h 11 ^m 19,3 ^s , h = 25 km ca; M = 5,5 (USCGS)	
6.II		Iles aux Rats, Aléoutiennes, USCGS: 51,3 ^o N, 176,5 ^o E, H = 19 ^h 19 ^m 52 ^s , h = 25 km ca; M = 4,8 (USCGS)			Kra. (SKM)	$\Delta = 76,0^\circ$ iP ePcP	04 23 08 C 22
	Kra. (SKM)	$\Delta = 76,0^\circ$. Traces eP ePcP	19 31 44 57		Rac. (SK)	$\Delta = 75,8^\circ$ eP	04 23 10
6.II		Iles Proches, Aléoutiennes, USCGS: 52,8 ^o N, 172,0 ^o E, H = 21 ^h 02 ^m 59,6 ^s , h = 20 km ca; M = 5,6 (USCGS)		7.II		Iles aux Rats, Aléoutiennes, USCGS: 51,5 ^o N, 175,0 ^o E, H = 04 ^h 35 ^m 48,0 ^s , h = 30 km ca; M = 4,9 (USCGS)	
	Kra. (SKM)	$\Delta = 73,6^\circ$ eP	21 14 41		Kra. (SKM)	$\Delta = 76,3^\circ$ eP ePcP	04 47 38 46
				7.II		Iles Proches, Aléoutiennes, USCGS: 51,7 ^o N, 174,9 ^o E,	

Dates	Station	Phases	G.M.T. h m s	Dates	Station	Phases	G.M.T. h m s
7.II (suite)		H = 05 ^h 58 ^m 54,3 ^s , h = = 25 km ca; M = 5,2 (USCGS)		7.II	Rac. (SK)	$\Delta = 75,1^\circ$. Traces eP 17 24 55	
	Kra. (SKM)	$\Delta = 76,0^\circ$ eiP ePcP	06 10 44 52	8.II		Iles Proches, Aléoutiennes, USCGS: 51,7 ^o N, 174,2 ^o E, H = 01 ^h 41 ^m 31,1 ^s , h = = 33 km ca; M = 4,8 (USCGS)	
	Rac. (SK)	$\Delta = 76,1^\circ$. Traces eP	06 10 46		Rac. (SK)	$\Delta = 75,8^\circ$. Traces eP ePcP	01 53 20 33
7.II		Iles Proches, Aléoutiennes, USCGS: 51,8 ^o N, 174,7 ^o E, H = 08 ^h 40 ^m 05,3 ^s , h = = 35 km ca; M = 5,1 (USCGS)		8.II		Iles Proches, Aléoutiennes, USCGS: 51,8 ^o N, 174,6 ^o E, H = 07 ^h 23 ^m 08,8 ^s , h = 33 km ca; M = 5,4 (USCGS)	
	Kra. (SKM)	$\Delta = 76,0^\circ$ eiP ePcP	08 51 52 59		Kra. (SKM)	$\Delta = 75,5^\circ$ eiP ePcP	07 34 57 35 07
7.II		Iles aux Rats, Aléoutien- nes, USCGS: 51,4 ^o N, 179,1 ^o E, H = 09 ^h 25 ^m 51,1 ^s , h = 30 km ca; M = 5,3 (USCGS) 6¼ (Pasadena)		8.II		Iles aux Rats, Aléoutien- nes, USCGS: 51,7 ^o N, 175,0 ^o E, H = 10 ^h 09 ^m 18,4 ^s , h = 25 km ca; M = 5,4 (USCGS)	
	Kra. (SKM)	$\Delta = 76,8^\circ$ eP ePcP	09 37 45 59		Kra. (Ch)	$\Delta = 75,5^\circ$ eP ePcP	10 21 09 16
7.II		Iles Proches, Aléoutiennes, USCGS: 52,2 ^o N, 172,4 ^o E, H = 11 ^h 23 ^m 14,8 ^s , h = = 35 km ca; M = 5,3 (USCGS)		8.II		Iles du Commandeur, USCGS: 55,1 ^o N, 165,7 ^o E, H = = 15 ^h 46 ^m 49,9 ^s , h = 40 km ca; M = 5,6 (USCGS), 5½ (Pasa- dena), MLH = 6,0 (Kraków)	
	Kra. (SKM)	$\Delta = 74,5^\circ$ eiP eiPcP	11 34 56 35 04		Kra. (SKM)	$\Delta = 70,4^\circ$ iP ePP	15 58 07 D 16 00 38
	Rac. (SK)	$\Delta = 75,1^\circ$. Traces eP	11 35 05		(GW)	eS ei(PS) eiPPS eL Lm	07 19 45 51 28,5 33 04
7.II		Iles Proches, Aléoutiennes, USCGS: 53,0 ^o N, 171,7 ^o E, H = 12 ^h 21 ^m 21,1 ^s , h = = 25 km ca; M = 5,3 (USCGS)				E: 13 ^s ; 3,0 μ N: 14 ^s ; 5,8 μ	
	Kra. (SKM)	$\Delta = 73,0^\circ$ eiP ePcP	12 33 00 13		Rac. (SK)	$\Delta = 70,8^\circ$ eP epP	15 58 12 20
7.II		Iles Proches, Aléoutiennes, USCGS: 52,2 ^o N, 173,1 ^o E, H = 17 ^h 13 ^m 08,2 ^s , h = = 35 km ca; M = 5,4 (USCGS)		8.II		Iles du Commandeur, USCGS: 55,2 ^o N, 165,3 ^o E, H =	
	Kra. (SKM)	$\Delta = 74,5^\circ$ eiP ePcP	17 24 51 C 25 03,				

Dates	Station	Phases	G.M.T. h m s	Dates	Station	Phases	G.M.T. h m s
8.II (suite)		= 17 ^h 37 ^m 24,6 ^s , h = 30 km ca, M = 5,8 (USCGS)		9.II	Kra. (SKM)	$\Delta = 75,0^\circ$ eP ePcP	23 23 11 18
	Kra. (SKM)	$\Delta = 70,7^\circ$ eP	17 48 43		Rac. (SK)	$\Delta = 75,2^\circ$. Traces eP ePcP	23 23 13 25
	Rac. (SK)	$\Delta = 70,9^\circ$. Traces eP	17 48 43	9.II		Iles Proches, Aléoutiennes, USCGS: 52,4 ^o N, 173,5 ^o E, H = 00 ^h 38 ^m 06,1 ^s , h = = 35 km ca; M = 5,0 (USCGS)	
9.II					Kra. (SKM)	$\Delta = 75,0^\circ$ eP ePcP	00 49 50 50 00
	Kra. (SKM)	e .e	04 47 28,7 48,7	9.II		Proche	
9.II					Kra. (Ch)	eP	12 59 01,8
9.II		Iles Proches, Aléoutiennes, USCGS: 52,8 ^o N, 171,9 ^o E, H = 17 ^h 37 ^m 15,9 ^s , h = 41 km ca; M = 5,7 (USCGS)		9.II			
	Kra. (SKM)	$\Delta = 75,0^\circ$ iP (GW)	17 48 54 D 49 12		Rac. (SK)	$\Delta = 74,5^\circ$ eP ePcP	17 48(55) 49 16
	Rac. (SK)	$\Delta = 74,5^\circ$ eP ePcP	17 48(55) 49 16	9.II		Proche?	
9.II					Kra. (SKM)	Traces e e	18 28 31 38
9.II		Iles Proches, Aléoutiennes, 51,8 ^o N, 173,5 ^o E, H = = 18 ^h 18 ^m 21,2 ^s , h = 10 km ca; M = 5,1 (USCGS)		9.II			
	Kra. (Ch)	$\Delta = 76,0^\circ$. Traces eP ePcP	18 30 12 27		Rac. (SK)	$\Delta = 24,0^\circ$. Traces eP	16 15 06
9.II		Iles Ioniennes, BCIS: 38 ^o N, 20,5 ^o E, H = 20 ^h 38 ^m 48 ^s		11.II		Région des Iles Fidji, USCGS 21,8 ^o S, 176,4 ^o W, H = 02 ^h 33 ^m 29,3 ^s , h = = 174 km ca; M = 5,8 (USCGS)	
	Kra. (SKM)	$\Delta = 12,1^\circ$ eP ePP	20 41 40 48		Kra. (SKM)	$\Delta = 148,0^\circ$ iPKP ₁ epPKP ₁	02 52 57 D 53 41
9.II		Iles Proches, Aléoutiennes, USCGS: 52,2 ^o N, 173,3 ^o E, H = 23 ^h 11 ^m 26,7 ^s , h = = 33 km ca; M = 5,1 (USCGS), 5¼-5½ (Palisades)			Rac. (SK)	$\Delta = 149,5^\circ$ eiPKP ₁ ePKP ₂	02 53 00 09

- 36 -

Dates	Station	Phases	G.M.T. h m s	Dates	Station	Phases	G.M.T. h m s
11.II	Région de l'île Ascension, USCGS: 1,3°S, 14,4°W, H = = 04 ^h 42 ^m 00,7 ^s , h = = 33 km ca	Rac. $\Delta = 58,5^\circ$. Traces (SK) eP Kra. $\Delta = 59,0^\circ$ (SKM) eP	04 51 58 04 51 58	14.II	Kra. $\Delta = 23,6^\circ$ (SKM) eP		18 01 00
12.II	Iles aux Rats, Aléoutiennes, USCGS: 51,5°N, 175,8°E, H = 00 ^h 43 ^m 17,1 ^s , h = 33 km ca; M = 5 ³ / ₄ (Pa- sadena), 5,4 (USCGS)	Rac. $\Delta = 75,5^\circ$. Traces (SK) eP Kra. $\Delta = 76,0^\circ$ (GW) eP	00 55 11 00 55 12	14.II	Océan glacial arctique, USCGS: 73,0°N, 6,5°E, H = 19 ^h 37 ^m 17,8 ^s , h = = 33 km ca; M = 5,4 (USCGS)	Rac. $\Delta = 23,5^\circ$ (SK) eP ePP ePPP Kra. $\Delta = 23,7^\circ$ (SKM) eiP	19 42 31 51 43 14 19 42 34
12.II	Iles Proches, Aléoutiennes, USCGS: 52,2°N, 172,8°E, H = 00 ^h 55 ^m 06,2 ^s , h = = 25 km ca; M = 6,0 (Pa- sadena), 5,5 (USCGS)	Kra. $\Delta = 74,7^\circ$ (SKM) eiP (GW) ePcP eS eScS Rac. $\Delta = 75,2^\circ$ (SK) eP ePcP	01 06 51 C 07 03 16 26 17 03 01 06 54 07 05	14.II	Iles Proches, Aléoutiennes, USCGS: 52,4°N, 173,9°E, H = 21 ^h 17 ^m 34,4 ^s , h = = 39 km ca; M = 5,3 (USCGS)	Kra. $\Delta = 75,0^\circ$ (SKM) eP ePcP	21 29 17 27
13.II	Région frontière NW Iran - URSS; USCGS: 38,4°N, 45,7°E, H = 00 ^h 57 ^m 02 ^s , h = 33 km ca	Kra. $\Delta = 21,7^\circ$ (SKM) eP	01 01 52	14.II	Proche	Kra. $\Delta = 74,5^\circ$ (SKM) eP ePcP	22 48 47,0 53,5
14.II	Océan glacial arctique, USCGS: 72,8°N, 5,4°E, H = 17 ^h 55 ^m 42,4 ^s , h = = 19 km ca; M = 5,1 (USCGS)	Rac. $\Delta = 23,4^\circ$. Traces (SK) eP	18 00 57	15.II	Iles aux Rats, Aléoutien- nes, USCGS: 51,4°N, 179,4°E, H = 01 ^h 25 ^m 08,8 ^s , h = = 42 km ca; M = 6,0 (Ber- keley), 5,8 (USCGS)	Kra. $\Delta = 77,0^\circ$ (SKM) eP ePcP Rac. $\Delta = 77,1^\circ$. Traces (SK) eP	01 37 02 14 01 37 03
				15.II	Iles Proches, Aléoutiennes, USCGS: 52,2°N, 172,7°E, H = 05 ^h 01 ^m 27,2 ^s , h = = 33 km ca; M = 5,3 (USCGS)	Kra. $\Delta = 75,2^\circ$. Traces (SK) eP ePcP	05 13 14 24

- 37 -

Dates	Station	Phases	G.M.T. h m s	Dates	Station	Phases	G.M.T. h m s
15.II	Iles Talaud, USCGS: 3,0°N, 125,9°E, H = 10 ^h 43 ^m 19,8 ^s , h = 33 km ca; M = 6,0 (USCGS)	Kra. $\Delta = 98,0^\circ$ (SKM) iP	10 56 53 C	17.II	Kra. $\Delta = 75,5^\circ$ (SKM) eP Rac. $\Delta = 76,0^\circ$. Traces (SK) eP		10 30 38 10 30 43
15.II	Sibérie, URSS; Moskva: 53,8°N, 81,4°E, H = 12 ^h 34 ^m 57 ^s ; M = 5-5 ¹ / ₂ (Moskva), 5,3 (USCGS)	Kra. $\Delta = 36,7^\circ$ (GM) eiP ePP ePPP ePcP Rac. $\Delta = 37,3^\circ$ (SK) eP eL	12 42 07 43 30 47 44 29 12 42 15 50,5	18.II	Région frontière Birmanie- -Inde, USCGS: 25,0°N, 94,3°E, H = 04 ^h 26 ^m 33,5 ^s , h = 36 km ca; M = 5,4 (USCGS)	Kra. $\Delta = 61,2^\circ$ (Ch) eP epP Rac. $\Delta = 62,3^\circ$. Traces (SK) eP	04 36 44 55 04 37 09
16.II	Hondo, Japon, USCGS: 39,5°N, 141,8°E, H = = 12 ^h 24 ^m 08,8 ^s , h = = 33 km ca; M = 5,6 (USCGS) MLH = 6,9 (Kraków)	Kra. $\Delta = 76,9$ (GM) eiP ePcP ePPP eL Lm NE: 16 ^S ; 3,1 μ , 3,5 μ Rac. $\Delta = 77,5^\circ$ (SK) eP ePcP	12 36 04 18 40 44 13 13,0 29 NE: 16 ^S ; 3,1 μ , 3,5 μ 12 36 07 17	18.II	Proche	Kra. $\Delta = 76,5^\circ$ (GW) eP eS eSKS Lm NE: 16 ^S ; 3,6 μ , 2,2 μ	11 05 02 09
16.II	Hindou-Kouch, USCGS: 36,3°N, 70,8°E, H = 20 ^h 46 ^m 37,4 ^s , h = 190 km ca; M = 5,3 (USCGS)	Kra. $\Delta = 38,5^\circ$ (SKM) iP eipP	20 53 46 54 26	18.II	Iles aux Rats, Aléoutien- nes, USCGS: 51,4°N, 179,1°E, H = 23 ^h 13 ^m 36,3 ^s , h = 28 km ca; M = 6 (Pa- sadena), 5,4 (USCGS), MLH = 5,8 (Kraków)	Kra. $\Delta = 76,5^\circ$ (GW) eP eS eSKS Lm NE: 16 ^S ; 3,6 μ , 2,2 μ	23 25 31 35 24 43 00 05 44
17.II	Iles aux Rats, Aléoutien- nes, USCGS: 51,8°N, 176,6°E, H = 10 ^h 18 ^m 51,3 ^s , h = 44 km ca; M = 6 ¹ / ₂ (Pa- sadena), 5,6 (USCGS, Ber- keley)			20.II	Iles aux Rats, Aléoutien- nes, USCGS: 50,4°N, 178,2°E, H = 22 ^h 06 ^m 38,3 ^s , h = 32 km ca; M = 5,1 (USCGS)	Kra. $\Delta = 78,0^\circ$. Traces (SKM) eP ePcP	22 18 37 56
				21.II	Iles Tonga, USCGS: 15,1°S, 173,2°W, H = 11 ^h 14 ^m 15,1 ^s , h = 33 km ca; M = 6 (Pa- sadena), 5,7 (USCGS)	Kra. $\Delta = 143,5^\circ$. Traces (SKM) ePKP	11 33 46

- 38 -

Dates	Station	Phases	G.M.T. h m s	Dates	Station	Phases	G.M.T. h m s
21.II (suite)	Rac. (SK)	$\Delta = 143,7^\circ$. Traces ePKP	11 33 48	25.II	Région frontière Birmanie - Inde, USCGS: 23,8°N, 94,8°E, H = 10 ^h 34 ^m 06,1 ^s , h = 87 km ca; M = 5,4 (USCGS)		
22.II		Iles Proches, Aléoutiennes, USCGS: 51,9°N, 173,4°E, H = 09 ^h 14 ^m 51,3 ^s , h = 35 km ca; M = 5-5/4 (Moskva), 5,5 (USCGS)		Kra. (SKM)	$\Delta = 62,5^\circ$. Traces eP	10 44 23	
Kra. (SKM)		$\Delta = 75,5^\circ$ eiP	09 26 37	epP		49	
Rac. (SK)		$\Delta = 75,4^\circ$. Traces eP	09 26 38	25.II	Région des Iles Philippi- nes, USCGS: 19,2°N, 121,2°E, H = 16 ^h 04 ^m 45,7 ^s , h = 13 km ca; M = 5,1 (USCGS)		
23.II		Près de la côte Nord du Chili, USCGS: 25,7°S, 70,5°W, H = 22 ^h 11 ^m 50,2 ^s , h = 80 km ca; M = 7 1/2 (Pasadena), 6 3/4 (Moskva)		Kra. (SKM)	$\Delta = 82,3^\circ$. Traces eP	16 17 17	
Kra. (GW)		$\Delta = 109,5^\circ$ ePdif	22 26 07	ePcP		25	
		ePKP	30 11	26.II	Iran oriental, BCIS: 35,6°N, 57,5°E, H = 01 ^h 37 ^m 10 ^s		
		1PP	57	Kra. (SKM)	$\Delta = 30,5^\circ$ eP	01 43 23	
		ePPP	33 12	(GW)	eL	02 02	
		ePKS	53	26.II	Région des Iles Fidji, USCGS: 18,8°S, 176,1°W, H = 04 ^h 42 ^m 28,3 ^s , h = = 33 km ca; M = 5,3 (USCGS)		
		eiSKS	36 54	Kra. (SKM)	$\Delta = 146,2^\circ$ ePKP	05 02 12	
		Lm	23 16 24	Rac. (SK)	$\Delta = 146,7^\circ$. Traces ePKP	05 02 15	
		NE: 27°S, 20°S; 16 μ , 16,5 μ		26.II	Région des Iles Fidji, USCGS: 18,9°S, 176,3°W, H = 05 ^h 36 ^m 01,1 ^s , h = = 61 km ca; M = 5,4 (USCGS)		
Rac. (SK)		$\Delta = 108,7^\circ$. Traces ePKP	22 30 12	Kra. (SKM)	$\Delta = 146,5^\circ$. Traces ePKP	05 55 36	
25.II		Iles Proches, Aléoutiennes, USCGS: 52,1°N, 173,2°E, H = 05 ^h 22 ^m 14,5 ^s , h = = 35 km ca; M = 6, 1/4 (Moskva), 5,6, (USCGS) MLH = = 6,4 (Kraków)		Rac. (SK)	$\Delta = 146,7^\circ$. Traces ePKP	05 55 44	
Rac. (M)		$\Delta = 75,3^\circ$. Traces eP	05 33 (58)	26.II	SW de Sumatra, USCGS: 6,7°S, 102,7°E, H = 08 ^h 55 ^m 42,2 ^s , h = 33 km ca; M = 5 3/4 (Moskva), 6,1 (USCGS)		
Kra. (SKM)		$\Delta = 75,0^\circ$ 1P	05 33 59 C	Kra. (SKM)	$\Delta = 90,5^\circ$		
(GW)		ePcP	34 13				
		ePP	36 48				
		eS	43 38				
		eSKS	44 01				
		eL	06 00,6				
		Lm	02 19				
		NE: 20°S; 9,6 μ , 17,5 μ					

- 39 -

Dates	Station	Phases	G.M.T. h m s	Dates	Station	Phases	G.M.T. h m s
26.II (suite)	(SKM)	eP epP	09 08 50 09 00	27.II	Golfe de Californie, USCGS: 28,5°N, 112,1°W, H = = 07 ^h 46 ^m 29,1 ^s , h = = 33 km ca; M = 5 1/2 (Pasa- dena), 5,3 (USCGS)		
26.II		Nord de la Colombie, USCGS: 6,9°N, 73,0°W, H = 23 ^h 36 ^m 12,2 ^s , h = 146 km ca; M = 5 3/4 -6 (Berkeley), 5,7 (USCGS)		Kra. (GW)	$\Delta = 90,6^\circ$ eL	08 20	
Kra. (SKM)		$\Delta = 86,5^\circ$ eP	23 48 41	27.II	Sud de l'Algérie, USCGS: 24,2°N, 5,1°E, H = = 11 ^h 29 ^m 59,0 ^s , h = 0; M = 5,8 (USCGS)		
27.II		Iles Riou-Kiou, USCGS: 25,1°N, 128,2°E, H = = 02 ^h 01 ^m 36,3 ^s , h = = 33 km ca; M = 5,2 (USCGS)	49 21	Kra. (SKM)	$\Delta = 28,0^\circ$ iP	11 35 40	
Kra. (SKM)		$\Delta = 82,0^\circ$ eP	02 13 55	(GW)	eL	12 05	
		ePcP	14 08	Rac. (M)	$\Delta = 27,7^\circ$. Traces eP	11 35 53	
1965	M A R S			1965			
1.III		Région de Formose, USCGS: 21,1°N, 121,2°E, H = = 08 ^h 18 ^m 56,4 ^s , h = = 42 km ca; M = 5,2 (USCGS)		1.III	Kra. (SKM)	$\Delta = 75,0^\circ$ eiP	19 33 48
Kra. (Ch)		$\Delta = 80,7^\circ$ eP	08 31 10	1.III	Région frontière Mexique- -Guatemala, USCGS: 15,4°N, 92,5°W, H = 21 ^h 32 ^m 11,8 ^s , h = 93 km ca; M = 6 (Pasa- dena), 5,9 (USCGS), 6 1/4 (Moskva)		
1.III		Région de Formose, USCGS: 21,2°N, 121,2°E, H = 13 ^h 20 ^m 56,7 ^s , h = 42 km ca; M = 5,5 (USCGS), 5 1/4 (Mo- skva)	08 31 10	Kra. (Ch)	$\Delta = 92,0^\circ$ 1P	21 45 11 C	
Kra. (Ch)		$\Delta = 80,7^\circ$ eP	13 33 09	(GW)	ePP	48 51	
1.III		Proche?	16	eSKS		55 40	
Kra. (SKM)		e ei	17 06 57 07 04		NE: 7°S; 1,9 μ , 1,5 μ eL	22 21,6	
1.III		Iles Proches, Aléoutiennes, USCGS: 52,2°N, 173,9°E, H = 19 ^h 22 ^m 01,6 ^s , h = = 30 km ca; M = 5,5 (USCGS)		Lm		23 30	
					N: 25°S; 6,9 μ		
				1.III	Région des Iles Fidji, USCGS: 23,5°S, 179,0°E, H = 21 ^h 52 ^m 04,4 ^s , h = = 541 km ca; M = 5,2 (USCGS)		
				Kra. (SKM)	$\Delta = 148,5^\circ$ ePKP ₁	22 10 47	
					eiPKP ₂	51	

Dates	Station	Phases	G.M.T. h m s	Dates	Station	Phases	G.M.T. h m s
1.III (suite)	Rac. (SK)	$\Delta = 149,8^{\circ}$ ePKP ₁	22 10 53	2.III		= 70 km ca; M = 4,9 (USCGS)	
2.III		Iles Kermadec, USCGS: 27,3°S, 177,9°W, H = = 23 ^h 52 ^m 32,1 ^s , h = = 33 km ca; M = 5,0 (USCGS)		Kra. (SKM)	$\Delta = 153,0^{\circ}$. Traces eiPKP ₁	16 54 20	
	Kra. (SKM)	$\Delta = 153,5^{\circ}$ ePKP ₁ eiPKP ₂	00 12 18 45	2.III	Anatolie occidentale, Turquie, BCIS: 38,4°N, 28,4°E, H = 22 ^h 00 ^m 05 ^s ; M = 5,8 (Pruhonice), 5,5 (Strasbourg), 5 ³ / ₄ (Moskva), MLH = 5,1 (Kraków)		
2.III		Iles Kermadec, USCGS: 27,4°S, 177,7°W, H = = 02 ^h 50 ^m 35,5 ^s , h = = 33 km ca; M = 5,2 (USCGS)		Kra. (SKM)	$\Delta = 13,0^{\circ}$ eP (GW) ePP ePPP eS eSS eL Lm	22 03 10 C 26 34 05 41 51 07 09 14	
	Kra. (SKM)	$\Delta = 153,5^{\circ}$. Traces ePKP ₁ ePKP ₂	03 10 31 51		E: 7,5 ^s ; 2,6 ^μ		
2.III		Iles Kermadec, USCGS: 27,3°S, 177,5°W, H = = 05 ^h 57 ^m 36,8 ^s , h = = 33 km ca; M = 5 ¹ / ₄ (Ber- keley), 5,2 (USCGS)		Lm		16	
	Kra. (SKM)	$\Delta = 153,5^{\circ}$. Traces ePKP ₁ ePKP ₂	06 17 33 50		N: 11 ^s ; 9,0 ^μ		
2.III		Mer du Groenland, USCGS: 73,5°N, 7,2°E, H = = 09 ^h 31 ^m 51 ^s , h = 33 km ca; M = 4,9 (USCGS)		Rac. (SK)	$\Delta = 13,8^{\circ}$ ePP eL	22 03 34 08,3	
	Rac. (SK)	$\Delta = 23,8^{\circ}$. Traces eP	09 37 06	3.III	Iles Kermadec, USCGS: 27,2°S, 177,6°W, H = = 03 ^h 17 ^m 04,1 ^s , h = = 33 km ca; M = 5 ¹ / ₂ -5 ³ / ₄ (Berkeley), 5,4 (USCGS)		
	Kra. (SKM)	$\Delta = 24,1^{\circ}$ eP	09 37 06	Kra. (SKM)	$\Delta = 153,5^{\circ}$ ePKP ₁	03 36 58	
2.III		Iles Kermadec, USCGS: 27,2°S, 177,9°W, H = = 09 ^h 19 ^m 41,6 ^s , h = = 39 km ca; M = 5,6 (USCGS)		3.III	Kazakistan, URSS, USCGS: 49,8°N, 78,1°E, H = = 06 ^h 14 ^m 57,0 ^s , h = 0; M = 5,6 (USCGS)		
	Kra. (SKM)	$\Delta = 153,3^{\circ}$ ePKP ₁	09 39 30	Kra. (SKM)	$\Delta = 36,3^{\circ}$ iP	06 22 07 C	
2.III		Iles Kermadec, USCGS: 27,0°S, 177,7°W, H = = 16 ^h 34 ^m 26,9 ^s , h =		3.III	Iles Kermadec, USCGS: 27,0°S, 177,8°W, H = = 14 ^h 39 ^m 05,0 ^s , h = = 43 km ca; M = 5 ¹ / ₂ -5 ³ / ₄ (Berkeley), 5,6 (USCGS)		
	Kra. (SKM)	$\Delta = 153,0^{\circ}$ ePKP ₁ ePKP ₂	14 58 51 C 59 18				

Dates	Station	Phases	G.M.T. h m s	Dates	Station	Phases	G.M.T. h m s
3.III (suite)	Rac. (SK)	$\Delta = 154,0^{\circ}$. Traces ePKP ₁	14 59 04	4.III	Iles aux Rats, Aléoutien- nes, USCGS: 51,5°N, 176,3°E, H = 02 ^h 01 ^m 27,1 ^s , h = 25 km ca; M = 5,1 (USCGS)		
3.III		Région de la Nouvelle Bre- tagne, USCGS: 5,5°S, 151,9°E, H = 15 ^h 14 ^m 09,7 ^s , h = 44 km ca; M = 6 ³ / ₄ -7 (Pasadena), 6 ³ / ₄ (Moskva), 6 ¹ / ₂ -6 ³ / ₄ (Berkeley), 6,0 (USCGS), 6,0 (Kraków)		Kra. (SKM)	$\Delta = 76^{\circ}$. Traces eiP ePcP	02 13 20 33	
	Kra. (SKM)	$\Delta = 120,0^{\circ}$ ePKP epPKP ePP (GW) ePS ePPS eL Lm	15 32 57 33 09 32 44 13 45 47 16 11 24 53		NE: 19 ^s ; 2,5 ^μ , 2,3 ^μ		
	Rac. (SK)	$\Delta = 121,1^{\circ}$. Traces ePKP	15 33 01	4.III	Iles aux Rats, Aléoutien- nes, USCGS: 52,0°N, 175,0°E, H = 06 ^h 30 ^m 16,2 ^s , h = = 40 km ca; M = 5,5 (USCGS)		
3.III		Iles Proches, Aléoutiennes, USCGS: 53,1°N, 171,2°E, H = 16 ^h 47 ^m 25,7 ^s , h = = 23 km ca; M = 5,6 (USCGS), 5 ¹ / ₂ (Moskva)		Kra. (SKM)	$\Delta = 75,3^{\circ}$ eiP eiPcP	06 42 02 C 11	
	Kra. (GW)	$\Delta = 73,5^{\circ}$ eP ePcP eS eSKS	16 59 04 14 17 08 34 09 06	Rac. (SK)	$\Delta = 76,0^{\circ}$. Traces eP	06 42 04	
	Rac. (SK)	$\Delta = 74,2^{\circ}$ iP ePcP	16 59 07 C 20	5.III	Iles aux Rats, Aléoutien- nes, USCGS: 51,2°N, 179,3°E, H = 06 ^h 15 ^m 01,1 ^s , h = 25 km ca; M = 5,6 (USCGS), 4 ³ / ₄ -5 (Berkeley)		
4.III		Proche?		Kra. (Ch)	$\Delta = 77,0^{\circ}$. Traces eP ePcP	06 26 58 C 27 14	
	Rac. (SK)	e e	00 54 05 23	5.III	Iles Aléoutiennes, USCGS: 52,3°N, 174,9°E, H = = 12 ^h 42 ^m 44,1 ^s , h = = 35 km ca; M = 5 ¹ / ₂ (Moskva), 5,3 (USCGS)		
	Kra. (SKM)	e e	00 54 31 39	Kra. (SKM)	$\Delta = 75,0^{\circ}$ iP ePcP	13 54 29 C 43	
4.III		Iles aux Rats, Aléoutien- nes, USCGS: 51,4°N, 176,7°E, H = 01 ^h 42 ^m 48,8 ^s , h = 48 km ca; M = 4,9 (USCGS)		Rac. (SK)	$\Delta = 75,6^{\circ}$. Traces eP ePcP	13 54 31 42	
	Kra. (SKM)	$\Delta = 76,3^{\circ}$. Traces eiP	01 54 40 C	5.III	Iles Proches, Aléoutiennes, USCGS: 52,3°N, 174,2°E, H = = 17 ^h 59 ^m 13,5 ^s , h = 35 km ca; M = 5,7 (USCGS)		

- 44 -

Dates	Station	Phases	G.M.T. h m s	Dates	Station	Phases	G.M.T. h m s
9.III (suite)	Ryb. (SK)	$\Delta = 11,8^{\circ}$ eL	19 53,0	10.III	Ryb. (SK)	$\Delta = 11,6^{\circ}$. Traces eP	01 38 56
	Rac. (SK)	$\Delta = 11,9^{\circ}$ eL	19 53,0		Rac. (SK)	$\Delta = 11,9^{\circ}$. Traces ePP	01 39 12
9.III		Mer Egée, USCGS: 39,2 ^o N, 23,8 ^o E, H = 21 ^h 20 ^m 04,9 ^s , h = 13 km ca; M = 4,7 (USCGS), MLH = 4,8 (Kraków)		10.III	Kra. (SKM)	e(P) e	04 18 25 19 34
	Kra. (GW)	$\Delta = 11,2^{\circ}$ eP ePPP Lm E: 7 ^s ; 1,4 μ Lm N: 9 ^s ; 4,5 μ	21 22 49 23 09 29 56 30 00	10.III		Sud-Ouest de l'Iran, BCIS: 31,4 ^o N, 50,7 ^o E, H = 05 ^h 44 ^m 31 ^s ; M = 5 ¹ / ₄ (Moskva)	
					Kra. (SKM)	$\Delta = 29,5^{\circ}$ eP ePP	05 50 34 51 32
9.III		Mer Egée, réplique du séisme du 9.III à 17 ^h 57 ^m , BCIS: 38,9 ^o N, 24,5 ^o E, H = = 22 ^h 19 ^m 08 ^s		10.III		Région des Iles Fidji, USCGS: 21,9 ^o S, 179,4 ^o E, H = 15 ^h 53 ^m 42,5 ^s , h = = 614 km ca; M = 5,7 (USCGS), 5 ¹ / ₂ - 5 ³ / ₄ (Berkeley)	
	Kra. (GW)	$\Delta = 11,6^{\circ}$ eL	22 26,3		Kra. (SKM)	$\Delta = 147,5^{\circ}$ iPKP ₁ eiPKP ₂	16 12 20 D 25
9.III		Mer Egée, USCGS: 39,2 ^o N, 23,7 ^o E, H = 22 ^h 35 ^m 16 ^s , h = 31 km ca; M = 4,8 (USCGS), MLH = 4,6 (Kraków)			Rac. (SK)	$\Delta = 148,4^{\circ}$ ePKP ₁ ePKP ₂	16 12 24 29
	Kra. (SKM)	$\Delta = 11,8^{\circ}$ eP ePP (GW) eSS eL Lm NE: 8 ^s ; 2,3 μ , 1,6 μ	22 37 54 38 05 40 17 42,9 44 24	10.III		Mer Egée, USCGS: 39,3 ^o N, 23,9 ^o E, H = 21 ^h 50 ^m 17 ^s , h = 16 km ca; M = 4,9 (USCGS)	
					Kra. (GW)	$\Delta = 11,2^{\circ}$ eP	21 52 59
10.III		Mer Egée, réplique du séisme du 9.III à 17 ^h 57 ^m , BCIS: 39,0 ^o N, 24,2 ^o E, H = 01 ^h 36 ^m 05 ^s , MLH = 4,6 (Kraków)		13.III		Mer Egée, répliques du séisme du 9.III à 17 ^h 57 ^m , BCIS: 39,2 ^o N, 24,1 ^o E, H = = 04 ^h 08 ^m 42 ^s , IH = 04 ^h 09 ^m 33 ^s ; M = 5,9 (Sofia), 5,5 (Strasbourg), MLH = 5,1 (Kraków)	
	Kra. (GW)	$\Delta = 11,4^{\circ}$ eP ePP ePPP Lm N: 12 ^s ; 2,8 μ Lm E: 7,5 ^s ; 1,5 μ	01 38 50 39 01 10 46 01 08		Kra. (SKM)	$\Delta = 11,2^{\circ}$ eP ePP ePI eS eSI eSSI	04 11 24 D 38 12 19 13 41 14 19 34

- 45 -

Dates	Station	Phases	G.M.T. h m s	Dates	Station	Phases	G.M.T. h m s
13.III (suite)	Kra. (GW)	Lm NE: 9 ^s ; 9 μ , 5 μ	04 18 29	15.III		Région de Formose, USCGS: 22,4 ^o N, 121,4 ^o E, H = 02 ^h 02 ^m 08,9 ^s , h = 33 km ca; M = 4,7 (USCGS)	
	Ryb. (SK)	$\Delta = 11,4^{\circ}$ ePI eL	04 12 22 16		Kra. (SKM)	$\Delta = 79,9^{\circ}$ eP	02 14 21
	Rac. (SK)	$\Delta = 11,7^{\circ}$ ePI eL	04 12 25 16	15.III		Iles Proches, Aléoutiennes, USCGS: 51,3 ^o N, 174,1 ^o E, H = 08 ^h 25 ^m 54,5 ^s , h = = 33 km ca; M = 5,3 (USCGS)	
13.III		Sud de l'Alaska, USCGS: 53,1 ^o N, 162,2 ^o W, H = = 07 ^h 33 ^m 23,0 ^s , h = 37 km ca; M = 5,5 (USCGS)			Kra. (SKM)	$\Delta = 76,0^{\circ}$ eP	08 37 45 C
	Rac. (SK)	$\Delta = 76,8^{\circ}$. Traces eP	07 45 17		Rac. (SK)	$\Delta = 76,5^{\circ}$. Traces eP	08 37 47
13.III		Région des Iles Fidji, USCGS: 20,4 ^o S, 177,6 ^o W, H = 13 ^h 54 ^m 33,0 ^s , h = = 470 km ca; M = 5,7 (USCGS)		16.III		Crête mediane de l'Atlanti- que Sud, USCGS: 23,1 ^o S, 13,5 ^o W, H = 02 ^h 11 ^m 18,9 ^s , h = 32 km ca; M = 5,3 (USCGS)	
	Rac. (SK)	$\Delta = 148,0^{\circ}$. Traces ePKP ₂	14 13 25		Kra. (SKM)	$\Delta = 79,0^{\circ}$. Traces eP	02 23 19
14.III		Hindou-Kouch, USCGS: 36,3 ^o N, 70,7 ^o E, H = = 15 ^h 53 ^m 06,6 ^s , h = = 219 km ca; M = 6,6 (USCGS)		16.III		Près de la côte E de Hondo, Japon, USCGS: 40,8 ^o N, 142,9 ^o E, H = 16 ^h 46 ^m 15,5 ^s , h = 34 km ca; M = 6 ³ / ₄ (Mo- skva), 6 ¹ / ₂ (Pasadena), 5,6 (USCGS), MLH = 6,7 (Kraków)	
	Kra. (SKM)	$\Delta = 38,5^{\circ}$ eiP eiS	16 00 10 05 50		Kra. (GW)	$\Delta = 76,0^{\circ}$ eP ePcP ePP eS eSKS eScS ePS ePPS Lm NE: 15 ^s , 18 ^s ; 20 μ , 21 μ	16 58 06 21 17 00 59 07 51 08 09 19 26 44 34 54
	Rac. (M)	$\Delta = 39,6^{\circ}$ iP NEZ: 4 ^s ; 5 ^s , 4 ^s ; 16 μ , 79 μ , 92 μ	16 00 22 C		Rac. (SK)	$\Delta = 76,9^{\circ}$ eP ePcP eSKS eScS ePS	16 58 10 C 19 17 08 15 23 46
	ipP eiPP i eiPPP i eiS L Lm Lm E: 4 ^s ; 177 μ	01 08 56 02 06 32 03 23 05 58 09 10,2 12,4					

- 48 -

Dates	Station	Phases	G.M.T. h m s	Dates	Station	Phases	G.M.T. h m s	
27.III (suite)	Kra. (SKM)	$\Delta = 5,8^\circ$. Traces eSg	22 39 38	29.III		USCGS: $40,8^\circ\text{N}$, $142,8^\circ\text{E}$, $H = 10^{\text{h}}47^{\text{m}}37,6^{\text{s}}$, $h =$ $= 33 \text{ km ca}$; $M = 6,1$ (USCGS), MLH = 6,5 (Kraków)		
28.III		Près de la côte E de Kamt- chatka, USCGS: $55,1^\circ\text{N}$, $162,1^\circ\text{E}$, $H = 13^{\text{h}}22^{\text{m}}57,6^{\text{s}}$, $h = 33 \text{ km ca}$; $M = 5,9$ (USCGS), MLH = 5,8 (Kraków)		Kra. (SKM) (GW)	$\Delta = 76,0^\circ$ iP ePcP eiPP eiS eiSKS ePS ePPS Lm	10 59 27 C 35 11 02 18 09 10 38 54 10 11 36 14		
	Kra. (SKM)	$\Delta = 69,5^\circ$ eiP	13 34 11 C		Rac. (SK)	$\Delta = 76,8^\circ$ eiP ePcP eSKS	10 59 32 C 42 11 09 36	
	(GW)	ePcP ePP eS ePS Lm	26 36 46 43 14 37 14 08 53			NE: 15^{s} , 18^{s} ; 13μ , 17μ		
	Rac. (SK)	$\Delta = 70,2^\circ$. Traces eP ePcP	13 34 14 28	29.III		Iles aux Rats, Aléoutien- nes, USCGS: $52,2^\circ\text{N}$, $175,4^\circ\text{E}$, $H = 14^{\text{h}}32^{\text{m}}41,2^{\text{s}}$, $h = 34 \text{ km ca}$; $M = 5,0$ (USCGS)		
28.III		Près de la côte du Chili centrale, USCGS: $32,4^\circ\text{S}$, $71,3^\circ\text{W}$, $H = 16^{\text{h}}33^{\text{m}}15,7^{\text{s}}$, $h = 72 \text{ km ca}$; $M = 7-7\frac{1}{4}$ (Pasadena), 6,4 (USCGS), MLH = 7,2 (Kraków, Raci- bórz)		Kra. (SKM)	$\Delta = 75,3^\circ$. Traces eP	14 44 27		
	Kra. (GW)	$\Delta = 115,0^\circ$ ePKP eiPP ePPP ePKS eSKS eiPS Lm	16 51 47 52 47 55 15 29 58 32 17 02 28 37 32	30.III		Iles Kermadec, USCGS: $28,7^\circ\text{S}$, $178,4^\circ\text{W}$, $H =$ $= 23^{\text{h}}57^{\text{m}}33,5^{\text{s}}$, $h =$ $= 228 \text{ km ca}$; $M = 5,2$ (USCGS)		
		E: 24^{s} ; 55μ Lm	38 46	Kra. (SKM)	$\Delta = 154,5^\circ$ ePKP ₁ ePKP ₂ ePP	00 16 59 17 24 20 57		
	Rac. (M)	$\Delta = 114,0^\circ$ ePKP ePP eSKS eSKKS eL Lm	16 51 51 52 41 58 28 59 35 17 01 37,8	30.III		Iles Tonga, USCGS: $20,0^\circ\text{S}$, $173,9^\circ\text{W}$, $H = 00^{\text{h}}21^{\text{m}}00,2^{\text{s}}$, $h = 33 \text{ km ca}$; $M = 5,5$ (USCGS)		
		NEZ: 22^{s} ; 33μ , 50μ , 58μ		Kra. (SKM)	$\Delta = 148,0^\circ$ ePKP ₁	00 40 43		
29.III		Près de la côte E de Hondo, Japon,		Rac. (SK)	$\Delta = 148,3^\circ$. Traces ePKP ₁	00 40 47		
				30.III		Iles aux Rats, Aléoutien- nes, USCGS: $50,6^\circ\text{N}$, $177,9^\circ\text{E}$, $H = 02^{\text{h}}27^{\text{m}}07,2^{\text{s}}$,		

- 49 -

Dates	Station	Phases	G.M.T. h m s	Dates	Station	Phases	G.M.T. h m s
30.III (suite)		$h = 51 \text{ km ca}$; $M = 7-7\frac{1}{4}$ (Pasadena), $6\frac{3}{4}-7$ (Berke- ley), MLH = 7,4 (Racibórz)		30.III		Région de Hokkaido, Japon, USCGS: $41,0^\circ\text{N}$, $142,7^\circ\text{E}$, $H = 15^{\text{h}}59^{\text{m}}34,1^{\text{s}}$, $h =$ $= 32 \text{ km ca}$; $M = 5,7$ (USCGS)	
	Kra. (GW)	$\Delta = 77,5^\circ$ eP ePcP ePP eS eiSKS ePS Lm	02 39 06 11 41 56 48 56 49 02 31 03 18 42		Kra. (SKM)	$\Delta = 75,8^\circ$ eP eiPcP	16 11 22 37
		N: 16^{s} ; 136μ		30.III		Région des Iles Kouriles, USCGS: $50,2^\circ\text{N}$, $159,4^\circ\text{E}$, $H = 19^{\text{h}}01^{\text{m}}27,6^{\text{s}}$, $h =$ $= 33 \text{ km ca}$; $M = 5,3$ (USCGS)	
	Rac. (M)	$\Delta = 77,7^\circ$ eiP iPcP eS eiScS eiPS iPPS eL Lm	02 39 07 C 16 48 54 49 18 34 54 59 03 08,5		Kra. (SKM)	$\Delta = 73,5^\circ$. Traces eP	19 13 04
		E: 28^{s} ; 300μ Lm	17,5	31.III		Au voisinage du Golfe de Corinthe, Grèce, BCIS: $38,4^\circ\text{N}$, $22,2^\circ\text{E}$, $H = 09^{\text{h}}$ $47^{\text{m}}29^{\text{s}}$, $h = 100 \text{ km ca}$; $M = 7,4$ (Uppsala), $6\frac{3}{4}-7$ (Strasbourg), 6,6 (Sofia), 6,4 (Pruhonic), MLH = $= 5,8$ (Racibórz)	
		NEZ: 17^{s} ; 120μ , 104μ , 200μ			Kra. (GW)	$\Delta = 11,8^\circ$ eiP iPP eiPPP iS	09 50 15 21 33 52 42
30.III		Iles aux Rats, Aléoutien- nes, USCGS: $50,4^\circ\text{N}$, $177,5^\circ\text{E}$, $H = 02^{\text{h}}53^{\text{m}}15,5^{\text{s}}$, $h = 33 \text{ km ca}$; $M = 5,1$ (USCGS)		Rac. (M)	$\Delta = 12,0^\circ$ eP ePP iPPP i iS eL Lm	09 50 20 30 37 45 51 20 52 30 53,0 55,1	
	Kra. (SKM)	$\Delta = 77,5^\circ$ eP	03 05 14			NE: 4^{s} ; 318μ , 191μ	
30.III				31.III		Mer Egée, USCGS: $39,4^\circ\text{N}$, $24,1^\circ\text{E}$, $H = 20^{\text{h}}08^{\text{m}}26^{\text{s}}$, $h = 33 \text{ km ca}$; $M = 4,3$ (USCGS), MLH = 4,5 (Kraków)	
	Kra. (SKM)	e	03 37 22		Kra. (SKM) (GW)	$\Delta = 11,0^\circ$ eP ePPP Lm	20 11 04 27 18 17
	Rac. (M)	Traces e	03 38 01			N: 8^{s} ; $2,2\mu$ E: 8^{s} ; $1,2\mu$	21
30.III				30.III		Iles aux Rats, Aléoutien- nes, USCGS: $50,4^\circ\text{N}$, $177,6^\circ\text{E}$, $H = 04^{\text{h}}32^{\text{m}}50,0^{\text{s}}$, $h =$ $= 35 \text{ km ca}$; $M = 4,9$ (USCGS)	
	Kra. (SKM)	eiP	03 41 49 D		Kra. (SKM)	$\Delta = 77,5^\circ$. Traces eiP	04 44 48 D

- 50 -

Dates	Station	Phases	G.M.T. h m s	Dates	Station	Phases	G.M.T. h m s
31.III (suite)	Rac. (SK)	Traces NEZ	20 13-20	31.III		H = 22 ^h 32 ^m 31,9 ^s , h = = 30 km ca; M = 5,4 (USCGS)	
31.III		Iles aux Rats, Aléoutiennes, USCGS: 50,4°N, 177,5°E,			Kra. (SKM)	$\Delta = 77,5^{\circ}$ eP ePcP	22 44 31 42
1965 A V R I L 1965							
1.IV		Région de l'île Pâques, USCGS: 50,0°S, 114,1°W, H = 21 ^h 20 ^m 43,8 ^s , h = = 33 km ca; M = 5,3 (USCGS)		3.IV		h = 22 km ca; M = 5,0 (USCGS)	
	Kra. (GW)	$\Delta = 151,0^{\circ}$ ePKP ₁ eL	21 40 35 22 43		Kra. (SKM)	$\Delta = 11,7^{\circ}$ eP	14 33 38
2.IV		Hondo, Japon, USCGS: 30,0°N, 138,1°E, H = = 22 ^h 22 ^m 11 ^s , h = = 450 km ca; M = 4,5 (USCGS)		3.IV		Région des Iles Philippines, USCGS: 13,6°N, 119,7°E, H = 22 ^h 51 ^m 36,2 ^s , h = 90 km ca; M = 5,6 (USCGS)	
	Kra. (GW)	$\Delta = 83,0^{\circ}$ iP ePcP epP ePS Lm N: 7 ^s ; 1,4 μ Lm E: 7 ^s ; 1 μ	22 33 47 56 35 24 45 30 47 25 48 08		Kra. (SKM)	$\Delta = 85,6^{\circ}$. Traces eP ePcP	23 04 07 21
3.IV		Oaxaca, Mexique, USCGS: 16,0°N, 97,9°W, H = = 11 ^h 20 ^m 43,5 ^s , h = 16 km ca; M = 6 (Pasadena), 5,5 (USCGS)		4.IV		Iles aux Rats, Aléoutiennes, USCGS: 51,9°N, 175,2°E, H = 13 ^h 30 ^m 37,8 ^s , h = 40 km ca; M = 6 (Pasadena), 5,7 (USCGS), 5 $\frac{1}{2}$ (Moskva)	
	Kra. (GW)	$\Delta = 94,5^{\circ}$ ePP eSKS eS eL	11 37 59 44 41 45 13 52		Kra. (GM)	$\Delta = 75,5^{\circ}$ eP ePcP eS ePPS eL	13 42 24 36 52 09 49 14 14
3.IV		Mexique, USCGS: 14,8°N, 97,6°W, H = 13 ^h 44 ^m 54,5 ^s , h = 33 km ca; M = 4,3 (USCGS)			Rac. (SK)	$\Delta = 75,8^{\circ}$ eP ePcP	13 42 28 41
	Kra. (GW)	$\Delta = 95,1^{\circ}$. Traces e ePPS	14 02 51 13 34	4.IV		Région des Iles Fidji, USCGS: 26,9°S, 176,1°W, H = 15 ^h 36 ^m 11,9 ^s , h = = 33 km ca; M = 6 (Pasade- na), 5,6 (USCGS)	
3.IV		Grèce, USCGS: 38,3°N, 20,4°E, H = 14 ^h 30 ^m 47,7 ^s ,			Kra. (SKM)	$\Delta = 153,7^{\circ}$ ePKP ₁ ePKP ₂	15 56 02 21
					Rac. (SK)	$\Delta = 154,5^{\circ}$. Traces ePKP ₂	15 56 26
				4.IV		Iles Kermadec, USCGS: 27,1°S, 176,0°W, H =	

- 51 -

Dates	Station	Phases	G.M.T. h m s	Dates	Station	Phases	G.M.T. h m s
4.IV (suite)		= 16 ^h 10 ^m 08,3 ^s , h = 28 km ca; M = 4,9 (USCGS)		5.IV	Kra. (GW)	eScS ePS ePPS	14 14 03 24 35
	Kra. (SKM)	$\Delta = 154,0^{\circ}$. Traces ePKP ₁ ePKP ₂	16 30 03 17		Rac. (SK)	$\Delta = 76,5^{\circ}$ eP ePcP	14 04 01 19
4.IV		Région Sud des Iles Fidji, USCGS: 26,9°S, 176,0°W, H = 16 ^h 32 ^m 41,9 ^s , h = = 12 km ca; M = 5,2 (USCGS)		6.IV		Iles Proches, Aléoutiennes, USCGS: 52,2°N, 173,3°E, H = 03 ^h 19 ^m 01,7 ^s , h = = 30 km ca; M = 5,1 (USCGS)	
	Kra. (SKM)	$\Delta = 153,7^{\circ}$ ePKP ₁ ePKP ₂	16 52 41 56		Kra. (SKM)	$\Delta = 75,4^{\circ}$ eP ePcP	03 30 46 55
5.IV		Péloponèse, Grèce, BCIS: 37,4°N, 21,9°E, H = = 03 ^h 12 ^m 50 ^s ; M = 6 $\frac{1}{4}$ (Athè- nes, Uppsala), 6,0 (Stras- bourg) 5 $\frac{1}{2}$ (Moskva), 5,3 (Pruhonic), MLH = 5,8 (Racibórz)		6.IV		Hondo, Japon, USCGS: 36,1°N, 139,6°E, H = 05 ^h 31 ^m 59,7 ^s , h = 69 km ca; M = 5,7 (USCGS)	
	Kra. (GW)	$\Delta = 12,7^{\circ}$ eP ePP ePPP ISS Lm N: 8 ^s ; 57 μ	03 15 54 16 07 14 18 34 20 35		Kra. (SKM)	$\Delta = 78,5^{\circ}$ iP ePcP	05 43 58 C 44 12
	Rac. (M)	$\Delta = 12,8^{\circ}$ eP ePP ePPP ei(S) eiSS eL Lm NE: 6 ^s ; 17 μ , 19 μ	03 16 02 09 18 18 10 36 20 21,8		Rac. (SK)	$\Delta = 79,3^{\circ}$ eP	05 44 03
5.IV		Région des Iles Kouriles, USCGS: 44,6°N, 151,1°E, H = 13 ^h 52 ^m 13,4 ^s , h = = 81 km ca; M = 5 $\frac{3}{4}$ (Moskva), 5,7 (USCGS), 5 $\frac{1}{2}$ -5 $\frac{3}{4}$ (Pali- sades), 5 (Berkeley)		6.IV		Célébes, du Nord, USCGS: 0,5°E, 119,9°E, H = = 09 ^h 42 ^m 28,2 ^s , h = = 33 km ca; M = 6 (Palisa- des), 5,3 (USCGS)	
	Kra. (SKM)	$\Delta = 76,0^{\circ}$ iP eiPcP eS eSKS	14 03 47 C 04 05 13 41 53		Kra. (GW)	$\Delta = 96,5^{\circ}$ iP ePP eSKS eSKKS eS ePS	09 56 06 10 00 02 06 32 58 07 22 08 48
				6.IV		Proches? Traces	
					Kra. (SKM)	e	13 28 52
				6.IV		Local	
					Kra. (SKM)	ei ei	17 12 03 08
				7.IV		Région des Iles Fidji, USCGS: 21,0°S, 178,8°W.	

- 52 -

Dates	Station	Phases	G.M.T. h m s	Dates	Station	Phases	G.M.T. h m s
7.IV (suite)		H = 17 ^h 48 ^m 59,7 ^s , h = = 568 km ca; M = 5,5 (USCGS)		10.IV	Kra. (GW)	$\Delta = 15,0^\circ$ eiP eiPP ePPP eS eSS Lm	00 00 34 49 01 02 03 23 46 07
	Kra. (SKM)	$\Delta = 147,3^\circ$. Traces ei(PKP ₁) eiPKP ₂	18 07 30 45			NE: ca 8 ^s ; ca 56 μ , ca 40 μ	
8.IV		Iles Proches, Aléoutiennes, USCGS: 52,2 ^o N, 173,5 ^o E, H = 13 ^h 43 ^m 52,8 ^s , h = = 46 km ca; M = 6 (Moskva, Palisades), 5 ³ / ₄ (Pasadena), 5,4 (USCGS), MLH = 6,0 (Kraków)			Rac. (M) (SK) (M)	$\Delta = 15,3^\circ$ eP ePP ePPPP eS eISS eL Lm	00 00 45 01 00 13 03 33 47 04 06,5
	Kra. (GW)	$\Delta = 74,7^\circ$ iP ePcP ePP eS eSKS ePS ePPS eL Lm	13 55 37 50 58 30 14 05 19 43 54 06 10 13 34 26			E: 10 ^s ; 39 μ Lm NE: 6 ^s ; 22 μ , 30 μ	07,4
		N: 14 ^s ; 5,3 μ E: 13 ^s ; 1,7 μ			Ryb. (SK)	$\Delta = 15,3^\circ$ eP ePP eSS eL	00 00 46 01 02 03 45 04
	Rac. (SK)	$\Delta = 75,2^\circ$ eP ePcP	13 55 38 46	10.IV		Tadzhik, URSS; USCGS: 37,6 ^o N, 73,4 ^o E, H = = 14 ^h 11 ^m 22,0 ^s , h = 33 km ca; M = 5,5 (USCGS), 5 (Moskva)	
8.IV		Iles Proches, Aléoutiennes, USCGS: 52,0 ^o N, 173,4 ^o E, H = 14 ^h 31 ^m 10,9 ^s , h = = 34 km ca; M = 5,3 (USCGS)			Kra. (GW)	$\Delta = 39,3^\circ$ eP ePP ePPP eS eSS	14 18 52 20 43 24 14 56 27 45
	Kra. (GW)	$\Delta = 75,0^\circ$ eP ePcP eS	14 42 56 43 10 52 29	10.IV		Iles Tonga, USCGS: 20,2 ^o S, 173,7 ^o W, H = 14 ^h 46 ^m 50,7 ^s , h = 33 km ca; M = 5,7 (USCGS)	
	Rac. (SK)	$\Delta = 75,4^\circ$ eP ePcP	14 42 59 43 09		Kra. (SKM)	$\Delta = 148,2^\circ$ ePKP ₁ ePKP ₂	15 06 36 47
10.IV		Crête, BCIS: 35,4 ^o N, 24,1 ^o E, H = 23 ^h 57 ^m 08 ^s , h = = 80 km ca; M = 6-6 ¹ / ₄ (Stras- bourg), 6,1 (Pruhonce) 6 (Moxa), MLH = 6,2 (Kraków) 6,1 (Racibórz)			Rac. (SK)	$\Delta = 148,5^\circ$ ePKP ₁	15 06 39
				10.IV		Iles Proches, Aléoutiennes, USCGS: 53,1 ^o N, 170,9 ^o E,	

- 53 -

Dates	Station	Phases	G.M.T. h m s	Dates	Station	Phases	G.M.T. h m s
10.IV (suite)		H = 16 ^h 54 ^m 55,8 ^s , h = = 8 km ca; M = 5,8 (USCGS), 5 (Moskva)		11.IV	Rac. (SK)	$\Delta = 162,0^\circ$ ePKP ₁ ePKP ₂	00 31 10 32 05
	Kra. (SKM)	$\Delta = 73,5^\circ$ iP ePcP	17 06 36 C 43	11.IV		Région des Iles Tonga, USCGS: 22,0 ^o S, 175,3 ^o W, H = 13 ^h 25 ^m 46,0 ^s , h = = 33 km ca; M = 4,7 (USCGS)	
	Rac. (SK)	$\Delta = 74,0^\circ$ eP	17 06 38		Kra. (SKM)	$\Delta = 149,5^\circ$. Traces ePKP ₁	13 45 33
10.IV		Région frontière Afghani- stan-URSS; USCGS: 37,3 ^o N, 71,9 ^o E, H = 21 ^h 21 ^m 27,3 ^s , h = 136 km ca; M = 4,9 (USCGS)		11.IV		Sud des Iles Fidji, USCGS: 26,2 ^o S, 178,5 ^o E, H = = 18 ^h 51 ^m 38,1 ^s , h = 581 km ca; M = 5,6 (USCGS)	
	Kra. (Ch)	$\Delta = 38,5^\circ$ eP	21 28 42		Kra. (SKM)	$\Delta = 151,0^\circ$ iPKP ₁	19 10 28
10.IV		Région des Iles Fidji, USCGS: 17,8 ^o S, 178,8 ^o W, H = 22 ^h 32 ^m 46,6 ^s , h = = 543 km ca; M = 6 (Pasa- dena), 5,9 (USCGS), 5 ¹ / ₂ -5 ³ / ₄ (Berkeley)			Rac. (SK)	$\Delta = 151,8^\circ$ ePKP ₁ ePKP ₂	19 10 31 42
	Kra. (GW)	$\Delta = 144,4^\circ$ ePKP ₁ ePP ePKS eSKS	22 51 25 54 45 57 55 35	12.IV		Région de l'Ile Kodiak, USCGS: 56,6 ^o N, 152,7 ^o W, H = 03 ^h 59 ^m 40,2 ^s , h = = 33 km ca; M = 5 ¹ / ₂ (Moskva), 5,3 (USCGS)	
	Rac. (SK)	$\Delta = 145,0^\circ$ ePKP ₁	22 51 25		Kra. (SKM)	$\Delta = 72,5^\circ$ eP ePcP	04 11 12 27
10.IV		Nouvelles Hébrides, USCGS: 13,4 ^o S, 170,3 ^o E, H = = 22 ^h 53 ^m 04,8 ^s , h = = 644 km ca; M = 6,2 (USCGS)		12.IV		Proche?	
	Kra. (SKM)	$\Delta = 136,5^\circ$ epPKP eSKP	23 13 52 14 02		Kra. (SKM)	eiP	14 04 24
11.IV		Ile du Sud, Nouvelle Zé- lande, USCGS: 42,7 ^o S, 173,9 ^o E, H = 00 ^h 11 ^m 08,8 ^s , h = 7 km ca; M = 6,2 (USCGS), 5 ¹ / ₂ -6 (Moskva)		12.IV		Sud des Iles Kermadec, USCGS: 32,3 ^o S, 178,5 ^o W, H = 20 ^h 26 ^m 15,3 ^s , h = = 167 km ca; M = 5,9 (USCGS)	
	Kra. (SKM)	$\Delta = 160,5^\circ$ ePKP ₁ ePKP ₂ ePP	00 31 08 52 35 37		Kra. (SKM)	$\Delta = 157,5^\circ$ ePKP ₁ ePKP ₂	20 45 55 46 33
				12.IV		Hondo, Japon, USCGS: 30,2 ^o N, 138,5 ^o E, H = = 20 ^h 41 ^m 16,3 ^s , h = = 421 km ca; M = 5 ³ / ₄ -6 (Berkeley), 5,8 (USCGS)	
					Kra. (SKM)	$\Delta = 83,2^\circ$ iP	20 52 59 D

Dates	Station	Phases	G.M.T. h m s	Dates	Station	Phases	G.M.T. h m s
12.IV (suite)	Rac. (SK)	$\Delta = 83,8^{\circ}$ eP	20 53 03	16.IV	Péninsule de l'Alaska, USCGS: $64,7^{\circ}\text{N}, 160,1^{\circ}\text{W}$, $H = 23^{\text{h}}22^{\text{m}}18,6^{\text{s}}$, $h =$ $= 5 \text{ km ca}$; $M = 6$ (Moskva), $5,8$ (USCGS), $5\frac{3}{4}-6$ (Pasa- dena, Berkeley)		
13.IV		Sud des Iles Tonga, USCGS: $26,8^{\circ}\text{S}, 175,9^{\circ}\text{W}$, $H = 17^{\text{h}}$ $22^{\text{m}}38,6^{\text{s}}$, $h = 33 \text{ km ca}$; $M = 5,0$ (USCGS)		Kra. (GW)	$\Delta = 64,7^{\circ}$ eP ePcP ePPP ePcS eS ePS	23 33 05 35 36 51 37 40 41 44 42 05	
	Kra. (SKM)	$\Delta = 154,0^{\circ}$. Traces ePKP ₁ epPKP ₁	17 42 28 36	Rac. (SK)	$\Delta = 65,3^{\circ}$ eP ePcP	23 33 06 36	
13.IV		Près de la côte E du Kamt- chatka, USCGS: $51,6^{\circ}\text{N}$, $179,4^{\circ}\text{E}$, $H = 17^{\text{h}}45^{\text{m}}27,2^{\text{s}}$, $h = 33 \text{ km ca}$; $M = 4,9$ (USCGS), $4\frac{1}{2}$ (Moskva)		17.IV	Iles Proches, Aléoutiennes, USCGS: $52,6^{\circ}\text{N}, 173,1^{\circ}\text{E}$, $H = 00^{\text{h}}00^{\text{m}}29,7^{\text{s}}$, $h =$ $= 43 \text{ km ca}$; $M = 5,1$ (USCGS)		
	Kra. (Ch)	$\Delta = 72,5^{\circ}$ eP epP	17 56 56 57 02	Kra. (SKM)	$\Delta = 74,6^{\circ}$ eP ePcP	00 12 10 21	
15.IV		Région de Formose, USCGS: $24,9^{\circ}\text{N}, 122,6^{\circ}\text{E}$, $H =$ $= 05^{\text{h}}09^{\text{m}}51,1^{\text{s}}$, $h =$ $= 190 \text{ km ca}$; $M = 5,4$ (USCGS)		Rac. (SK)	$\Delta = 74,8^{\circ}$ eP	00 12 12	
	Kra. (Ch)	$\Delta = 78,8^{\circ}$ eP eiPcP	05 21 25 35	17.IV	Crête médiane Indienne, USCGS: $7,2^{\circ}\text{S}, 67,9^{\circ}\text{E}$, $H =$ $= 02^{\text{h}}45^{\text{m}}04,8^{\text{s}}$, $h =$ $= 33 \text{ km ca}$; $M = 5,2$ (USCGS)		
15.IV		Iles Tonga, USCGS: $17,6^{\circ}\text{S}$, $173,4^{\circ}\text{W}$, $H = 23^{\text{h}}39^{\text{m}}55^{\text{s}}$, $h = 45 \text{ km ca}$; $M = 4,8$ (USCGS)		Kra. (SKM)	$\Delta = 70,6^{\circ}$ eP	02 56 18	
	Kra. (SKM)	$\Delta = 145,6^{\circ}$ ePKP ₁	23 59 32	18.IV	Proche		
	Rac. (SK)	$\Delta = 146,0^{\circ}$. Traces ePKP	23 59 32	Kra. (SKM)	eiP eiS	03 30 51 31 00	
16.IV		Région des Iles Tonga, USCGS: $22,3^{\circ}\text{S}, 175,3^{\circ}\text{W}$, $H = 00^{\text{h}}15^{\text{m}}52,3^{\text{s}}$, $h =$ $= 120 \text{ km ca}$; $M = 4,8$ (USCGS)		18.IV	Au large de la côte de la Californie du Nord, USCGS: $41,5^{\circ}\text{N}, 127,1^{\circ}\text{W}$, $H =$ $= 06^{\text{h}}33^{\text{m}}58,8^{\text{s}}$, $h =$ $= 20 \text{ km ca}$; $M = 6$ (Ber- keley, Moskva), $5,6$ (USCGS)		
	Kra. (SKM)	$\Delta = 149,5^{\circ}$ ePKP ₁ ePKP ₂	00 35 32 44	Kra. (GW)	$\Delta = 83,5^{\circ}$ eP eSKS eS eScS	06 46 31 56 42 53 57 03	
	Rac. (SK)	$\Delta = 150,5^{\circ}$ ePKP ₁ ePKP ₂	00 35 33 45.				

Dateq	Station	Phases	G.M.T. h m s	Dates	Station	Phases	G.M.T. h m s	
18.IV (suite)	Rac. (SK)	$\Delta = 83,5^{\circ}$. Traces eP	06 46 31	19/20. IV	Kra. (GW)	$\Delta = 79,0^{\circ}$ eP ePcP ePP eS eSKS ePS eL Lm	23 54 04 13 57 05 00 04 01 23 41 20 27 00	
18.IV		Iles Sandwich, USCGS: $59,8^{\circ}\text{S}, 26,8^{\circ}\text{W}$, $H =$ $09^{\text{h}}39^{\text{m}}18,7^{\text{s}}$, $h =$ $= 29 \text{ km ca}$; $M = 5,9$ (USCGS)				NE: 14^{s} ; $5,3\mu$, $4,6\mu$ Lm	32 10	
	Kra. (SKM)	$\Delta = 116,3^{\circ}$ eiPKP ePP (GW) eL	09 57 58 59 01 41	18.IV	Iles Sandwich, USCGS: $59,7^{\circ}\text{S}, 26,4^{\circ}\text{W}$, $H =$ $= 12^{\text{h}}41^{\text{m}}54,9^{\text{s}}$, $h =$ $= 25 \text{ km ca}$; $M = 5,8$ (USCGS)			
	Kra. (SKM)	$\Delta = 116,0^{\circ}$ ePKP ePP (GW) eL	13 00 35 01 38 44			Rac. (SK)	$\Delta = 79,5^{\circ}$ eP ePcP	23 54 08 21
18.IV		Sud des Iles Fidji, USCGS: $26,9^{\circ}\text{S}, 176,1^{\circ}\text{W}$, $H =$ $= 14^{\text{h}}08^{\text{m}}01,4^{\text{s}}$, $h =$ $= 33 \text{ km ca}$; $M = 5,2$ (USCGS)		20.IV	Iles Proches, Aléoutiennes, USCGS: $52,4^{\circ}\text{N}, 172,0^{\circ}\text{E}$, $H = 06^{\text{h}}43^{\text{m}}08,8^{\text{s}}$, $h =$ $= 35 \text{ km ca}$; $M = 5,5$ (USCGS), $5-5\frac{1}{4}$ (Palisades), 5 (Moskva)			
	Kra. (SKM)	$\Delta = 153,6^{\circ}$ ePKP ₁	14 27 53 C			Kra. (SKM)	$\Delta = 74,2^{\circ}$ eiP ePcP	06 54 51 55 01
19.IV		Alpes de Vénétie, Italie, BCIS: $46,3^{\circ}\text{N}, 12,7^{\circ}\text{E}$, $H =$ $= 02^{\text{h}}27^{\text{m}}06^{\text{s}}$				Rac. (SK)	$\Delta = 74,8^{\circ}$ eP	06 54 53
	Ryb. (SK)	$\Delta = 5,4^{\circ}$ e eSg	02 30 01 07	25.IV	Pruhonice: eiP	00 45 52		
	Kra. (SKM)	$\Delta = 6,0^{\circ}$ eS* eSg	02 30 11 28			Kra. (SKM)	e e	00 45 13 41
19.IV		Mer Méditerranée, USCGS: $34,6^{\circ}\text{N}, 28,4^{\circ}\text{E}$, $H =$ $= 06^{\text{h}}46^{\text{m}}33,5^{\text{s}}$, $h =$ $= 33 \text{ km ca}$; $M = 4,5$ (USCGS)		25.IV	Région des Iles Volcano, USCGS: $24,5^{\circ}\text{N}, 142,7^{\circ}\text{E}$, $H = 01^{\text{h}}00^{\text{m}}11,6^{\text{s}}$, $h =$ $= 15 \text{ km ca}$; $M = 6$ (Moskva), $5\frac{3}{4}-6$ (Pasadena), $5,6$ (USCGS)			
	Kra. (SKM)	$\Delta = 16,5^{\circ}$ eiP ePP	06 50 29 37			Kra. (GW)	$\Delta = 90,0^{\circ}$ eP ePcP eSKS eS eScS	01 13 12 17 23 57 24 07 13
19/20. IV		Près de la côte S de Hondo, Japon, USCGS: $34,9^{\circ}\text{N}$, $138,0^{\circ}\text{E}$, $H = 23^{\text{h}}41^{\text{m}}58,8^{\text{s}}$, $h = 36 \text{ km ca}$; $M = 5\frac{3}{4}-6$ (Moskva, Berkeley), $5,6$ (USCGS)				Rac. (SK)	$\Delta = 90,5^{\circ}$ eiP	01 13 17
				25.IV	Lac Tanganyika, USCGS: $2,2^{\circ}\text{S}, 29,1^{\circ}\text{E}$, $H =$ $= 10^{\text{h}}01^{\text{m}}09,7^{\text{s}}$, $h = 13 \text{ km ca}$; $M = 6,0$ (USCGS)			

Dates	Station	Phases	G.M.T. h m s	Dates	Station	Phases	G.M.T. h m s
25.IV (suite)	Kra. (SKM)	$\Delta = 52,8^\circ$. Traces eP	10 10 26	26.IV	Kra. (GW)	Lm N: 13^S ; $4,8\mu$	23 08 50
25.IV		Iles Riou-Kiou, USCGS: $29,7^\circ N, 130,7^\circ E, H =$ $= 21^h 28^m 40,5^s, h =$ $= 28 \text{ km ca; } M = 5\frac{1}{4}$ (Moskva), 4,9 (USCGS)			Rac. (SK)	$\Delta = 81,5^\circ$ eiP ePcP	22 28 00 08
	Kra. (SKM)	$\Delta = 79,4^\circ$ eP ePcP	21 40 47 58	27.IV		Pointe Ouest de la Crête, BCIS: $35,5^\circ N, 23,6^\circ E,$ $H = 14^h 09^m 06^s, h =$ $= 50 \text{ km ca; } M = 5\frac{3}{4}$ (Stras- bourg), $5\frac{1}{2}$ (Moskva), 5,3 (Pruhonice), MLH = 5,3 (Kraków)	
26.IV		Golfe de l'Alaska, USCGS: $58,9^\circ N, 142,7^\circ W, H =$ $= 01^h 57^m 14,4^s, h =$ $= 33 \text{ km ca; } M = 5,3$ (USCGS), $5\frac{1}{2}$ (Moskva)			Kra. (GW)	$\Delta = 14,6^\circ$ eP ePP eS eSS Lm	14 12 33 39 15 13 40 21 24
	Kra. (SKM)	$\Delta = 69,5^\circ$ eiP eipP	02 08 29 39			N: 11^S ; $7,6\mu$ Lm E: $7,5^S$; $9,4\mu$	30
26.IV		Péninsule de l'Alaska, USCGS: $54,5^\circ N, 162,6^\circ W,$ $H = 20^h 29^m 07,4^s, h =$ $= 53 \text{ km ca; } M = 5,9$ (USCGS), $5\frac{1}{2}$ (Moskva)			Rac. (SK)	$\Delta = 15,2^\circ$ eP ePP ePPP eL	14 12 36 53 13 03 15,8
	Rac. (SK)	$\Delta = 75,4^\circ$ eiP Z: $1,5^S$; $0,6\mu$	20 40 50		Ryb. (SK)	$\Delta = 14,9^\circ$ e(P) i	14 12 43 13 38
	Kra. (GW)	$\Delta = 75,4^\circ$ eiP ePcP	20 40 52 41 04	29.IV		Dodécaneuse, BCIS: $37,1^\circ N,$ $26,9^\circ E, H = 09^h 47^m 02,5^s$	
26.IV		Région de Formose, USCGS: $21,1^\circ N, 120,7^\circ E, H =$ $= 22^h 15^m 42,5^s, h =$ $= 33 \text{ km ca; } M = 6\frac{1}{2}$ (Moskva), 5,9 (USCGS), MLH = 6,0 (Kraków)			Kra. (GW)	$\Delta = 13,8^\circ$ eP ePP ePPP eSSS	09 50 16 28 41 53 24
	Kra. (SKM)	$\Delta = 80,5^\circ$ 1P ePcP ePP eS eScS ePS Lm	22 27 54 D 28 00 31 00 38 00 26 47 23 02 00	29.IV		Pruhonice: 1Pg 11 00 58,5, explosion de 15 tonnes	
	(GW)	N: 18^S ; 8μ Lm E: 12^S ; $1,7\mu$	08 41		Kra. (SKM)	eP ei(S)	11 02 49 03 03
				29.IV		États-Unis, USCGS: $47,4^\circ N,$ $122,3^\circ W, H = 15^h 28^m 43,7^s,$ $h = 59 \text{ km ca; } M = 6\frac{1}{2}$ -7	

Dates	Station	Phases	G.M.T. h m s	Dates	Station	Phases	G.M.T. h m s
29.IV (suite)		(Moskva), 6,6 (Pasadena), 6,5 (USCGS), MLH = 6,4 (Racibórz)		29.IV	Kra. (GW)	Lm N: 14^S ; $7,3\mu$	16 18 34
	Rac. (M)	$\Delta = 76,5$ eP i epP ei ePPS eL Lm	15 40 33 37 48 50,23 51,09 16 06 16,2	29.IV		Mer du Java, USCGS: $5,6^\circ S, 110,2^\circ E, H = 15^h$ $48^m 57,1^s, h = 504 \text{ km ca;}$ $M = 6,0$ (USCGS)	
	Kra. (GW)	$\Delta = 76,7^\circ$ 1P ePcP iS Sm E: 8^S ; $6,2\mu$ Lm E: 18^S ; $9,1\mu$	15 40 36 56 50 25 32 16 18 09		Kra. (Ch)	$\Delta = 94,5^\circ$ eP	16 01 24
				30.IV		Iles aux Rats, Aléoutien- nes, USCGS: $51,6^\circ N, 175,0^\circ E,$ $H = 16^h 00^m 57,5^s, h =$ $= 33 \text{ km ca; } M = 5,1$ (USCGS)	
					Kra. (SKM)	$\Delta = 76,2^\circ$ eP epP ePcP	16 12 40 47 13 04
1965	M A I			1965			
1.V		Dodécaneuse, BCIS: $37,0^\circ N,$ $27,0^\circ E, H = 01^h 59^m 44^s$		1.V		$H = 04^h 11^m 19,1^s, h =$ $= 38 \text{ km ca; } M = 5$ (Moskva), 4,6 (USCGS)	
	Kra. (SKM)	$\Delta = 14,0^\circ$ eP ePP eS eL	02 03 02 12 05 42 09		Kra. (SKM)	$\Delta = 84,0^\circ$ eP eS Lm N: 15^S ; $1,1\mu$	04 23 48 34 16 59,9
1.V		Sud de l'Alaska, USCGS: $60,4^\circ N, 145,9^\circ W, H =$ $= 01^h 58^m 02,9^s, h =$ $= 13 \text{ km ca; } M = 5$ (Moskva), 4,6 (USCGS)		1.V		Région des Iles Mariannes, USCGS: $12,3^\circ N, 143,7^\circ E,$ $H = 13^h 02^m 44,5^s, h =$ $= 5 \text{ km ca; } M = 5,1$ (USCGS)	
	Kra. (SKM)	$\Delta = 69,0^\circ$ eP ePcP	02 09 12 40		Kra. (SKM)	$\Delta = 100,5^\circ$. Traces eiP	13 16 37 C
1.V		Région de Hondo, Japon, USCGS: $33,4^\circ N, 138,7^\circ E,$ $H = 02^h 16^m 11,4^s, h =$ $= 230 \text{ km ca; } M = 4,8$ (USCGS)		1.V		Sud de l'Alaska, USCGS: $60,4^\circ N, 146,0^\circ W, H =$ $= 21^h 27^m 54,4^s, h =$ $= 33 \text{ km ca; } M = 5,3$ (USCGS), 5 (Moskva)	
	Kra. (SKM)	$\Delta = 80,5^\circ$ 1P Pm Z: $0,6^S$; $0,03\mu$	02 28 02 D 03		Kra. (SKM)	$\Delta = 69,0^\circ$ eP Pm Z: $1,3^S$; $0,045\mu$	21 39 00 C 01
1.V		Région de Hondo, Japon, USCGS: $30,9^\circ N, 141,7^\circ E,$			(GW)	eS eL	48 10 22 15

Dates	Station	Phases	G.M.T. h m s	Dates	Station	Phases	G.M.T. h m s
2.V		Au large Sud de Hondo, Japon, USCGS: 30,9°N, 141,8°E, H = 00 ^h 03 ^m 02,2 ^s , h = 33 km; M = 4,9 (USCGS)		3.V	Kra. (GW)	Lm E: 17 ^s ; 4,4 μ Lm N: 16 ^s ; 2,2 μ	10 58 41 49
	Kra. (SKM)	$\Delta = 84,0^\circ$ eIP Pm Z: 1,2 ^s ; 0,03 μ	00 15 53 C 54	4.V		Région frontière URSS-Chine, USCGS: 41,7°N, 79,4°E, H = 08 ^h 34 ^m 39,8 ^s , h = 6 km ca; M = 5,7 (USCGS), MLH = 5,8 (Kraków)	
	(GW)	eS ePS Lm N: 14 ^s ; 0,7 μ	26 17 27 19 52,2		Kra. (SKM)	$\Delta = 40,8^\circ$ eP (GW) ePP ePcP eS eSS Lm N: 5,5 ^s ; 2,6 μ Lm E: 5,5 ^s ; 1,7 μ	08 42 27 44 06 24 48 38 51 25 56 52 55
2.V		Iles Riou-Kiou, USCGS; 28,9°N, 128,9°E, H = 07 ^h 13 ^m 42 ^s , h = 30 km ca; M = 5,0 (USCGS)			Rac. (SK)	$\Delta = 42,0^\circ$ eP eL	08 42 38 09 18
	Kra. (SKM)	$\Delta = 79,0^\circ$ eP	07 25 50	5.V		Iles Proches, Aléoutiennes, USCGS: 52,6°N, 173,5°E, H = 23 ^h 02 ^m 01,7 ^s , h = 32 km ca; M = 5,6 (USCGS)	
	(GW)	ePS eL Lm E: 18 ^s ; 4,7 μ Lm N: 18 ^s ; 11,4 μ	36 26 55 57 47 55		Kra. (SKM)	$\Delta = 74,5^\circ$ eIP	23 13 45 C
2.V		Pointe Ouest de la Crète, BCIS: 35,5°N, 23,6°E, H = 22 ^h 33 ^m 26 ^s ; h = 50 km ca; M = 4,5 (USCGS)		7.V		Kiou-Siou, Japon, USCGS	
	Kra. (SKM)	$\Delta = 14,7^\circ$ eP ePP	22 36 55 37 11		Kra. (GW)	Traces eL	08 15
3.V		Région frontière Chili-Argentine, USCGS: 32,5°S, 70,6°W, H = 01 ^h 09 ^m 31,5 ^s , h = 77 km ca; M = 5,6 (USCGS)		7.V		Région Iles Kermadec, USCGS: 32,4°S, 178,3°W, H = 16 ^h 32 ^m 30,6 ^s , h = 33 km ca; M = 5,1 (USCGS)	
	Kra. (SKM)	$\Delta = 114,6^\circ$. Traces e	01 28 56		Kra. (SKM)	$\Delta = 157,5^\circ$ ePKP ₁ ePKP ₂	16 52 24 53 11
3.V		El Salvador, USCGS: 13,5°N, 89,3°W, H = 10 ^h 01 ^m 35,2 ^s , h = 23 km ca; M = 6 $\frac{1}{4}$ (Pasadena), 5,1 (USCGS)		8.V		A l'Est de Terre du Nord, USCGS: 80,2°N, 122,9°E, H = 01 ^h 22 ^m 31,6 ^s , h = 33 km ca; M = 4,7 (USCGS)	
	Kra. (GW)	$\Delta = 91,6^\circ$ eS eL	10 25 42 45				

Dates	Station	Phases	G.M.T. h m s	Dates	Station	Phases	G.M.T. h m s
8.V (suite)	Kra. (SKM)	$\Delta = 43,0^\circ$. Traces eP	01 30 31 C	11.V	Rac. (SK)	e	18 07 05
8.V		Luçon, Philippines, USCGS: 18,4°N, 120,4°E, H = 03 ^h 05 ^m 38,5 ^s , h = 56 km ca; M = 5,6 (USCGS)			Kra. (SKM)	Traces e(P) eI(S)	18 07 18,5 29,5
	Kra. (SKM)	$\Delta = 82,5^\circ$ eP ePcP	03 17 57 18 14	11.V		Séisme profond de la région de Vrancea, Roumanie, BCIS: 45,8°N, 26,9°E, H = 22 ^h 36 ^m 01 ^s , h = 100 km ca	
9.V		Région frontière Pérou-Equateur, USCGS: 2,9°S, 77,4°W, H = 19 ^h 58 ^m 59,2 ^s , h = 108 km ca; M = 4,8 (USCGS)			Kra. (SKM)	$\Delta = 6,2^\circ$ iPn ePP eIP* eSn eISg	22 37 32 C 41 46 38 45 39 22
	Kra. (GW)	$\Delta = 96,9^\circ$ ePKKP ePKKS eL	20 28 31 32 22 38,5		Rac. (SK)	$\Delta = 7,2^\circ$ ePP	22 37 55
10.V		Apennin, à l'Ouest de Parme, Italie, BCIS: 44,3°N, 10,4°E, H = 05 ^h 03 ^m 03 ^s		12.V		Mer de Banda, USCGS: 6,2°S, 130,3°E, H = 10 ^h 33 ^m 43,5 ^s , h = 125 km ca; M = 5,7 (USCGS)	
	Ryb. (SK)	$\Delta = 7,9^\circ$ eSn eS*	05 06 30 07 06		Kra. (SKM)	$\Delta = 107,8^\circ$ ePdif ePP	10 47 53 52 13
	Rac. (SK)	$\Delta = 7,9^\circ$ eS* eSg	05 07 00 22	13.V		Iles Tonga, USCGS: 23,3°S, 175,4°W, H = 20 ^h 50 ^m 55,9 ^s , h = 60 km ca; M = 5,0 (USCGS)	
	Kra. (SKM)	$\Delta = 8,6^\circ$ eSn (GW) eSg	05 07 05 47		Kra. (SKM)	$\Delta = 150,5^\circ$ ePKP ₁ ePKP ₂	21 10 43 57
11.V		Sud de l'Alaska, USCGS: 61,4°N, 149,6°W, H = 17 ^h 37 ^m 38,3 ^s , h = 58 km ca; M = 5,5 (USCGS), 5 $\frac{1}{2}$ (Moskva)		14.V		Région des Iles Fidji, USCGS: 20,7°S, 177,7°W, H = 23 ^h 28 ^m 13,7 ^s , h = 467 km ca; M = 5,3 (USCGS)	
	Kra. (SKM)	$\Delta = 68,0^\circ$ eP epP	17 48 37 46		Kra. (SKM)	$\Delta = 147,5^\circ$. Traces ePKP ₁ ePKP ₂	23 47 04 10
	Rac. (SK)	$\Delta = 67,8^\circ$ eP ePcP	17 48 39 59	15.V		Près de la côte W de l'île du Sud, Nouvelle Zélande, USCGS: 48,0°S, 165,6°E, H = 16 ^h 39 ^m 02 ^s , h = 15 km ca;	
11.V		Proche			Kra. (SKM)	$\Delta = 157,0^\circ$ ePKP ₁	16 59 13
	Ryb. (SK)	e e	18 07 03 05				

Dates	Station	Phases	G.M.T. h m s	Dates	Station	Phases	G.M.T. h m s
15.V (suite)	Kra. (SKM)	ePKP ₂	16 59 48	16.V	Kra. $\Delta = 75,5^\circ$ (SKM)	iP Pm PcP	11 46 25 D 25,5 37
15.V		Iles Proches, Aléoutiennes, USCGS: 52,3°N, 173,2°E, H = 21 ^h 01 ^m 17,7 ^s , h = = 10 km ca; M = 5,2 (USCGS)		16.V		Ile Mindanao, Philippines, USCGS: 5,3°N, 125,7°E, H = = 11 ^h 35 ^m 46,0 ^s , h = 36 km ca; M = 6,2 (USCGS)	
	Kra. (SKM)	$\Delta = 75,0^\circ$. Traces eIP	21 13 05		Kra. (SKM)	$\Delta = 95,8^\circ$ eP (GW) ePP	11 49 08 53 06
15.V		Iles Tonga, USCGS: 16,1°S, 174,7°W, H = 23 ^h 33 ^m 12,4 ^s , h = 253 km ca; M = 4,8 (USCGS)		17.V		Région de Formose, USCGS: 22,5°N, 121,3°E, H = = 17 ^h 19 ^m 25,9 ^s , h = 21 km ca; M = 6,2 (USCGS)	
	Kra. (SKM)	$\Delta = 144,0^\circ$. Traces ePKP	23 52 18		Kra. (SKM)	$\Delta = 79,8^\circ$ eIP Pm (GW) ePcP i i ePP eiS eSKS eScS	17 31 35 C 36 46 52 32 08 34 42 41 40 54 42 06
16.V		Région de la Nouvelle Guinée, USCGS: 4,1°S, 135,1°E, H = 23 ^h 58 ^m 34,9 ^s ; M = 5,8 (USCGS)			Rac. (M)	$\Delta = 80,7^\circ$ eP iPcP eS eScS ePS	17 31 42 46 41 49 42 13 41
	Kra. (SKM)	$\Delta = 109,1^\circ$ ePKP ePP (GW) eL	00 17 00 39 55	17.V		Région des Iles du Comman- deur, USCGS: 55,1°N, 165,8°E, H = 20 ^h 21 ^m 34,5 ^s , h = 68 km ca; M = 5,1 (USCGS)	
16.V		Mer Méditerranée à l'Est de la Crète, BCIS: 35,2°N, 27,9°E, H = 01 ^h 35 ^m 55 ^s , h = 40 km ca			Kra. (SKM)	$\Delta = 70,7^\circ$ eIP ePcP	20 32 50 C 33 11
	Kra. (SKM)	$\Delta = 16,0^\circ$ eP (GW) ePP eS eL	01 39 40 57 42 37 47	17.V		Mer d'Okhotsk, USCGS: 45,7°N, 151,0°E, H = 21 ^h 24 ^m 42,7 ^s , h = 33 km ca; M = 4,7 (USCGS)	
	Rac. (SK)	$\Delta = 16,5^\circ$ eP ePPP	01 39 48 40 05		Kra. (SKM)	$\Delta = 75,5^\circ$. Traces eP	21 36 27
16.V		Turquie, BCIS: 38,4°N, 39,0°E, H = 11 ^h 29 ^m 45 ^s					
	Kra. (SKM)	$\Delta = 17,7^\circ$ eP (GW) ePP eS eL	11 33 51 D 34 18 37 08 40				
16.V		Iles Kouriles, USCGS: 45,6°N, 151,4°E, H = 11 ^h 34 ^m 37,2 ^s , h = 11 km ca; M = 4,9 (USCGS)					

Dates	Station	Phases	G.M.T. h m s	Dates	Station	Phases	G.M.T. h m s
18.V		Madagascar, USCGS: 17,6°S, 49,9°E, H = 01 ^h 04 ^m 14,6 ^s , h = 33 km ca; M = 5,5 (USCGS)		19.V		175,2°E, H = 22 ^h 07 ^m 14,1 ^s , h = 35 km ca; M = 5,3 (USCGS)	
	Kra. (SKM)	$\Delta = 72,5^\circ$ eP Pm	01 15 38 D 39		Kra. (SKM)	$\Delta = 77,5^\circ$. Traces eP ePcP	22 19 03 24
		Z: 1,5 ^s ; 0,065 μ		19.V		Iles Kouriles, USCGS: 45,4°N, 151,7°E, H = = 22 ^h 17 ^m 51,2 ^s , h = 12 km ca; M = 4,6 (USCGS)	
	Rac. (SK)	$\Delta = 73,5^\circ$. Traces eP	01 15 41		Kra. (SKM)	$\Delta = 75,6^\circ$. Traces iP eiPcP	22 29 41 D 54
18.V		Iles Kouriles, USCGS: 43,7°N, 146,5°E, H = 22 ^h 46 ^m 31,7 ^s , h = 45 km ca; M = 5,4 (USCGS)		19.V		Région des Iles Fidji, USCGS: 20,8°S, 178,5°W, H = 23 ^h 32 ^m 14,0 ^s , h = = 552 km ca; M = 5,4 (USCGS)	
	Kra. (SKM)	$\Delta = 75,4^\circ$ eP	22 58 14 C		Kra. (SKM)	$\Delta = 147,4^\circ$ ePKP ₁ iPKP ₂ ePP	23 50 53 57 52 18
	Rac. (SK)	$\Delta = 75,8^\circ$. Traces eP	22 58 17		Rac. (SK)	$\Delta = 148,0^\circ$ ePKP ₁ ePKP ₂	23 50 59 51 04
19.V		Iles Salomon, USCGS: 9,2°S, 159,0°E, H = 03 ^h 00 ^m 59,0 ^s , h = 50 km ca; M = 5,6 (USCGS), 5 (Moskva)		20.V		Iles Hébrides, USCGS: 14,7°S, 167,4°E, H = 00 ^h 40 ^m 10,9 ^s , h = 16 km ca; M = 6 ³ / ₄ -7 (Pasadena) MLH = = 7,4 (Racibórz)	
	Kra. (SKM)	$\Delta = 126,6^\circ$. Traces eiPKP ePP	03 19 58 22 21		Kra. (SKM)	$\Delta = 135,6^\circ$ ePdif ePKP eiPP eiPKS Lm	00 56 54 59 36 01 02 13 03 07 02 01 24
19.V		Sud des Iles Fidji, USCGS: 22,7°S, 176,1°W, H = 04 ^h 21 ^m 32,7 ^s , h = 81 km ca; M = 5,5 (USCGS)				NE: 20 ^s ; 34 μ , 23 μ	
	Kra. (SKM)	$\Delta = 149,6^\circ$ ePKP ₁	04 41 13		Rac. (SK)	$\Delta = 136,7^\circ$ ePKP ePKS eL Lm	00 59 37 01 03 13 38 58,0
	Rac. (SK)	$\Delta = 150,5^\circ$ ePKP ₁	04 41 15			NEZ: 22 ^s ; 72 μ , 58 μ , 100 μ	
19.V		Panama, USCGS		20.V		Iles Proches, Aléoutiennes, USCGS: 51,2°N, 173,7°E,	
	Kra. (GW)	Traces eL	13 34				
19.V		Iles Kouriles, USCGS: 45,1°N, 151,5°E, H = 17 ^h 56 ^m 04,0 ^s , h = 33 km ca; M = 4,9 (USCGS)					
	Kra. (SKM)	$\Delta = 76,0^\circ$. Traces eP ePcP	18 07 53 C 08 06				
19.V		Iles aux Rats, Aléoutien- nes, USCGS: 51,6°N,					

- 62 -

Dates	Station	Phases	G.M.T. h m s	Dates	Station	Phases	G.M.T. h m s
20.V (suite)		H = 02 ^h 13 ^m 38,9 ^s , h = = 41 km ca; M = 5,4 (USCGS)		23.V	Kra. (SKM)	Δ = 77,1°. Traces eP ePcP	04 10 07 15
	Kra. (SKM)	Δ = 76,0°. Traces eP ePcP	02 25 27 45	23.V		Crête médiane de l'Atlanti- que Sud, USCGS: 14,1°S, 13,9°W, H = 07 ^h 46 ^m 33,7 ^s , h = 33 km ca; M = 5,2 (USCGS)	
20.V		Ilé du Nord, Nouvelle Zé- lande, USCGS: 45,1°S, 167,6°E, H = 20 ^h 37 ^m 41,4 ^s , h = 105 km ca; M = 5,5 (USCGS)			Kra. (SKM)	Δ = 70,5° eP ePcP	07 57 46 58 16
	Kra. (SKM)	Δ = 158,0° ePKP ₁ ePKP ₂	20 57 26 58	23/24.V		Iles aux Rats, Aléoutien- nes, USCGS: 52,2°N, 175,0°E, H = 23 ^h 46 ^m 12,0 ^s , h = 22 km ca; M = 6,1 (USCGS), 6 (Pasadena, Moskva)	
22.V		Détroit des Moluques, USCGS: 1,3°N, 126,3°E, H = 03 ^h 05 ^m 43,6 ^s , h = = 25 km ca; M = 5,5 (USCGS)			Kra. (SKM)	Δ = 75,5° eiP Pm	23 58 00 C 02
	Kra. (SKM)	Δ = 99,2° eP e	03 19 25 29		(GW)	ePcP eS eSKS eScS ePPS eL Lm	12 00 07 38 08 00 08 24 26 32 36
22.V		Région des Iles Fidji, USCGS: 21,1°S, 178,7°W, H = 10 ^h 31 ^m 39,5 ^s , h = = 578 km ca; M = 5,8 (USCGS)				N: 20 ^s ; 5,1μ E: 18 ^s ; 3,3μ	42
	Kra. (Ch)	Δ = 147,5° eiPKP ₁ iPKP ₂ eiPKP ₁	10 50 18 22 52 32		Rac. (SK)	Δ = 75,5° eiP	23 58 03
	Rac. (SK)	Δ = 148,0° ePKP ₁ eiPKP ₂ epPKP ₁	10 50 19 24 52 35	24/25.V		Iles Philippines, USCGS: 13,0°N, 124,5°E, H = = 23 ^h 21 ^m 10,6 ^s , h = = 33 km ca; M = 5,9 (USCGS), 5 ³ / ₄ (Moskva)	
22.V		Crête médiane de l'Atlanti- que Sud, USCGS: 14,1°S, 13,8°W, H = 16 ^h 09 ^m 29,5 ^s , h = 33 km ca; M = 5,5 (USCGS)			Kra. (GW)	Δ = 89,0° eP ePP eSKS eS eiScS eL Lm	23 34 06 37 40 44 38 50 45 09 00 08 14 17
	Kra. (SKM)	Δ = 70,5° eP ePcP	16 20 42 21 08			N: 19 ^s ; 3,0μ E: 19 ^s ; 3,3μ	25
23.V		Hondo, Japon, USCGS: 39,9°N, 143,5°E, H = 03 ^h 58 ^m 12 ^s , h = 33 km ca; M = = 4,8 (USCGS)					

- 63 -

Dates	Station	Phases	G.M.T. h m s	Dates	Station	Phases	G.M.T. h m s
24/25.V (suite)	Rac. (SK)	Δ = 90,0° eP epP	23 34 11 21	27.V	Kra. (SKM)	Δ = ca 1,4° iPn; Pm	09 00 17,8 D 18,5
25.V		Iles aux Rats, Aléoutien- nes, USCGS: 51,3°N, 178,7°E, H = 13 ^h 07 ^m 49,7 ^s , h = 40 km ca; M = 5 ³ / ₄ -6 (Palisades), 5 ³ / ₄ (Moskva), 5,5 (USCGS)				Z: 1,1 ^s ; 0,04μ	22,8 25,3 32,8 35,3 39,3
	Kra. (GW)	Δ = 76,7° eP ePcP ePPP eS eSKS eScS ePPS eL Lm	13 19 42 51 24 31 29 32 50 30 02 26 52 57 57		Rac. (SK)	Traces NEZ	09 00-03
		E: 16 ^s ; 1,5μ N: 16 ^s ; 2,4μ	58 04	27.V		Sud de l'Alaska, USCGS: 53,7°N, 156,7°W, H = = 19 ^h 29 ^m 25 ^s , h = 33 km ca; M = 5,0 (USCGS)	
26.V		Mésopotamie orientale, BCIS: 35,5°N, 44,4°E, H = 13 ^h 58 ^m 04 ^s ,			Kra. (SKM)	Δ = 76,0° eiP epP ePcP	19 41 14 C 23 30
	Kra. (SKM)	Δ = 22,8°. Traces eP ePP ePPP	14 03 06 32 42	28.V		Iles Proches, Aléoutiennes, USCGS: 51,6°N, 174,5°E, H = 18 ^h 14 ^m 10,1 ^s , h = = 67 km ca; M = 5,0 (USCGS)	
26.V		Sud des Iles Sandwich, USCGS: 56,1°S, 27,6°W, H = 19 ^h 44 ^m 10,9 ^s , h = = 120 km ca; M = 6,7 (USCGS)			Kra. (SKM)	Δ = 75,5° eP ePcP	18 25 54 26 05
	Kra. (SKM)	Δ = 114,0° eiPKP ePP	20 02 34 03 50	29.V		Mer Méditerranée à l'Ouest de la Crête, prémonitoire, BCIS: 35,2°N, 22,7°E, H = 01 ^h 47 ^m 49 ^s	
26.V		Iles Kouriles, USCGS: 45,4°N, 151,3°E, H = = 23 ^h 32 ^m 03,9 ^s , h = = 33 km ca; M = 4,8 (USCGS)			Kra. (SKM)	Δ = 15,0°. Traces eP ePP	01 51 20 31
	Kra. (SKM)	Δ = 75,3°. Traces eP	23 43 50	29.V		Mer Méditerranée, à l'Ouest de la Crête, BCIS: 35,2°N, 22,7°E, H = 04 ^h 14 ^m 58 ^s	
27.V		Proche			Kra. (GW)	Δ = 15,0° eP ePP ePPP eS	04 18 26 47 53 21 26
					Rac. (SK)	Traces NEZ	04 18-20
				29.V		Cordillère Pacifique du Sud, USCGS: 57,8°S, 147,3°W,	

- 64 -

Dates	Station	Phases	G.M.T. h m s	Dates	Station	Phases	G.M.T. h m s
29.V (suite)	Kra. (SKM)	H = 15 ^h 36 ^m 31,9 ^s , h = 33 km ca; M = 5 ^{3/4} (Moskva), 5,5 (USCGS) Δ = 169,0° ePKP ₁ ePP eL	15 56 36 16 01 45 17 06	31.V	Région de Hondo, Japon, USCGS: 35,7°N, 139,6°E, H = 08 ^h 38 ^m 06 ^s , h = 124 km ca; M = 5,5 (USCGS) Kra. Δ = 79,2° (SKM) eiP Pm Z: 0,7 ^s ; 0,14μ eiPcP epP ePP Rac. Δ = 79,5° (SK) eiP	08 50 01 C 02 10 29 53 01 08 50 06	
30.V	Kra. (SKM)	Ile Jan Mayen, USCGS: 71,6°N, 7,4°W, H = 13 ^h 54 ^m 33,5 ^s , h = 17 km ca; M = 4,1 (USCGS) Δ = 24,6°. Traces eP	13 59 57	31.V	Abruzzes, Italie, BCIS: 42,9°N, 13,0°E, H = 09 ^h 22 ^m 19 ^s Kra. Δ = 8,6°. Traces (SKM) eSn eSg	09 26 16 27 19	
31.V	Kra. (SKM)	Région Cachemire-Tibet, USCGS: 32,6°N, 78,2°E, H = 02 ^h 04 ^m 42,9 ^s , h = 33 km ca; M = 5,3 (USCGS) Δ = 45,5° iP Pm Z: 1,6 ^s ; 0,08μ epP ePP ePcS eS	02 13 03 D 06 02 13 16 14 59 18 42 19 48	31.V	Région de Hondo, Japon, USCGS: 31,4°N, 141,9°E, H = 11 ^h 23 ^m 45,9 ^s ; h = 40 km ca; M = 4,8 (USCGS) Kra. Δ = 83,5° (SKM) eP	11 36 15	
31.V	Kra. (SKM)	Sud des Iles Fidji, USCGS: 23,2°S, 177,0°W, H = 03 ^h 21 ^m 27 ^s , h = 94 km ca; M = 4,6 (USCGS) Δ = 150,0° ePKP ₁ eiPKP ₂	03 41 08 15	31.V	Mer de Banda, USCGS: 7,5°S, 128,7°E, H = 11 ^h 38 ^m 28,0 ^s , h = 37 km ca; M = 6,0 (USCGS) Kra. Δ = 107,6° (SKM) ePdif ePP (GW) eSKS	11 52 48 57 18 12 04 08	

1965

J U I N

1965

1.VI	Kra. (SKM)	Birmanie, USCGS: 20,3°N, 95,0°E, H = 04 ^h 32 ^m 42,8 ^s , h = 33 km ca; M = 5,5 (USCGS) Δ = 65,0° eP eiPcP	04 43 23 D 46	1.VI	Kra. Δ = 51,7° (SKM) eiP Local? Kra. Δ = 13,5° (SKM) eiP ei	08 01 33 C 13 05 14 18	
1.VI	Kra. (SKM)	Népal, USCGS: 28,5°N, 83,2°E, H = 07 ^h 52 ^m 24,2 ^s , h = 20 km ca; M = 5,3 (USCGS), 5 (Moskva)		1.VI	Iles Açores, USCGS: 37,9°N, 26,6°W, H = 15 ^h 18 ^m 36,0 ^s , h = 33 km ca; M = 4,9 (USCGS), 4 ^{1/2} (Moskva)		

- 65 -

Dates	Station	Phases	G.M.T. h m s	Dates	Station	Phases	G.M.T. h m s
1.VI (suite)	Kra. (GW)	Δ = 34,8° eP epP	15 25 30 37	2/3.VI	Kra. Δ = 62,9° (SKM) eiP ipP ePcP ePP eiS eSKS eL Lm NE: 20 ^s ; 37μ, 17μ	23 50 50 D 51 09 24 53 04 59 20 00 00 42 09 15 30	
2.VI	Kra. (SKM)	Sud des Iles Fidji, USCGS: 23,5°S, 180,0°E, H = 05 ^h 12 ^m 59,2 ^s , h = 538 km ca; M = 5,6 (USCGS), 5 ^{1/2} (Berkeley) Δ = 149,0° eiPKP ₁ iPKP ₂	05 31 43 49	3.VI	Région de la République Dominicaine, USCGS: 18,5°N, 70,3°W, H = 10 ^h 57 ^m 08,5 ^s Rac. Δ = 74,9°. Traces (SK) eP Kra. Δ = 76,0° (SKM) eP ePcP (GW) eS	11 08 50 11 08 57 09 08 18 44	
	Rac. (SK)	Δ = 150,0° eiPKP ₁ ePKP ₂ epPKP ₁	05 31 49 53 33 57				
2.VI	Rac. (SK)	Pruhonice: e Traces e	14 00 31 14 00 12	3.VI	Mer Egée, BCIS: 39,7°N, 23,3°E, H = 18 ^h 31 ^m 52 ^s , h = 40 km ca; M = 5 ^{1/4} -5 ^{1/2} (Strasbourg), 4,7 (USCGS) Kra. Δ = 10,6° (GW) eP eS Rac. Δ = 11,0° (SK) ePP eL	18 34 23 36 23 18 34 44 38,3	
2.VI	Kra. (SKM)	Région des Iles Fidji, USCGS: 18,0°S, 179,4°W, H = 14 ^h 45 ^m 56,2 ^s , h = 636 km ca; M = 5,3 (USCGS) Δ = 144,5° eiPKP ₁ ePKP ₂	15 04 22 43	4.VI	Kra. (SKM)	1P	16 10 22,5
	Rac. (SK)	Δ = 145,0° ePKP ₁	15 04 26	4.VI	Région des Iles Kermadec, USCGS: 29,9°S, 178,9°W, H = 15 ^h 26 ^m 54,3 ^s , h = 222 km ca; M = 5,3 (USCGS) Kra. Δ = 155,0°. Traces (SKM) ePKP ₁ ePP	15 46 20 50 20	
2.VI	Kra. (SKM)	Région des Iles Fidji, USCGS: 18,1°S, 179,4°W, H = 14 ^h 58 ^m 33,3 ^s , h = 636 km ca; M = 5,4 (USCGS), 4 ^{1/2} (Berkeley) Δ = 145,2° ePKP ₁	15 17 00	5.VI	Mer de Molucca, USCGS: 1,6°S, 126,7°E, H = 03 ^h 49 ^m 02,0 ^s , h = 26 km ca; M = 5,5 (USCGS) Kra. Δ = 101,9° (SKM) eP ePP	04 02 53 07 12	
	Rac. (SK)	Δ = 145,0°. Traces ePKP ₁	15 17 01				
2/3.VI	Kra. (SK)	Crête médiane de l'Atlantique, USCGS: 15,9°N, 46,6°W, H = 23 ^h 40 ^m 23,5 ^s , h = 33 km ca; M = 5 ^{3/4} (Moskva, Berkeley), 5,6 (USCGS) Δ = 61,8° eP	23 50 43				

- 66 -

Dates	Station	Phases	G.M.T. h m s	Dates	Station	Phases	G.M.T. h m s
9.VI	Iles Proches, Aléoutiennes, USCGS: 52,6°N, 173,3°E, H = 13 ^h 26 ^m 52,4 ^s , h = 25 km ca; M = 5,6 (USCGS), 5 (Moskva)	Kra. Δ = 74,5°. Traces (SKM) eP 13 38 36 ePcP 46		11.VI	Kra. Δ = 75,6° (SKM) eiP 02 49 22 C ePcP 36		
9.VI	Iles Tonga, USCGS: 19,2°S, 175,6°W, H = 16 ^h 58 ^m 44,8 ^s , h = 238 km ca; M = 5,4 (USCGS)	Kra. Δ = 146,5° (SKM) iPKP ₁ 17 18 01		11.VI	Iles Tonga, USCGS: 17,1°S, 174,0°W, H = 03 ^h 20 ^m 48,5 ^s , h = 95 km ca; M = 4,5 (USCGS)		
10.VI	Région de l'Hindou-Kouch, USCGS: 36,1°N, 70,5°E, H = 05 ^h 48 ^m 57,1 ^s , h = 92 km ca; M = 5,8 (USCGS)	Kra. Δ = 38,5°. Traces (GW) eP 05 56 16 epP 40 ePP 57 43 ePcP 58 21 eS 06 02 03		11.VI	Région des Iles Kouriles, USCGS: 44,7°N, 148,9°E, H = 03 ^h 33 ^m 45,8 ^s , h = 50 km ca; MLH = 7,3 (Raci-bórz), M = 7¼ (Palisades), 6¾ (Pasadena), 6½ (Berkeley), 6,0 (USCGS)		
10.VI	Dodécannèse, BCIS: 36,5°N, 26,7°E, H = 15 ^h 24 ^m 18 ^s , h = 150 km ca	Kra. Δ = 14,4° (SKM) iP 15 27 40 C ePP 53		11.VI	Kra. Δ = 75,0° (SKM) iP 03 45 28 C iPcP 46 ePP 48 16 eS 55 05 eSKS 27 ePS 46 Lm 04 27 07 N: 16 ^s ; 90μ ca Lm 28 E: 16 ^s ; 36μ		
10.VI	Crête médiane de l'Atlantique, USCGS: 46,3°N, 27,6°W, H = 20 ^h 33 ^m 59,7 ^s , h = 36 km ca; M = 4,9 (USCGS)	Kra. Δ = 31,2° (SKM) eP 20 40 27 (GW) eL 50 Lm 52 38 N: 9 ^s ; 0,9μ Lm 43 E: 9 ^s ; 0,4μ		11.VI	Rac. Δ = 75,7° (SK) iP 03 45 32 C ePcP 43 (M) eiS 55 29 eScS 49 eL 04 05 Lm 17,5 NE: 24 ^s ; 100μ, 166μ		
11.VI	Iles Proches, Aléoutiennes, USCGS: 51,9°N, 174,2°E, H = 02 ^h 37 ^m 35,3 ^s , h = 35 km ca; M = 5,5 (USCGS), 5-5¼ (Berkeley)			11.VI	Iles Kouriles, USCGS: 44,5°N, 149,0°E, H = 03 ^h 41 ^m 02,3 ^s , h = 33 km ca; M = 5,7 (USCGS)		
				11.VI	Kra. Δ = 75,3° (SKM) iP 03 52 47 C		
				11.VI	Iles Kouriles, USCGS: 44,2°N, 149,5°E, H =		

- 67 -

Dates	Station	Phases	G.M.T. h m s	Dates	Station	Phases	G.M.T. h m s
11.VI (suite)		= 03 ^h 44 ^m 30,7 ^s , h = 33 km ca; M = 5,4 (USCGS)		11.VI	H = 04 ^h 44 ^m 56,9 ^s , h = 56 km ca; M = 5,7 (USCGS)		
	Kra. Δ = 75,8° (SKM) iP 03 56 18 D (GW) eS 04 05 55 eSKS 06 16 ePPS 48			11.VI	Kra. Δ = 75,5° (SKM) iP 04 56 40 Rac. Δ = 76,0° (SK) eiP 04 56 44 C		
11.VI	Iles Kouriles, USCGS: 44,3°N, 149,5°E, H = 03 ^h 46 ^m 50 ^s , h = 33 km ca; M = 4,5 (USCGS)			11.VI	Iles Kouriles, USCGS: 44,4°N, 149,7°E, H = 04 ^h 57 ^m 55,0 ^s , h = 33 km ca; M = 4,2 (USCGS)		
	Kra. Δ = 75,8° (SKM) eP 03 58 38 (GW) eS 04 08 14 eSKS 45			11.VI	Kra. Δ = 76,0°. Traces (SKM) eP 05 09 43		
11.VI	Iles Kouriles, USCGS: 44,4°N, 149,5°E, H = 03 ^h 52 ^m 55,3 ^s , h = 33 km ca; M = 5,4 (USCGS)			11.VI	Iles Kouriles, USCGS: 44,6°N, 149,5°E, H = 04 ^h 59 ^m 36,6 ^s , h = 33 km ca; M = 4,7 (USCGS)		
	Kra. Δ = 75,6° (SKM) iP 04 04 42 iPcP 55			11.VI	Kra. Δ = 75,7° (SKM) eP 05 11 24		
11.VI	Iles Kouriles, USCGS: 44,3°N, 149,2°E, H = 04 ^h 00 ^m 44,8 ^s , h = 33 km ca; M = 5,1 (USCGS)			11.VI	Iles Kouriles, USCGS: 44,1°N, 149,6°E, H = 05 ^h 57 ^m 05,7 ^s , h = 15 km ca; M = 5,0 (USCGS)		
	Kra. Δ = 75,7° (SKM) iP 04 12 32			11.VI	Kra. Δ = 76,0° (SKM) eP 06 08 56		
11.VI	Iles Kouriles, USCGS: 44,4°N, 149,1°E, H = 04 ^h 03 ^m 14,8 ^s , h = 33 km ca; M = 5,4 (USCGS)			11.VI	Iles Kouriles, USCGS: 44,4°N, 149,2°E, H = 07 ^h 11 ^m 05,2 ^s , h = 42 km ca; M = 5,6 (USCGS)		
	Kra. Δ = 75,5° (SKM) eiP 04 15 02			11.VI	Kra. Δ = 75,6° (Ch) eiP 07 22 51 C Rac. Δ = 76,4°. Traces (SK) eP 07 22 54		
11.VI	Iles Kouriles, USCGS: 44,3°N, 149,1°E, H = 04 ^h 14 ^m 49,6 ^s , h = 32 km ca; M = 5,3 (USCGS)			11.VI	Iles Kouriles, USCGS: 44,3°N, 149,5°E, H = 07 ^h 27 ^m 44,0 ^s , h = 35 km ca; M = 5,5 (USCGS)		
	Kra. Δ = 75,5° (SKM) eiP 04 26 36			11.VI	Kra. Δ = 75,8° (SKM) eP 07 39 31 C ePcP 44 (GW) eS 49 11 eSKS 35		
	Rac. Δ = 76,2°. Traces (SK) eP 04 26 40			11.VI	Rac. Δ = 76,4°. Traces (SK) eP 07 39 35 ePcP 48		
11.VI	Iles Kouriles, USCGS: 44,7°N, 149,6°E, H =						

- 68 -

Dates	Station	Phases	G.M.T. h m s	Dates	Station	Phases	G.M.T. h m s
11.VI	Iles Kouriles, USCGS: 44,3°N, 149,2°E, H = = 08 ^h 40 ^m 59,6 ^s , h = = 37 km ca; M = 5,5 (USCGS)			11.VI	Rac. (SK)	Traces e	10 46 04
	Kra. (SKM) $\Delta = 75,6^\circ$				Kra. (SKM)	Traces eP	10 46 35
	(GW) eiP	08 52 46 C				e	42
	epP	57		11.VI	Iles Kouriles, USCGS: 44,4°N, 149,6°E, H = = 10 ^h 21 ^m 38,1 ^s , h = = 33 km ca; M = 5,1 (USCGS)		
	ePcP	53 05			Kra. (SKM)	$\Delta = 75,8^\circ$ Traces eP	10 33 25
	eS	09 02 27		11.VI	Iles Kouriles, USCGS: 44,2°N, 149,6°E, H = = 10 ^h 41 ^m 09,2 ^s , h = = 37 km ca; M = 4,9 (USCGS)		
	eSKS	41			Kra. (SKM)	$\Delta = 76,0^\circ$ Traces eP	10 52 56
	eL	27,3				ePcP	53 09
	Rac. (SK)	$\Delta = 76,5^\circ$ Traces eP	08 52 50	11.VI	Iles Kouriles, USCGS: 44,4°N, 149,2°E, H = = 11 ^h 59 ^m 59,4 ^s , h = = 17 km ca; M = 5,3 (USCGS)		
11.VI	Iles Kouriles, USCGS: 44,0°N, 149,8°E, H = = 09 ^h 07 ^m 55,7 ^s , h = = 33 km ca; M = 4,4 (USCGS)				Kra. (SKM)	$\Delta = 75,6^\circ$ eP	12 11 48
	Kra. (SKM) $\Delta = 76,5^\circ$ Traces				(GW)	eS	21 30
	eP	09 19 45		11.VI	Iles Kouriles, USCGS: 44,1°N, 149,2°E, H = = 15 ^h 39 ^m 32,9 ^s , h = = 39 km ca; M = 4,7 (USCGS)		
	ePcP	58			Kra. (SKM)	$\Delta = 76,0^\circ$ Traces iP	15 51 20 C
11.VI	Iles Kouriles, USCGS: 44,0°N, 149,0°E, H = = 09 ^h 59 ^m 31,4 ^s , h = = 32 km ca; M = 4,8 (USCGS)					eIP	28
	Kra. (SKM) $\Delta = 75,8^\circ$			11.VI	Iles Kouriles, USCGS: 44,3°N, 149,1°E, H = = 17 ^h 12 ^m 11,5 ^s , h = = 54 km ca; M = 4,5 (USCGS)		
	eP	10 11 19			Kra. (SKM)	$\Delta = 75,8^\circ$ eP	17 23 55 C
11.VI	Iles Kouriles, USCGS: 44,4°N, 149,4°E, H = = 10 ^h 16 ^m 39,2 ^s , h = = 39 km ca; M = 5,2 (USCGS)			11.VI	Iles Kouriles, USCGS: 44,3°N, 149,1°E, H = = 20 ^h 44 ^m 20,9 ^s , h = = 39 km ca; M = 4,9 (USCGS)		
	Kra. (SKM) $\Delta = 75,5^\circ$						
	eP	10 28 24 C		11.VI	Iles Kouriles, USCGS: 44,4°N, 149,5°E, H = = 10 ^h 19 ^m 49,0 ^s , h = = 43 km ca; M = 5,4 (USCGS)		
	epP	31			Kra. (SKM) $\Delta = 75,8^\circ$		
	Rac. (SK)	$\Delta = 76,0^\circ$ Traces eP	10 28 28		eiP	10 31 35 C	
11.VI	Iles Kouriles, USCGS: 44,4°N, 149,5°E, H = = 10 ^h 19 ^m 49,0 ^s , h = = 43 km ca; M = 5,4 (USCGS)				eiPcP	42	
	Kra. (SKM) $\Delta = 75,8^\circ$				(GW) ePP	33 31	
	eP	10 28 28					

- 69 -

Dates	Station	Phases	G.M.T. h m s	Dates	Station	Phases	G.M.T. h m s
11.VI (suite)	Kra. (SKM)	$\Delta = 75,6^\circ$ eP	20 56 06	12.VI	Kra. (SKM)	$\Delta = 75,6^\circ$ eP	06 15 20
12.VI	Iles Kouriles, USCGS: 44,5°N, 149,0°E, H = = 00 ^h 20 ^m 59,7 ^s , h = = 52 km ca; M = 5,0 (USCGS)				Rac. (SK)	$\Delta = 76,2^\circ$ Traces eP	06 15 25
	Kra. (SKM) $\Delta = 75,5^\circ$			12.VI	Iles Kouriles, USCGS: 44,2°N, 149,1°E, H = = 06 ^h 46 ^m 27,1 ^s , h = = 46 km ca; M = 5,0 (USCGS)		
	eiP	00 32 43 C			Kra. (SKM)	$\Delta = 75,7^\circ$ eP	06 58 07 C
12.VI	Iles Kouriles, USCGS: 44,7°N, 149,2°E, H = = 02 ^h 03 ^m 06,1 ^s , h = = 33 km ca; M = 4,6 (USCGS)					ePcP	26
	Kra. (SKM) $\Delta = 75,2^\circ$ Traces			12.VI	Iles Kouriles, USCGS: 44,3°N, 149,0°E, H = = 18 ^h 42 ^m 39,9 ^s , h = = 51 km ca; M = 4,8 (USCGS)		
	eP	02 14 50			Kra. (SKM)	$\Delta = 75,5^\circ$ eP	18 54 24
12.VI	Iles Kouriles, USCGS: 44,1°N, 149,2°E, H = = 03 ^h 09 ^m 44,5 ^s , h = = 25 km ca; M = 5,0 (USCGS)			12.VI	Iles Kouriles, USCGS: 44,1°N, 149,3°E, H = = 18 ^h 45 ^m 43,2 ^s , h = = 34 km ca; M = 5,6 (USCGS)		
	Kra. (SKM) $\Delta = 75,8^\circ$				Kra. (SKM)	$\Delta = 75,8^\circ$ iP	18 57 31 C
	eP	03 21 33 C			(GW)	epP	38
	ePcP	45			eScS	19 07 41	
12.VI	Iles Kouriles, USCGS: 44,3°N, 149,8°E, H = = 05 ^h 28 ^m 36,5 ^s , h = = 14 km ca; M = 5,5 (USCGS)				ePS	51	
	Kra. (SKM) $\Delta = 76,0^\circ$			12.VI	Nord du Chili, USCGS: 20,5°S, 69,3°W, H = = 18 ^h 50 ^m 11,7 ^s , h = = 102 km ca; M = 6 ¹ / ₂ (Pasadena), 5,8 (USCGS), 5 ¹ / ₄ (Pallisades)		
	eP	05 40 27 C			Kra. (SKM)	$\Delta = 105,0^\circ$ ePP	19 08 27
	eiPcP	37			(GW)	eSKS	14 41
	ePP	43 05			eSKKS	15 20	
	Rac. (SK)	$\Delta = 76,5^\circ$ Traces eP	05 40 31		eS	44	
12.VI	Iles Kouriles, USCGS: 44,1°N, 149,3°E, H = = 05 ^h 40 ^m 55,9 ^s , h = = 24 km ca; M = 5,8 (USCGS)			12.VI	Iles Kouriles, USCGS: 44,2°N, 149,2°E, H = = 22 ^h 16 ^m 42,4 ^s , h = = 16 km ca; M = 5,3 (USCGS)		
	Kra. (SKM) $\Delta = 75,8^\circ$				Kra. (SKM)	$\Delta = 75,8^\circ$ eP	22 28 32 C
	iP	05 52 45 C				ePcP	47
	(GW) ePcP	53 01			(GW)	eS	38 14
	Rac. (SK)	$\Delta = 76,6^\circ$ Traces eP	05 52 48				
12.VI	Iles Kouriles, USCGS: 44,3°N, 149,1°E, H = = 06 ^h 03 ^m 34,0 ^s , h = = 39 km ca; M = 5,2 (USCGS)						

Dates	Station	Phases	G.M.T. h m s	Dates	Station	Phases	G.M.T. h m s
12.VI (suite)	Kra. (GW)	eSKS ePS	22 38 36 51	13.VI	Ryb.	eL Lm NEZ: 3,5 ^S ; 2,8 μ , 2,8 μ , 1,1 μ	20 10 11,1
13.VI	Iles Kouriles, USCGS: 44,3 ^N , 149,3 ^E , H = = 02 ^h 20 ^m 49,0 ^S , h = = 20 km ca; M = 5,5 (USCGS)				Rac. (M)	$\Delta = 14,7^{\circ}$ eP eS eL Lm NE: 4 ^S ; 11 μ , 10 μ	20 05 18 09 48 10 11,9
	Kra. (SKM)	$\Delta = 75,8^{\circ}$ iP eiPcP	02 32 38 C 48	14.VI	Crête médiane indo-atlanti- que, USCGS: 39,8 ^S , 45,8 ^E , H = 07 ^h 30 ^m 43,6 ^S , h = = 33 km ca; M = 5,5 (USCGS)		
13.VI	Hokkaido, Japon, USCGS: 41,8 ^N , 143,5 ^E , H = = 07 ^h 06 ^m 13,9 ^S , h = = 34 km ca; M = 6 (USCGS, Palisades), 5 ³ / ₄ (Berkeley)				Kra. (SKM)	$\Delta = 92,5^{\circ}$ iP	07 43 52 D
	Kra. (SKM) (GW)	$\Delta = 75,5^{\circ}$ iP epP ePcP ePP eS esS eSKS ePPS eL Lm NE: 17 ^S ; 7,0 μ , 3,3 μ	07 17 59 C 18 10 16 20 47 27 40 50 28 06 36 48 54 33	14.VI	Crête médiane de l'Atlanti- que, USCGS: 8,3 ^N , 38,0 ^W , H = 16 ^h 47 ^m 22,7 ^S , h = = 33 km ca; M = 5,2 (USCGS)		
	Rac. (M)	$\Delta = 76,4^{\circ}$ eP ePcP eS	07 18 04 16 27 48		Kra. (SKM)	$\Delta = 63,5^{\circ}$ eiP	16 57 51 D
13.VI	Anatolie, Turquie, BCIS: 37,8 ^N , 29,4 ^E , H = = 20 ^h 01 ^m 52 ^S , M = 5 ³ / ₄ -6 (Strasbourg), 5,7 (Pruhoni- ce), MLH = 5,8 (Racibórz)			15.VI	Iles Kouriles, USCGS: 44,0 ^N , 149,3 ^E , M = = 01 ^h 45 ^m 11,7 ^S , h = = 34 km ca; M = 4,8 (USCGS)		
	Kra. (GW)	$\Delta = 13,9^{\circ}$ eP ePP eS eSS eiSSS	20 05 06 16 07 40 58 08 12		Kra. (SKM)	$\Delta = 76,0^{\circ}$ eP ePcP	01 56 59 57 12
	Ryb. (SK)	$\Delta = 14,6^{\circ}$ eP ePP	20 05 15 25	15.VI	Iles aux Rats, Aléoutien- nes, USCGS: 50,2 ^N , 178,2 ^E , H = 04 ^h 46 ^m 14,1 ^S , h = 29 km ca; M = 5,5 (USCGS)		
					Kra. (SKM)	$\Delta = 77,8^{\circ}$ eiP eiPcP	04 58 15 C 21
				15.VI	Nouvelle Zélande, USCGS: 37,9 ^S , 177,5 ^E , H = = 09 ^h 20 ^m 30,3 ^S , h = 61 km ca; M = 5 ¹ / ₄ (Palisades), 6,2 (USCGS)		

Dates	Station	Phases	G.M.T. h m s	Dates	Station	Phases	G.M.T. h m s
15.VI (suite)	Kra. (SKM)	$\Delta = 160,0^{\circ}$ ePKP ₂ ei	09 41 00 15	16.VI	Kra. (GW)	ePP ePKS Au large Sud de Hondo, USCGS: 29,3 ^N , 142,0 ^E , H = 04 ^h 57 ^m 28,4 ^S , h = = 33 km ca; M = 5,1 (USCGS)	04 18 03 20
15.VI	Iles Kouriles, USCGS: 44,4 ^N , 149,4 ^E , H = = 12 ^h 52 ^m 11,8 ^S , h = = 33 km ca; M = 4,6 (USCGS)				Kra. (SKM)	$\Delta = 85,5^{\circ}$ eP ePcP eS	05 10 06 D 11 20 33
	Kra. (SKM)	$\Delta = 75,7^{\circ}$; Traces eP ePcP	13 03 59 04 10	16.VI	Antilles, USCGS: 18,1 ^N , 68,7 ^W , H = 14 ^h 12 ^m 39,8 ^S , h = 116 km ca; M = 4,2 (USCGS)		
15.VI	Iles Kouriles, USCGS: 44,4 ^N , 149,4 ^E , H = = 14 ^h 18 ^m 59,5 ^S , h = = 37 km ca; M = 4,6 (USCGS)				Kra. (SKM)	$\Delta = 75,4^{\circ}$ eP epP	14 24 13 20
	Kra. (SKM)	$\Delta = 75,7^{\circ}$ eiP eiPcP	14 30 45 C 58	17.VI	Anatolie, région de Honaz, Turquie, BCIS: 37,7 ^N , 29,4 ^E , H = 02 ^h 58 ^m 22 ^S ; M = 5,1 (Sofia)		
15.VI	Est du Golfe d'Aden, BCIS: 14,7 ^N , 51,6 ^E , H = = 16 ^h 41 ^m 13 ^S , M = 5,1 (USCGS)				Kra. (SKM)	$\Delta = 14,0^{\circ}$ eP	03 01 45
	Kra. (GW)	$\Delta = 43,6^{\circ}$ eP ePP eS	16 49 20 51 08 55 50	17.VI	Kazakstan, région de Sémi- palatinsk, USSR, BCIS: 50,2 ^N , 77,8 ^E , H = = 03 ^h 45 ^m 00 ^S		
15/16.VI	Région des Iles Nouvelles Hébrides, USCGS: 20,8 ^S , 173,7 ^E , H = 23 ^h 10 ^m 24,8 ^S , h = 15 km ca; M = 6 ¹ / ₄ (Pasa- dena), 6 (Berkeley), 5,7 (USCGS)				Kra. (SKM)	$\Delta = 36,1^{\circ}$ eiP	03 52 08
	Kra. (GW)	$\Delta = 144,0^{\circ}$ ePKP ePKS ePP eSKS Lm E: 22 ^S ; 6,7 μ Lm N: 20 ^S ; 4,2 μ	23 29 59 30 40 33 20 37 07 00 32 35 33 35	17.VI	Région des Iles Riou-Kiou, USCGS: 24,0 ^N , 123,4 ^E , H = 10 ^h 43 ^m 34,7 ^S , h = = 42 km ca; M = 5,3 (USCGS)		
16.VI	Cordillère Pacifique, USCGS: 34,4 ^S , 112,3 ^W , H = 03 ^h 55 ^m 17,5 ^S , h = = 33 km ca; M = 5,7 (USCGS), 5 ¹ / ₄ -5 ¹ / ₂ (Berkeley)				Kra. (SKM)	$\Delta = 80,0^{\circ}$ eiP ePcP	10 55 41 C 50
	Kra. (GW)	$\Delta = 142,0^{\circ}$ eP	04 14 49	17.VI	Iles aux Rats, Aléoutien- nes, USCGS: 52,1 ^N , 175,0 ^E , H = 19 ^h 05 ^m 07,5 ^S , h = 42 km ca; M = 5,1 (USCGS)		
					Kra. (SKM)	$\Delta = 75,3^{\circ}$ eiP ePcP	19 16 52 D 17 03

- 74 -

Dates	Station	Phases	G.M.T. h m s	Dates	Station	Phases	G.M.T. h m s
27.VI	Région de l'Alaska, USCGS: 60,3°N, 140,9°W, H = = 11 ^h 08 ^m 56,7 ^s , h = = 12 km ca; M = 5 ³ / ₄ -6 (Pa- lisades), 5,3 (USCGS); 5 (Berkeley)	Kra. (SKM)	$\Delta = 68,5^{\circ}$ eiP 11 20 02 ePcP 25 (GW) eS 29 06 ePS 29 ePPS 38	28.VI	Iles Fidji, USCGS: 21,0°S, 178,9°W, H = 17 ^h 57 ^m 39,7 ^s , h = 562 km ca	Kra. (SKM)	$\Delta = 147,4^{\circ}$ ePKP ₁ 18 16 21 ePKP ₂ 25
27.VI	Région des Iles Riou-Kiou, USCGS: 30,4°N, 132,7°E, H = 11 ^h 20 ^m 39,3 ^s , h = = 33 km ca; M = 4,3 (USCGS)	Kra. (SKM)	$\Delta = 80,0^{\circ}$. Traces eP 11 32 49 ePcP 58	29.VI	Vorarlberg, Autriche, BCIS: 47,3°N, 9,9°E, H = = 00 ^h 43 ^m 46 ^s	Kra. (SKM)	$\Delta = 7,2^{\circ}$ eSn 00 47 03 eSS 15 eS* 30 eiSg 38
27.VI	Formose, USCGS: 23,9°N, 121,6°E, H = 11 ^h 36 ^m 08,2 ^s , h = 20 km ca; M = 5,6 (USCGS)	Kra. (SKM)	$\Delta = 78,8^{\circ}$ eiP 11 48 14 C (GW) eS 58 13 eSKS 21 ePPS 59 11	29.VI	Iles Kouriles, USCGS: 44,4°N, 149,4°E, H = = 02 ^h 04 ^m 22,6 ^s , h = = 33 km ca; M = 5,5 (USCGS)	Ryb. (SK)	$\Delta = 6,5^{\circ}$ eS* 00 47 05 eL 47,3 Lm 20 NE: 1 ^s ; 1,0 μ , 0,8 μ
27.VI	Région des Iles Riou-Kiou, USCGS: 30,3°N, 132,8°E, H = 21 ^h 59 ^m 37,7 ^s , h = = 27 km ca; M = 5,3 (USCGS)	Kra. (SKM)	$\Delta = 80,0^{\circ}$ eiP 22 11 50 D ePcP 58	29.VI	Atlantique, au large du Portugal, BCIS: 36,6°N, 12,3°W, H = 04 ^h 27 ^m 54 ^s	Rac. (SK)	$\Delta = 6,2^{\circ}$ Lm 00 47 22 NEZ: 1 ^s ; 1 μ , 1,1 μ , 0,7 μ
28.VI	Nouvelle Irlande, USCGS: 5,1°S, 153,0°E, H = = 03 ^h 33 ^m 36,5 ^s , h = = 50 km ca; M = 5 ¹ / ₄ -5 ¹ / ₂ (Berkeley)	Kra. (SKM)	$\Delta = 120,2^{\circ}$ ePKP 03 52 26 epPKP 44 (GW) eL 04 33	29.VI	Au Sud-est de la Crête, BCIS: 34,2°N, 26,3°E, H = = 15 ^h 40 ^m 31 ^s	Kra. (SKM)	$\Delta = 26,7^{\circ}$ eiP 04 33 37 C (GW) eS 38 07
28.VI		Kra. (SKM)	e 15 57 02 e 15	29.VI		Kra. (SKM)	$\Delta = 16,5^{\circ}$ eP 15 44 20 ePP 35

- 75 -

Dates	Station	Phases	G.M.T. h m s	Dates	Station	Phases	G.M.T. h m s
30.VI	Mer de Moluques, USCGS: 1,6°S, 126,7°E, H = = 02 ^h 53 ^m 14,0 ^s , h = = 33 km ca; M = 5,2 (USCGS)	Kra. (SKM)	$\Delta = 102,0^{\circ}$. Traces e(PKP) 03 11 22 ePP 28 (GW) eSKS 18 44 eS 50	30.VI	Kra. $\Delta = 76,0^{\circ}$ (GW) eP 08 45 18 epP 29 ePcP 32 eS 55 02 eScS 29 ePPS 47 eL 09 17		
30.VI	Iles aux Rats, Aléoutien- nes, USCGS: 51,8°N, 176,6°E, H = 08 ^h 33 ^m 30,5 ^s , h = 41 km ca; M = 5 ¹ / ₂ -5 ³ / ₄ (Pasadena), 5 ¹ / ₂ (Berkeley)	Kra. (SKM)	e 14 01 36 e 14 02 07,8 e 25,8	30.VI	Proche, Pruhonice:eiPg 14 01 59	Rac. (SK)	e 14 01 36
				1965 J U I L L E T 1965			
1.VII	Iles Kouriles, USCGS: 50,1°N, 158,9°E, H = = 17 ^h 41 ^m 33,2 ^s , h = = 50 km ca; M = 5,1 (USCGS)	Kra. (SKM)	$\Delta = 73,0^{\circ}$ eiP 17 53 07 eiPcP 20	2.VII	= 60 km ca; M = 6,9 (Pasa- dena), 6,8 (Berkeley), 6,7 (USCGS)	Kra. (SKM)	$\Delta = 76,5^{\circ}$ iP 21 10 29 C (GW) ePcP 39 eiS 20 14 iSKS 31 iPPS 21 10 eL 33 Lm 45,7 NE: 21 ^s ; 32 μ , 18 μ
1.VII	Cordillère du Pacifique Sud, USCGS: 63,0°S, 163,6°W, H = 23 ^h 12 ^m 45,4 ^s , h = 33 km ca; M = 6,7 (Berkeley), 6 (Pasadena)	Kra. (SKM)	$\Delta = 167,0^{\circ}$ ePKP ₁ 23 32 45 ePKP ₂ 33 47 ePP 37 40 (GW) eL 48	2.VII	Iles aux Rats, Aléoutien- nes, USCGS: 52,1°N, 175,4°E, H = 20 ^h 19 ^m 41,7 ^s , h = 37 km ca; M = 5 ¹ / ₄ -5 ¹ / ₂ (Palisades), 5,4 (USCGS)	Rac. (M)	$\Delta = 76,6^{\circ}$ iP 21 10 30 C Z: 1 ^s ; 46 μ iPcP 40 ipP 49 NE: 2 ^s ; 129 μ , 33 μ iS 20 23 Sm 33 NE: 4 ^s ; 21,0 μ , 17,2 μ iSKS 39 iPPS 21 11
2.VII	Iles aux Renards, Aléoutien- nes, USCGS: 53,1°N, 167,6°W, H = 20 ^h 58 ^m 40,3 ^s , h =	Kra. (SKM)	$\Delta = 75,0^{\circ}$ eP 20 31 28 C ePcP 39	3.VII	Crête médiane de l'Atlanti- que Nord, BCIS: 53,1°N, 31,7°W, H = 02 ^h 22 ^m 15 ^s ; M = 5,6 (Pruhonice)	Kra. (SKM)	$\Delta = 31,6^{\circ}$. Traces eiP 02 28 43

Dates	Station	Phases	G.M.T. h m s	Dates	Station	Phases	G.M.T. h m s		
3.VII (suite)	Kra. (SKM)	ePP ePPP (GW) Lm N: 14 ^S ; 3,0 μ	02 29 47 56 41 00	6.VII	(Strasbourg), 6 ³ / ₄ (Athènes), MLH = 6,7 (Racibórz)	Kra. (GW)	$\Delta = 12,3^\circ$ eiP ePP iPPP iSS Lm Z: 6 ^S ; 60 μ Lm N: 5,5 ^S ; 22 μ Lm E: 6 ^S ; 60 μ	03 21 36 47 55 24 15 26 59 27 04 23	
3.VII	Région frontière Birmanie-Chine, USCGS: 22,6 ^N , 101,4 ^E , H = 11 ^h 26 ^m 08,7 ^S , h = 14 km ca; M = 5 ³ / ₄ -6 (Palisades), 5,3 (USCGS)	Kra. (Ch) (GW)	$\Delta = 67,6^\circ$ eP eS eSS eL Lm N: 17 ^S ; 6,1 μ	11 37 11 46 09 52 18 12 03,7 06 41	Rac. (M)	$\Delta = 12,1^\circ$ eP eS eL Lm NE: 2 ^S ; 46 μ , 4,7 μ eS eL Lm NE: 8 ^S ; 270 μ , 150 μ	03 21 38 23 56 24 27,9		
3.VII	Tibet, USCGS: 32,1 ^N , 82,8 ^E , H = 17 ^h 10 ^m 16,0 ^S , h = 15 km ca; M = 4,4 (USCGS)	Kra. (SKM)	$\Delta = 49,0^\circ$. Traces eP ePcP	17 19 22 20 14	Ryb. (SK)	$\Delta = 11,9^\circ$ eP ePP ePPP eL	03 21 39 50 57 24		
5.VII	Crête médiane de l'Atlantique Nord, réplique du 5.VII, USCGS: 54 ^N , 32,5 ^W , H = 08 ^h 32 ^m 02 ^S , h = 33 km ca; M = 5,3 (Moxa), 4,6 (Collm)	Kra. (GW)	$\Delta = 32,8^\circ$ eiP ePP eS eSS	08 38 35 39 45 44(01) 45 57	6.VII	Iles Kouriles, USCGS: 46,8 ^N , 152,5 ^E , H = 04 ^h 08 ^m 47,4 ^S , h = 39 km ca; M = 5,6 (USCGS)	Kra. (SKM)	$\Delta = 74,5^\circ$ iP eipP	04 20 27 C 30
5.VII	Tyrol, Autriche, BCIS: 47,4 ^N , 11,7 ^E , H = 19 ^h 36 ^m 47 ^S	Rac. (SK)	$\Delta = 5,2^\circ$ eS*	19 39 27	6.VII	Près de la côte E du Kamtchatka, USCGS: 55,0 ^N , 162,0 ^E , H = 04 ^h 58 ^m 55,6 ^S , h = 34 km ca; M = 5,2 (USCGS)	Kra. (SKM)	$\Delta = 69,5^\circ$. Traces eP ePcP	05 10 09 23
6.VII	Grèce, BCIS: 38,4 ^N , 22,3 ^E , H = 03 ^h 18 ^m 45 ^S ; M = 6,8 (Collm), 6 ¹ / ₂ -6	Kra. (SKM)	$\Delta = 6,0^\circ$ eiS* eSg	19 39 48 40 04	6.VII	Local	Kra. (SKM)	e(P)	15 15 18

Dates	Station	Phases	G.M.T. h m s	Dates	Station	Phases	G.M.T. h m s		
6.VII (suite)	= 18 ^h 36 ^m 47,4 ^S , h = 510 km ca; M = 6,4 (USCGS), 6-6 ³ / ₄ (Pasadena)	Kra. (GW)	$\Delta = 121,0^\circ$ ePKP ePP eSKS eSKKS	18 55 43 56 19 19 00 55 02 18	8.VII	Kra. (SKM) (GW)	ePP eS 00 19 49 23 26		
7.VII	S Australie, USCGS: 49,8 ^S , 116,9 ^E , H = 12 ^h 08 ^m 34,0 ^S , h = 25 km ca; M = 5,2 (USCGS)	Kra. (SKM)	$\Delta = 131,5^\circ$. Traces ePKP pPKP	12 27 40 47	8.VII	Iles Tonga, USCGS: 16,2 ^S , 174,7 ^W , H = 16 ^h 07 ^m 19,8 ^S , h = 54 km ca; M = 4,5 (USCGS)	Kra. (SKM)	$\Delta = 144,2^\circ$. Trace ePKP ₁	16 26 53
7.VII	Large Sud de Hondo, Japon, USCGS: 32,7 ^N , 138,8 ^E , H = 21 ^h 38 ^m 51,5 ^S , h = 216 km ca; M = 5,6 (USCGS), 5,8 (Berkeley)	Kra. (GW)	$\Delta = 81,0^\circ$ iP epP eS	21 50 45 51 33 22 00 27	8.VII	Autriche, BCIS: 47,3 ^N , 11,4 ^E , H = 23 ^h 20 ^m 04 ^S	Kra. (SKM)	$\Delta = 6,4^\circ$ ePn eP* ePg ei eSn eiSS iS* eiSg	23 21 45 59 22 11 46 58 23 04 23 39
7.VII	Indonésie, USCGS: 7,0 ^S , 105,6 ^E , H = 23 ^h 00 ^m 06,4 ^S , h = 105 km ca; M = 5,8 (USCGS)	Kra. (SKM)	$\Delta = 92,5^\circ$ eP ePP	23 13 08 16 50	Ryb. (SK)	$\Delta = 5,5^\circ$ eSn iL Lm NE: 2 ^S ; 3,3 μ , 1,7 μ	23 22 31 59 23 03		
7.VII	Iles aux Rats, Aléoutiennes, USCGS: 51,3 ^N , 177,2 ^E , H = 23 ^h 35 ^m 27,2 ^S , h = 39 km ca; M = 4,9 (USCGS)	Kra. (SKM)	$\Delta = 77,0^\circ$ eP ePcP	23 47 19 30	Rac. (SK)	$\Delta = 5,3^\circ$ iL	23 22 52		
8.VII	Jan Mayen, USCGS: 72,0 ^N , 1,6 ^W , H = 00 ^h 13 ^m 53,9 ^S , h = 33 km ca; M = 4,4 (USCGS)	Kra. (SKM)	$\Delta = 24,0^\circ$ eP	00 19 09	8.VII	Autriche, BCIS: 47,9 ^N , 16,2 ^E , H = 23 ^h 29 ^m 30 ^S	Kra. (SKM)	$\Delta = 3,2^\circ$ eiP* eiSg	23 30 26 31 18
					9.VII	Frontière Allemagne-Autriche, BCIS: 47,8 ^N , 12,9 ^E , H = 22 ^h 48 ^m 47 ^S	Kra. (SKM)	$\Delta = 5,2^\circ$ ePg eSn eSS eS* eiSSS eiSg	22 50 32 51 14 22 28 31 36
						Rac. (SK)	$\Delta = 4,2^\circ$. Traces e eL	22 50(59) 51	

- 78 -

Dates	Station	Phases	G.M.T. h m s	Dates	Station	Phases	G.M.T. h m s
9.VII (suite)	Ryb.	$\Delta = 4,3^\circ$. Traces eSg eL	22 51 10 51	14.VII		$168,6^\circ W$, H = $12^h 16^m 36,8^s$, h = 32 km ca; M = 4,5 (USCGS)	
10.VII		Iles Kouriles, USCGS: $45,5^\circ N$, $151,5^\circ E$, H = = $12^h 52^m 24,6^s$, h = = 44 km ca; M = 4,9 (USCGS)			Kra. (SKM)	$\Delta = 67,0^\circ$. Traces eP	12 27 32
	Kra. (SKM)	$\Delta = 75,5^\circ$. Traces eP ePcP	13 04 08 21	14.VII		Traces e(P)	13 14 26
11.VII		Proche?		14.VII		Iles aux Renards, Aléoutien- nes, USCGS: $52,6^\circ N$, $168,7^\circ W$, H = $17^h 55^m 51,4^s$, h = = 6 km ca; M = 5,3 (USCGS)	
	Kra. (SKM)	eP e	11 39 47,6 56,1		Kra. (SKM)	$\Delta = 76,5^\circ$ iP ePcP	18 07 49 C 08 01
12.VII		Iles Samoa, USCGS: $16,6^\circ S$, $172,8^\circ W$, H = $05^h 34^m 11,0^s$, h = 62 km ca; M = 5,0 (USCGS)		15.VII		Au large de la côte E de l'Amérique du Nord, USCGS: $37,3^\circ N$, $74,4^\circ W$, H = = $14^h 16^m 07,0^s$, h = 0; M = = 5,1 (USCGS)	
	Kra. (SKM)	$\Delta = 144,8^\circ$. Traces ePKP	05 53 43		Kra. (SKM)	$\Delta = 64,5^\circ$. Traces eP	14 26 51
12.VII		Turquie méridionale, BCIS: $37,7^\circ N$, $29,1^\circ E$, H = = $09^h 51^m 46^s$		15.VII		Ile Mindanao, Philippines, USCGS: $7,7^\circ N$, $123,8^\circ E$, H = = $18^h 33^m 30,7^s$, h = = 590 km ca; M = 6,0 (USCGS)	
	Kra. (GW)	$\Delta = 14,0^\circ$ ePcP	10 00 25		Kra. (SKM)	$\Delta = 92,8^\circ$ eP Pm	18 45 43 D 44
13.VII		Proche?				Z: $1,6^s$; $1,2\mu$	
	Kra. (Ch)	eP	13 36 20			ei eiPP (GW) eL	48 47 49 35 55
13.VII		Sud de l'Anatolie, BCIS: $37,4^\circ N$, $28,0^\circ E$, H = = $14^h 19^m 00^s$			Rac. (SK)	$\Delta = 94,0^\circ$. Traces eP	18 45 49
	Kra. (SKM)	$\Delta = 13,5^\circ$. Traces eP ePP (GW) eL Lm	14 22 12 25 27 28,3	16.VII		Iles Santa-Cruz, USCGS	
		NE: 8^s ; $0,5\mu$, $0,6\mu$			Kra. (GW)	Traces eL	23 50
14.VII		Proche?		17.VII		Iles Salomon, USCGS: $9,7^\circ S$, $159,8^\circ E$, H = = $07^h 20^m 30,7^s$, h = = 24 km ca; M = 6,4 (USCGS)	
	Kra. (SKM)	Traces e	00 39 24		Kra.	$\Delta = 128,0^\circ$	
14.VII		Iles aux Renards, Aléou- tiennes, USCGS: $52,5^\circ N$,					

- 79 -

Dates	Station	Phases	G.M.T. h m s	Dates	Station	Phases	G.M.T. h m s
17.VII (suite)	Kra. (GW)	ePP ePKS eL	07 41 40 42 10 08 25	21.VII		Iles Tonga, USCGS: $20,9^\circ S$, $175,7^\circ W$, H = $02^h 51^m 39,0^s$, h = 58 km ca; M = 6,0 (Berkeley)	
17.VII		Iles Kermadec, USCGS: $27,1^\circ S$, $177,6^\circ W$, H = $12^h 59^m 11,0^s$, h = 27 km ca; M = 5,4 (USCGS)			Rac. (SK)	$\Delta = 149,0^\circ$. Traces ePKP ₁	03 11 27
	Kra. (GW)	$\Delta = 153,5^\circ$ ePKP ₁ ePKP ₂ ePKS eL	13 19 01 23 22 42 42		Kra. (GW)	$\Delta = 148,2^\circ$ ePKP ₁ ePKP ₂ Lm	03 11 28 40 04 18 26
		N: 20^s ; $2,0\mu$		21.VII		Iles Proches, Aléoutien- nes, USCGS: $53,3^\circ N$, $170,4^\circ E$, H = $17^h 52^m 29,4^s$, h = 17 km ca; M = 5,7 (USCGS)	
18.VII		Iles Kouriles, USCGS: $45,4^\circ N$, $151,3^\circ E$, H = = $22^h 15^m 03,3^s$, h = = 35 km ca; M = 5,5 (USCGS)			Kra. (GW)	$\Delta = 73,5^\circ$ eP ePcP eS eL	18 04 08 18 13 41 36
	Kra. (SKM)	$\Delta = 75,4^\circ$ iP ePcP	22 26 49 C 57		Rac. (SK)	$\Delta = 73,7^\circ$. Traces eP	18 04 08
19.VII		Venezuela, USCGS: $9,1^\circ N$, $70,5^\circ W$, H = $04^h 13^m 21,7^s$, h = 41 km ca; M = 5,3 (USCGS)		22.VII		Iles aux Rats, Aléoutien- nes, USCGS: $50,9^\circ N$, $176,0^\circ E$, H = $01^h 18^m 52,0^s$, h = = 44 km ca; M = 5,6 (USCGS)	
	Kra. (SKM)	$\Delta = 83,2^\circ$ eP ePcP	04 26 47 54		Kra. (SKM)	$\Delta = 76,8^\circ$. Traces eiP ePcP	01 30 44 58
20.VII		Iles Kouriles, USCGS: $48,8^\circ N$, $155,7^\circ E$, H = = $11^h 19^m 54,2^s$, h = = 49 km ca; M = 5,2 (USCGS)		23.VII		Nouvelles Hébrides, USCGS	
	Kra. (SKM)	$\Delta = 74,0^\circ$ eiP Pm ePcP	11 31 28 C 29 42		Kra. (GW)	Traces eL	13 59
		Z: $0,8^s$; $0,03\mu$		23.VII		Nevada, États-Unis, USCGS: $37^\circ 05' 52,2'' N$, $116^\circ 01' 58,8'' W$, H = $17^h 00^m 00,0^s$	
20.VII		Ile Mindanao, Philippines, USCGS: $7,5^\circ N$, $124,3^\circ E$, H = $13^h 18^m 27,7^s$, h = = 45 km ca; M = 5,7 (USCGS)			Kra. (Ch)	$\Delta = 84,5^\circ$ eiP	17 12 38
	Kra. (SKM)	$\Delta = 93,2^\circ$ eiP ePcP (GW) ePP	13 31 40 D 47 35 22		Rac. (SK)	$\Delta = 83,7^\circ$. Traces NEZ	17 12-14
				23.VII		Alpes Autrichiennes, BCIS: $47,7^\circ N$, $13,9^\circ E$, H = = $23^h 53^m 37^s$	
					Rac.	$\Delta = 3,8^\circ$. Traces	

Dates	Station	Phases	G.M.T. h m s	Dates	Station	Phases	G.M.T. h m s
23.VII (suite)	Rac. (SK)	eSg eL	23 55 38 56	25.VII	Kra. (GW)	eScS ePS eL Lm	22 08 48 59 18 37 04
	Kra. (Ch)	$\Delta = 4,6^\circ$ eSg	23 56 06			N: 16^S ; $2,2\mu$	
24.VII		Région frontière Afghanistan-URSS, USCGS: $36,5^\circ N$, $71,2^\circ E$, H = $17^h 57^m 41,5^s$, h = 225 km ca; M = 4,9 (USCGS)		26.VII		Région des Iles Samoa, USCGS: $16,0^\circ S$, $172,8^\circ W$, H = $15^h 23^m 49,9^s$, h = 53 km ca; M = 5,0 (USCGS), 5,2 (Berkeley)	
	Kra. (GW)	$\Delta = 39,0^\circ$ eiP	18 04 48		Kra. (Ch)	$\Delta = 144,5^\circ$. Traces ePKP	15 43 20
25.VII		Nord de Sumatra, USCGS: $2,0^\circ N$, $99,3^\circ E$, H = $03^h 40^m 40,0^s$, h = 97 km ca; M = 5,3 (USCGS)			Rac. (SK)	$\Delta = 144,7^\circ$ ePKP	15 43 22
	Kra. (GW)	$\Delta = 81,6^\circ$ eP epP eS eL	03 52 50 53 13 04 03 01 27	26.VII		Japon, USCGS: $29,9^\circ N$, $138,8^\circ E$, H = $16^h 17^m 50,1^s$, h = 402 km ca; M = 5,0 (USCGS)	
					Kra. (Ch)	$\Delta = 83,0^\circ$. Traces eP	16 29 35
25.VII		Près de la côte de Hokkaido, Japon, USCGS: $41,4^\circ N$, $146,7^\circ E$, H = $13^h 33^m 06,2^s$, h = 33 km ca; M = 5,8 (USCGS), 5 (Palisades)		27.VII		Près de la côte de Hondo, Japon, USCGS: $40,3^\circ N$, $139,2^\circ E$, H = $21^h 16^m 03,0^s$, h = 199 km ca; M = 4,8 (USCGS)	
	Kra. (GW)	$\Delta = 77,3^\circ$ eiP ePcP ePP eiS eL	13 45 02 16 47 57 54 52 14 45		Kra. (SKM)	$\Delta = 74,5^\circ$ eP epP	21 27 28 28 18
	Rac. (M)	$\Delta = 78,0^\circ$. Traces eP	13 45 06	28.VII		Proche	
25.VII		Iles aux Rats, Aléoutiennes, USCGS: $51,5^\circ N$, $176,0^\circ E$, H = $21^h 46^m 46,0^s$, h = 39 km ca; M = 5,5 (USCGS), $5\frac{3}{4}$ (Palisades, Pasadena)			Kra. (SKM)	eiP eiS	01 34 59 35 09
	Kra. (SKM)	$\Delta = 76,5^\circ$ eiP	21 58 36 C	28.VII		Sud de Sumatra, USCGS: $2,2^\circ S$, $101,9^\circ E$, H = $22^h 29^m 07,5^s$, h = 135 km ca; M = 5,7 (USCGS)	
	(GW)	Z: $1,0^S$; $0,06\mu$ ePcP ei eS	52 59 15 22 08 22		Kra. (SKM)	$\Delta = 86,5^\circ$ eiP eiPcP eiPP eiS	22 41 38 43 44 52 52 00
				29.VII		Iles aux Renards, Aléoutiennes, USCGS: $50,9^\circ N$, $171,4^\circ W$,	

Dates	Station	Phases	G.M.T. h m s	Dates	Station	Phases	G.M.T. h m s
29.VII (suite)		H = $08^h 29^m 21,2^s$, h = 22 km ca; M = $6\frac{3}{4}$ (Pasadena), MLH = 7,1 (Racibórz)		29.VII	Kra. (SKM)	ei	17 09 46
	Kra. (GW)	$\Delta = 78,5^\circ$ eP Pm	08 41 24 34	30.VII		Nord de la Colombie, USCGS: $6,8^\circ N$, $72,9^\circ W$, H = $07^h 20^m 09,8^s$, h = 170 km ca; M = 5,5 (USCGS)	
		N: 11^S ; $4,6\mu$ iPcP iS iSKS eiScS Lm	41 51 26 40 53 09 20 44		Kra. (SKM)	$\Delta = 86,5^\circ$ eP ePcP	07 32 36 42
		E: 19^S ; 23μ Lm	51	30.VII		Traces	
	Rac. (SK)	$\Delta = 78,5^\circ$ eiP	08 41 26		Kra. (SKM)	e e	10 24 13 20
		Z: 2^S ; $2,7\mu$ iPcP	31	30.VII		Sud de l'Iran, USCGS: $27,9^\circ N$, $57,0^\circ E$, H = $19^h 07^m 02,9^s$, h = 33 km ca; M = 4,7 (USCGS)	
	(M)	Z: 4^S ; $6,3\mu$ eiS iSKS	51 23 31		Kra. (SKM)	$\Delta = 35,7^\circ$ eP	19 14 00
		NE: 7^S , 3^S ; 26μ , $19,5\mu$ eL Lm	09 09 21,2	31.VII		Local?	
		NEZ: 18^S ; 62μ , 43μ , 71μ			Kra. (SKM)	eiP	04 31 29
29.VII		Iles Aléoutiennes, USCGS: $50,7^\circ N$, $171,6^\circ W$, H = $12^h 20^m 22,1^s$, h = 33 km ca; M = 5,5 (USCGS)		31.VII		Près de la côte E de Hondo, Japon, USCGS: $36,1^\circ N$, $142,3^\circ E$, H = $07^h 36^m 30,6^s$, h = 35 km ca; M = 4,9 (USCGS)	
	Kra. (SKM)	$\Delta = 78,5^\circ$ eiP ePcP	12 32 25 35		Kra. (SKM)	$\Delta = 79,8^\circ$ eP ePcP	07 48 41 52
29.VII		Iles aux Renards, Aléoutiennes, USCGS: $51,0^\circ N$, $171,3^\circ W$, H = $15^h 08^m 32,6^s$, h = 3 km ca; M = 5,5 (USCGS)			(GW)	eS eSKS	58 34 52
	Kra. (GW)	$\Delta = 78,5^\circ$ eP eS eSKS eScS ePS	15 20 36 30 36 48 56 31 28	31.VII		Tibet, USCGS: $32,7^\circ N$, $93,2^\circ E$, H = $21^h 44^m 46,8^s$, h = 18 km ca; M = 4,9 (USCGS)	
29.VII		Local			Kra. (GW)	$\Delta = 55,0^\circ$ eP eL	21 54 23 22 15
	Kra. (SKM)	eP eiS	17 09 35 38				

Dates	Station	Phases	G.M.T. h m s	Dates	Station	Phases	G.M.T. h m s
1965				A O Û T	1965		
1.VIII	Ile Sakhalin, USCGS: 46,9°N, 143,8°E, H = = 15 ^h 02 ^m 56,3 ^s , h = = 401 km ca; M = 5,3 (USCGS)			2.VIII	Région de l'Île Macquarie, USCGS: 56,2°S, 157,9°E, H = 13 ^h 19 ^m 55,9 ^s , h = = 33 km ca; M = 7-7¼ (Pa- sadena), 7 (Palisades), 6,6 (USCGS)		
Kra.	Δ = 71,2°			Kra.	Δ = 154,5°		
(SKM) eiP	15 13 38 D			(SKM) ePKP ₁	13 39 47		
Pm	39			(GW) eiPKP ₂	40 16		
	Z: 1,8 ^s ; 0,3μ			ePP	43 46		
eiPcP	50			eSKS	46 47		
epP	15 07			Lm	14 40 55		
(GW) eS	22 26				N: 24 ^s ; 10μ		
eSKS	23(01)			Lm	41 00		
Rac.	Δ = 72,2°. Traces				E: 19 ^s ; 5μ		
(SK) eP	15 13 43			Rac.	Δ = 155,6°		
1.VIII	Région des Îles Kouriles, USCGS: 52,8°N, 153,4°E, H = 16 ^h 41 ^m 05,0 ^s , h = = 445 km ca; M = 5,1 (USCGS)			(SK) ePKP ₁	13 39 57		
Kra.	Δ = 69,5°			(M) eL	14 56		
(SKM) iP	16 51 41 D			2.VIII	Panama, USCGS: 7,4°N, 78,7°W, H = 14 ^h 34 ^m 21,4 ^s , h = 20 km ca; M = 5,5 (USCGS)		
Pm	42			Kra.	Δ = 89,6°		
	Z: 1,0 ^s ; 0,23μ			(SKM) eP	14 47 22		
ePcP	55			2.VIII	Panama, USCGS: 7,5°N, 78,4°W, H = 14 ^h 36 ^m 12,5 ^s , h = 57 km ca		
Rac.	Δ = 70,2°			Kra.	Δ = 89,5° Traces		
(SK) eP	16 51 44 D			(SKM) eP	14 49 09		
1.VIII	Région des Îles Fidji, USCGS: 24,7°S, 176,9°W, H = 19 ^h 28 ^m 04,4 ^s , h = = 92 km ca; M = 5,3 (USCGS)			2.VIII	Panama, USCGS: 7,4°N, 78,7°W, H = 16 ^h 43 ^m 11,7 ^s , h = 17 km ca; M = 5,4 (USCGS), 5,2 (Berkeley)		
Kra.	Δ = 151,3°			Kra.	Δ = 89,6°		
(SKM) ePKP ₁	19 47 49			(SKM) eP	16 56 12		
ePKP ₂	57			(GW) ePP	59 48		
epPKP ₁	48 22			eSKS	17 06 41		
2.VIII	Région des Îles Kermadec, USCGS: 32,5°S, 178,9°W, H = 23 ^h 44 ^m 28,2 ^s , h = = 45 km ca; M = 5,8 (USCGS)			2.VIII	Panama, USCGS: 7,4°N, 78,8°W, H = 19 ^h 07 ^m 57,4 ^s , h = 34 km ca; M = 5,3 (USCGS), 4¾ (Palisades)		
Kra.	Δ = 158,0°			Kra.	Δ = 89,8°		
(GW) ePKP ₁	00 04 19			(SKM) eP	19 20 56		
ePKP ₂	05 04						
Lm	01 14 44						
	N: 23 ^s ; 2μ						

Dates	Station	Phases	G.M.T. h m s	Dates	Station	Phases	G.M.T. h m s
2.VIII (suite)	Kra. (GW)	ePcP eSKS eSKKS eS	19 21 04 31 27 42 54	5.VIII	Région de la Nouvelle Bre- tagne, USCGS: 5,2°S, 151,6°E, H = 00 ^h 07 ^m 50,9 ^s , h = 50 km ca; M = 6½ (Pasa- dena), 6½-6¾ (Palisades), 6,2 (USCGS), 5,8 (Berkeley), MLH = 6,4 (Kraków)		
2.VIII	Panama, USCGS: 7,5°N, 78,5°W, H = 20 ^h 43 ^m 29,2 ^s , h = 24 km ca; M = 4,8 (USCGS)			Kra.	Δ = 119,6°		
Kra.	Δ = 89,5°			(SKM) eiPKP	00 26 38 D		
(SKM) eP	20 56 28			ePP	28 01		
epP	34			eSKS	33 29		
4.VIII	Oaxaca, Mexique, USCGS: 16,8°N, 94,4°W, H = = 01 ^h 05 ^m 50,4 ^s , h = = 91 km ca; M = 5,3 (USCGS), 4-4½ (Berkeley)			ePS	37 44		
Kra.	Δ = 91,5°			Lm	01 17 01		
(SKM) eiP	01 18 51 D				NE: 17 ^s , 22 ^s ; 4μ, 10μ		
ePcP	53			Rac.	Δ = 120,6°. Traces		
ipP	19 16			(SK) ePKP	00 26 38		
pPm	17			6.VIII	Crête médiane de l'Atlanti- que, USCGS: 0,4°S, 19,6°W, H = 01 ^h 58 ^m 37,0 ^s , h = = 8 km ca; M = 5,2 (USCGS)		
	Z: 1,2 ^s ; 0,06μ			Kra.	Δ = 60,7°		
(GW) eSKS	29 16			(SKM) eiP	02 08 50		
4.VIII	Apenin central, au Nord de Pérouse, BCIS: 43,6°N, 12,3°E, H = 11 ^h 49 ^m 53 ^s			(GW) eS	17 06		
Kra.	Δ = 8,3°			6.VIII	Mer du Japon, USCGS: 41,5°N, 131,2°E, H = 18 ^h 15 ^m 11,3 ^s , h = 553 km ca; M = 5,3 (USCGS)		
(SKM) ei(P*)	11 52 15			Kra.	Δ = 70,5°		
eSn	53 34			(SKM) eiP	18 25 33 D		
eSS	48			(GW) ePcP	51		
eS*	54 03			Rac.	Δ = 71,2°. Traces		
ei(Sg)	35			(SK) eP	18 25 38		
Rac.	Δ = 7,7°. Traces			8.VIII	Îles Proches, Aléoutiennes, USCGS: 52,5°N, 173,4°E, H = 05 ^h 19 ^m 23,7 ^s , h = = 17 km ca; M = 5,1 (USCGS)		
(SK) eL	11 54			Kra.	Δ = 74,5°. Traces		
4.VIII	Local			(SKM) eiP	05 31 08 C		
Kra.				ePcP	25		
(SKM) eP	12 54 05,5			(GW) eL	06 04,5		
ei(S)	08,7			8.VIII	Îles Andrénov, Aléoutien- nes, USCGS: 51,8°N, 175,2°W, H = 12 ^h 49 ^m 23,4 ^s , h = = 53 km ca; M = 5,3 (USCGS)		
4.VIII	Mer Méditerranée, BCIS: 35,4°N, 26,7°E, H = = 19 ^h 15 ^m 07 ^s ; M = 4¾ (Athè- nes)			Kra.	Δ = 77,5°. Traces		
Kra.	Δ = 15,2°						
(SKM) iP	19 18 44 C						
ePP	52						

Dates	Station	Phases	G.M.T. h m s	Dates	Station	Phases	G.M.T. h m s
8.VIII (suite)	Kra. (SKM) (GW)	eP eL Lm	13 01 27 35 36,0	11.VIII	Kra. (GW)	eP ePcP ePS ePPS eSKS	18 40 53 41 18 50 18 32 52
		N: 22 ^s ; 1,0 μ		11.VIII	Local?		
9.VIII		Région de l'île Ascension, USCGS: 5,1°S, 11,7°W, H = 09 ^h 08 ^m 07,2 ^s , h = 33 km ca; M = 4,8 (USCGS)		11.VIII	Kra. (Ch)	Traces e(P) e	19 55 18 30
	Kra. (SKM)	$\Delta = 62,5^\circ$. Traces eP	09 18 23	11.VIII		Nouvelles Hébrides, USCGS: 15,6°S, 167,0°E, H = = 19 ^h 52 ^m 28,4 ^s , h = = 23 km ca; M = 6 $\frac{1}{2}$ (Pasa- dena), 5,6 (USCGS)	
9.VIII	Kra. (SKM)	Traces eiP	23 51 30		Kra. (GW)	$\Delta = 136,4^\circ$ ePKP ePP eiPKS Lm	20 11 51 14 38 15 22 21 12 13
10.VIII		Local				NE: 21 ^s ; 16 μ , 8 μ	
	Kra. (SKM)	eP ei(S)	11 24 26 34		Rac. (SK)	$\Delta = 137,4^\circ$. Traces ePKP ePKS	20 11 59 15 31
11.VIII		Nouvelles Hébrides, USCGS: 15,5°S, 166,9°E, H = 03 ^h 40 ^m 54,7 ^s , h = 14 km ca; M = 7 (Pasadena, Berkeley), 6,3 (USCGS), MLH = 6,8 (Kraków)		11.VIII		Nouvelles Hébrides, USCGS: 15,7°S, 167,0°E, H = = 20 ^h 13 ^m 59,1 ^s , h = = 51 km ca; M = 6 $\frac{1}{2}$ (Berke- ley), 6,0 (USCGS)	
	Kra. (SKM) (GW)	$\Delta = 136,2^\circ$ ePKP ePP ePKS ePPP Lm	04 00 12 03 02 50 05 56 49 05		Kra. (SKM)	$\Delta = 136,4^\circ$ ePKP ePP ePKS	20 33 18 36 08 53
		N: 24 ^s ; 14 μ Lm E: 24 ^s ; 12 μ Lm NE: 28 ^s ; 24 μ , 22 μ	16 57 42	11.VIII		Nouvelles Hébrides, USCGS: 15,6°S, 166,8°E, H = = 20 ^h 55 ^m 10,3 ^s , h = = 20 km ca; M = 4,7 (USCGS)	
	Rac. (SK)	$\Delta = 137,2^\circ$ ePKP ePKS	04 00 25 04 02		Kra. (SKM)	$\Delta = 136,2^\circ$ ePKP ePKS	21 14 39 18 11
	(M)	eL Lm	39 58,5	11.VIII		Nouvelles Hébrides, USCGS: 15,8°S, 167,2°E, H = = 22 ^h 31 ^m 45,9 ^s , h = = 13 km ca; M = 7 $\frac{1}{2}$ -7 $\frac{3}{4}$ (Ber- keley), 7 $\frac{1}{4}$ -7 $\frac{1}{2}$ (Pasadena), 6,4 (USCGS), MLH = 7,0 (Kraków)	
		NE: 25 ^s ; 34 μ , 50 μ					
11.VIII		Golfe de l'Alaska, USCGS: 59,5°N, 146,1°W, H = = 18 ^h 29 ^m 38,2 ^s , h = = 16 km ca; M = 5,5 (USCGS)					
	Kra.	$\Delta = 69,5^\circ$					

Dates	Station	Phases	G.M.T. h m s	Dates	Station	Phases	G.M.T. h m s
11.VIII (suite)	Kra. (SKM)	$\Delta = 136,8$ ePKP i ePP	22 51 09 24 54 06	12.VIII	Rac. (SK)	$\Delta = 137,8^\circ$ ePKP ePKS	08 21 09 24 41
	(GW)	1PKS ePPP Lm	56 57 04 23 57 56	12.VIII		Région de la Nouvelle Bre- tagne, USCGS: 5,2°N, 152,1°E, H = 12 ^h 57 ^m 09,7 ^s , h = 42 km ca; M = 7 $\frac{1}{4}$ (Pa- lisades), 6 $\frac{1}{2}$ -6 $\frac{3}{4}$ (Pasade- na), 6-6 $\frac{1}{4}$ (Berkeley), MLH = 7,0 (Racibórz, Kra- ków)	
		NE: 17 ^s ; 23,5 μ , 13 μ			Kra. (SKM) (GW)	$\Delta = 119,8^\circ$ ePKP ePP ePPP eSKS Lm	13 15 58 17 26 20(02) 23(02) 14 08 47
	Rac. (SK) (M)	$\Delta = 137,6^\circ$ ePKP eiPKS eL	22 51 11 54 51 23 11		Rac. (M)	$\Delta = 121,1^\circ$ ePKP Lm	13 16 11 14 08,4
11.VIII		Traces e(P)	23 18 18			NE: 20 ^s ; 21 μ , 29 μ	
12.VIII		Région des Iles Tonga, USCGS: 23,3°S, 175,7°W, H = 01 ^h 25 ^m 01,9 ^s , h = = 45 km ca; M = 5,2 (USCGS)		12.VIII		Nouvelles Hébrides, USCGS: 15,9°S, 167,4°E, H = = 18 ^h 04 ^m 56,3 ^s , h = 47 km ca; M = 5,4 (Berkeley), 5,3 (USCGS)	
	Kra. (SKM)	$\Delta = 150,5^\circ$ ePKP ₁	01 44 50		Kra. (SKM)	$\Delta = 136,8^\circ$ ePKP ePP ePKS	18 24 16 27 05 52
12.VIII		Traces eP e	01 53 03 13	13.VIII		Proche eP ei(S)	01 21 17,8 28,7
12.VIII		Tanganyika, USCGS: 3,4°S, 29,4°E, H = 03 ^h 31 ^m 16 ^s , h = 33 km ca; M = 4,9 (USCGS)		13.VIII		Ile Mindanao, Philippines, USCGS: 13,6°N, 120,0°E, H = 02 ^h 13 ^m 14,0 ^s , h = = 36 km ca; M = 5,7 (USCGS)	
	Kra. (SKM)	$\Delta = 54,0^\circ$. Traces eP	03 40 37		Kra. (SKM)	$\Delta = 86,0^\circ$ eP epP	02 25 54 26 06
12.VIII		Nouvelles Hébrides, USCGS: 15,9°S, 167,4°E, H = = 08 ^h 01 ^m 43,5 ^s , h = = 26 km ca; M = 6 $\frac{3}{4}$ (Pasa- dena), 6,5 (Berkeley), 6,2 (USCGS), MLH = 6,7 (Kraków)		13.VIII		Nouvelles Hébrides, USCGS: 15,9°S, 167,3°E, H = = 04 ^h 40 ^m 55,3 ^s , h = 12 km ca; M = 5,7 (USCGS)	
	Kra. (SKM)	$\Delta = 137,0^\circ$ ePKP eiPP ePKS ePcSPKP ePKKS Lm	08 21 06 23 53 24 38 33 00 29 09 21 00		Kra.	$\Delta = 137,0^\circ$	
	(GW)	Lm	09 21 00			NE: 22 ^s ; 13,0 μ , 9,7 μ	

Dates	Station	Phases	G.M.T. h m s	Dates	Station	Phases	G.M.T. h m s
13.VIII (suite)	Kra. (SKM) (GW)	ePKP ePP ePKS eSKS	05 00 17 03(02) 52 07 20	13.VIII		= 17 ^h 56 ^m 26,7 ^s , h = = 33 km ca; M = 5 ^¼ -5 ^¾ (Berkeley), 5,4 (USCGS)	
13.VIII					Kra. (SKM)	$\Delta = 137,8^{\circ}$ ePKP ePP	18 16 00 18 40
					(Ch)	ePKS Lm	19 39 19 19 13
						NE: 20 ^s ; 4,6 μ , 5,0 μ	
				14.VIII		Nouvelles Hébrides, USCGS: 15,8 ^o S, 166,8 ^o E, H = = 11 ^h 07 ^m 46,8 ^s , h = = 33 km ca; M = 5,5-5,7 (Berkeley) 5,5 (USCGS)	
					Kra. (SKM)	$\Delta = 136,8^{\circ}$ ePKP ePP	11 44 15 46 57
13.VIII							
					Kra. (SKM)	$\Delta = 136,5^{\circ}$. Traces ePKP ePP	11 27 10 29 59
				14.VIII		Santa-Cruz, USCGS: 11,5 ^o S, 166,3 ^o E, H = 13 ^h 18 ^m 06,5 ^s , h = 51 km ca; M = 5,8 (USCGS)	
					Kra. (SKM)	$\Delta = 132,5^{\circ}$. Traces e(PKP) ePP	13 37 31 39 42
					(GW)	ePKS	40 46
				14.VIII		Région des Iles Tonga, USCGS: 22,9 ^o S, 175,5 ^o W, H = 14 ^h 13 ^m 50,5 ^s , h = = 33 km ca; M = 4,7 (USCGS)	
					Kra. (SKM)	$\Delta = 150,0^{\circ}$. Traces ePKP ₁ ePKP ₂	14 33 43 53
				15.VIII		Ile Luçon, Philippines, USCGS: 13,9 ^o N, 120,4 ^o E, H = = 04 ^h 44 ^m 20,4 ^s , h = = 18 km ca; M = 4,7 (USCGS)	
					Kra. (SKM)	$\Delta = 85,8^{\circ}$ eP	04 57 03
				6.VIII		Crête médiane de l'Atlanti- que Nord, USCGS: 35,3 ^o N, 35,6 ^o W, H = 04 ^h 36 ^m 35,5 ^s , h = 16 km ca; M = 4,7 (USCGS)	
					Kra. (SKM)	$\Delta = 42,0^{\circ}$ eP	04 44 30

Dates	Station	Phases	G.M.T. h m s	Dates	Station	Phases	G.M.T. h m s
16.VIII (suite)	Kra. (SKM)	ePP ePcP eS	04 46 14 28 50 54	17.VIII	Kra. (GW)	iS eSKS eScS ePS ePPS	56 41 57(00) 13 27 40
16.VIII						Rac. $\Delta = 78,0^{\circ}$. Traces (M) eS	10 56(57)
				17.VIII		Nord de Sumatra, USCGS: 5,3 ^o N, 96,2 ^o E, H = = 12 ^h 52 ^m 39 ^s , h = 53 km ca; M = 4,9 (USCGS)	
					Kra. (SKM)	$\Delta = 77,0^{\circ}$ eP epP iPcP	13 04 29 36 41
				17.VIII		Nouvelles Hébrides, USCGS: 15,2 ^o S, 166,6 ^o E, H = = 16 ^h 17 ^m 41,5 ^s , h = 19 km ca; M = 5,8 (USCGS)	
					Kra. (SKM)	$\Delta = 135,5^{\circ}$. Traces ePP ePKS	16 39 47 40 37
				17.VIII		Iles Tonga, USCGS: 16,9 ^o S, 173,4 ^o W, H = 22 ^h 07 ^m 43 ^s , h = 163 km ca; M = 4,0 (USCGS)	
					Kra. (SKM)	$\Delta = 145,0^{\circ}$. Traces ePKP ₁	22 27 06
				18.VIII		Région des Iles Tonga, USCGS: 23,3 ^o S, 175,5 ^o W, H = 14 ^h 14 ^m 35,4 ^s , h = = 76 km ca; M = 4,9 (USCGS)	
					Kra. (SKM)	$\Delta = 150,5^{\circ}$ ePKP ₁ ePKP ₂	14 34 21 41
				18.VIII		Région des Iles Tonga, USCGS: 23,2 ^o S, 175,5 ^o W, H = 14 ^h 25 ^m 26,0 ^s , h = = 63 km ca; M = 4,9 (USCGS)	
					Kra. (SKM)	$\Delta = 150,5^{\circ}$ ePKP ₁ ePKP ₂ ePKS ePP	14 45 13 26 48 43 55
				16.VIII		Crête médiane de l'Atlanti- tique, USCGS: 0,5 ^o S, 19,9 ^o W, H = 12 ^h 36 ^m 23,6 ^s , h = 35 km ca;	
					Rac. (SK)	$\Delta = 60,0^{\circ}$ eP eipP (M) eiS	12 46 29 C 41 54 43
					Kra. (SKM)	$\Delta = 60,5^{\circ}$ iP Pm	12 46 34 C 35
						Z: 1,5 ^s ; 0,37 μ	
						eipP ePPP (GW) eS	48 45 50 21 54 49
				16.VIII		Région des Iles Balleny, USCGS: 61,4 ^o S, 154,5 ^o E, H = 17 ^h 01 ^m 26 ^s , h = 33 km ca	
					Kra. (SKM)	$\Delta = 152,5^{\circ}$ ePKP ₂	17 21 31
				17.VIII		Iles Philippines, USCGS: 12,3 ^o N, 125,6 ^o E, H = = 07 ^h 36 ^m 10 ^s , h = 17 km ca	
					Kra. (SKM)	$\Delta = 90,3^{\circ}$ eP	07 49 12
				17.VIII		Nord Sumatra, USCGS: 5,3 ^o N, 96,2 ^o E, H = 10 ^h 35 ^m 04,4 ^s , h = 43 km ca; M = 5,4 (USCGS)	
					Kra. (SKM)	$\Delta = 77,0^{\circ}$ eiP ePcP	10 46 55 D 47 13

Dates	Station	Phases	G.M.T. h m s	Dates	Station	Phases	G.M.T. h m s
18.VIII	Région des Iles Tonga, USCGS: 23,3°S, 175,5°W, H = 14 ^h 38 ^m 39,1 ^s , h = 89 km ca; M = 4,6 (USCGS)	Kra. Δ = 150,5°. Traces (SKM) ePKP ₁ 14 58 30 epPKP ₂ 49		20.VIII	h = 327 km ca; M = 6 3/4 (Pasadena), 6,2 (USCGS) Kra. Δ = 106,6° (SKM) ePdif 06 08 28 C (GW) iPP 13 01 ePPP 15 09 eSKS 18 35 eS 19 53		
18.VIII	Région des Iles Nouvelles Hébrides, USCGS: 16,1°S, 166,9°E, H = 14 ^h 51 ^m 30,5 ^s , h = 11 km ca; M = 5,7 (USCGS), 5 3/4 - 6 (Pasadena)	Kra. Δ = 136,5° (SKM) ePKP 15 10 57 ePP 13 36 ePKS 14 28		20.VIII	Nord du Chili, USCGS: 18,9°S, 69,0°W, H = 09 ^h 42 ^m 48,7 ^s , h = 128 km ca; M = 6 1/2 (Pasadena), 6,2 (USCGS), 5,7 (Berkeley)		
18.VIII	Région des Iles Tonga, USCGS: 23,2°S, 175,5°W, H = 15 ^h 56 ^m 17 ^s , h = 93 km ca; M = 4,3 (USCGS)	Kra. Δ = 150,8°. Traces (SKM) ePKP ₁ 16 16 13 ePKP ₂ 20		20.VIII	Région des Iles Fidji, USCGS: 22,8°S, 176,2°W, H = 21 ^h 21 ^m 51,5 ^s , h = 79 km ca; M = 6-6 1/4 (Palisades), 6,1 (USCGS), 5 3/4 (Berkeley)		
19.VIII	Alpes de Vénétie, Italie BCIS: 46,3°N, 13,1°E, H = 19 ^h 14 ^m 28 ^s	Kra. Δ = 5,8° (SKM) ePg 19 16 23 eSn 17 13 eS* 27 eiSg 49		20.VIII	Région des Iles Fidji, USCGS: 22,8°S, 176,2°W, H = 21 ^h 21 ^m 51,5 ^s , h = 79 km ca; M = 6-6 1/4 (Palisades), 6,1 (USCGS), 5 3/4 (Berkeley)		
19.VIII	Réplique du précédent, BCIS: H = 19 ^h 41 ^m 58 ^s	Rac. Δ = 5,1°. Traces (SK) eSg 19 17 13 eL 17		20.VIII	Formose, USCGS: 23,9°N, 121,9°E, H = 22 ^h 09 ^m 25,2 ^s , h = 58 km ca; M = 4,9 (USCGS)		
19.VIII		Ryb. Δ = 5,1°. Traces (SK) eSg 19 17 16 eL 17		20.VIII	Kra. Δ = 79,0°. Traces (SKM) eiP 22 21 27		
20.VIII	Mer de Banda, USCGS: 5,7°S, 128,6°E, H = 05 ^h 54 ^m 50,5 ^s	Rac. Δ = 5,1°. Traces (SK) eSg 19 44 40 eL 45		21.VIII	Local? Kra. Traces (Ch) e 06 36 13,5		
				22.VIII	Local?		

Dates	Station	Phases	G.M.T. h m s	Dates	Station	Phases	G.M.T. h m s
22.VIII (suite)	Kra. (Ch)	Traces e(P)	01 38 06	23.VIII	Kra. (SKM)	Δ = 93,0° eP	19 59 17 C
22.VIII	Kra. (Ch)	Local eP	07 13 37		(GW)	eiPP 20 03 03 eiSKS 09 55 eSKKS 10 11 eS 24 eiL 36,4 Lm 43,0 NE: 18°S; 250μ, 230μ	
23.VIII		Nord-Ouest de la Turquie, BCIS: 40,2°N, 26,2°E, H = 14 ^h 08 ^m 57 ^s ; M = 5 3/4 (Uppsala), 5,6 (Moxa), 5,5 (Athènes)		23.VIII	Kra. (SKM)	Traces e	23 49 32
	Kra. (GW)	Δ = 10,8° ePn 14 11 36 ePP 47 ePPP 52 eiS 13 37 eSS 50 eiSSS 14 04 Lm 15 08 Z: 2,5°S; 0,9μ Lm 09 E: 2,5°S; 0,9μ Lm 10 N: 2,5°S; 0,9μ		24.VIII		Oaxaca, Mexique, USCGS: 16,0°N, 96,2°W, H = 00 ^h 56 ^m 21,3 ^s , h = 10 km ca; M = 5,5 (USCGS), 5 1/4 - 5 1/2 (Palisades)	
	Ryb. (SK)	Δ = 11,2° eP 14 11 42 eL 15			Kra. (SKM)	Δ = 93,4° eP 01 09 39 (GW) ePP 13 21 eSKS 20 14	
	Rac. (M)	Δ = 11,4° eP 14 11 38 eS 13 53 iL 15 06 Lm 15,8 NE: 1°S; 72μ, 80μ		24.VIII		Oaxaca, Mexique, USCGS: 16,1°N, 96,2°W, H = 01 ^h 01 ^m 01,0 ^s , h = 36 km ca; M = 5,5 (USCGS)	
23.VIII		Oaxaca, Mexique, USCGS: 16,3°N, 95,8°W, H = 19 ^h 46 ^m 01,8 ^s , h = 20 km ca; M = 7,6 (Berkeley), 7 1/4 (Pasadena, Palisades), 6,9 (USCGS), MLH = 7,8 (Racibórz, Kraków)			Kra. (SKM)	Δ = 93,3° eiP 01 14 15 epP 28 ePP 17 59	
	Rac. (SK)	Δ = 91,8° eP 19 59 13 (M) iSKS 20 09 40 eL 26 Lm 41,1 NEZ: 20°S; 250μ, 250μ, 500μ		24.VIII		Région des Iles Fidji, USCGS: 21,9°S, 177,2°W, H = 07 ^h 06 ^m 50,3 ^s , h = 291 km ca; M = 5,7 (USCGS), 4,7 (Berkeley)	
					Kra. (SKM)	Δ = 148,6° iPKP ₁ 07 26 04 D ePKP ₂ 13 eiPKS 29 16	
					Rac. (SK)	Δ = 149,5°. Traces ePKP ₁ 07 26 06	
				24.VIII		Local? Kra. (SKM) eiP 13 00 28	

Dates	Station	Phases	G.M.T. h m s	Dates	Station	Phases	G.M.T. h m s
24.VIII	Kra. (SKM)	Golfe de l'Alaska, USCGS: 59,4°N, 145,8°W, H = = 13 ^h 12 ^m 21,1 ^s , h = = 33 km ca; M = 5,3 (USCGS), 5,2 (Berkeley)		27.VIII	Kra. (SKM)	Traces e(P) e(S)	22 16 30 38
		$\Delta = 69,5^\circ$		29.VIII		Nouvelles Hébrides, USCGS: 15,7°S, 167,6°E, H = = 12 ^h 46 ^m 30,1 ^s , h = = 10 km ca; M = 6,0 (USCGS)	
		eP 13 23 32			Kra. (SKM)	$\Delta = 136,8^\circ$ ePKP 13 06 08	
		ePcP 49			(GW)	ePP 08 48	
25.VIII	Kra. (SKM)	Nord Ouest de la Turquie, USCGS: 40,3°N, 26,1°E, H = 23 ^h 57 ^m 33,9 ^s , h = = 18 km ca; M = 4,2 (USCGS)		29.VIII		Région des Iles Fidji, USCGS: 17,6°S, 179,1°W, H = 13 ^h 57 ^m 23,5 ^s , h = = 614 km ca; M = 5,6 (USCGS)	
		$\Delta = 10,6^\circ$			Kra. (SKM)	$\Delta = 143,6^\circ$ iPKP 14 15 52 C	
		eP 00 00 10				PKPm 52,5	
		ePP 24				Z: 0,7 ^s ; 0,07 μ	
		eS 02 19				ei 18 40	
25.VIII	Kra. (SKM)	Crète, BCIS: 35,1°N, 25,1°E, H = 04 ^h 57 ^m 56 ^s , h = 90 km ca; M = 4,6 (Athènes)		30.VIII		Nouvelles Hébrides, USCGS: 16,9°S, 167,4°E, H = = 03 ^h 32 ^m 01,5 ^s , h = = 10 km ca; M = 5,5 (USCGS), 5,3-5,5 (Berkeley)	
		$\Delta = 15,4^\circ$			Kra. (SKM)	$\Delta = 137,5^\circ$ ePKP 03 51 24	
		eP 05 01 29				e 32	
		eiPP 47			(GW)	ePP 54 18	
		eiPPP 52				ePKS 55 14	
		eiS 04 23				eSKS 58 30	
26.VIII	Kra. (SKM)	Local				eL 04 50	
		e(P) 19 12 10		30.VIII		Local	
		e(S) 18			Kra. (SKM)	Traces e(P) e(S)	05 02 46 52
27.VIII	Kra. (SKM)	Caucase, USCGS: 40,1°N, 49,2°E, H = 04 ^h 23 ^m 24 ^s , h = 43 km ca; M = 4,5 (USCGS)		31.VIII		Italie centrale, BCIS: 44 ^h 4 ^m N, 11 ^h 3 ^m E, H = 01 ^h 48 ^m 15 ^s	
		$\Delta = 22,5^\circ$			Kra. (SKM)	$\Delta = 8,0^\circ$ ePP 01 50 24	
		eP 04 28 31				eSn 51 54	
		ePP 53			(GW)	eS* 52 16	
27.VIII	Kra. (SKM)	Iles Kouriles, USCGS: 44,6°N, 149,1°E, H = = 18 ^h 22 ^m 07,0 ^s , h = = 75 km ca; M = 5,4 (USCGS)				eSg 38	
		$\Delta = 75,0^\circ$					
		iP 18 33 48 C					
		eiPcP 57					
	(GW)	eS 43 23					
27.VIII		Local					

Dates	Station	Phases	G.M.T. h m s	Dates	Station	Phases	G.M.T. h m s
31.VIII	Kra. (SKM)	Province de Bingol, Tur- quie orientale, USCGS: 39,3°N, 41,2°E, H = = 05 ^h 57 ^m 04,4 ^s , h = = 33 km ca; M = 4,5 (USCGS)		31.VIII	Kra. (SKM)	Lm N: 11 ^s ; 9,0 μ Lm Z: 10 ^s ; 8,0 μ	07 43 32 44 55
		$\Delta = 18,4^\circ$. Traces			Ryb. (SK)	$\Delta = 19,3^\circ$ eP 07 34 12	
		eP 06 01 17				ePP 28	
		ePP 33			Rac. (M)	$\Delta = 19,5^\circ$ eiP 07 34 14	
31.VIII	Kra. (SKM)	Province de Bingol, Tur- quie orientale, BCIS: 39,2°N, 41,1°E, H = = 07 ^h 29 ^m 47 ^s , h = = 40 km ca; MLH = 5,3 (Kraków)				eS 37(58)	
		$\Delta = 18,4^\circ$		31.VIII	Kra. (SKM)	e 08 00 26,6	
		eiP 07 33 59 D					
		Pm 34 03		31.VIII		Japon, USCGS: 43,4°N, 144,5°E, H = 08 ^h 04 ^m 33 ^s , h = 19 km ca; M = 4,8 (USCGS)	
		NEZ: 1,7 ^s ; 0,26 μ , 0,32 μ , 0,46 μ			Kra. (SKM)	$\Delta = 74,7^\circ$ eP 08 16 17	
		ePP 15		31.VIII		Crète médiane de l'Atlan- tique, USCGS: 0,8°N, 27,8°W, H = 09 ^h 12 ^m 00,2 ^s , h = 33 km ca; M = 5,1 (USCGS)	
		ePPP 29			Kra. (SKM)	$\Delta = 63,7^\circ$ eP 09 22 30	
		eS 37 21					
		eSS 45					
		eSSS 59					
		ePcP 38 37					
		Lm 43 30					
		E: 10 ^s ; 9,0 μ					
1965				1965			
1.IX	Kra. (SKM)	Mer d'Okhock, USCGS: 51,3°N, 150,7°E, H = = 04 ^h 29 ^m 20,6 ^s , h = = 519 km ca; M = 5,1 (USCGS)		1.IX	Kra. (SKM)	$\Delta = 158,0^\circ$ ePKP ₁ 05 07 19	
		$\Delta = 70,3^\circ$					
		iP 04 39 45 D		1.IX		Nouvelles Hébrides, USCGS: 14,5°S, 167,4°E, H = = 06 ^h 38 ^m 36,2 ^s , h = = 190 km ca; M = 5,6 (USCGS), 4,7-5 (Berkeley)	
		Pm 46			Kra. (SKM)	$\Delta = 135,5^\circ$ ePKP 06 57 36 C	
		Z: 1,2 ^s ; 0,13 μ				ePP 07 00 17	
		eiPcP 55		1.IX	Kra. (SKM)	Traces e 18 01 53	
		ePP 41 36					
	Rac. (SK)	$\Delta = 70,6^\circ$. Traces eP 04 39 48		1.IX		Iles Tonga, USCGS: 20,3°S, 173,6°W, H = 20 ^h 07 ^m 26,5 ^s , h = 63 km ca; M = 5,0 (USCGS)	
1.IX		Région des Iles Kermadec, USCGS: 34,5°S, 179,7°E, H = 04 ^h 47 ^m 35,0 ^s , h = = 107 km ca; M = 6,2 (Ber- keley), 5,7 (USCGS)					

Dates	Station	Phases	G.M.T. h m s	Dates	Station	Phases	G.M.T. h m s
1.IX (suite)	Kra. (SKM)	$\Delta = 148,5^\circ$ ePKP ₁ ePKP ₂	20 27 08 27	4.IX		= 23 km ca; M = 5,5 (USCGS), MLH = 5,7 (Kraków)	
2.IX		Région des Iles Fidji, USCGS: 18,2°S, 177,9°W, H = 23 ^h 52 ^m 34,7 ^s , h = = 609 km ca; M = 4,3 (USCGS)		Kra. (SKM) (GW)		$\Delta = 75,0^\circ$ eP eS ePPS eL Lm E: 20 ^s ; 3,5 μ Lm N: 22 ^s ; 3,4 μ	10 31 35 C 41 18 42 00 57 11 02 26 38
2.IX	Kra. (SKM)	$\Delta = 145,0^\circ$. Traces ePKP ₁ ePKP ₂	00 11 05 C 10	4.IX		Région de Ile Kodiak, USCGS: 58,2°N, 152,7°W, H = 14 ^h 32 ^m 46,7 ^s , h = = 10 km ca; M = 6 ³ / ₄ -7 (Pa- sadena, Palisades), 6,2 (USCGS), MLH = 6,9 (Raci- bórz, Kraków)	
2.IX	Rac. (SK)	$\Delta = 76,0^\circ$. Traces eP	04 38 23	Rac. (M)		$\Delta = 71,0^\circ$ eiP ePcP i(S) NE: 4 ^s ; 6,8 μ , 18,4 μ eSKS eL Lm NEZ: 25 ^s , 20 ^s , 20 ^s ; 88 μ , 15 μ , 83 μ	14 44 10 C 29 53 38 54 09 15 02 14,5
2.IX	Kra. (GW)	$\Delta = 75,5^\circ$ eiP eS ePPS	04 38 26 48 06 53	Kra. (SKM)		$\Delta = 71,5^\circ$ iP ei ePcP ePP eS Lm NE: 21 ^s ; 78 μ , 27 μ	14 44 12 C 19 39 46 57 53 32 15 15 13
2.IX	Kra. (SKM)	Traces e	13 09 35	5.IX		Région des Iles Samoa, USCGS: 16,9°S, 172,2°W, H = 23 ^h 20 ^m 41,1 ^s , h = = 33 km ca; M = 4,6 (USCGS)	
3.IX		Proche		Kra. (SKM)		$\Delta = 145,4^\circ$ ePKP ₁	23 40 19
3.IX	Kra. (SKM)	eiP ei ei(S)	12 59 25,0 32,5 44,0	6.IX		Région de Formose, USCGS: 21,3°N, 121,4°E, H = = 03 ^h 18 ^m 40,0 ^s , h = = 46 km ca; M = 5,1 (USCGS)	
3.IX	Ryb. (SK)	Traces e e	12 59 37 43				
4.IX		Iles aux Renards, Aléou- tiennes, USCGS: 52,0°N, 170,4°W, H = 07 ^h 48 ^m 43,9 ^s , h = 28 km ca; M = 5,3 (USCGS)					
4.IX	Kra. (SKM)	$\Delta = 77,5^\circ$ eP ePcP	08 00 40 52				
4.IX		Iles Kouriles, USCGS: 46,7°N, 153,4°E, H = = 10 ^h 19 ^m 50,5 ^s , h =					

Dates	Station	Phases	G.M.T. h m s	Dates	Station	Phases	G.M.T. h m s
6.IX (suite)	Kra. (SKM) (GW)	$\Delta = 80,7^\circ$ eP eL	03 30 52 C 04 02,5	9.IX	Kra. (SKM) (GW)	$\Delta = 74,5^\circ$ eP eiPcP eL	04 51 23 30 05 22,5
7.IX		Région des Iles Volcano, USCGS: 24,3°N, 142,6°E, H = 06 ^h 57 ^m 25,8 ^s , h = = 25 km ca; M = 5,2 (USCGS)		9.IX		Au large des côtes de l'Amérique Centrale, USCGS: 6,5°N, 84,4°W, H = 10 ^h 02 ^m 25,1 ^s , h = = 22 km ca; M = 5,6 (USCGS), 6 ³ / ₄ (Pasadena)	
7.IX	Kra. (SKM) (GW)	$\Delta = 90,0^\circ$ iP ePP eSKKS eS eL	07 10 26 C 13 56 21 10 14 42	Kra. (GW)		$\Delta = 94,0^\circ$ eP ePP eSKS ePS Lm E: 18 ^s ; 3,3 μ Lm N: 17 ^s ; 2,4 μ	10 15 44 19 38 26 22 28 16 10 59 57 11 00 02
7.IX	Kra. (SKM)	e	08 43 28	9.IX	Kra. (SKM)	ei (P) ei	14 00 24 D 43
8.IX		Région de l'Ile Kodiak, USCGS: 57,5°N, 152,2°W, H = 03 ^h 26 ^m 20,8 ^s , h = = 25 km ca; M = 5,6 (USCGS), 5 ¹ / ₄ -5 ¹ / ₂ (Palisades)		9.IX	Kra. (SKM)	Traces e	16 50 26
8.IX	Kra. (SKM) (GW)	$\Delta = 72,5^\circ$ eiP iPcP eS ePS eSKS	03 37 47 D 38 03 47 10 33 56	9.IX		Région des Iles Kouriles, USCGS: 47,0°N, 146,1°E, H = 17 ^h 40 ^m 53,5 ^s , h = = 600 km ca; M = 4,6 (USCGS)	
8.IX		Sud de l'Alaska, USCGS: 55,8°N, 155,3°W, H = = 11 ^h 16 ^m 32,0 ^s , h = = 14 km ca; M = 5,5 (USCGS)		Kra. (SKM)		$\Delta = 72,0^\circ$. Traces iP	17 51 22 C
8.IX	Kra. (SKM) (GW)	$\Delta = 73,6^\circ$ eP ePcP eS eSKS	11 28 12 C 27 37 39 38 10	10.IX		Ile Luçon, Philippines, USCGS: 14,0°N, 120,9°E, H = 02 ^h 53 ^m 26,1 ^s , h = = 149 km ca	
8.IX		Local		Kra. (SKM)		$\Delta = 86,0^\circ$ eiP	03 05 53 C
9.IX	Kra. (SKM)	eP i	13 44 55,0 57,4	10.IX		Hokkaido, Japon, USCGS: 42,9°N, 143,4°E, H = = 15 ^h 01 ^m 55,6 ^s , h = = 114 km ca; M = 5,2 (USCGS)	
9.IX		Région de Hokkaido, Japon, USCGS: 43,5°N, 144,2°E, H = 04 ^h 39 ^m 45,0 ^s , h = = 42 km ca; M = 5,0 (USCGS)					

- 94 -

Dates	Station	Phases	G.M.T. h m s	Dates	Station	Phases	G.M.T. h m s
10.IX (suite)	Kra. (SKM)	$\Delta = 74,5^\circ$ eIP ePcP	15 13 28 C 38	12.IX	Kra. (SKM)	$\Delta = 120,5^\circ$ eiPKP ePP ePKS eSKS eSKKS eiPKKP ePS Lm	08 59 02 D 09 00 36 02 44 06 10 07 25 09 07 10 14 53 50
10.IX		Nevada, USA; USCGS: 37°04'40,7"N, 113°01'00,2"W, H = 17 ^h 12 ^m 00,025 ^s				NE: 19 ^s ; 5 μ , 3 μ	
	Kra. (SKM)	$\Delta = 84,5^\circ$. Traces eIP	17 24 38 C		Rac. (SK)	$\Delta = 121,7^\circ$. Traces ePKP	08 59 05
10.IX		Près de la côte E de Hondo, Japon, USCGS: 37,4°E, 141,1°W, H = 19 ^h 25 ^m 52,0 ^s , h = 68 km ca; M = 5,3 (USCGS)		12.IX		Région des Iles Chagos, USCGS: 6,5°S, 70,8°E, H = = 22 ^h 02 ^m 34,3 ^s , h = = 34 km ca; M = 6,2 (USCGS), MLH = 5,8 (Kraków)	
	Kra. (SKM)	$\Delta = 78,0^\circ$ iP epP	19 37 49 D 38 06		Kra. (SKM)	$\Delta = 71,5^\circ$ eiP Pm	22 13 52 D 53
11.IX		Nouvelle Bretagne, USCGS: 5,4°S, 153,0°E, H = = 06 ^h 52 ^m 59,5 ^s , h = = 50 km ca; M = 6,5 (USCGS), 6¼ (Pasadena), MLH = 6,5 (Kraków)				Z: 1,8 ^s ; 0,23 μ	
	Kra. (GW)	$\Delta = 120,5^\circ$ ePKP ePP ePPP eSKS eL Lm	07 11 49 13 25 15 43 18 59 54,0 08 07 13		(GW)	ePP eiS eSKS ePPS Lm	16 38 23 07 50 58 48 02
		NE: 20 ^s ; 9,1 μ , 5,8 μ				N: 15 ^s ; 2 μ E: 18 ^s ; 5 μ	09
12.IX		Apennin Toscan, BCIS: 44,4°N, 9,7°E, H = = 05 ^h 12 ^m 02 ^s ; M = 3,2 (Pru- honice)			Rac. (SK)	$\Delta = 72,5^\circ$. Traces eP	22 13/57/
	Kra. (SKM)	$\Delta = 8,9^\circ$ eSS eSg	05 16 15 52	13.IX		Région des Iles du Comman- deur, USCGS: 55,3°N, 165,7°E, H = 13 ^h 07 ^m 48,1 ^s , h = 23 km ca; M = 5,5 (USCGS), MLH = 5,8 (Kraków)	
	Rac. (SK)	Traces eL	05 16		Kra. (GW)	$\Delta = 70,5^\circ$ eP ePcP ePP eS eSKS eScS Lm	13 19 07 22 21 40 28 23 29 06 11 49 38
12.IX		Nouvelle Bretagne, USCGS: 6,4°S, 151,6°E, H = = 08 ^h 40 ^m 10,6 ^s , h = = 29 km ca; M = 6½-6¾ (Pasadena, Palisades), 6,3 (USCGS), MLH = 6,2 (Kraków)				N: 18 ^s ; 2,7 μ	

- 95 -

Dates	Station	Phases	G.M.T. h m s	Dates	Station	Phases	G.M.T. h m s
13.IX (suite)	Kra. (GW)	Lm	13 49 45	16.IX		Au large des côtes Califor- niennes USCGS: 40,4°N, 125,7°W, H = 04 ^h 10 ^m 22,8 ^s , h = 33 km ca; M = 5,6 (USCGS), 5 (Berkeley), 4¾-5 (Palisades)	
	Rac. (SK)	$\Delta = 71,0^\circ$ eP	E: 18 ^s ; 4,7 μ 13 19 10		Kra. (SKM)	$\Delta = 84,5^\circ$ eiP ePcP	04 22 57 D 23 07
13.IX		Région de Chili, USCGS: 36,6°S, 97,5°W, H = = 16 ^h 15 ^m 44,1 ^s , h = = 35 km ca; M = 5¾-6 (Pa- lisades), 5,4 (USCGS)		16.IX		Local	
	Kra. (SKM)	$\Delta = 133,8^\circ$. Traces ePKP ePP	16 35 13 37 37		Kra. (SKM)	ei (P) i	13 08 34 36
14.IX		Mindanao, Philippines, USCGS: 8,4°N, 127,0°E, H = 08 ^h 27 ^m 18,3 ^s , h = = 56 km ca; M = 5,8 (USCGS), 5¼ (Palisades)		16.IX		Mindanao, Philippines, USCGS: 7,1°N, 126,6°E, H = 13 ^h 50 ^m 12,4 ^s , h = = 183 km ca; M = 6,0 (USCGS)	
	Kra. (GW)	$\Delta = 94,0^\circ$ eP ePP eSKS eS eScS	08 40 33 44 27 51 07 42 47		Kra. (SKM)	$\Delta = 95,0^\circ$ iP iPP (GW) eS	14 03 16 C 07 10 14 15
14.IX		Près de la côte E de Hondo, Japon USCGS: 35,4°N, 140,8°E, H = 09 ^h 00 ^m 47,8 ^s , h = 62 km ca; M = 4,6 (USCGS)			Rac. (SK)	$\Delta = 96,1^\circ$ eP ePP	14 03 22 07 12
	Kra. (SKM)	$\Delta = 79,8^\circ$ eP	09 12 54 D	17.IX		Kazakstan, région de Semi- palatinsk, URSS; USCGS: 49,8°N, 78,1°E, H = = 03 ^h 59 ^m 51,4 ^s , h = 0; M = 5,6 (USCGS)	
14.IX		Formose, USCGS: 25,5°N, 124,8°E, H = 22 ^h 48 ^m 20,3 ^s , h = 128 km ca; M = 5,1 (USCGS)			Kra. (SKM)	$\Delta = 36,5^\circ$. Traces eiP	04 07 08
	Kra. (SKM)	$\Delta = 79,5^\circ$. Traces eP	23 00 16 C	17.IX		Equateur, USCGS: 1,5°S, 77,7°W, H = 11 ^h 13 ^m 56,4 ^s , h = 191 km ca; M = 6,2 (USCGS), 6½ (Pasadena), 5-6 (Berkeley)	
16.IX		Roumanie, USCGS: 46,1°N, 27,1°E, H = 00 ^h 40 ^m 12 ^s , h = 45 km ca; M = 4,2 (USCGS)			Rac. (SK)	$\Delta = 94,9^\circ$ eP eSKS	11 27 00 37 10
	Kra. (SKM)	$\Delta = 6,2^\circ$ eiP i ePP	00 41 44,2 C 45,3 52,0		Kra. (SKM) (GW)	$\Delta = 96,0^\circ$ iP ePP eiSKS SKSm	11 27 05 C 31 00 37 25 29

Dates	Station	Phases	G.M.T. h m s	Dates	Station	Phases	G.M.T. h m s
17.IX (suite)	Kra. (GW)	NE: 7 ^S ; 2,6μ, 2,5μ eiS	11 38 05	17.IX	Kra. (SKM)	Δ = 79,3° eP eiPcP ePP eScS Lm	15 30 41 C 52 33 43 41 03 16 09 49
17.IX		Près de la côte E de Hondo, Japon, USCGS: 36,4°N, 141,3°E, H = 12 ^h 59 ^m 18,1 ^s , h = 59 km ca; M = 5,2 (USCGS)				NE: 15 ^S ; 29μ, 25μ	
	Kra. (SKM)	Δ = 79,0° eiP eiPcP	13 11 21 C 32	17.IX	Rac. (SK)	Δ = 80,0°. Traces eP	15 30 45
	(GW)	eS Lm	21 30 50 30			Près de la côte E de Hondo, Japon, USCGS: 36,3°N, 141,3°E, H = 16 ^h 21 ^m 19,3 ^s , h = 40 km ca; M = 6 ³ / ₄ (Pa- sadena), 6,5 (Berkeley), MLH = 7,0 (Racibórz), 7,2 (Kraków), MPV = 6,3 (Kraków)	
	Rac. (SK)	Δ = 79,5°. Traces eP	13 11 26		Kra. (SKM)	Δ = 79,2° iP Pm	16 33 24 C 26
17.IX		Près de la côte E de Hondo, Japon, USCGS: 36,5°N, 141,4°E, H = 13 ^h 20 ^m 56,7 ^s , h = 35 km ca; M = 5,4 (USCGS)			(GW)	NEZ: 1,7 ^S ; 0,2μ, 0,5μ, 1,37μ	
	Kra. (SKM)	Δ = 79,0° eiP eiPcP ePP eSKS Lm	13 33 03 C 14 36 04 43 14 14 12 12			iPcP ipP iPP eiS iSKS eScS eL Lm	32 34 36 26 43 22 32 42 17 04 08 12 30
		NE: 15 ^S ; 21μ, 18μ					
17.IX		Près de la côte E de Hondo, Japon, USCGS: 36,3°N, 141,4°E, H = 14 ^h 22 ^m 37,7 ^s , h = 36 km ca; M = 5,6 (USCGS), MLH = 6,1 (Kraków)			Rac. (M)	Δ = 80,0° eP epP ePP eS ei eL Lm	16 33 28 41 36 30 43 32 (58) 17 00 12,5
	Kra. (SKM)	Δ = 79,3° eiP eiPcP ePP eS Lm	14 34 44 55 37 45 44 41 15 13 43			NEZ: 16 ^S ; 42μ, 44μ, 50μ	
		NE: 15 ^S ; 7μ, 27μ					
	Rac. (SK)	Δ = 79,8°. Traces eP	14 34 49	17.IX		Près de la côte E de Hondo, Japon USCGS: 36,4°N, 141,3°E, H = 20 ^h 42 ^m 37,7 ^s , h = 41 km ca; M = 4,9 (USCGS)	
17.IX		Près de la côte E de Hondo, Japon, USCGS: 36,4°N, 141,4°E, H = 15 ^h 18 ^m 35,2 ^s , h = 32 km ca; M = 5,5 (USCGS)			Kra. (SKM)	Δ = 79,2° eP ePcP	20 54 42 53

Dates	Station	Phases	G.M.T. h m s	Dates	Station	Phases	G.M.T. h m s
18.IX		Golfe de l'Alaska, USCGS: 59,4°N, 145,2°W, H = 20 ^h 46 ^m 36,5 ^s , h = 5 km ca; M = 6 (Palisades), 5,3 (USCGS)		19.IX	Kra. (SKM)	Δ = 8,0° eiPg eSS eS* iSg	08 13 20 14 31 44 15 03
	Kra. (SKM)	Δ = 69,7° eP eS	20 57 52 21 07 00		Ryb. (SK)	Δ = 7,4° eSn eL	08 14 00 14,5
	(GW)	ePS ePPS eSKS	20 36 52	19.IX		Sud de Sumatra, USCGS: 0,8°S, 99,8°E, H = 08 ^h 47 ^m 42,8 ^s , h = = 35 km ca; M = 5,5 (USCGS)	
18.IX		Mindanao, Philippines, USCGS: 8,3°N, 126,9°E, H = 22 ^h 03 ^m 15,4 ^s , h = = 56 km ca; M = 5,8 (USCGS)			Kra. (SKM)	Δ = 84,0° eiP iPcP	09 00 12 C 19
	Kra. (SKM)	Δ = 94,4° eP eSKS	22 16 32 27 00	20.IX		Région des Iles Tonga, USCGS: 22,7°S, 175,1°W, H = 03 ^h 43 ^m 35,8 ^s , h = 31 km ca; M = 5,1 (USCGS)	
	(GW)	eSKKS eS eScS	19 33 44		Kra. (SKM)	Δ = 150,0° ePKP ₂	04 03 26
19.IX		Iles Tonga, USCGS: 20,8°S, 175,5°W, H = 01 ^h 16 ^m 50 ^s , h = 74 km ca; M = 4,3 (USCGS)		20.IX		Iran, BCIS: 31,1°N, 50,3°E, H = 23 ^h 23 ^m 25 ^s , M = 4½ (Moskva)	
	Kra. (SKM)	Δ = 148,0° ePKP ₁	01 36 31		Kra. (SKM)	Δ = 29,2°. Traces eP	23 29 29
19.IX		Région des Iles Tonga, USCGS: 22,3°S, 174,8°W, H = 01 ^h 26 ^m 50,1 ^s , h = = 13 km ca; M = 5,5 (USCGS)		21.IX		Est de la Mer de Chine, USCGS: 29,0°N, 128,1°E, H = 01 ^h 38 ^m 30,5 ^s , h = = 199 km ca; M = 6¼ (Pa- sadena), 6,1 (USCGS)	
	Kra. (SKM)	Δ = 150,0° ePKP ₁ i	01 46 41 C 45		Kra. (SKM)	Δ = 78,6° iP eiPcP eipP e1SKS ePS	01 50 13 D 20 51 08 02 00 00 54
19.IX		Forêt Noire, Suisse, BCIS: 47°50'N, 8°18'E, H = 08 ^h 10 ^m 43 ^s , M = 4,1 (Bensberg), 3,9 (Pruhonic)			Rac. (M)	Δ = 79,3° eP epP eS eL	01 50 20 51 10 02 00 18
	Rac. (SK)	Δ = 7,0° eP* ePg eSn iL Lm	08 12 47 13 02 49 14 25 14,8	21.IX		Atlantique du Nord, USCGS: 40,6°N, 49,9°W, H = 03 ^h 26 ^m 37,0 ^s , h = 23 km ca; M = = 5,4 (USCGS)	
		NE: 1 ^S ; 1,4μ, 2μ					

- 100 -

Dates	Station	Phases	G.M.T. h m s	Dates	Station	Phases	G.M.T. h m s
29.IX	Kra. (SKM)	Traces eP e	20 48 50 56	30.IX	Golfe de l'Alaska, USCGS: 59,7°N, 143,4°W, H = 23 ^h 47 ^m 39,9 ^s , h = 12 km ca; M = 5,0 (USCGS)		
29.IX		Atlantique SE du Groen- land, BCIS: 54 ³ / ₄ °N, 36 ¹ / ₂ °W, H = 23 ^h 19,8 ^m		Kra. (GW)	Δ = 69,5° eP iPcP ePP eS ePS ePPS eSKS		23 59 00 09 00 01 27 08 07 27 45 55
	Kra. (SKM) (GW)	Δ = 32,3° eP ePP	23 26 47 27 51				
30.IX	Kra. (SKM)	Traces eP	01 06 15				

1965

O C T O B R E

1965

1.X		Iles aux Rats, Aléoutien- nes, USCGS: 50,1°N, 178,2°E, H = 08 ^h 52 ^m 04,4 ^s , h = 23 km ca; M = 6 ¹ / ₂ - 6 ³ / ₄ (Palisades), 6,4 (Ber- keley), 6,3 (USCGS), MLH = 6,1 (Kraków)		1.X	Rac. (SK)	Δ = 144,5° iPKP ₁	13 41 05 C
	Kra. (SKM) (GW)	Δ = 78,0° iP eiPP eS eSKS eScS ePS ePPS LM NE: 15 ^s , 16 ^s ; 8μ, 5μ	09 04 06 D 07 07 13 59 14 16 21 46 55 43 43	1.X		Région des Iles Sandwich, USCGS: 60,6°S, 24,8°W, H = = 22 ^h 34 ^m 25,1 ^s , h = 33 km ca; M = 5,9 (USCGS)	
	Rac. (SK) (M)	Δ = 78,0° eP ePP eL	09 04 08 07 10 35		Kra. (SKM)	Δ = 116,3°. Traces ePKP ePP	22 53 07 54 09
1.X		Région des Iles Nouvelles Hébrides, USCGS: 19,9°S, 174,5°E, H = 13 ^h 22 ^m 28,4 ^s , h = 546 km ca; M = 6,2 (USCGS), 5,9 (Berkeley)		2.X		Local	
	Kra. (SKM) (GW)	Δ = 143,5° iPKP ₁ ePP ePKS	13 40 59 44 27 38		Kra. (Ch)	eiP e	12 14 17 19
				3.X		Chaîne Indo-Atlantique, USCGS: 38,1°S, 48,5°E, H = = 05 ^h 12 ^m 21,8 ^s , h = 18 km ca; M = 5,4 (USCGS)	
					Kra. (Ch)	Δ = 92,0° eP	05 25 30
				3.X		Iles Kouriles, USCGS: 49,5°N, 156,7°E, H = 14 ^h 45 ^m 31,4 ^s , h = 69 km ca; M = 6 (Pasadena), 5,9 (USCGS), 5,6 (Berkeley), 5 ³ / ₄ (Palisades)	
					Kra. (Ch) (GW)	Δ = 73,8° iP ePcP	14 57 02 C 19

- 101 -

Dates	Station	Phases	G.M.T. h m s	Dates	Station	Phases	G.M.T. h m s
3.X (suite)	Kra. (GW)	ePP eiS ePS eL	14 59 43 15 06 34 07 02 16,5	7.X	Kra. (Ch)	Δ = 150,0°. Traces ePKP ₁ ePKP ₂	01 28 53 29 05
	Rac. (SK)	Δ = 74,2° iP Z: 1,0 ^s ; 2,2μ	14 57 05 C	7.X		Mer de Chine, USCGS: 12,5°N, 114,5°E, H = 03 ^h 35 ^m 59,8 ^s , h = 17 km ca.	
3.X		Au large des côtes de la partie Sud du Chili, USCGS: 42,9°S, 75,2°W, H = 16 ^h 14 ^m 56,3 ^s , h = 31 km ca; M = 6 ¹ / ₂ (Pasadena), 6,1 (USCGS), 6-6,5 (Berkeley), MLH = 6,2 (Kraków)			Kra. (Ch)	Δ = 83,3° eiP ePcP ePP eS eL	03 48 29 34 51 44 58 49 04 19
	Kra. (Ch)	Δ = 124,0° ePKP ePP	16 33 53 35 40		Rac. (SK)	Δ = 84,3° eP	03 48 36
	(GW)	eSKKS eL Lm NE: 20 ^s ; 3μ, 5μ	42 38 17 24 29,0	7.X		Région des Iles Fidji, USCGS: 24,5°S, 179,2°W, H = 06 ^h 58 ^m 11,2 ^s , h = = 378 km ca; M = 4,8 (USCGS)	
4.X		Formose, USCGS: 23,7°N, 121,4°E, H = 01 ^h 26 ^m 03,3 ^s , h = 51 km ca; M = 4,6 (USCGS)			Kra. (SKM)	Δ = 150,0°. Traces ePKP ₁ ePKP ₂	07 17 20 27
	Kra. (Ch)	Δ = 79,0° iP ePcP	01 38 05 13	8.X		Kazakstan, région de Se- mipalatinsk, URSS; USCGS: 49,7°N, 78,0°E, H = 06 ^h 00 ^m 00 ^s ; M = 5,7 (USCGS), 5 ¹ / ₂ (Uppsala)	
4.X		Au large des côtes de l'Orégon, USCGS: 44,0°N, 128,5°W, H = 04 ^h 12 ^m 44,9 ^s , h = 12 km ca; M = 5,5 (Berkeley), 5 ¹ / ₄ (Pali- sades), 5,1 (USCGS)			Kra. (SKM)	Δ = 36,2° iP	06 07 08 C
	Kra. (Ch)	Δ = 81,8° eP ePcP	04 25 06 15	8.X		Sud des Iles Fidji, USCGS: 25,7°S, 176,6°W, H = 21 ^h 59 ^m 45,9 ^s , h = 33 km ca; M = 5,6 (USCGS)	
					Kra. (SKM)	Δ = 152,5° ePKP ₁ ePKP ₂	22 19 39 51
4.X				12.X		Région de l'île Kodiak, USCGS: 56,1°N, 153,6°W, H = 13 ^h 40 ^m 59,4 ^s , h = 29 km ca; 6-6 ¹ / ₄ (Palisades), 5,5 (USCGS), 5,2 (Ber- keley)	
	Kra. (SKM)	Traces e e	22 13 05,5 09,3		Kra. (SKM) (GW)	Δ = 73,0° eP eiPcP ePP	13 52 27 43 55 08
7.X		Iles Tonga, USCGS: 21,6°S, 174,5°W, H = 01 ^h 09 ^m 09,1 ^s , h = 66 km ca; M = 5,1 (USCGS)					

- 102 -

Dates	Station	Phases	G.M.T. h m s	Dates	Station	Phases	G.M.T. h m s
12.X (suite)	Kra. (GW)	ePS ePPS eL	14 02 28 40 08	17.X	Rac. (SK)	$\Delta = 144,2^\circ$. Traces ePKP ₁	04 14 46
	Rac. (SK)	$\Delta = 73,3^\circ$. Traces eP	13 52 29	17.X		Turquie, BCIS: $38\frac{1}{2}^\circ N$, $38\frac{1}{2}^\circ E$, H = $11^h 23,1^m$	
12.X	Proche	Traces		Kra. (Ch)	$\Delta = 17,4^\circ$. Traces eP		11 27 10
	Rac. (SK)	e	13 58 16	18.X		Halmaheira, USCGS: $1,2^\circ S$, $127,9^\circ E$, H = $21^h 50^m 05,5^s$, h = 33 km ca; M = $6\frac{3}{4}$	
	Kra. (Ch)	Traces ei ei	13 58 26 46		(Pasadena), 5,9 (USCGS), MLH = 6,2 (Kraków)		
15.X		Région des Iles Andaman, USCGS: $14,3^\circ N$, $93,7^\circ E$, H = = $14^h 18^m 39,0^s$, h = 28 km ca; M = 5,3 (USCGS)		Kra. (Ch)	$\Delta = 102,2^\circ$ ePP ePPP eSKS Lm N: 18^S , 6μ Lm E: 15^S , 4μ		22 08 16 10 38 21,5 56 45 50
	Kra. (Ch)	$\Delta = 68,7^\circ$ eiP	14 29 42 D	19.X	Proche		
16.X		Région des Iles du Com- mandeur, USCGS: $56,1^\circ N$, $164,6^\circ E$, H = $20^h 01^m 52,9^s$, h = 41 km ca; M = 5,4 (USCGS)		Kra. (SKM)	eiP i		08 31 49 32 07
	Kra. (Ch)	$\Delta = 69,5^\circ$ eP epP ePcP ePP	20 13 04 C 14 21 15 38	19.X		Iles Proches, Aléoutien- nes, USCGS: $52,3^\circ N$, $174,4^\circ E$, H = $20^h 48^m 47,6^s$, h = 50 km ca; M = $5\frac{3}{4}$ -6 (Palli- sades), 5,6 (USCGS), 5-5,3 (Berkeley)	
	Rac. (SK)	$\Delta = 70,3^\circ$. Traces eP	20 13 07	Kra. (Ch)	$\Delta = 75,4^\circ$ eiP epP ePcP ePP eSKS		21 00 31 C 41 45 03 25 10 25
17.X		Iles Salomon, USCGS: $8,0^\circ S$, $156,3^\circ E$, H = $01^h 53^m 33,7^s$, h = 20 km ca; M = 5,6 (USCGS)		Rac. (SK)	$\Delta = 75,4^\circ$. Traces eP		21 00 33
	Rac. (SK)	$\Delta = 125,5^\circ$. Traces ePKP	02 12 37	21.X		Nord de la province de Sinkiang, Chine, USCGS: $43,8^\circ N$, $87,0^\circ E$, H = 15^h $56^m 34,1^s$, h = 44 km ca; M = 4,7 (USCGS)	
	Kra. (Ch)	$\Delta = 124,5^\circ$ ePKP	02 12 43	Kra. (SKM)	$\Delta = 44,5^\circ$ eP		16 04 46 D
17.X		Région des Iles Tonga, USCGS: $15,6^\circ S$, $173,8^\circ W$, H = $03^h 55^m 15,3^s$, h = 51 km ca; M = 5,5 (USCGS)					
	Kra. (Ch)	$\Delta = 144,0^\circ$. Traces ePKP ₁	04 14 44				

- 103 -

Dates	Station	Phases	G.M.T. h m s	Dates	Station	Phases	G.M.T. h m s
22.X		Local		24.X	Ryb. (SK)	$\Delta = 8,6^\circ$ eP eS iL Lm NE: $1,5^S$, $1,3^S$; $6,4\mu$, $3,5\mu$ iSg NE: $1,5^S$; $6,4\mu$, $5,7\mu$	12 19 04 43 21 30 34 43 12 19 09
	Kra. (Ch)	eiP	14 07 23		Kra. (Ch)	$\Delta = 9,2^\circ$ ePn ePP eiPPP e eiSn eSS iS* iSg	12 19 09 17 28 20 37 58 21 18 44 22 14
23.X		Iles aux Renards, Aléou- tiennes, USCGS: $53,9^\circ N$, $165,3^\circ W$, H = $06^h 00^m 52,5^s$, h = 38 km ca; M = 5,5 (USCGS)		24.X		Région des Iles Philip- pines, USCGS: $20,0^\circ N$, $122,2^\circ E$, H = $20^h 26^m 17,9^s$, h = 36 km ca; M = 5,1 (USCGS)	
	Kra. (Ch)	$\Delta = 76,0^\circ$ eP ePcP	06 12 39 C 45		Kra. (SKM)	$\Delta = 82,0^\circ$ eP ePcP	20 38 37 44
23.X		Région de l'Ile Macquarie, USCGS: $55,0^\circ S$, $146,2^\circ E$, H = $08^h 33^m 47,4^s$, h = 33 km ca; M = 5,7 (USCGS)		25.X		Région de l'Ile Macquarie, USCGS: $60,5^\circ S$, $153,9^\circ E$, H = $17^h 53^m 46^s$, h = 49 km ca; M = 5,2 (USCGS)	
	Kra. (SKM)	$\Delta = 147,5^\circ$ ePKP ₁ ePKP ₂	08 53 29 36		Kra. (SKM)	$\Delta = 152,4^\circ$ ePKP ₂	18 13 51
24.X		Traces		25.X		Hokkaido, Japon, USCGS: $44,2^\circ N$, $145,3^\circ E$, H = 22^h $34^m 24,4^s$, h = 181 km ca; M = $6\frac{1}{2}$ (Pasadena), 6-6,5 (Berkeley), 6,2 (USCGS)	
	Kra. (SKM)	e	04 32 10		Kra. (SKM)	$\Delta = 74,1^\circ$ iP ePcP eipP eS Lm N: 11^S ; 6μ Lm E: 11^S ; 3μ	22 45 44 C 46 02 15 54 57 23 10 27 28
24.X		Proche					
	Ryb. (SK)	e eL	06 27 08 54 28 40				
	Kra. (Ch)	eP i e ei Lm N: $4,2^S$; $0,72\mu$	06 27 34 40 52 28 18 31 07				
	Rac. (SK)	e eL Lm NE: $1,8^S$; $1,0\mu$, $1,8\mu$	06 27 58,1 28,8 29,4	24.X		Valais, Suisse, BCIS: $46,3^\circ N$, $7,4^\circ E$, H = 12^h $16^m 57,8^s$; M = 5,1 (Bensberg), 4,8 (Pruhonice)	
					Rac. (SK)	$\Delta = 8,2^\circ$ eP eL	12 18 56 21 13

- 104 -

Dates	Station	Phases	G.M.T. h m s	Dates	Station	Phases	G.M.T. h m s
25.X (suite)	Rac. (M)	$\Delta = 75,0^\circ$ eiP Z: $1,2^S$; $22,5\mu$ ei epP i(S) NE: 4^S ; 21μ , 23μ iScS	22 45 51 46 21 30 55 20 40	30.X	Kra. (SKM)	$\Delta = 144,5^\circ$ ePKP $\Delta = 145,0^\circ$ ePKP	07 17 15 D 07 17 17
28.X	Kra. (SKM)	Traces e	23 25 02	31.X	Kra. (Ch)	$\Delta = 146,8^\circ$ ePKP	15 22 33
29.X	Kra. (SKM)	Iles aux Rats, Aléoutiennes, USCGS: $51^\circ 20' 17'' N$, $179^\circ 10' 57'' E$, $H = 21^{h00m}$ $00,1^S$; $M = 6,1$ (USCGS), $5\frac{1}{2} - 5\frac{3}{4}$ (Palisades), 5,2 (Berkeley) $\Delta = 77,0^\circ$ eiP e	21 11 54 C 59	31.X	Kra. (SKM)	Sud de l'Océan Indien, USCGS: $14,3^\circ S$, $95,2^\circ E$, $H = 17^{h24m} 06,4^S$, $h = 33$ km ca; $M = 5\frac{1}{2}$ (Moskva), 5,3 (USCGS) $\Delta = 91,6^\circ$ eP	17 37 13
30.X	Kra. (SKM)	Iles Tonga, USCGS: $16,4^\circ S$, $173,3^\circ W$, $H = 06^{h57m} 39,5^S$, $h = 28$ km ca; $M = 5,5$ (Berkeley), 5,3 (USCGS)	23 19 48 D 21 15	31.X	Kra. (Ch)	Tadzhik, URSS; USCGS: $38,0^\circ N$, $72,5^\circ E$, $H = 23^h$ $12^m 31,0^S$, $h = 109$ km ca; $M = 5,2$ (USCGS) $\Delta = 38,7^\circ$ eiP ePP	23 19 48 D 21 15
1965		NOVEMBRE		1965			
1.XI	Kra. (SKM)	Au Sud des Fidji, USCGS: $24,2^\circ S$, $179,0^\circ E$, $H = 18^h$ $03^m 09,7^S$, $h = 548$ km ca; $M = 5,7$ (USCGS) $\Delta = 149,5^\circ$ iPKP ₁ eiPKP ₁	18 21 57 24 11	2.XI	Kra. (SKM)	Mer Egée, BCIS: $39,3^\circ N$, $25,5^\circ E$, $H = 03^h 27^m 12^S$; $M = 5,2$ (Athènes) $\Delta = 11,4^\circ$ eP Pm Z: $1,5^S$; $0,06\mu$ e ePPP	03 29 49 C 50 59 30 15
2.XI	Kra. (SKM)	Au Sud des Fidji, USCGS: $23,7^\circ S$, $179,7^\circ W$, $H = 00^h$ $49^m 13,4^S$, $h = 522$ km ca; $M = 5,3$ (USCGS) $\Delta = 149,0^\circ$ ePKP ₁ ePKP ₂	01 08 04 12	2.XI	Rac. (M)	$\Delta = 12,0^\circ$ eL	03 33,5
	Rac. (SK)	$\Delta = 150,0^\circ$ ePKP ₁ ePKP ₂	01 08 07 16	2.XI	Kra. (SKM)	Local ei(P) e(S)	12 58 53 58
				3.XI	Kra. (SKM)	Région frontière Pérou-Brésil, USCGS: $9,1^\circ S$,	

- 105 -

Dates	Station	Phases	G.M.T. h m s	Dates	Station	Phases	G.M.T. h m s
3.XI (suite)	Rac. (SK)	$71,4^\circ W$, $H = 01^{h39m} 03,1^S$, $h = 593$ km ca; $M = 6\frac{3}{4}$ (Pasadena), $6\frac{1}{4} - 6\frac{1}{2}$ (Palisades), 6,2 (USCGS), $MPV = 6,1$ (Kraków) $\Delta = 96,7^\circ$ eP e epP iSKS	01 51 34 55 53 43 02 01 15	8.XI	Kra. (Ch)	Région de l'île Jan Mayen, USCGS: $72,0^\circ N$, $2,3^\circ W$, $H = 15^h 11^m 42^S$, $h = 33$ km ca; $M = 4,4$ (USCGS) $\Delta = 24,2^\circ$. Traces eP	15 16 59
	Kra. (SKM)	$\Delta = 97,9^\circ$ eP Pm Z: $1,0^S$; $0,06\mu$ epP ePP (GW) eISKs eS	01 51 38 C 39 53 46 55 45 02 01 18 02 12	9.XI	Kra. (Ch)	Iles Proches, Aléoutiennes, USCGS: $51,8^\circ N$, $174,3^\circ E$, $H = 11^h 38^m 14,4^S$, $h = 30$ km ca; $M = 5,1$ (USCGS) $\Delta = 75,8^\circ$ eP ePoP	11 50 08 17
3.XI	Kra. (Ch)	Proche eP i	09 05 41 56	9.XI	Rac. (SK)	Apennin toscan, BCIS: $44,4^\circ N$, $10,3^\circ E$, $H = 15^h$ $35^m 01^S$; $M = 4,2$ (Moxa), $MLH = 5,2$ (Racibórz) $\Delta = 7,9^\circ$ eL Lm NE: 2^S ; 3^S ; 3μ , 7μ	15 39 20 39,8
3.XI	Kra. (SKM)	Région de l'île de Pâques, USCGS: $22,3^\circ S$, $114,0^\circ W$, $H = 18^h 21^m 08,3^S$, $h = 33$ km ca; $M = 6\frac{1}{4}$ (Pasadena), 6 (Palisades), 5,9 (Berkeley), 5,8 (USCGS) $\Delta = 134,7^\circ$ ePKP	18 40 26	9.XI	Kra. (Ch)	$\Delta = 8,6^\circ$ eiP ePP ePPP eiSn eSS eiSg	15 37 14 D 21 33 38 53 39 00 51
5.XI	Kra. (Ch)	e	19 04 21	11.IX	Kra. (Ch)	Région des Iles Loyauté, USCGS: $22,8^\circ S$, $172,6^\circ E$, $H = 01^h 32^m 58,4^S$, $h = 51$ km ca; $M = 5,5$ (USCGS) $\Delta = 145,4^\circ$ ePKP ₁ ePKP ₂	01 52 31 D 37
6.XI	Kra. (Ch)	Golfe de l'Alaska, USCGS: $60,7^\circ N$, $147,3^\circ W$, $H = 06^h$ $38^m 39,3^S$, $h = 21$ km ca; $M = 5\frac{1}{2}$ (Moskva), 5,2 (USCGS) $\Delta = 68,6^\circ$ eP	06 49 46	11.XI	Kra. (GW) (Ch)	Région de l'île Macquarie, USCGS: $60,6^\circ S$, $153,7^\circ E$, $H = 02^h 51^m 25,7^S$, $h = 33$ km ca; $M = 5,1$ (USCGS) $\Delta = 152,4^\circ$ ePKP ₁ ePKP ₂ eL	03 11 21 40 04 28,1
8.XI	Kra. (SKM)	Iran méridional, USCGS: $28,2^\circ N$, $56,7^\circ E$, $H = 01^h$ $57^m 32^S$ $\Delta = 35,8^\circ$ iP i	02 04 22 D 30	11.XI	Kra. (SKM)	Valais, Suisse, BCIS: $46,3^\circ N$, $7,4^\circ E$, $H = 11^h 52^m 28^S$	

- 106 -

Dates	Station	Phases	G.M.T. h m s	Dates	Station	Phases	G.M.T. h m s
11.XI (suite)	Rac. (SK)	$\Delta = 8,2^\circ$ eL	11 57	12.XI	Rac. (SK)	$\Delta = 83,8^\circ$. Traces eP	17 26 47
	Kra. (Ch)	$\Delta = 9,1^\circ$. Traces eS* eSg	11 56 57 57 23	12.XI		Région de Hondo, Japon, USCGS: 30,7°N, 140,1°E, H = 17 ^h 52 ^m 27,6 ^s , h = 65 km ca; M = 6 ³ / ₄ (Pasadena), 6,5 (Berkeley), 6-6 ¹ / ₄ (Palisades), 6,2 (USCGS), MLH = 6,6 (Kraków)	
11.XI		Région des Iles Balleny, USCGS: 61,2°S, 154,0°E, H = 16 ^h 52 ^m 24,6 ^s , h = = 33 km ca		Kra. (GW)	$\Delta = 83,3^\circ$ eP ePeP epP eS esS ePS Lm	$\Delta = 83,3^\circ$ 18 04 50 57 05 07 15 14 38 16 00 42 10	
	Kra. (SKM)	$\Delta = 152,5^\circ$. Traces ePKP ₂	17 12 33		E: 13,5 ^s ; 8,7 μ Lm N: 13,5 ^s ; 16 μ	19	
11.XI		Iles Kermadec, USCGS: 28,4°S, 176,6°W, H = = 22 ^h 49 ^m 58,0 ^s , h = 48 km ca; M = 4,9 (USCGS)		Rac. (SK)	$\Delta = 84,0^\circ$ eP	18 04 56	
	Kra. (Ch)	$\Delta = 155,6^\circ$ ePKP ₁ ePKP ₂	23 09 56 10 22	13.XI	Kra. (Ch)	Traces e	01 59 48
12.XI		Pacifique, USCGS: 56,0°S, 121,4°W, H = 02 ^h 04 ^m 19,5 ^s , h = 33 km ca; M = 5 ¹ / ₂ (Moskva), 4,9 (USCGS)		13.XI		Nord de la province de Sinkiang, Chine, USCGS: 43,8°N, 87,7°E, H = 04 ^h 33 ^m 53,2 ^s , h = 55 km ca; M = 7 (Berkeley), 6 ³ / ₄ -7 (Palisades), 6 ³ / ₄ (Pasa- dena), 6,4 (USCGS), MLH = = 7,3 (Racibórz)	
	Kra. (SKM)	$\Delta = 156,0^\circ$. Traces ePKP ₁	02 24 13	Kra. (SKM)	$\Delta = 45,0^\circ$ iP Pm	04 42 07 C 09	
12.XI		Région de Hondo, Japon, USCGS: 30,7°N, 140,0°E, H = 17 ^h 14 ^m 21,3 ^s , h = 85 km ca; M = 5 ¹ / ₂ (Moskva), 5,3 (USCGS), 5,3-5,5 (Berkeley), MLH = 5,8 (Kraków)		(GW)	Z: 1,1 ^s ; 0,18 μ eipP ePP iS esS	04 42 24 43 51 48 47 49 11	
	Kra. (SKM)	$\Delta = 83,3^\circ$ eP ePeP epP	17 26 43 46 53	Rac. (SK)	$\Delta = 46,0^\circ$ eP ipP esPP	04 42 17 31 44 25	
	(GW)	eL Lm N: 16 ^s ; 2,4 μ Lm E: 16 ^s ; 1,7 μ Lm E: 14 ^s ; 1,5 μ Lm N: 14 ^s ; 2,7 μ	59,1 18 01 51 59 04 01 09	(M) (SK)	eIS eL	48 57 52	

- 107 -

Dates	Station	Phases	G.M.T. h m s	Dates	Station	Phases	G.M.T. h m s
13.XI (suite)	Rac. (SK)	Lm NE: 3 ^s ; 40 μ , 42 μ	05 00,3	16.XI		71,1°E, H = 01 ^h 03 ^m 55,8 ^s , h = 244 km ca; M = 5,5 (USCGS)	
13.XI		Pakistan, USCGS: 26,3°N, 65,2°E, H = 06 ^h 14 ^m 25,0 ^s , h = 20 km ca; M = 5,2 (USCGS)		Kra. (SKM)	$\Delta = 38,8^\circ$ eIP eIP esP eIPP	01 11 00 50 12 21 38	
	Kra. (SKM)	$\Delta = 41,7^\circ$ eP	06 22 17	(GW)	eS	16 39	
13.XI		Province de San Juan, Argentine, USCGS: 29,3°S, 68,1°W, H = 17 ^h 59 ^m 40,4 ^s , h = 34 km ca; M = 6,0 (USCGS), 5 (Berkeley)		Rac. (SK)	$\Delta = 39,8^\circ$ ePP ePeP	01 12 48 13 18	
	Kra. (Ch)	$\Delta = 111,6^\circ$. Traces ePKP ₁ ePP	18 18 11 46	16.XI		Crête médiane de l'Océan Atlantique, BCIS: 31,3°N, 141,4°W, H = 15 ^h 24 ^m 43 ^s ; M = 6,0 (Collm), 5,8 (Moxa)	
14.XI		Près de la côte E de Hondo, Japon, USCGS: 36,5°N, 141,0°E, H = 05 ^h 54 ^m 12,5 ^s , h = 40 km ca; M = 5,7 (USCGS), MPV = = 5,1 (Kraków)		Rac. (SK)	$\Delta = 47,4^\circ$. Traces eP	15 33 22	
	Kra. (SKM)	$\Delta = 79,0^\circ$ eIP Pm Z: 0,9 ^s ; 0,05 μ epP ePP	06 06 16 C 16,5 28 09 10	Kra. (SKM)	$\Delta = 48,6^\circ$ eP ePP	15 33 31 C 35 25	
	Rac. (SK)	$\Delta = 79,5^\circ$. Traces eP	06 06 20	16.XI		Sud-Ouest des Riou-Kiou, USCGS: 25,5°N, 125,2°E, H = 17 ^h 05 ^m 38,1 ^s , h = 79 km ca; M = 5,9 (USCGS)	
15.XI		Crête médiane de l'Atlanti- que, USCGS: 0,3°S, 18,6°W, H = 11 ^h 18 ^m 50,3 ^s , h = 26 km ca; M = 5,8 (USCGS)		Kra. (SKM)	$\Delta = 79,9^\circ$ eIP eIP	17 17 41 C 18 03	
	Rac. (SK)	$\Delta = 59,4^\circ$ eIP eS	11 28 53 C 36(56)	Rac. (SK)	$\Delta = 80,7^\circ$. Traces eP epP	17 17 46 18 08	
	Kra. (SKM)	$\Delta = 60,2^\circ$ eIP eIS	11 28 56 C 37 11	17.XI		Proche	
	(GW)	Lm NE: 13 ^s ; 8,6 μ , 2,7 μ	54 54	Kra. (Ch)	eP ei ei	09 08 49 C 57 09 05	
16.XI		Région frontière Afghani- stan, URSS; USCGS: 36,4°N,					

Dates	Station	Phases	G.M.T. h m s	Dates	Station	Phases	G.M.T. h m t
18.XI	Rac. (suite) (SK)	Traces NEZ	09 08-11	19.XI	Région de Formose, USCGS: 23,6°N, 121,8°E, H = 22 ^h 31 ^m 22,8 ^s , h = 30 km ca; M = 5,3 (USCGS)		
18.XI		Région des Iles Fidji, USCGS: 18,8°S, 177,8°W, H = 20 ^h 00 ^m 19,5 ^s , h = 420 km ca; M = 5,6 (USCGS)				Kra. (Ch)	$\Delta = 79,2^{\circ}$ eiP 22 43 27 D eiPcP 38
	Kra. (GW)	$\Delta = 145,2^{\circ}$ ePKP ₁ esPKP ₁	20 19 12 21 31	20.XI	Nord de la province de Sinkiang, Chine, USCGS: 43,8°N, 87,7°E, H = 08 ^h 56 ^m 01,1 ^s , h = 34 km ca; M = = 5,0 (USCGS)		
	Rac. (SK)	$\Delta = 146,3^{\circ}$ ePKP ₁ iPKP ₂	20 19 13 15			Kra. (Ch)	$\Delta = 45,0^{\circ}$ eP 09 04 24 ePP 06 13
18.XI		Près de la côte E du Kamtchatka, USCGS: 53,9°N, 160,6°E, H = 21 ^h 58 ^m 19,6 ^s , h = 67 km ca; M = 6,1 (USCGS), 5/2 (Palisades), MPV = 6,0 (Kraków)		20.XI	Mer de Banda, USCGS: 7,3°S, 129,2°E, H = 15 ^h 05 ^m 39,9 ^s , h = 140 km ca; M = 6,1 (USCGS)		
	Kra. (GW) (SKM)	$\Delta = 70,8^{\circ}$ eP Pm	22 09 34 36			Kra. (GW)	$\Delta = 107,2^{\circ}$ ePP 15 25 26 eS 31 38
	(GW)	Z: 1,5 ^s ; 0,15 μ ePcP eS Lm E: 18 ^s ; 3,6 μ Lm N: 18 ^s ; 3,2 μ	53 18 46 39 49 54	20.XI	Sud de Sumatra, USCGS: 5,2°S, 102,1°E, H = 16 ^h 06 ^m 11,8 ^s , h = 50 km ca; M = 5,7 (USCGS)		
	Rac. (SK)	$\Delta = 71,0^{\circ}$ eiP ePcP	22 09 36 C 57			Kra. (SKM)	$\Delta = 89,0^{\circ}$ eP 16 19 04 epP 13
19.XI		Iles Kouriles, USCGS: 45,5°N, 151,0°E, H = 07 ^h 14 ^m 18,4 ^s , h = 41 km ca; M = 5,6 (USCGS)		21.XI	Région du lac Baikal, USCGS: 50,6°N, 111,9°E, H = 03 ^h 03 ^m 24,4 ^s , h = 17 km ca; M = 4,8 (USCGS)		
	Kra. (SKM)	$\Delta = 75,4^{\circ}$ eiP	07 26 02 C			Kra. (SKM)	$\Delta = 54,5^{\circ}$. Traces eP 03 12 57
	Rac. (SK)	$\Delta = 75,7^{\circ}$. Traces eP	07 26 06	21.XI	Kazakistan, région de Se- mipalatinsk, BCIS: 50,0°N, 79,0°E, H = 04 ^h 57 ^m 56 ^s ; M = 6,0 (Moxa), 5,7 (Up- psala)		
19.XI		Proche				Kra. (SKM)	$\Delta = 36,4^{\circ}$ eiP 05 05 07 C ePP 06 31
	Kra. (Ch) (SKM)	ei (P) ei (S)	13 00 52 D 01 00			Rac. (SK)	$\Delta = 38,0^{\circ}$ eP 05 05 17
	ei		04				

Dates	Station	Phases	G.M.T. h m s	Dates	Station	Phases	G.M.T. h m s
21.XI		Mer de Banda, USCGS: 6,3°S, 130,3°E, H = 10 ^h 31 ^m 54,0 ^s , h = 132 km ca; M = 6,6 (USCGS), 6 (Pa- sadena)		25.XI	Turquie, BCIS: 37,6°N, 36,6°E, H = 02 ^h 06 ^m 30 ^s		
	Kra. (SKM) (GW)	$\Delta = 107,8^{\circ}$ eP eiPP eSKS	10 46 01 50 36 56 31			Kra. (SKM)	$\Delta = 17,1^{\circ}$ eP 02 10 34 ePP 49
22.XI		Iles Andréanov, Aléou- tiennes, USCGS: 51,4°N, 179,7°W, H = 20 ^h 25 ^m 31,1 ^s , h = 40 km ca; M = 5,9 (USCGS), MLH = 5,8 (Kra- ków), MPV = 5,6 (Kraków)		26.XI	Sud de Hondo, Japon, USCGS: 32,1°N, 140,8°E, H = 00 ^h 17 ^m 16,1 ^s , h = 43 km ca; M = 5,5 (USCGS)		
	Kra. (SKM) (GW)	$\Delta = 77,1^{\circ}$ eP Pm Z: 1,4 ^s ; 0,07 μ ePcP eS Lm NE: 17 ^s ; 4,4 μ , 2,3 μ	20 37 25 26 40 47 11 21 17 50			Kra. (SKM)	$\Delta = 82,5^{\circ}$ eiP 00 29 38 D
	Rac. (SK)	$\Delta = 77,0^{\circ}$. Traces eP	20 37 26	27.XI	Sud de Hondo, Japon, USCGS: 30,6°N, 140,3°E, H = 03 ^h 04 ^m 16,1 ^s , h = 20 km ca; M = 5,2 (USCGS)		
23.XI		Mer de Célèbes, USCGS: 3,0°N, 124,8°E, H = 01 ^h 17 ^m 30,8 ^s , h = 40 km ca; M = 6 (Palisades), 5,6 (USCGS)				Kra. (SKM)	$\Delta = 83,5^{\circ}$ eP 03 16 46 eiPcP 51 eL 49,0 Lm 54 15 E: 15 ^s ; 2,0 μ Lm N: 15 ^s ; 4,4 μ
	Kra. (SKM) (GW)	$\Delta = 97,2^{\circ}$. Traces eP e(PcP) epP ePP eSS eL	01 31 02 07 14 35 01 49 08 02 05,6	27.XI	Sud de Hondo, Japon, USCGS: 30,5°N, 140,3°E, H = 03 ^h 44 ^m 01,9 ^s , h = 20 km ca; M = 5,1 (USCGS)		
	Rac. (SK)	$\Delta = 77,0^{\circ}$. Traces eP	20 37 26			Kra. (SKM)	$\Delta = 83,5^{\circ}$ eP 03 56 31 ePcP 37
23.XI		Ile Andréanov, Aléou- tiennes, USCGS: 51,4°N, 179,7°W, H = 02 ^h 17 ^m 49,7 ^s , h = 40 km ca; M = 5,6 (USCGS), 5 ³ / ₄ (Palisades)		27.XI	Sud de Hondo, Japon, USCGS: 32,9°N, 140,6°E, H = 08 ^h 42 ^m 24,8 ^s , h = 77 km ca; M = 5,7 (USCGS)		
	Kra. (SKM) (GW)	$\Delta = 77,0^{\circ}$ eP ePcP Lm NE: 14 ^s ; 22 μ , 12 μ	02 29 42 58 03 11 06			Kra. (Ch)	$\Delta = 81,7^{\circ}$ eiP 08 54 40 D ePcP 46
28.XI		Sud du Chili, USCGS: 45,7°S, 72,6°W, H = 03 ^h 56 ^m 45,7 ^s , h = 33 km ca; M = = 6-6 ¹ / ₄ (Palisades), 5,8 (USCGS)				Kra. (SKM)	$\Delta = 124,5^{\circ}$ eiPKP 04 15 44

These data are considered public domain and may be freely distributed or copied for non-profit purposes provided the project is properly quoted.

- 110 -

Dates	Station	Phases	G.M.T. h m s	Dates	Station	Phases	G.M.T. h m s
28.XI		Mer Méditerranée, région de l'île de Rhodes, BCIS: 36,1°N, 27,7°E, H = 05 ^h 26 ^m 05 ^s , h = 90 km ca; M = 6,2 (Pruhonic), 5,6 (Ksara), 5¼-5½ (Strasbourg)		28.XI		Iles Tonga, USCGS: 21,9°S, 174,7°W, H = 11 ^h 10 ^m 04 ^s , h = 33 km ca; M = 4,0 (USCGS)	
	Kra. (SKM)	Δ = 15,0°	05 29 33 C		Kra. (Ch)	Δ = 149,5°. Traces ePKP ₁ 11 29 40 ePKP ₁ 51	
	(GW)			28.XI		Sud de Sumatra, USCGS: 4,9°S, 103,2°E, H = 21 ^h 31 ^m 46 ^s , h = 85 km ca; M = 5,9 (USCGS)	
	Ryb. (SK)	Δ = 15,5°	05 29 40		Kra. (SKM)	Δ = 89,4° eP 21 44 36 C epP 53 ePP 48 07	
		NEZ: 1,5 ^s , 1 ^s , 1,2 ^s ; 5,1μ, 2,1μ, 2,6μ			Rac. (SK)	Δ = 90,5° Traces eP 21 44 41	
				29.XI		Iles Kouriles, USCGS: 45,0°N, 146,7°E, H = 09 ^h 00 ^m 08 ^s , h = 145 km ca; M = 5,4 (USCGS)	
					Kra. (Ch)	Δ = 74,0° iP 09 11 32 C ePcP 40	
	Rac. (M)	Δ = 15,7°	05 29 43	30.XI		Région des Iles Tonga, USCGS: 23,1°S, 175,8°W, H = 22 ^h 29 ^m 53 ^s , h = 77 km ca; M = 5,1 (USCGS)	
		NEZ: 1,5 ^s , 1,5 ^s , 2 ^s ; 130μ, 35μ, 13,5μ			Kra. (Ch)	Δ = 150,5° ePKP ₁ 22 49 35 ePKP ₂ 42	
1965	D É C E M B R E			1965			
2.XII		Iles aux Rats, Aléoutiennes, USCGS: 51,3°N, 176,3°E, H = 05 ^h 58 ^m 41 ^s , h = 17 km ca; M = 5,1 (USCGS)		3.XII		h = 33 km ca; M = 5,4 (USCGS)	
	Kra. (SKM)	Δ = 76,7°. Traces	06 10 35		Kra. (SKM)	Δ = 148,5°. Traces ePKP ₁ 07 04 48	
					Rac. (SK)	Δ = 149,5°. Traces ePKP ₁ 07 04 51	
				3.XII		Région de l'Hindou-Kouch, USCGS: 36,3°N, 69,4°E, H = 21 ^h 17 ^m 40 ^s , h = 74 km ca; M = 5,4 (USCGS)	
3.XII		Iles Tonga, USCGS: 20,7°S, 174,0°W, H = 06 ^h 45 ^m 02 ^s , 8 ^s					

- 111 -

Dates	Station	Phases	G.M.T. h m s	Dates	Station	Phases	G.M.T. h m s
3.XII (suite)	Kra. (SKM)	Δ = 38,0° eP 21 24 53 D i 25 02 eiPP 26 31		8.XII		Près de la côte E de l'île du Nord, Nouvelle Zélande, USCGS: 37,1°S, 177,5°E, H = 18 ^h 05 ^m 25 ^s , h = 156 km ca; M = 6,2 (USCGS)	
4.XII		Iles aux Renards, Aléoutiennes, USCGS: 51,1°N, 170,7°W, H = 02 ^h 11 ^m 50 ^s , h = 19 km ca; M = 5,7 (USCGS), 4,5-4,8 (Berkeley)			Kra. (SKM)	Δ = 159,5°. Traces eiPKP ₂ 18 25 43 epPKP ₂ 26 22	
	Kra. (SKM)	Δ = 79,0° eP 02 23 54 ePcP 24 11			Rac. (SK)	Δ = 160,5°. Traces ePKP ₂ 18 25 47	
	Rac. (SK)	Δ = 78,3°. Traces eP 02 23 55		9.XII		Mexique, USCGS: 17,3°N, 100,0°W, H = 06 ^h 07 ^m 47 ^s , h = 54 km ca; M = 6¼ (Moskva, Pasadena), 6,0 (USCGS), 6 (Berkeley), MLH = 6,2 (Kraków)	
4.XII		Au Sud-Est de la Crête, Méditerranée, BCIS: 34,3°N, 26,2°E, H = 16 ^h 40 ^m 01 ^s			Kra. (SKM)	Δ = 94,4° eP 06 21 05 epP 23 ePP 24 54 eSKS 31 46 eS 32 24 ePS 33 31 Lm 07 12 26 E: 16 ^s ; 4,2μ Lm 33 N: 17 ^s ; 5,5μ	
	Kra. (SKM)	Δ = 16,4° eP 16 43 50 ePP 44 04		9.XII		Région des Iles Fidji, USCGS: 18,1°S, 178,1°W, H = 13 ^h 12 ^m 55 ^s , h = 653 km ca; M = 6-6,4 (Berkeley), 5,6 (USCGS)	
5.XII		Iles Proches, Aléoutiennes, USCGS: 52,6°N, 173,2°E, H = 18 ^h 14 ^m 50 ^s , h = 38 km ca; M = 5,6 (USCGS), 5¼-5½ (Palisades)			Kra. (SKM)	Δ = 144,5° iPKP ₁ 13 31 21 C ePKP ₂ 23	
	Kra. (SKM)	Δ = 74,5° iP 18 26 32 C eiPcP 45			Rac. (SK)	Δ = 145,5°. Traces ePKP ₁ 13 31 24	
	Rac. (SK)	Δ = 74,9° eiP 18 26 33 C		9.XII		Région des Iles Fidji, USCGS: 18,0°S, 178,1°W, H = 13 ^h 25 ^m 40 ^s , h = 650 km ca; M = 5,0 (USCGS), 4,6-5,2 (Berkeley)	
6.XII		Au large de la côte de Jalisco, Mexique, USCGS			Kra. (Ch)	Δ = 145,0° ePKP ₁ 13 44 07	
	Kra. (GW)	Traces eL 12 06		12.XII		Région des Iles Tonga, USCGS: 23,6°S, 175,4°W,	
7.XII		Région frontère Tadzhibik-Sinkiang, USCGS: 39,2°N, 73,4°E, H = 14 ^h 50 ^m 45 ^s , h = 31 km ca; M = 5 (Moskva), 4,8 (USCGS)					
	Kra. (SKM)	Δ = 38,6° e 14 59 33 ePP 42					

- 112 -

Dates	Station	Phases	G.M.T. h m s	Dates	Station	Phases	G.M.T. h m s
12.XII (suite)	Kra. (SKM)	H = 16 ^h 40 ^m 13,1 ^s , h = 28 km ca; M = 5,0 (USCGS) $\Delta = 73,7^{\circ}$ eP ePcP	17 00 06 25	13.XII	Région des Iles Kouriles, USCGS: 44,8 ^o N, 150,2 ^o E, H = 22 ^h 53 ^m 17,7 ^s , h = 27 km ca; M = 5 ¹ / ₂ (Moskva), 5,1 (USCGS) Kra. (SKM)	$\Delta = 75,6^{\circ}$ eP ePcP	23 05 05 15
13.XII	Kra. (SKM)	Région des Iles Kouriles, USCGS: 44,7 ^o N, 150,3 ^o E, H = 05 ^h 45 ^m 15,8 ^s , h = 39 km ca; M = 5 ¹ / ₂ (Moskva), 5,5 (USCGS) $\Delta = 75,7^{\circ}$ eiP ePcP	05 57 07 16	15.XII	Birmanie, USCGS: 22,0 ^o N, 94,4 ^o E, H = 04 ^h 43 ^m 45,9 ^s , h = 95 km ca; M = 5,4 (USCGS) Kra. (SKM)	$\Delta = 63,5^{\circ}$. Traces eP	04 54 08
13.XII	Kra. (SKM)	Région des Iles Kouriles, USCGS: 44,7 ^o N, 150,2 ^o E, H = 10 ^h 52 ^m 10,6 ^s , h = 48 km ca; M = 6 (Palisades), 5,9 (USCGS), MLH = 5,9 (Kraków) $\Delta = 75,7^{\circ}$ iP ePcP eS eL Lm N: 14 ^s ; 3,9 μ Lm E: 14 ^s ; 2,5 μ	11 03 55 C 04 09 13 38 25,5 40 38 54	15.XII	Province du Hainaut, Belgi- que, BCIS: 50,5 ^o N, 4,1 ^o E, H = 12 ^h 07 ^m 17 ^s ; M = 4,4 (Bensberg) Rac. (SK)	$\Delta = 9,0^{\circ}$ e(S*)	12 11 54
13.XII	Rac. (M)	$\Delta = 76,2^{\circ}$ eP ePcP	11 03(59) 04 11	15.XII	Ryb. (SK)	$\Delta = 9,3^{\circ}$. Traces eL	12 12
13.XII	Rac. (SK)	Région des Iles Kouriles, USCGS: 44,7 ^o N, 150,3 ^o E, H = 14 ^h 46 ^m 10,7 ^s , h = 33 km ca; M = 5,7 (USCGS) $\Delta = 76,4^{\circ}$. Traces eP	14 58 02	15.XII	Kra. (GW)	$\Delta = 10,1^{\circ}$ eS* eiSg	12 12 19 45
13.XII	Kra. (SKM)	Région des Iles Kouriles, USCGS: 44,6 ^o N, 150,4 ^o E, H = 22 ^h 37 ^m 37,6 ^s , h = 33 km ca; M = 5 ¹ / ₂ (Moskva), 5,3 (USCGS) $\Delta = 75,7^{\circ}$. Traces eP ePcP	22 49 25 32	15.XII	Sud de Panama, USCGS: 7,5 ^o N, 82,2 ^o W, H = 23 ^h 05 ^m 22,6 ^s , h = 26 km ca; M = 6 ³ / ₄ (Pasadena), 6,5 (Berkeley), 5,9 (USCGS) Rac. (SK)	$\Delta = 90,9^{\circ}$ eP	23 18 30
				15.XII	Kra. (SKM)	$\Delta = 92,0^{\circ}$ eP ePcP	23 18 32 40
					(GW)	iPP	22 25

- 113 -

Dates	Station	Phases	G.M.T. h m s	Dates	Station	Phases	G.M.T. h m s
15.XII (suite)	Kra. (GW)	eSKS eS eL	23 29 06 36 44,5	18.XII	Rac.	Lm NEZ: 2 ^s ; 2,6 μ , 2,8 μ , 1,2 μ	09 27,1
16.XII	Kra. (SKM)	Région des Iles Fidji, USCGS: 17,7 ^o S, 179,1 ^o W, H = 23 ^h 06 ^m 42,8 ^s , h = 573 km ca; M = 5,2 (USCGS) $\Delta = 144,0^{\circ}$ iPKP ₁	23 25 14 C	18.XII	Région des Iles Kouriles, USCGS: 44,8 ^o N, 150,1 ^o E, H = 08 ^h 30 ^m 46,3 ^s , h = 33 km ca; M = 5,6 (USCGS), 5 (Moskva), MPV = 5,2 (Kra- ków) Kra. (Ch)	$\Delta = 75,5^{\circ}$ eiP Pm Z: 0,5 ^s ; 0,12 μ ePcP	08 42 33 D 34 50
18.XII	Rac. (SK)	$\Delta = 144,9^{\circ}$ ePKP	23 25 18	18.XII	Région de Forli, Italie, BCIS: 44,2 ^o N, 12,0 ^o E, H = = 09 ^h 22 ^m 25 ^s , M = 4,3 (Pruhonice), MLH = 4,9 (Racibórz) Kra. (Ch)	$\Delta = 76,0^{\circ}$ eP $\Delta = 7,9^{\circ}$ eP* ePg eSS eS* eSg	08 42 37 09 24 48 25 08 26 11 31 51
				18.XII	Ryb. (SK)	$\Delta = 7,5^{\circ}$ ePg eSn eS* eL	09 24 59 25 49 26 13 26,5
				18.XII	Rac. (SK)	$\Delta = 7,4^{\circ}$ eSn eS* eL	09 25 41 26 12 26,5
				18.XII	Rac.	Lm E: 11 ^s ; 38 μ Lm N: 9 ^s ; 13 μ $\Delta = 11,2^{\circ}$ eP eL Lm NE: 4 ^s ; 80 μ , 50 μ	00 10 44 C 46 55 11 01 12 37 13 13 23 15 18 38 00 10 50 14,0 15,3
				21.XII	Ryb. (SK)	$\Delta = 11,2^{\circ}$ eP eL	00 10 52 14,2
				21.XII	Région de Liège, Belgique, BCIS: 50 ^o 40'N, 5 ^o 31'E, H = 10 ^h 00 ^m 02 ^s ; M = 4,4 (Bensberg), MLH = 4,9 (Racibórz)		

- 114 -

Dates	Station	Phases	G.M.T. h m s	Dates	Station	Phases	G.M.T. h m s
21.XII (suite)	Kra. (Ch)	$\Delta = 9,3^{\circ}$ eSn eS* eSg	10 04 06 32 52	22.XII	Kra. (GW)	ePP eiS ePS ePPS	19 55 21 20 01 56 02 17 38
	Rac. (SK)	$\Delta = 8,2^{\circ}$. Traces eL Lm	10 04,4 47	23.XII		Sud de l'Iran, USCGS: 27,7 ^o N, 54,6 ^o E, H = 11 ^h 10 ^m 01,3 ^s , h = 42 km ca; M = 4,8 (USCGS), 4 ¹ / ₂ (Moskva)	
	Ryb. (SK)	$\Delta = 8,3^{\circ}$. Traces eSg	10 04 33		Kra. (SKM)	$\Delta = 35,0^{\circ}$ eP	11 16 47
22.XII		Au large de la côte E du Kamtchatka, USCGS: 52,4 ^o N, 160,5 ^o E, H = 00 ^h 28 ^m 50,4 ^s , h = 32 km ca; M = 6 (Moskva), 5,5 (USCGS), 5 (Berkeley)		23.XII		Au voisinage de la côte italienne, Mer Tyrrhénien- ne, BCIS: 40,5 ^o N, 14,9 ^o E, H = 15 ^h 29 ^m 07 ^s , h = 320 km ca	
	Kra. (SKM) (GW)	$\Delta = 72,2^{\circ}$. Traces eiP ePcP eL	00 40 16 D 33 01 10		Kra. (SKM)	$\Delta = 10,2^{\circ}$ eP eiSn	15 31 29 D 33 25
	Rac. (SK)	$\Delta = 72,5^{\circ}$. Traces eP	00 40 20	23.XII		Sud de l'Alaska, USCGS: 60,6 ^o N, 140,7 ^o W, H = 20 ^h 47 ^m 35,5 ^s , h = 11 km ca; M = 5,8 (USCGS), 5 ¹ / ₄ (Moskva), 5,2 (Berkeley)	
22.XII		Au large de la côte E du Kamtchatka, USCGS: 52,6 ^o N, 160,2 ^o E, H = 07 ^h 27 ^m 18,4 ^s , h = 11 km ca; M = 5,4 (USCGS), 5 ¹ / ₄ (Moskva)			Rac. (SK)	$\Delta = 67,8^{\circ}$ eiP ePcP	20 58 39 59 10
	Kra. (SKM)	$\Delta = 71,5^{\circ}$. Traces eP	07 38 47		Kra. (Ch) (GW)	$\Delta = 68,0^{\circ}$ iP ePP	20 58 40 D 21 01 09
22.XII		Région de l'Ile Kodiak, USCGS: 58,4 ^o N, 153,1 ^o W, H = 19 ^h 41 ^m 23,1 ^s , h = 51 km ca; M = 6 ³ / ₄ -7 (Pasadena), 6,5-6,8 (Berkeley), 6 ¹ / ₄ -6 ¹ / ₂ (Palisades), 6,5 (USCGS)		25.XII		Région des Iles Fidji, USCGS: 18,1 ^o S, 179,1 ^o W, H = 02 ^h 57 ^m 58,5 ^s , h = 626 km ca; M = 6 (Pasadena), 5,6-5,8 (Berkeley), 5,6 (USCGS)	
	Rac. (M)	$\Delta = 70,7^{\circ}$ iP epP ePcP iS	19 52 42 C 54 53 08 20 02(00)		Kra. (SKM)	$\Delta = 144,5^{\circ}$ iPKP epPKP	03 16 26 D 18 53
		NE: 2 ^s ; 13,2 μ , 12,6 μ esS eScS	20 56		Rac. (SK)	$\Delta = 145,0^{\circ}$ ePKP	03 16 28
	Kra. (GW)	$\Delta = 71,3^{\circ}$ iP ePcP	19 52 43 53 04	25.XII		Yougoslavie, BCIS: 43,8 ^o N 20,1 ^o E, H = 10 ^h 18 ^m 12 ^s	

- 115 -

Dates	Station	Phases	G.M.T. h m s	Dates	Station	Phases	G.M.T. h m s
25.XII (suite)	Kra. (SKM)	$\Delta = 6,2^{\circ}$ eiP eSg	10 19 43 D 21 46	28.XII		Région des Iles Bonin, USCGS: 27,8 ^o N, 141,8 ^o E, H = 20 ^h 32 ^m 25,0 ^s , h = 37 km ca; M = 6 (Pasadena), 5,9 (USCGS), 5 ¹ / ₂ (Moskva)	
25.XII		Mer Egée, BCIS: 39,8 ^o N, 24,8 ^o E, H = 12 ^h 15 ^m 28 ^s			Kra. (Ch)	$\Delta = 86,7^{\circ}$ eiP eiPcP	20 45 07 C 10
	Kra. (SKM)	$\Delta = 10,8^{\circ}$ eP eS	12 18 12 20 34		(GW)	ePP eiSKS eL	48 21 55 27 21 20
25.XII		Région des Iles Fidji, USCGS: 18,1 ^o S, 179,2 ^o W, H = 19 ^h 20 ^m 46,5 ^s , h = 639 km ca; M = 5,4 (USCGS)			Rac. (SK)	$\Delta = 87,4^{\circ}$ eP epP	20 45 11 23
	Kra. (SKM) (Ch)	$\Delta = 144,5^{\circ}$ iPKP ₁ epPKP ₁	19 39 14 C 41 41	30.XII		Iles Aléoutiennes, USCGS: 54,1 ^o N, 164,3 ^o W, H = 02 ^h 06 ^m 29,0 ^s ; M = 5,7 (USCGS), 5,5-5,7 (Berkeley), 5 ¹ / ₂ (Moskva)	
	Rac. (SK)	$\Delta = 145,0^{\circ}$. Traces ePKP	19 39 16		Kra. (SKM)	$\Delta = 75,5^{\circ}$ eP ePcP	02 18 20 C 32
26.XII		Région de la Nouvelle Bretagne, USCGS: 5,4 ^o S, 151,6 ^o E, H = 03 ^h 53 ^m 10,3 ^s , h = 74 km ca; M = 6,1 (USCGS)		30.XII		Iles Kouriles, USCGS: 44,1 ^o E, 148,5 ^o E, H = 16 ^h 56 ^m 56,2 ^s , h = 70 km ca; M = 5,2 (USCGS)	
	Kra. (SKM)	$\Delta = 119,5^{\circ}$. Traces ePKP ePP	04 11 54 13 18		Kra. (Ch)	$\Delta = 75,0^{\circ}$ eP ePcP	17 08 28 44
26.XII		Région des Iles Fidji, USCGS: 23,8 ^o S, 179,9 ^o W, H = 18 ^h 05 ^m 38,1 ^s , h = 510 km ca; M = 5,0 (USCGS)		31.XII		Région des Iles Fidji, USCGS: 25,0 ^o S, 177,2 ^o W, H = 10 ^h 41 ^m 56,1 ^s , h = 140 km ca; M = 5,5 (USCGS)	
	Kra. (SKM)	$\Delta = 148,6^{\circ}$ eiPKP ₂	18 24 30		Rac. (SK)	$\Delta = 152,5^{\circ}$ ePKP ₁ ePKP ₂	11 01 29 46
27.XII		Près de la côte E de Hondo, Japon, USCGS: 36,6 ^o N, 142,0 ^o E, H = 04 ^h 07 ^m 26,1 ^s , h = 42 km ca; M = 4,4 (USCGS)			Kra. (Ch)	$\Delta = 151,5^{\circ}$. Traces ePKP ₂	11 01 43
	Kra. (SKM)	$\Delta = 79,0^{\circ}$ eP ePcP	04 19 32 42				

These data are considered public domain and may be freely distributed or copied for non-profit purposes provided the project is properly quoted.

RÉSULTATS DES ENREGISTREMENTS DES SECOUSSES
SOUTERRAINES PLUS FORTES EN HAUTE SILÉSIE

Dates	Station	Phases	G.M.T. h m s	Dates	Station	Phases	G.M.T. h m s
1965				1965			
J A N V I E R							
1.I		H = 00 ^h 52 ^m 42,3 ^s ; M = 2,4 (Chorzów)		5.I	Kra.		
	Cho.	Δ = 13 km				ei _{EZ}	05 22 25,4
	(SK)	eP _{NEZ}	00 52 45,2			ei _E , e _Z	42,4
		ei _S _{NEZ}	47,3	7.I			
		ei _{EZ}	49,9		Cho.		
		Lm	52,7		(SK)	e _{NZ}	00 04 36,6
		EZ: 1,2 ^s ; 2,0μ, 1,5μ			Kra.		
		F	54		(SKM)	ei _{EZ}	00 04 52,8
	Ryb.	Δ = 40 km, E - inactive				e _{EZ}	59,6
	(SK)	e _S _{NZ}	00 52 54,9	7.I			
		e _N	53 03,6		Cho.		
		F	55		(SK)	e _{NZ}	00 04 36,6
	Kra.	Δ = 78 km			Kra.		
	(SKM)	eP _g _{EZ}	00 52 56,5		(SKM)	ei _{EZ}	00 04 52,8
		e _{NEZ}	53(06)			e _{EZ}	59,6
		Lm	44		7.I		
		NEZ: 1,4 ^s , 1,4 ^s , 1,5 ^s ;					
		0,03μ, 0,04μ,					
		0,04μ					
	Rac.	Traces					
	(SK)	NEZ	00 52-55				
2.I		H = 14 ^h 56 ^m 42,2 ^s ; M = 2,4 (Chorzów); Dąb. (GIG): 14 56 48,4					
	Cho.	Δ = 9 km					
	(SK)	eP _{EZ}	14 56 44,5				
		eP _N	44,7				
		e _S _N , i _S _{EZ}	46,1				
		Lm	47				
		NEZ: 0,9 ^s ; 2,0μ,					
		2,0μ, 1,6μ					
		F	58				
	Kra.	Δ = 82 km					
	(SKM)	eP _g _{EZ}	14 56 57				
		e _{NEZ}	57(06)				
		e _{NEZ}	24				
	Ryb.	E, Z - inactives					
	(SK)	e _N	14 57 02,5				
		e _N	11,2				
		F	59				
5.I		Dąb. (GIG): 05 22 03,5					
	Kra.						
	(SKM)	e _{EZ}	05 22 15,1				

Dates	Station	Phases	G.M.T. h m s	Dates	Station	Phases	G.M.T. h m s
8.I		Dąb. (GIG): 22 57 20,0		13.I	Ryb.		
	Cho.					ei _N	12 14 14,7
	(SK)	e _Z	22 57 22,7			F	16
		e _N	25,2		Rac.	Traces	
	Kra.				(SK)	NEZ	12 14-16
	(SKM)	ei _N , i _Z	22 57 39,0	15.I			
		ei _E	39,4				
13.I		φ = 50°18'; λ = 19°15'; H = 00 ^h 13 ^m 54,4 ^s ; M = 2,7 (Chorzów), 2,5 (Dąbrowa Górnicza); Dąb.: ei _P _N 00 13 56,2, i _S _{NE} 57,5, Lm _Z : 1,1 ^s ; 3,8μ					
	Cho.	Δ = 18 km					
	(SK)	eP _Z	00 13 58,2				
		e _{NE}	58,7				
		e _{NZ}	14 02,0				
		Lm	08				
		EZ: 1,2 ^s ; 2,4μ, 2,0μ					
		Lm	10				
		N: 1,0 ^s ; 1,5μ					
	Kra.	Δ = 56 km					
	(SKM)	eiP _g _{NEZ}	00 14 04,8				
		iS _g _N , eiS _g _E , eS _g _Z	12,4				
	Ryb.	Δ = 56 km					
	(SK)	eS _g _{NZ}	00 14 12,2				
		e _N	20,1				
		e _Z	35,6				
		F	16				
	Rac.	Traces					
	(SK)	NEZ	00 14-16				
13.I		H = 12 ^h 13 ^m 49 ^s ; M = 2,9 (Chorzów); Dąb. (GIG): 12 13 53,0					
	Cho.	Δ = 16 km					
	(SK)	eiP _{NEZ}	12 13 52,7				
		eiS _{EZ}	55,2				
		Lm	58,2				
		EZ: 1,0 ^s ; 5,0μ, 3,4μ					
		F	15				
	Kra.	Δ = 67 km					
	(Ch)	eiP _g _{NZ}	12 14 01,4				
		eiS _g _Z	10,4				
	Ryb.	Δ = 52 km					
	(SK)	eiS _g _Z	12 14 05,3				
		e _{NZ}	12,0				

Dates	Station	Phases	G.M.T. h m s	Dates	Station	Phases	G.M.T. h m s
19.I		$\varphi = 50^{\circ}18'$; $\lambda = 18^{\circ}58'$; H = $04^{\text{h}}32^{\text{m}}17,4^{\text{s}}$; M = = 1,5 (Chorzów); Dąb. (GIG): 04 32 21,7		23.I	Ryb. (SK)	Traces NE	22 54-56
	Cho. (SK)	$\Delta = 2$ km eP _Z e _E e ¹ _{NZ} Lm	04 32 18,5 19,3 20,3 24	24.I		H = $03^{\text{h}}32^{\text{m}}47^{\text{s}}$; Dąb. (GIG): 03 32 49,4	
		NEZ: $1,0^{\text{s}}$; $4,5\mu$, $2,0\mu$, $2,0\mu$			Cho. (SK)	e _E e _N	03 32 53,9 55,3
	Kra. (SKM)	$\Delta = 74$ km iP _E , eiP _Z eS _{EZ}	04 32 30,9 40,8		Kra. (SKM)	$\Delta = 57$ km eP _{NEZ} eS _{NEZ} e _{NEZ}	03 32 58,3 33 06,0 16
	Ryb. (SK)	Traces N	04 32-34		Ryb. (SK)	Traces NEZ	03 32-35
20.I		H = $23^{\text{h}}49^{\text{m}}04^{\text{s}}$; Dąb. (GIG): 23 49 06,4		24.I		H = $12^{\text{h}}50^{\text{m}}09,5^{\text{s}}$; M = 2,3 (Chorzów); Byt. (GIG): 12 50 12,4; Zab.: eS _E 12 50 12,9; Dąb. (GIG): 12 50 15,9	
	Cho. (SK)	e _{NE} e _Z F	23 49 08,3 10,5 51		Cho. (SK)	$\Delta = 13$ km eP _{NEZ} eS _{NE} eS _Z Lm	12 50 12,3 14,5 14,9 19,6
	Kra. (SKM)	$\Delta = 58$ km eP _{EZ} iS _N , eiS _E ei _Z	23 49 14,5 22,3 23,1			Z: $1,0^{\text{s}}$; $1,1\mu$ Lm E: $1,0^{\text{s}}$; $2,0\mu$ F	20,2 51
23.I		Byt. (GIG): 00 28 50,7; Dąb. (GIG): 00 28 56,2			Kra. (SKM)	$\Delta = 86$ km eS _{NE} , eiS _Z	12 50 35,7
	Cho. (SK)	eP _Z i _E e _{NZ} F	00 28 53,0 54,6 54,8 30		Ryb. (SK)	Traces NEZ	12 50-52
	Kra. (Ch)	eS _{NEZ}	00 29 14,3	25.I		H = $23^{\text{h}}14^{\text{m}}24,5^{\text{s}}$; M = 2,9 (Chorzów), 2,4 (Kraków); Dąb. (GIG): 23 14 26,3; Byt. (GIG): 23 14 34,5	
23.I		Byt. (GIG): 22 54 31,6; Dąb. (GIG): 22 54 34,8			Cho. (SK)	$\Delta = 21$ km eP _Z eP _{NE} e _{EZ} ei _N ei _Z Lm	23 14 28,9 29,2 31,7 32,2 33,2 39
	Cho. (SK)	eP _Z	22 54 31,5			NEZ: $1,0^{\text{s}}$; $2,5\mu$, $2,0\mu$, $2,1\mu$ F	16
	Kra. (SKM)	eiS _{NZ} ei _E	22 54 53,9 55 00		Kra. (SK)	$\Delta = 59$ km	
	Rac. (SK)	Traces NEZ	22 54-57				

Dates	Station	Phases	G.M.T. h m s	Dates	Station	Phases	G.M.T. h m s
25.I (suite)	Kra. (SKM)	eiP _{NEZ} iS _{NEZ} (Ch) Lm	23 14 35,3 43,3 15 00	28.I		Zab. (GIG): 15 42 02,9; Byt. (GIG): 15 42 06,9; Dąb. (GIG): 15 42 09,4	
		NE: $1,0^{\text{s}}$; $0,08\mu$, $0,08\mu$			Ryb. (SK)	e _{NE} e _{NE} e _{NE} e ^L _{NE} F	15 42 09,6 11,1 13,7 26 44
	Ryb. (SK)	e _{NZ} e _{NZ} F	23 14 38,5 56,2 17		Kra. (SKM)	e _Z e _{NEZ}	15 42 17,5 26,5
	Rac. (SK)	Traces e _{EZ} F	23 14 57 17	29.I		Dąb. (GIG): 17 44 35,3	
26.I		Dąb. (GIG): 00 34 29,0; Zab. (GIG): 00 34 30,8; Byt. (GIG): 00 34 32,0			Cho. (SK)	iP _{NZ} eP _E i _Z Lm	17 44 32,4 32,6 33,0 35
	Cho. (SK)	e _N e _Z F	00 34 34,1 35,1 36			NEZ: $0,8^{\text{s}}$; $3,5\mu$, $2,0\mu$, $2,0\mu$ F	46
	Kra. (Ch)	e _{NZ} e _{NZ}	00 34 54,6 35 02,7		Kra. (SKM)	Traces eiS _{NEZ}	17 44 54,2
1965 F É V R I E R 1965							
1.II		Byt. (GIG): 08 39 45,0; Dąb. (GIG): 08 39 47,6		2.II	Kra. (Ch)	$\Delta = 74$ km eiS _N , eS _Z e _N	09 13 17,4 26,2
	Cho. (SK)	eiP _{NE} , eP _Z e _Z e _{EZ} F	08 39 45,3 47,2 48,5 41		Ryb. (SK)	Traces NEZ	09 12-15
	Kra. (Ch)	Traces e _E eS _{EZ}	08 40 01,0 06,7	3.II		Dąb. (GIG): 12 36 49,0	
2.II		H = $09^{\text{h}}12^{\text{m}}54,5^{\text{s}}$; M = 2,8 (Chorzów); Zab. (GIG): 09 12 57,2; Dąb. (GIG): 09 13 00,3			Kra. (Ch)	e _{NEZ} e _{NEZ}	12 37 05 16,5
	Cho. (SK)	$\Delta = 6$ km eP _{NEZ} eiS _{NEZ} Lm	09 12 56,1 57,3 13 00	3.II		Dąb. (GIG): 13 02 14,4	
		Z: $1,2^{\text{s}}$; $1,2\mu$ F	14		Kra. (Ch)	Traces ei _{NEZ} e _{NEZ}	13 02 26,0 47,0
4.II		$\varphi = 50^{\circ}21'$; $\lambda = 18^{\circ}48'$; H = $10^{\text{h}}53^{\text{m}}08,5^{\text{s}}$; M = 2,6 (Chorzów); Byt.: eS _E 10 53 11,8; Zab. (GIG): 10 53 12,2; Dąb.: eS _E 10 53 18,6					

- 122 -

Dates	Station	Phases	G.M.T. h m s	Dates	Station	Phases	G.M.T. h m s
4.II (suite)	Cho. (SK)	$\Delta = 18$ km eP _{NEZ} e _N i _N , e _i _{EZ} i _Z i _E Lm F	10 53 12,3 13,5 15,6 18,5 18,7 19 54	5.II	Dąb. (GIG): 00 14 44,7 Cho. (SK)	$\Delta = 16$ km eP _{NEZ} Lm Z: 1,4 ^S ; 3,8 μ Lm E: 1,2 ^S ; 5,1 μ F	00 14 41,5 49,6 49,9 16
	Ryb. (SK)	e _i _N , e _E e _i _N e _i _E e _i _Z F	10 53 22,6 28,5 29,9 30,4 56		Ryb. (SK)	$\Delta = 39$ km eP _{NE} e _i _S _E , e _S _Z e _i _S _N Lm N: 1,2 ^S ; 0,9 μ Lm E: 1,3 ^S ; 0,7 μ F	00 14 45,6 51,1 51,3 15 24 25 18
	Kra. (SKM)	$\Delta = 87$ km e _i _P _{NEZ} e _i _S _{NEZ} Lm Z: 1,5 ^S ; 0,1 μ	10 53 24,2 35,7 54 01		Kra. (Ch)	$\Delta = 86$ km e _i _P _{NE} , e _i _P _Z e _i _S _{NEZ} Lm NZ: 1,4 ^S ; 0,14 μ , 0,19 μ Lm E: 1,4 ^S ; 0,18 μ	00 14 53,5 15 04,9 40 41
	Rac. (SK)	Traces NEZ	10 53-56		Rac. (SK)	e _i _{NE} e _i _N e _i _E F	00 14 57 15 04,9 05,9 18
4.II		H = 18 ^h 19 ^m 14,5 ^s ; M = 1,7 (Chorzów); Dąb. (GIG): 18 19 17,6		5.II		H = 17 ^h 03 ^m 04 ^s ; Dąb. (GIG): 17 03 03,6	
	Cho. (SK)	$\Delta = 4$ km eP _{NEZ} i _N , e _i _{EZ} Lm NEZ: 1,0 ^S ; 1,5 μ , 1,6 μ , 1,2 μ	18 19 15,8 17,8 20		Kra. (Ch)	$\Delta = 63$ km e _i _P _{NEZ} e _i _S _Z e _S _{NE}	17 03 15,5 23,7 24,0
	Kra. (SKM)	$\Delta = 65$ km e _i _P _{NEZ} e _i _S _{NEZ}	18 19 26,4 35,1	6.II		H = 23 ^h 32 ^m 41,8 ^s ; M = 2,6 (Chorzów); Zab. (GIG): 23 32 44,7; Byt. (GIG): 23 32 45,2; Dąb. (GIG): 23 32 47,0	
4.II		Dąb. (GIG): 20 14 47,6			Cho.	$\Delta = 8$ km. La correction de l'horloge est incertaine	
	Cho. (SK)	i _P _N , e _P _E , e _i _P _Z F	20 14 43,8 15		(SK)	NEZ S-P = 1,5 ^S Lm-P = 3 ^S NZ: 0,8 ^S ; 4,5 μ , 3,5 μ	23 32-34
	Kra. (SKM, Ch)	Traces e _i _S _{EZ}	20 15 05,6				
5.II		$\varphi = 50^{\circ}23,5'$; $\lambda = 18^{\circ}50,0'$; H = 00 ^h 14 ^m 38 ^s ; M = 3,1 (Kraków); 2,8 (Chorzów); Byt. (GIG): 00 14 40,5; Zab. (GIG): 00 14 41,6;					

- 123 -

Dates	Station	Phases	G.M.T. h m s	Dates	Station	Phases	G.M.T. h m s	
6.II (suite)	Ryb. (SK)	e _{NEZ} e _L _{NEZ} F	23 32 50,5 33 06 35	11.II	Dąb. (GIG): 03 26 15,3 Cho. (SK)	e _P _{EZ} e _N e _E F	03 26 15,7 16,6 17,5 28	
	Kra. (SKM)	$\Delta = 76$ km e _i _P _{EZ} e _i _S _{EZ}	23 32 55,6 33 05,7		Kra. (SKM)	Traces e _i _{NEZ} e _i _{EZ}	03 26 34,5 37,5	
	Rac. (SK)	Traces NZ	23 33-36	11.II		Dąb. (GIG): 12 26 21,3 Kra. (Ch)	Traces e _N _Z e _i _Z	12 26 26,9 38,3
7.II		H = 02 ^h 01 ^m 24 ^s ; Dąb. (GIG): 02 01 28,5		11.II		Dąb. (GIG): 15 55 41,1 Kra. (Ch)	Traces e _i _E , e _Z e _Z e _i _E	15 55 51,2 58,8 59,4
	Kra. (SKM)	$\Delta = 62$ km e _P _{EZ} e _i _S _{NEZ}	02 01 35,4 43,8	11.II		Byt. (GIG): 21 43 08; Dąb. (GIG): 21 43 12,8 Cho. (SK)	e _P _{NE} , e _i _P _Z 21 43 10,2 Kra. (Ch)	Traces e _N _Z , e _i _E e _{NEZ} 21 43 22,2 33,2
8.II		H = 01 ^h 52 ^m 44,3 ^s ; Byt. (GIG): 01 52 50,0		10.II		Zab. (GIG): 18 22 33,5; Byt. (GIG): 18 22 37,1; Dąb. (GIG): 18 22 42,1 Cho. (SK)	e _P _{EZ} e _P _N e _N Lm Z: 0,8 ^S ; 0,9 μ Lm E: 0,9 ^S ; 1,5 μ F	18 22 34,0 34,2 35,8 40,5 42,5 24
	Ryb. (SK)	Traces e _Z e _{NE} F	01 52 53,8 54,1 55		Kra. (Ch)	Traces e _i _E e _i _Z e _i _E e _i _Z	18 22 47,8 48,6 58,4 59,1	
	Kra. (SKM)	$\Delta = 67$ km e _P _{EZ} e _i _S _{NZ} , e _S _E	01 52 56,6 53 05,6		Ryb. (SK)	Traces NEZ	18 22-25	
	Rac. (SK)	Traces NEZ	01 53-56	14.II		H = 23 ^h 27 ^m 39,3 ^s ; M = 2,3 (Chorzów); Byt.: e _P _E 23 27 40,6; Zab. (GIG): 23 27 42,2; Dąb.: e _P _{EZ} 23 27 44,1, e _S _E 47,6 Cho. (SK)	$\Delta = 11$ km e _i _P _E , i _P _Z e _i _S _{NE} e _S _Z Lm NZ: 1,0 ^S ; 3,0 μ , 1,5 μ Lm E: 1,0 ^S ; 2,0 μ F	23 27 41,9 43,8 44,0 48 50 29
	Kra. (SKM)	$\Delta = 65$ km e _i _P _{NEZ} e _i _S _{NEZ}	18 19 26,4 35,1		Kra. (SKM)	$\Delta = 80$ km e _P _N , e _i _P _{EZ} e _i _{EZ}	23 27 53,8 28 05,3	

- 124 -

Dates	Station	Phases	G.M.T. h m s	Dates	Station	Phases	G.M.T. h m s
18.II		Dąb. (GIG):	04 19 02,7	25.II	Ryb.	Traces	
	Cho.				(SK)	NE	13 59-14 00
	(SK)	e _E	04 19 07,5	26.II		Dąb. (GIG):	11 35 54,5
		e _N	07,8		Cho.	Z - inactive	
	Kra.	ePg _{EZ}	04 19 13,3		(SK)	e _N	11 35 56,2
		e _{NZ}	20,9			e _N	36 00,4
		e _E	24,1			Lm	06,2
18.II		Zab. (GIG):	16 08 49,2;				N: 0,8 ^S ; 1,4 μ
		Byt. (GIG):	16 08 52;		Kra.		
		Dąb. (GIG):	16 08 54,9		(SKM)	e _{NZ}	11 36 03,3
	Cho.					ei _{NE}	10,7
	(SK)	eS _{NZ} , eiS _Z	16 08 55,3	27.II		H = 02 ^h 04 ^m 34,3 ^s ; Dąb.	
		Lm	09 00			(GIG):	02 04 41,8
		N: 0,5 ^S ; 3,0 μ			Kra.	$\Delta = 67$ km	
		Lm	09		(Ch)	ePg _{EZ}	02 04 46,6
		EZ: 1,0 ^S ; 1,5 μ , 1,0 μ				e _Z	54,1
		F	10			eiSg _N , iSg _{EZ}	55,6
	Ryb.				Rac.	Traces	
	(SK)	ei _{NE}	16 09 01,9		(SK)	NEZ	02 05-07
		F	12	28.II		Byt. (GIG):	05 14 29,0;
	Kra.					Zab. (GIG):	05 14 - traces
	(SKM)	e(Pg) _{NZ} , ei(Pg) _E	16 09 05,7		Cho.	Z - inactive	
		e _{NZ}	14,2		(SK)	e _{NE}	05 14 33,7
		ei _E	15,0			i _N	34,7
		Lm	41			i _E	35,2
		NZ: 1,4 ^S , 1,5 ^S ;				Lm	37,0
		0,10 μ , 0,07 μ					NE: 0,7 ^S ; 4,5 μ , 3,0 μ
	Rac.				F		16
	(SK)	e _N	16 09 09,2		Kra.		
		e _N	13,2		(Ch)	ePg _{EZ}	05 14 44,3
		F	12			ei _{NEZ}	53,3
25.II		H = 13 ^h 58 ^m 34 ^s ; M = 2,6			Ryb.	Traces	
		(Chorzów); Dąb. (GIG):			(SK)	e _{NE}	05 14 45,3
		13 58 35,0				F	17
	Cho.	$\Delta = 16$ km			Rac.	Traces	
	(SK)	eP _{NE}	13 58 37,5		(SK)	e _{NEZ}	05 15 02
		eS _E	40,0			F	17
		eiS _N	40,4	28.II		Dąb. (GIG):	10 18 46,5
		e _Z	40,8		Cho.		
		Lm	48		(SK)	eP _{EZ}	10 18 45,4
		NEZ: 0,9 ^S ; 20 μ , 1,9 μ ,				e _N	46,4
		1,5 μ				e _E	47,8
		F	14 00			e _Z	48,1
	Kra.	$\Delta = 58$ km				F	20
	(Ch)	ePg _{NEZ}	13 58 44,8				
		eiSg _{NEZ}	52,7				

- 125 -

Dates	Station	Phases	G.M.T. h m s	Dates	Station	Phases	G.M.T. h m s
28.II	Kra.			28.II	Ryb.	$\Delta = 42$ km	
(suite)	(Ch)	eiP _{gE}	10 18 55,3		(SK)	e _E	15 07 23,4
		ei _N	19 01,8			eiSg _{NE}	26,7
		e _{EZ}	02,7			ei _N	29,3
28.II		$\varphi = 50^{\circ}23,5'$; $\lambda = 18^{\circ}53,0'$;				ei _{NE}	31,4
		H = 15 ^h 07 ^m 13,4 ^s ; M = 2,6				F	10
		(Chorzów), 2,5 (Kraków);			Rac.		
		Byt.: eiP _E 15 07 15,2;			(SK)	e _{NE}	15 07 35,0
		Zab.: eP _E 15 07 16,0;				e _E	41,7
		Dąb. (GIG): 15 07 19,9				e _N	43,6
	Cho.	$\Delta = 15$ km				F	10
	(SK)	iP _{NEZ}	15 07 16,7		Kra.	$\Delta = 83$ km	
		i _E	18,7		(SKM)	eiP _{gNZ} , ePg _E	15 07 28,4
		Lm	24,7			e _E	39,0
		E: 0,9 ^S ; 3,7 μ				iSg _N , eiSg _Z	39,4
		Lm	26,7		(Ch)	Lm	08 10,3
		NZ: 0,9 ^S ; 4,6 μ , 1,8 μ					NZ: 1,2 ^S ; 1,0 ^S ; 0,04 μ ,
		F	08				0,04 μ
1965				M A R S			1965
2.III		Dąb. (GIG):	15 59 20,0	4.III	Kra.		
	Cho.				(SKM, Ch)	ePg _{NEZ}	16 41 42,8
	(SK)	eP _{EZ}	15 59 22,1			ei _{NEZ}	50,8
		e _N	23,7		Ryb.	Z - inactive	
		e _{EZ}	25,2		(SK)	e _{NE}	16 41 43,5
		F	16 01			F	44
	Kra.				Rac.		
	(Ch)	ePg _{NEZ}	15 59 28,4		(SK)	e _{NZ}	16 41 51,0
		ei _N	35,9			e _{NE}	58,8
		ei _{EZ}	36,7			e _Z	59,0
	Ryb.	Traces				ei _N , e _E	42 12,7
	(SK)	NE	15 59-16 01			F	44
3.III		Dąb. (GIG):	12 25 41,6	4.III		Byt. (GIG):	21 30 19,5;
	Kra.					Dąb. (GIG):	21 30 25,9
	(Ch)	ePg _{NEZ}	12 25 52,8		Kra.	Traces	
4.III		Dąb. (GIG):	16 41 35,7;		(Ch)	e _{NE}	21 30 48
		Byt. (GIG):	16 41 39,9			e _{NE}	31 04
	Cho.			7.III		Dąb. (GIG):	10 36 08,5
	(SK)	iP _Z	16 41 36,5		Kra.	Traces	
		ei _{NE}	37,1		(SKM)	e _{NEZ}	10 36 22,9
		ei _{NE}	38,8			ei _E	27,6
		i _Z	39,2	7.III		H = 20 ^h 43 ^m 54 ^s ; Dąb. (GIG):	
		Lm	44,2			20 42 57,6	
		EZ: 1,0 ^S ; 3,7 μ , 2,1 μ			Cho.	$\Delta = 3$ km, Z - inactive	
		F	43				

- 126 -

Dates	Station	Phases	G.M.T. h m s	Dates	Station	Phases	G.M.T. h m s
7.III (suite)	Cho. (SK)	eiP _N e _E F	20 42 54,5 55,3 44	17.III		$\varphi = 50^{\circ}18'$; $\lambda = 18^{\circ}57'$; H = 12 ^h 06 ^m 00 ^s ; M = 2,4 (Chorzów); Byt.: eP _{NE} 12 06 02,2	
	Kra. (Ch)	$\Delta = 69$ km ePg _E eSg _{NEZ}	20 43 06,5 15,7		Cho. (SK)	$\Delta = 3$ km eP _Z eP _E Lm	12 06 01,1 01,3 07,4
	Ryb. (SK)	Traces NE	20 43-45			EZ: 0,9 ^s ; 2,0 μ , 1,5 μ F 07	
14.III		Dąb. (GIG): 04 18 49,2; Byt. (GIG): 04 19 - traces			Kra. (Ch)	$\Delta = 75$ km ePg _{EZ} eSg _{EZ}	12 06 13,6 23,6
	Kra. (SKM)	Traces i _N , e _{NZ} ei _E	04 19 05,0 11,7		Ryb. (SK)	Traces NEZ	12 06-08
15.III		H = 02 ^h 03 ^m 49,5 ^s ; M = 2,2 (Chorzów); Byt. (GIG): 02 03 51; Dąb. (GIG): 02 03 54,9			Rac. (SK)	Traces NEZ	12 06-09
	Cho. (SK)	$\Delta = 12$ km iP _Z eP _{NE} ei _{NE} e _Z Lm	02 03 52,2 52,5 54,0 54,3 59,1	18.III		$\varphi = 50^{\circ}23,5'$; $\lambda = 18^{\circ}54,0'$; H = 12 ^h 19 ^m 24,7 ^s ; M = 2,3 (Chorzów); Byt. (GIG): eP _E 12 19 26,1; Zab. (GIG): eP _E 12 19 27,5; Dąb. (GIG): 12 19 31,7	
		Z: 0,9 ^s ; 0,9 μ F 05			Cho. (SK)	$\Delta = 13$ km eP _{NEZ} ei _N , e _Z Lm	12 19 27,6 28,9 33
	Kra. (Ch)	$\Delta = 83$ km ePg _{EZ} e _{EZ} eiSg _{EZ}	02 04 04,5 14,0 15,5			Z: 0,9 ^s ; 1,0 μ Lm 34 E: 0,8 ^s ; 1,5 μ F 21	
	Rac. (SK)	Traces Z	02 04-06		Kra. (Ch)	$\Delta = 82$ km ePg _{EZ} eSg _{EZ}	12 19 39,7 50,6
16.III		Byt. (GIG): 07 33 40,1		19.III		Dąb. (GIG): 08 00 50,9	
	Cho. (SK)	eiP _Z ei _{NE} i _Z i _E Lm	07 33 39,9 40,4 41,5 41,9 45,7		Kra. (Ch)	Traces eSg _{EZ}	
		Z: 1,0 ^s ; 3,1 μ F 35				08 01 09,5	
	Kra. (Ch)	ePg _{NEZ} Lm	07 33 53,3 34 30,7	25.III		Dąb. (GIG): 01 19 14,5	
		EZ: 1,1 ^s ; 0,06 μ , 0,08 μ			Kra. (SKM)	ePg _{NE} ei _Z ei _N i _E	01 19 24,6 25,3 32,3 33,8
				26.III		Dąb. (GIG): 04 14 11,3	

- 127 -

Dates	Station	Phases	G.M.T. h m s	Dates	Station	Phases	G.M.T. h m s
26.III (suite)	Cho. (SK)	eP _{NEZ} i _E i _{NZ} Lm	04 14 06,9 08,2 08,9 10	27.III	Cho.	$\Delta = 4$ km iP _{NZ} , eP _E iS _Z Lm	11 44 49,9 50,9 52,5
		NEZ: 0,5 ^s ; 2,5 μ , 2,0 μ 2,0 μ F 15				Z: 1,0 ^s ; 5,5 μ Lm 53 NE: 1,0 ^s ; 5,5 μ , 6,0 μ F 46	
	Kra. (SKM)	Traces eiSg _{NEZ}	04 14 26,7		Kra. (SKM)	$\Delta = 71$ km ePg _{NEZ} eiSg _{NEZ}	11 45 01,6 11,1
	Ryb. (SK)	Traces NEZ	04 14-16		(Ch)	Lm	40,5
27.III		$\varphi = 50^{\circ}15,5'$; $\lambda = 18^{\circ}59,0'$; H = 11 ^h 44 ^m 48,5 ^s ; M = 2,3 (Chorzów), 2,6 (Kraków); Dąb.: eP _{EZ} 11 44 52,3; Byt. (GIG): 11 44 52,8; Zab. (GIG): 11 44 53,8				NEZ: 1,2 ^s ; 1,3 ^s , 1,0 ^s ; 0,06 μ , 0,09 μ , 0,07 μ	
					Ryb. (SK)	Traces e _N ei _{NZ} F	11 45 04,1 10 47
					Rac. (SK)	Traces NEZ	11 45-47
1965	A V R I L						1965
2.IV		$\varphi = 50^{\circ}21'$; $\lambda = 18^{\circ}51'$; H = 20 ^h 54 ^m 24,8 ^s ; M = 2,7 (Chorzów), 3,0 (Kraków); Byt. (GIG): 20 54 26,2; Zab.: eP _E 20 54 26,3; Dąb. (GIG): 20 54 30,7		2.IV	Rac.	$\Delta = 56$ km. Traces, NZ - forte ag. mi.	
					(SK)	eiSg _E ei _E F	20 54 42,4 45,7 57
	Cho. (SK)	$\Delta = 13$ km, N - inactive eiP _{EZ} e _{EZ} Lm	20 54 27,8 29,8 34	4.IV		Byt. (GIG): 08 14 43,0; Dąb. (GIG): 08 14 46,8	
		EZ: 1,0 ^s ; 4,0 μ , 2,5 μ F 56			Cho. (SK)	N - inactive eP _{EZ} F	08 14 46,0 16
	Ryb. (SK)	Traces ei _E ei _N , e _Z ei _N F	20 54 33,5 34,1 37,1 57		Kra. (SKM)	Traces e _{EZ}	08 14 58,4
	Kra. (Ch)	$\Delta = 83$ km ePg _{NZ} , iP _{gE} iSg _E , eiSg _Z Lm	20 54 39,8 50,8 55 21,6	6.IV		Dąb. (GIG): 14 08 53	
		Z: 1,5 ^s ; 0,19 μ Lm 22,6 NE: 1,2 ^s ; 1,1 ^s ; 0,05 μ , 0,07 μ			Cho. (SK)	eiP _{NZ} , eP _E Lm	14 08 48,3 50
						N: 0,9 ^s ; 4,0 μ Lm 51 Z: 0,9 ^s ; 1,5 μ F 10	
					Kra. (SKM)	Traces, NE - forte ag. mi. e _Z e _Z	14 08 58,8 09 13,1

- 128 -

Dates	Station	Phases	G.M.T. h m s	Dates	Station	Phases	G.M.T. h m s
9.IV		H = 11 ^h 27 ^m 30,8 ^s ; M = 1,9 (Chorzów); Zab. (GIG): 11 27 31,7; Dąb. (GIG): 11 27 35,0		14.IV	Kra.	Lm NE: 1,7 ^s ; 0,17 μ , 0,17 μ	19 36 24,8
Cho.	$\Delta = 3$ km				Ryb. (SK)	Forte ag.mi. Lm Z: 1,3 ^s ; 1,3 μ	19 36 29,1
(SK)	iP _{NZ} , eIP _E	11 27 31,4				Lm E: 1,3 ^s ; 0,8 μ	30,5
Lm	EZ: 0,9 ^s ; 3,0 μ , 3,0 μ	34				F 39	
Lm	N: 1,0 ^s ; 3,5 μ	36	14.IV		Dąb. (GIG): 21 21 52,5		
F		29		Kra. (SKM)	Traces eiSg _{EZ}	21 22 10	
Kra.	$\Delta = 70$ km		14.IV		H = 22 ^h 08 ^m 55,2 ^s ; M = 2,3 (Chorzów); Dąb. (GIG): 22 08 45,2		
(SKM)	eiP _{GE} , eP _{gz}	11 27 43,6			Cho. $\Delta = 9$ km. La correction de l'horloge est incertaine		
	eiSg _N	52,7			(SK)	NEZ S - P = 1,7 ^s	22 08-10
iSg _E , eSg _z		53,0				L _m - P = 4,5 ^s EZ: 1,0 ^s ; 2,0 μ , 1,6 μ	
Rac. (SK)	Traces e _N , ei _{EZ} F	11 28 00,3 30			Kra. (Ch)	$\Delta = 69$ km eiP _{GE} , eP _{gz} eSg _{NZ} , iSg _E	22 08 55,2 09 04,5
Ryb. (SK)	Traces. Forte ag.mi. NEZ	11 27-29		15.IV		Dąb. (GIG): 12 38 52,5	
12.IV		Dąb. (GIG): 22 38 06,7			Kra. (SKM)	Traces ei _{NZ} , i _E	12 39 05
	Kra. (Ch)	e _E ei _{EZ}	22 38 14,7 23,7	15.IV		$\varphi = 50^{\circ}24'$; $\lambda = 18^{\circ}53'$; H = 21 ^h 03 ^m 55,7 ^s ; Byt.: eP _E 21 03 57,1; Dąb. (GIG): 21 04 00,7	
14.IV		H = 19 ^h 35 ^m 37 ^s ; M = 2,5 (Chorzów), 2,7 (Kraków); Byt. (GIG): 19 35 36,0; Zab. (GIG): 19 35 38,2; Dąb. (GIG): 19 35 41,4			Ryb. (SK)	$\Delta = 42$ km eiSg _E	21 04 09,0
Cho.	$\Delta = 9$ km. La correction de l'horloge est incertaine					ei _N e _z F	09,4 12,5 06
(SK)	NEZ	19 35-37			Kra. (SKM)	$\Delta = 84$ km eP _{GEZ} eiSg _{NEZ}	21 04 10,9 22,0
	S-P = 1,6 ^s L _m - P = 7 ^s NEZ: 0,9 ^s ; 3,5 μ , 5,5 μ , 2,5 μ				Rac. (SK)	Traces NEZ	21 04-06
Rac. (SK)	e _{EZ} ei _{NE} eL _{NEZ} F	19 35 47,5 58,5 36 06 39		16.IV		Dąb. (GIG): 21 37 09,5	
Kra. (Ch)	$\Delta = 71$ km eP _{GEZ} eiSg _{NE} , eSg _z	19 35 50,0 59,5			Kra. (SKM)	Traces e _z eL _{NEZ}	21 37 23,6 53

- 129 -

Dates	Station	Phases	G.M.T. h m s	Dates	Station	Phases	G.M.T. h m s
17.IV		Dąb. (GIG): 18 56 13,4		24.IV	Kra. (SKM)	Traces ei _N e _{EZ} eL _{NEZ}	15 52 12,0 12,4 35
	Kra. (SKM)	e _{EZ} eiSg _{NEZ}	18 56 24,4 32,4		Ryb. (SK)	Traces NEZ	15 52-54
18.IV		$\varphi = 50^{\circ}21'$; $\lambda = 19^{\circ}04'$; H = 18 ^h 54 ^m 14,4 ^s ; M = 2,4 (Chorzów); Dąb. (GIG): 18 54 17,8; Zab. (GIG): 18 54 - traces		24.IV		Dąb. (GIG): 17 44 10,5	
	Cho. (SK)	$\Delta = 10$ km iP _N , eiP _Z i _{NEZ} Lm	18 54 16,8 17,8 20		Cho. (SK)	eP _Z eP _{NE} ei _{NZ} , e _E Lm	17 44 10,3 10,5 12,5 19
		NEZ: 0,7 ^s ; 2,5 μ , 2,5 μ , 1,5 μ				NE: 0,7 ^s ; 1,5 μ , 2,0 μ	45
	F	55			Kra. (SKM)	Traces eP _{GEZ} e _z	17 44 20,5 29,7
	Ryb. (SK)	$\Delta = 48$ km eiSg _{NE} ei _N eL _{NE}	18 54 29,4 34,2 39		Rac. (SK)	Traces NRZ	17 44-46
	Kra. (SKM)	$\Delta = 71$ km eP _{gz} eiSg _N , eSg _z	18 54 27,4 36,9	29.IV		Dąb. (GIG): 09 45 02,9; Byt. (GIG): 09 45 14,0	
23.IV		Dąb. (GIG): 12 48 55,2; Zab. (GIG): 12 49 - traces			Kra. (SKM)	Traces. Forte ag.mi. ei _{NZ}	09 45 19,5
	Cho. (SK)	eP _{NEZ} i _{NE} i _Z Lm	12 48 52,3 53,8 54,1 55	29.IV		H = 15 ^h 28 ^m 17,5 ^s ; Byt. (GIG): 15 28 18,5; Dąb. (GIG): 15 28 22,1	
		NE: 0,9 ^s ; 2,0 μ , 2,5 μ			Kra. (SKM)	$\Delta = 81$ km eP _{gz} eiSg _{NEZ}	15 28 32,2 42,5
	F	50		29.IV		Zab. (GIG): 17 46 38,4; Dąb. (GIG): 17 46 48,7	
	Kra. (SKM)	Traces, forte ag.mi. e _{EZ} ei _{NE} , e _Z	12 49 03,1 13,1		Kra. (SKM)	Traces e _z eL _{NEZ}	17 47 12,5 32
	Ryb. (SK)	Traces N	12 49-51	30.IV		H = 05 ^h 23 ^m 24,7 ^s ; M = 1,8 (Chorzów); Zab. (GIG): 05 23 29,8	
24.IV		Byt. (GIG): 15 51 54,4; Dąb. (GIG): 15 51 55,4			Cho. (SK)	$\Delta = 4$ km eP _{NEZ} iSg _E , eiS _Z ei _N Lm	05 23 26,1 27,1 27,7 29
	Cho. (SK)	eiP _N , iP _{EZ} Lm	15 51 52,5 57			NEZ: 0,9 ^s ; 3,5 μ , 2,5 μ , 1,5 μ	
		NEZ: 1,0 ^s ; 2,6 μ , 2,5 μ , 2,0 μ					
	F	53					

- 130 -

Dates	Station	Phases	G.M.T. h m s	Dates	Station	Phases	G.M.T. h m s
30.IV. (suite)	Kra. (Ch)	$\Delta = 75$ km ePg _{EZ} e _Z	05 23 38,4 43,2	30.IV	Kra. Ryb. (SK)	eSg _{EZ} Traces NEZ	05 23 48,4 05 23-25
1965 M A I 1965							
1.V		H = 10 ^h 52 ^m 27,4 ^s ; Dąb. (GIG): 10 52 28,8		5.V	Cho. (SK)	$\Delta = 13$ km eP _N , eiP _{EZ} eS _N iS _Z Lm NEZ: 0,8 ^s ; 2,0 μ , 2,0 μ , 2,0 μ	15 32 31,9 33,9 34,1 36
	Kra. (Ch)	$\Delta = 63$ km ePg _{NZ} eSg _N eSg _{EZ}	10 52 39,0 47,3 47,5		Kra. (Ch)	$\Delta = 80$ km ePg _{NEZ} e _{NZ} eSg _Z i _E	15 32 43,7 52,7 54,4 55,0
2.V		Byt. (GIG): 05 42 59,2			Ryb. (SK)	Traces NE	15 32-34
	Cho. (SK)	eP _{EZ} ei _E ei _N , e _Z Lm NEZ: 0,9 ^s ; 2,0 μ , 1,5 μ , 1,0 μ	05 42 49,5 52,6 52,9 59		Rac. (SK)	Traces NEZ	15 32-35
	F		44				
	Kra. (SKM)	ePg _E , eiP _{EZ} ei _{NEZ} e _{EZ} , ei _N ei _{NEZ}	05 42 55,8 56,8 43 03,8 04,8	5.V		H = 21 ^h 18 ^m 04,4 ^s ; Byt. (GIG): 21 18 04,4; Dąb. (GIG): 21 18 09,7	
5.V		$\varphi = 50^{\circ}20'$; $\lambda = 18^{\circ}52'$; H = 00 ^h 55 ^m 42,2 ^s ; M = 2,5 (Kraków); Bobrek: iP _N , eP _E 00 55 43,4; Byt.: eP _E 00 55 43,8; Dąb.: eP _{EZ} 00 55 47,3			Cho. (SK)	$\Delta = 11$ km eP _{EZ} eP _N eiS _E eiS _N F	21 18 06,6 06,9 08,3 08,7 19
	Cho. (SK)	$\Delta = 10$ km eiP _Z iP _N , eiP _E F	00 55 44,7 44,9 57		Kra. (SKM)	$\Delta = 82$ km ePg _{NEZ} eiSg _{NEZ}	21 18 18,8 29,3
	Kra. (Ch)	$\Delta = 82$ km ePg _{NZ} , eiP _E eiSg _{EZ} e _{NEZ} Lm E: 1,2 ^s ; 0,06 μ	00 55 57,1 56 08,0 11,0 37,5	6.V		Dąb. (GIG): 03 23 59,5	
	Lm		38,3		Kra. (SKM)	Traces eSg _{NZ} ei _E e _E	03 24 18,5 19,2 27,3
5.V		H = 15 ^h 32 ^m 29 ^s ; M = 2,7 (Chorzów); Zab.: eP _E 15 32 30,5; Dąb. (GIG): 15 32 33,9		6.V		$\varphi = 50^{\circ}22'$; $\lambda = 18^{\circ}52'$; H = 04 ^h 59 ^m 04,5 ^s ; M = 2,4 (Chorzów); Zab. (GIG): 04 59 05,1; Byt. (GIG): 04 59 06,5; Dąb. (GIG): 04 59 09,7	

- 131 -

Dates	Station	Phases	G.M.T. h m s	Dates	Station	Phases	G.M.T. h m s
6.V (suite)	Cho. (SK)	$\Delta = 13$ km eP _{NEZ} i _{EZ} Lm EZ: 1,0 ^s ; 2,0 μ , 1,5 μ F	04 59 07,5 10,1 16	7.V	Kra. (Ch)	$\Delta = 76$ km ePg _{EZ} ei _{NEZ} eSg _{NE} ei _Z Lm NEZ: 1,2 ^s ; 0,15 μ , 0,13 μ	01 07 06,3 07,3 16,4 16,8 43,6
	Ryb. (SK)	$\Delta = 37$ km eiS _E ei _N ei _Z F	04 59 16,4 17,2 22,5		Lm		44,6
	Kra. (Ch)	$\Delta = 83$ km ePg _{NEZ} e _{NEZ} iSg _N e _{EZ}	04 59 19,5 29,5 30,5 31,0	8.V		H = 10 ^h 26 ^m 36,7 ^s ; M = 2,8 (Chorzów); Dąb. (GIG): 10 26 42,0; Byt. (GIG): 10 26 43,8	
	Rac. (SK)	Traces NEZ	04 59-05		Cho. (SK)	$\Delta = 11$ km eP _{NEZ} Lm NEZ: 0,6 ^s ; 2,5 μ , 4,5 μ , 3,5 μ	10 26 39,3 44
6.V		Dąb. (GIG): 23 33 11,1			F		28
	Cho. (SK)	eP _Z ei _E F	23 33 13,5 17,2 34		Kra. (SKM)	$\Delta = 75$ km ePg _Z eSg _Z	10 26 50,4 27 00,4
	Kra. (Ch)	ePg _E e _N e _{EZ}	23 33 20,0 29,0 29,4		Rac. (SK)	Traces NEZ	10 27-29
7.V		$\varphi = 50^{\circ}23'$; $\lambda = 18^{\circ}59'$; H = 01 ^h 07 ^m 52,5 ^s ; M = 3,0 (Chorzów), 3,1 (Kraków); Byt.: eP _E 01 06 54,3; Zab.: P _E 01 06 55,8; Dąb. (GIG): 01 06 57,0		8.V		Byt. (GIG): 11 10 22,9; Dąb. (GIG): 11 10 27,3	
	Cho. (SK)	$\Delta = 11$ km iP _{NE} , eiP _Z Lm NEZ: 0,7 ^s ; 6,0 μ , 8,0 μ F	01 06 55,2 58		Kra. (SKM)	Traces e _Z	11 10 47,2
	Ryb. (SK)	$\Delta = 45$ km eSg _Z ei _{NE} ei _E Lm N: 1,1 ^s ; 0,9 μ	01 07 06,7 07,6 11,0 29,4	8.V		H = 20 ^h 57 ^m 26,2 ^s ; Byt. (GIG): 20 57 27,6; Dąb. (GIG): 20 57 31,3	
	Lm		30,5		Kra. (SKM)	$\Delta = 75$ km ePg _{NE} eSg _{NEZ}	20 57 39,9 49,9
	F		09	9.V		Dąb. (GIG): 05 55 13,3	
					Kra. (SKM)	Traces e _{NE} eiSg _{NEZ}	05 55 22,8 30,3
				10.V		$\varphi = 50^{\circ}16'$; $\lambda = 19^{\circ}10'$; H = 10 ^h 52 ^m 20,5 ^s ; M = 2,7 (Chorzów), 2,5 (Kraków); Dąb. (GIG): 10 52 23,4; Byt. (GIG): 10 52 27,7	

- 132 -

Dates	Station	Phases	G.M.T. h m s	Dates	Station	Phases	G.M.T. h m s
10.V (suite)	Cho. (SK)	$\Delta = 13$ km e _i P _N , i _P E _Z i _S Z Lm NEZ: 1,0 ^s ; 4,5 μ , 3,5 μ , 3,0 μ F	10 52 23,5 25,7 30 54	12.V	Kra.	Lm NEZ: 1,0 ^s ; 0,05 μ , 0,05, 0,08 μ	08 33 41,4
	Kra. (Ch)	$\Delta = 59$ km e _P G _{NZ} e _i S _G E _Z Lm Z: 1,0 ^s ; 0,07 μ	10 52 31,4 39,4 53 12,5 54	12.V.		$\varphi = 50^{\circ}20'$; $\lambda = 18^{\circ}54'$; H = 14 ^h 51 ^m 15,2 ^s ; M = 3,3 (Kraków), 3,0 (Chorzów); Byt. (GIG): 14 51 15,2; Bobrek: e _P E 14 51 15,5; Zab.: e _P E 14 51 17,4; Dąb.: e _i S _{NZ} 14 51 23,0	
	Ryb. (SK)	$\Delta = 49$ km e _i S _G NE e _i NZ Lm E: 1,0 ^s ; 1,5 μ Lm NZ: 1,0 ^s ; 1,3 μ , 0,8 μ F	10 52 35,9 43,5 53,9 54,5 55	Cho.	$\Delta = 10$ km. La correction de l'horloge est in- certaine (SK)	S - P = 1,8 ^s Lm - P = 5 ^s NEZ: 1,1 ^s ; 6,0 μ , 10,5 μ , 8,7 μ	
	Rac. (SK)	e _i N, e _E F	10 52 38,1 55	Rac. (SK)	$\Delta = 56$ km e _P G _{NEZ} e _i E, e _Z F	14 51 25,5 27,9 54	
11.V		H = 23 ^h 49 ^m 18 ^s ; Byt. (GIG): 23 49 19,0; Dąb. (GIG): 23 49 23,8		Kra. (Ch)	$\Delta = 79$ km e _i P _G E, e _P G _Z e _i N e _i S _G E _Z Lm NE: 1,2 ^s ; 0,23 μ , 0,12 μ Lm Z: 1,2 ^s ; 0,34 μ	14 51 29,5 30,5 14 51 40,0 52 10,9 11,5	
	Cho. (SK)	$\Delta = 11$ km e _P E _Z e _i N e _E Z F	23 49 20,6 21,8 22,2 51	Ryb. (SK)	forte ag. ml. Lm NE: 1,0 ^s ; 1,2 ^s ; 0,9 μ , 1,1 μ F	14 52 07,1 54	
	Kra. (Ch)	$\Delta = 81$ km e _P G _E Z e _S G _E Z	23 49 32,5 43,2	15.V		Zab. (GIG): 04 27 52,3; Byt. (GIG): 04 27 55,2; Dąb. (GIG): 04 27 57,5	
12.V		Byt. (GIG): 08 33 07,5		Cho. (SK)	e _P E _Z i _N Lm NEZ: 1,0 ^s ; 2,0 μ , 2,0 μ , 1,5 μ F	04 27 54,1 56,1 29	
	Cho. (SK)	e _P NEZ i _N Lm NEZ: 1,0 ^s ; 2,0 μ , 2,0 μ , 1,5 μ F	08 33 04,6 09,5 14 34	Kra. (SKM)	Traces e _P G _Z e _Z e _Z	04 28 06,7 16,5 26,5	
	Kra. (Ch)	e _P G _{NE} , e _i P _G Z e _N , e _i E i _Z	08 33 11,0 18,6 19,6				

- 133 -

Dates	Station	Phases	G.M.T. h m s	Dates	Station	Phases	G.M.T. h m s
15.V (suite)	Ryb. (SK)	Z - illisible e _N e _i N e _E F	04 28 07,4 10,0 13,7 29	18.V	Ryb. (SK)	e _N e _Z F	03 46 16,0 27,1 48
15.V		$\varphi = 50^{\circ}23'$; $\lambda = 18^{\circ}59'$; H = 12 ^h 39 ^m 51,8 ^s ; M = 2,9 (Chorzów); Byt.: i _P E 12 39 52,5; Zab.: e _P E 12 39 55,2; Dąb.: e _P E 12 39 55,7		Rac. (SK)	Traces NEZ		03 46-48
	Cho. (SK)	$\Delta = 10$ km e _i P _Z , e _P E e _P N i _{NE} , e _i Z Lm NE: 0,9 ^s ; 7,0 μ , 5,0 μ Lm Z: 1,0 ^s ; 6,5 μ F	12 39 54,2 54,5 55,3 58 59 40	18.V		Byt. (GIG): 07 55 47,8; Dąb. (GIG): 07 55 50,2	
	Kra. (SKM)	$\Delta = 76$ km e _i P _G Z e _i S _G Z Lm NEZ: 1,3 ^s ; 0,09 μ , 0,07 μ , 0,08 μ	12 40 05,6 15,7 51	Cho. (SK)	N - inactive i _P E _Z Lm EZ: 1,1 ^s ; 3,5 μ , 2,0 μ F		07 55 47,6 51 57
	Ryb. (SK)	e _i Z e _i Z F	12 40 06,6 08,4 42	Kra. (Ch)	e _P G _{NEZ} e _Z e _Z		07 55 58,6 09,0 10,6
	Rac. (SK)	$\Delta = 64$ km e _Z e _i S _G NE e _L NEZ F	12 40 11,0 11,6 28 43	Ryb. (SK)	Traces NEZ		07 56-57 07 56-58
18.V		Dąb. (GIG): 03 45 57,4; Byt. (GIG): 03 46 - traces		18.V		Dąb. (GIG): 16 42 38,1	
	Cho. (SK)	N - inactive e _P E _Z i _E Z Lm EZ: 0,8 ^s ; 2,0 μ , 1,5 μ F	03 45 57,1 58,6 02 47	Kra. (SKM)	e _N Z e _N Z e _N Z		16 42 49,7 51,5 59,7 EZ: 1,1 ^s ; 1,0 ^s ; 0,03 μ , 0,08 μ Lm 43 02,7 N: 1,0 ^s ; 0,02 μ
	Kra. (SKM)	e _P G _N e _P G _E Z e _i N i _E , e _i Z	03 46 05,6 05,8 13,9 14,8	19.V		Dąb. (GIG): 09 25 01,4	
				Kra. (SKM)	e _N Z e _N Z e _N Z		09 25 11 19 30
				20.V		Byt. (GIG): 03 18 17,4; Dąb. (GIG): 03 18 20,4	
				Kra. (SKM)	Traces e _i S _G E, e _S G _Z e _i N		03 18 39,1 48,5
				21.V		H = 20 ^h 58 ^m 42,6 ^s ; M = 2,0 (Chorzów); Dąb. (GIG): 20 58 54,8	

- 136 -

Dates	Station	Phases	G.M.T. h m s	Dates	Station	Phases	G.M.T. h m s
30.V		H = 12 ^h 08 ^m 12 ^s ; M = 2,4 (Chorzów); Dąb. (GIG): 12 08 12,3		30.V	Cho. (SK)	e _Z e _N ⁱ , e _E ⁱ Lm NEZ: 0,8 ^s ; 2,5 ^μ , 4,5 ^μ , 2,0 ^μ	14 47 54,3 54,8 58
	Cho. (SK)	Δ = 15 km eP _{EZ} eP _N e _E ⁱ Lm E: 0,9 ^s ; 1,1 ^μ Lm N: 0,9 ^s ; 1,4 ^μ F	12 08 15,3 15,7 19,5 24,2 25,0 10		Kra. (SKM)	eSg _{NEZ} eL _{NEZ}	14 48 13,7 38
	Kra. (SKM)	Δ = 59 km eP _{NEZ} iSg _{EZ} e _{NEZ}	12 08 23,0 31,0 48,5	30.V	Byt. (GIG): Dąb. (GIG):		15 06 40,9; 15 06 43,9
	Ryb. (SK)	Traces NEZ	12 08-10		Cho. (SK)	eP _{NEZ} i _{NE} F	15 06 39,9 41,1 08
30.V		Byt. (GIG): 14 47 51,0; Dąb. (GIG): 14 47 55,0			Kra. (SKM)	Traces e _{NEZ}	15 06 59,5
					Ryb. (SK)	Traces NEZ	15 06-08

1965 J U I N 1965

1.VI		H = 02 ^h 52 ^m 09,5 ^s ;		1.VI	Ryb. (SK)	Traces NEZ	15 05-07
	Cho. (SK)	e _Z e _N F	02 52 16,3 16,5 53	3.VI		Dąb. (GIG):	02 53 11,1
	Kra. (SKM)	Δ = 54 km eP _{NEZ} e _{iSg} _{NEZ}	02 52 19,5 26,8		Cho. (SK)	eP _{EZ} i _N e _Z e _{iNE} F	02 53 16,7 19,5 19,7 20,8 54
1.VI		H = 15 ^h 04 ^m 56,5 ^s ; M = 2,1 (Chorzów); Zab. (GIG): 15 04 59,3; Byt. (GIG): 15 04 59,7			Kra. (SKM)	e _Z e _{iSg} _{NZ} , eSg _E	02 53 23,2 31,7
	Cho. (SK)	Δ = 6 km iP _{NE} , e _{iP} _Z iS _{NZ} , e _{iS} _E Lm NEZ: 1,1 ^s ; 3,5 ^μ , 3,5 ^μ , 2,0 ^μ F	15 04 58,1 59,3 05 02 06	4.VI		H = 15 ^h 28 ^m 30 ^s ; M = 2,2 (Chorzów); Dąb. (GIG): 15 28 33,8; Byt. (GIG): 15 28 35,7	
	Kra. (SKM)	Δ = 71 km eP _{GZ} e _{iNE} e _{iZ}	15 05 09,5 18,2 18,6		Cho. (SK)	Δ = 10 km iP _N , e _{iP} _{EZ} Lm NEZ: 0,8 ^s ; 4,5 ^μ , 2,0 ^μ , 2,0 ^μ F	15 28 32,4 38 30
					Kra. (Ch)	Δ = 75 km eP _{GZ}	15 28 43,6

- 137 -

Dates	Station	Phases	G.M.T. h m s	Dates	Station	Phases	G.M.T. h m s
4.VI (suite)	Kra. (SK)	e _{iP} _E e _{iSg} _Z e _{iSg} _E	15 28 43,8 53,6 53,9	7.VI		07 21 15,7; Zab. (GIG): 07 21 16,3; Dąb. (GIG): 07 21 19,9	
	Ryb. (SK)	e _{NE} F	15 28 50 30		Cho. (SK)	Δ = 17 km eP _N , e _{iP} _E , iP _Z e _E e _{iS} _N iS _Z Lm EZ: 1,0 ^s ; 2,5 ^μ , 1,9 ^μ Lm N: 0,9 ^s ; 3,2 ^μ F	07 21 18,2 20,1 20,7 21,1 25 29 22
5.VI		H = 10 ^h 24 ^m 04,5 ^s ; M = 2,4 (Chorzów), 2,9 (Kraków); Byt. (GIG): 10 24 04,8; Zab. (GIG): 10 24 05,0; Dąb.: eP _Z 10 24 09,1			Kra. (Ch)	Δ = 84 km, N - inactive e _{iP} _{EZ} e _{iSg} _{EZ}	07 21 29,8 40,9
	Cho. (SK)	Δ = 14 km eP _Z eP _{NE} e _E e _{iZ} Lm EZ: 1,2 ^s ; 1,4 ^s ; 2,5 ^μ , 1,8 ^μ F	10 24 07,7 08,2 10,0 10,4 15,5 25		Rac. (SK)	Traces NEZ	07 21-23
	Ryb. (SK)	Δ = 38 km e _{iS} _N e _{iZ} F	10 24 16,6 22,7 26	7.VI		φ = 50°15,0'; λ = 19°01,5'; H = 15 ^h 45 ^m 05,2 ^s ; M = 3,0 (Chorzów), 2,6 (Dąbrowa Górnica); Byt. (GIG): 15 45 07,5; Zab. (GIG): 15 45 07,6; Dąb. (GIG): 15 45 08,2, Lm _Z : 1,2 ^s ; 1,6 ^μ	
	Kra. (SKM)	Δ = 79 km e _{iP} _{GZ} eSg _Z eL _Z Lm Z: 1,2 ^s ; 0,14 ^μ	10 24 18,8 29,3 41 25 05,8		Cho. (SK)	Δ = 6 km iP _{NEZ} Lm NZ: 1,1 ^s ; 16,0 ^μ , 13,0 ^μ F	15 45 07,0 09 47
	Rac. (SK)	Traces NEZ	10 24-27		Ryb. (SK)	Δ = 39 km e _{iP} _Z e _{iEZ} Lm E: 0,8 ^s ; 0,9 ^μ Lm N: 1,3 ^s ; 1,6 ^μ F	15 45 12,7 14,5 35,7 36,1 47
7.VI		Dąb. (GIG): 03 54 51,2			Rac. (SK)	Δ = 61 km eP _{GZ} e _N e _N , e _{iZ} F	15 45 16,5 18,4 29,0 48
	Cho. (SK)	eP _{NEZ} Lm NEZ: 0,8 ^s ; 5,5 ^μ , 2,5 ^μ , 2,5 ^μ F	03 54 51 56 56		Kra. (SKM)	Δ = 69 km eP _{GZ}	15 45 17,8
7.VI		H = 07 ^h 21 ^m 14,6 ^s ; M = 2,2 (Chorzów); Byt. (GIG):					

- 138 -

Dates	Station	Phases	G.M.T. h m s	Dates	Station	Phases	G.M.T. h m s
7.VI (suite)	Kra.	eiSg _Z	15 45 27,1	9.VI	Cho.	NEZ: 0,8 ^s ; 5,0μ, 3,0μ, 2,5μ	
	Lm		55,5		F		02 55
		N: 1,2 ^s ; 0,06μ					
	Lm		56		Kra.		
		EZ: 1,2 ^s ; 0,10μ, 0,24μ			(Ch)	eiEZ	02 54 18,3
8.VI					e _N		18,5
	Dąb. (GIG):	23 19 43,4			Ryb. Traces		
	Cho. (SK)				(SK)	NEZ	02 54-55
	eP _Z		23 19 46,0	10.VI	Dąb. (GIG):	05 06 06,3	
	eiP _{NE}		46,2		Kra.		
	i _{NE}		48,4		(Ch)	ePg _N	05 06 16,7
	ei _Z		49,3		e _{EZ}		17,2
	Lm		53,0		e _Z		24,8
		Z: 1,0 ^s ; 1,1μ			iSg _E		25,7
	Lm		53,5		Ryb. Traces		
		E: 1,0 ^s ; 1,8μ			(SK)	NEZ	05 06-08
	F		21				
	Kra.			10.VI	H = 23 ^h 43 ^m 12,3 ^s ; Byt. (GIG):	23 43 12,8; Dąb. (GIG):	23 43 17,4
	(SKM)	ePg _E	23 19 52,5		Kra. Δ = 80 km		
		ei _Z	20 01,0		(SKM)	ePg _{EZ}	23 43 26,8
		ei _E	01,5		eSg _{NEZ}		37,4
	Ryb. Traces						
	(SK)	ei _N	23 20 05,8	11.VI	Byt. (GIG):	09 20 55,5;	
		F	22		Dąb. (GIG):	09 20 55,6	
	Rac. Traces				Kra. Traces		
	(SK)	NEZ	23 20-22		(Ch)	e _Z	09 21 14,6
9.VI					Ryb. Traces		
	Cho. (SK)	eP _Z	01 20 25,8		(SK)	NEZ	09 21-22
		eP _{NE}	26,1				
		e _Z	28,4	12.VI	Byt. (GIG):	04 49 28,6	
		ei _E	28,6		Cho. Faible		
		Lm	33,1		(SK)	eP _Z	04 59 32,2
		Z: 1,0 ^s ; 1,0μ			e _{NZ}		35,0
					F		05 01
	F		21		Kra. (SKM)	eiEZ	04 59 56,5
	Kra. (SKM)	e _{EZ}	01 20 33,5		Ryb. Traces		
		i _Z	42,0		(SK)	NEZ	04 59-05 01
		e _{NEZ}	21 10,0				
9.VI				13.VI	H = 06 ^h 16 ^m 19 ^s ; M = 2,4 (Chorzów); Dąb. (GIG):	06 16 23,2	
	Dąb. (GIG):	02 53 54,6;			Cho. Δ = 6 km		
	Byt. (GIG):	02 53 55,8			(SK)	iP _{NEZ}	06 16 20,8
					Lm		24
	Cho. (SK)	eP _{NZ}	02 53 56,8				
		ei _E	58,3				
		ei _{NE}	58,5				
		Lm	54 01				

- 139 -

Dates	Station	Phases	G.M.T. h m s	Dates	Station	Phases	G.M.T. h m s	
13.VI (suite)	Cho.	EZ: 0,8 ^s ; 4,5μ, 3,0μ		14.VI	Kra.			
	Lm		06 16 25		(SKM)	e _{EZ}	17 48 50,3	
		N: 0,9 ^s ; 7,7μ			e _E		52,2	
					eSg _E , eiSg _Z		49 00	
	F		17		Ryb. Traces			
					(SK)	NEZ	17 49-51	
	Kra. Δ = 75 km			15.VI	H = 00 ^h 32 ^m 37,5 ^s ; M = 2,2 (Chorzów); Byt. (GIG):			
	(SKM)	eiPg _E , ePg _Z	06 16 32,7		00 31 39,7; Dąb. (GIG):			
		eiSg _E	42,7		00 32 41,1			
		eSg _{NZ}	42,9		Cho. Δ = 6 km			
13.VI					(SK)	eP _{NEZ}	00 32 39,2	
		φ = 50°20'; λ = 19°20';			Lm		44	
		H = 14 ^h 56 ^m 26,5 ^s ; M = 2,9				NEZ: 0,9 ^s ; 3,5μ, 1,5μ,		
		(Chorzów), 3,0 (Kraków);				2,0μ		
		Zab. (GIG): 14 56 29,2;			F		33	
		Byt. (GIG): 14 56 29,6;						
		Dąb. (GIG): 14 56 30,5			Kra. Δ = 76 km			
	Cho. Δ = 7 km				(Ch)	ePg _{EZ}	00 32 51,4	
	(SK)	iP _{NZ}	14 56 28,4		eSg _{EZ}		33 01,5	
		iP _E	28,7	16.VI	Dąb. (GIG):	14 24 04,4		
		Lm	33		Cho. (SK)	eP _{NEZ}	14 24 04,6	
						ei _N	06,6	
		NEZ: 1,1 ^s ; 14,0μ,				e _Z	07,6	
		9,0μ, 10,0μ				i _E	08,0	
			58			Lm	11,6	
						Z: 1,0 ^s ; 1,1μ		
							25	
	Ryb. Δ = 44 km				Kra. (Ch)	e _{EZ}	14 24 12,7	
	(SK)	eiPg _E	14 56 34,7			e _Z	20,5	
		eiPg _N	35,0		Ryb. Traces			
		i _N , ei _Z	42,4		(SK)	NEZ	14 24-26	
		Lm	58	17.VI	H = 02 ^h 44 ^m 15,5 ^s ; Dąb. (GIG):	02 44 19,7		
						02 44 18,2		
		NE: 1,1 ^s ; 1,0 ^s ; 2,9μ;				45		
		1,6μ						
			59		Kra. Δ = 80 km			
					(Ch)	ePg _Z	02 44 30,1	
	Rac. Δ = 65 km				ePg _E		30,3	
	(M)	ePg _Z	14 56 38,4		eSg _{EZ}		40,8	
		Lm	57 27					
		NEZ: 2,0 ^s ; 0,2μ, 0,2μ,						
		0,3μ						
			59					
	Kra. Δ = 71 km							
	(SKM)	eiPg _{NE} , iP _Z	14 56 39,5 C					
		eiSg _{NEZ}	48,9					
		i _{NZ}	57 01,4					
	(Ch)	Lm	18,7					
		NEZ: 1,1 ^s , 1,3 ^s , 1,0 ^s ;						
		0,12μ, 0,22μ, 0,15μ						
14.VI								
	Dąb. (GIG):	17 48 44,1						
	Cho. (SK)	eP _{NEZ}	17 48 44,8	17.VI	Zab. (GIG):	03 09 09; Byt. (GIG):	03 09 09,6; Dąb. (GIG):	03 09 10,7
		e _Z	47,8					
		F	50					

- 140 -

Dates	Station	Phases	G.M.T. h m s	Dates	Station	Phases	G.M.T. h m s
17.VI (suite)	Cho. (SK)	eP _{NEZ} i _{NE} Lm NE: 0,5 ^S ; 2,5 μ , 4,0 μ F	03 09 07,6 08,8 12 10	19.VI	Kra. (Ch)	e _{EZ} eS _{EZ} eS _N	22 29 25,0 34,0 34,2
	Kra. (Ch)	e _{iP_{GE}} eP _{GZ} e _{EZ}	03 09 19,0 19,3 30,6		Rac. (M)	Traces e _Z e _Z F	22 29 40 30 25 31
	Ryb. (SK)	e _{iN} e _E e _Z F	03 09 18,4 19,4 20,2 11	19.VI		H = 22 ^h 43 ^m 43 ^s ; Byt. (GIG): 22 43 44,0; Zab. (GIG): 22 43 45,1; Dąb. (GIG): 22 43 48,5	
18.VI		H = 08 ^h 12 ^m 22,5 ^s ; M = 1,9 (Chorzów); Zab. (GIG): 08 12 24,0; Byt. (GIG): 08 12 25,1; Dąb. (GIG): 08 12 28,7			Kra. (Ch)	$\Delta = 84$ km eP _{GNZ} , e _{iP_{GE}} e _Z e _{iS_{GE}} , eS _{GN}	22 43 58,2 44 08,9 09,4
	Cho. (SK)	$\Delta = 7$ km eP _{NEZ} i _N , e _E Lm Z: 1,0 ^S ; 1,0 μ Lm E: 1,0 ^S ; 1,8 μ F	08 12 24,4 26,4 31,6 32,1 13	23.VI		H = 03 ^h 48 ^m 27,5 ^s ; M = 2,7 (Chorzów); Dąb. (GIG): 03 48 31,5	
	Kra. (Ch)	$\Delta = 79$ km eP _{GEZ} eS _{GEZ}	08 12 36,8 47,3		Cho. (SK)	$\Delta = 9$ km eP _{NEZ} Lm NEZ: 0,9 ^S ; 8,0 μ , 3,5 μ , 4,5 μ F	03 48 29,8 35 49
18.VI		H = 12 ^h 02 ^m 39 ^s ; Dąb. (GIG): 12 03 - traces		26.VI		Zab. (GIG): 16 48 18,5; Byt. (GIG): 16 48 22,8	
	Cho. (SK)	$\Delta = 12$ km eP _{EZ} eP _N F	12 02 41,7 42,1 04		Cho. (SK)	e _{iNE} e _Z F	16 48 25,6 25,9 49
	Kra. (Ch)	$\Delta = 62$ km eP _{GZ} eS _{GEZ}	12 02 50,4 58,8		Kra. (SKM)	e _{iS_{GEZ}} eL _Z	16 48 47 49 09
19.VI		Byt. (GIG): 22 29 10,8; Dąb. (GIG): 22 29 15,6		27.VI		H = 03 ^h 35 ^m 43,3 ^s ; Byt. (GIG): 03 35 45,5; Dąb. (GIG): 03 35 48,5	
	Cho. (SK)	iP _{NE} , e _{iP_Z} F	22 29 14,7 30				

- 141 -

Dates	Station	Phases	G.M.T. h m s	Dates	Station	Phases	G.M.T. h m s	
27.VI (suite)	Cho. (SK)	e _{NE} e _Z F	03 35 46,9 47,6 37	30.VI	Rac. (SK)	Traces, E - inactive e _N F	02 15 50,9 17	
	Ryb. (SK)	e _{iN} e _{iNE} F	03 35 52,8 54,4 38		Kra. (Ch)	$\Delta = 76$ km e _{iP_{GE}} , eP _{GZ} e _{NEZ} e _{iS_{GEZ}}	02 15 45,7 54,8 55,8	
	Kra. (Ch)	$\Delta = 80$ km eP _{GEZ} eS _{GE} e _{iS_{GZ}}	03 35 57,8 36 08,2 08,4	30.VI		H = 05 ^h 20 ^m 28 ^s ; M = 2,4 (Chorzów); Zab. (GIG): 05 20 31; Byt. (GIG): 05 20 32,1		
30.VI		$\varphi = 50^{\circ}19,5'$; $\lambda = 18^{\circ}57,0'$; H = 02 ^h 15 ^m 32 ^s ; Zab. (GIG): 02 15 33,6; Byt. (GIG): 02 15 34,8; Dąb. (GIG): 02 15 36,8			Cho. (SK)	$\Delta = 6$ km. N - inactive iP _{EZ} Lm EZ: 1,0 ^S ; 5,0 μ , 4,0 μ F	05 20 29,8 34 22	
	Cho. (SK)	$\Delta = 5$ km. N - inactive e _{iP_{EZ}} e _{iEZ} F	02 15 33,5 34,8 17		Ryb. (SK)	e _{iZ} e _{iE} e _{iE} e _{iNZ} F	05 20 36,1 37,4 40,8 43,8 23	
	Ryb. (SK)	$\Delta = 39$ km eP _{NEZ} i _N e _{iZ} Lm N: 1,3 ^S ; 0,8 μ Lm E: 1,3 ^S ; 0,6 μ F	02 15 39,5 43,3 43,6 16 02 02,4 18		Rac. (SK)	E - inactive e _{iN} e _Z F	05 20 41,5 48,0 23	
					Kra. (SKM)	$\Delta = 73$ km eP _{GEZ} e _{iS_{NEZ}}	05 20 41,3 51,0	
1965				J U I L L E T				1965
1.VII		Byt. (GIG): 10 46 - traces; Dąb. (GIG): 10 46 22,2		2.VII		(Zabrze); Zab.: eP _E 06 14 51,0, Lm _{NE} 16,0 μ , 24,0 μ ; Byt.: eP _{NE} 06 14 51,5; Dąb. (GIG): 06 14 54,7		
	Kra. (SKM)	Traces e _Z F	10 46 40,0 48		Ryb. (SK)	$\Delta = 36$ km eP _{NE} e _{NE} eS _{NEZ} e _{NZ} Lm NEZ: 1,0 ^S ; 0,7 μ , 0,6 μ , 0,3 μ F	06 14 56,3 58,3 15 01,3 02,1 14 17	
1.VII		Byt. (GIG): 12 09 38,3; Dąb. (GIG): 12 09 42,5			Kra. (SKM)	$\Delta = 79$ km eP _{GEZ}	06 15 04,0	
	Kra. (SKM)	Traces e _Z e _Z F	12 10 25,6 31,6 11					
2.VII		$\varphi = 50^{\circ}18'$; $\lambda = 18^{\circ}53'$; H = 06 ^h 14 ^m 49,6 ^s ; M = 2,6						

Dates	Station	Phases	G.M.T. h m s	Dates	Station	Phases	G.M.T. h m s
2.VII (suite)	Kra.	eSg _Z e _{NE} e _{NE} F	06 15 14,5 19,5 41,5 17	8.VII	Kra.	e _{NEZ} eSg _{NEZ} e _{EZ} F	04 32 14,4 18,4 37,9 33
2.VII	Zab. (GIG): Byt. (GIG): Dąb. (GIG):		20 45 38,5; 20 45 42,3; 20 45 45,4	8.VII	Dąb. (GIG):		11 38 10,8
Ryb. (SK)	ei _N ei _{NE} i _N , ei _{EZ} F		20 45 55,0 57,5 46 01,5 47	Kra. (SKM)	N, E - forte ag. mi. e _Z e _Z F		11 38 18,4 26,9 39
Kra. (SKM)	e _{NEZ} e _{EZ} e _{NEZ} F		20 45 55,0 46 08,0 39,0 47	9.VII	Dąb. (GIG):		10 30 09,4
Rac. (SK)	Traces NEZ		20 45-47	Kra. (SKM)	Traces e _Z e _Z F		10 30 19,2 27,2 31
3.VII	H = 21 ^h 55 ^m 04,2 ^s ; M = 2,3 (Chorzów); Dąb. (GIG):		21 53 08,8	9.VII	Dąb. (GIG):		16 16 26,3
Cho. (SK)	Δ = 6 km eP _{NZ} , eiP _E Lm NEZ: 0,8 ^s ; 2,5 ^μ , 5,0 ^μ , 2,0 ^μ		21 55 07,6 11 56	Kra. (SKM, Ch)	Traces Z		16 16-17
Kra. (SKM, Ch)	Δ = 68 km eP _{gNEZ} e _Z eSg _{NZ} e _E e _{NEZ} F		21 55 18,2 19,1 27,3 28,8 30,3 57	11.VII	Dąb. (GIG):		04 21 57,0
6.VII	Zab. (GIG): Dąb. (GIG):		19 40 - traces; 19 40 23,2	Ryb. (SK)	e _E e _{NZ} ei _N F		04 22 06,0 07,5 20,2 23
Kra. (SKM, Ch)	e _N e _{EZ} e _N F		19 40 41,8 42,7 45,7 41	Kra. (SKM, Ch)	e _{NEZ} ei _{NEZ} e _{NEZ} F		04 22 15,2 18,2 24,2 23
8.VII	H = 04 ^h 31 ^m 52,0 ^s ; Dąb. (GIG):		04 31 56,4	12.VII	H = 03 ^h 46 ^m 19,1 ^s ; Dąb. (GIG):		03 46 21,7
Kra. (SKM)	Δ = 83 km eP _{gEZ}		04 32 07,4	Kra. (Ch)	Δ = 75 km eP _{gNEZ} eiSg _{NEZ} i _{NZ} F		03 46 32,8 42,8 43,5 48
				12.VII	φ = 50°22'; λ = 18°52'; H = = 07 ^h 39 ^m 03,8 ^s ; M = 2,4 (Chorzów), 2,5 (Kraków); Zab. (GIG): 07 39 04,6; Dąb. (GIG): 07 39 11,4		
				Cho. (SK)	Δ = 13 km eS _{NEZ} ei _Z Lm EZ: 1,0 ^s ; 1,5 ^μ , 1,3 ^μ		07 39 08,6 13,6 16 40

Dates	Station	Phases	G.M.T. h m s	Dates	Station	Phases	G.M.T. h m s
12.VII (suite)	Rac. (SK)	Δ = 56 km i _E , e _Z ei _{EZ} eSg _{EZ} e _N eL _E F	07 39 15,2 18,8 21,3 22,3 43,7 42	16.VII	Kra. (SKM)	Δ = 76 km eP _{gNEZ} e _{NEZ} e _{NEZ} F	09 09 43,5 51,0 10 00,0 11
	Kra. (Ch)	Δ = 83 km iP _{gNEZ} e _{NEZ} e _{NEZ} eiSg _{NEZ} eL _{NEZ} Lm NZ: 1,0 ^s ; 0,05 ^μ , 0,05 ^μ	07 39 18,8 21,8 25,8 29,8 47 40 05 41	17.VII	Dąb. (GIG):		00 50 23,6
12.VII	Zab. (GIG): Dąb. (GIG):		14 49 02,0; 14 49 08,0	Kra. (SKM)	Traces NEZ		00 50 33,5 40,0 52
				17.VII	φ = 50°26,7'; λ = 18°59,2'; h ≈ 1 km; H = 18 ^h 49 ^m 50,1 ^s ; M = 2,3 (Chorzów), 2,4 (Kraków); Dąb.: eP _E 18 49 54,6; Zab. (GIG): 18 50 16,3		
	Kra. (SKM)	Traces NEZ	14 49-51	Cho. (SK)	Δ = 17 km eP _N , eiP _{EZ} iS _{NEZ} Lm N: 0,5 ^s ; 2,0 ^μ		18 49 53,8 56,5 58 50 01 EZ: 0,9 ^s ; 2,5 ^μ , 1,1 ^μ 51
14.VIII	H = 16 ^h 19 ^m 39,0 ^s ; M = 2,7 (Chorzów), 2,6 (Kraków); Dąb. (GIG):		16 19 42,3 43,8 44,8 47 48 20	Kra. (Ch)	Δ = 81 km e _Z e _N , ei _E eSg _{NEZ} e _Z Lm NE: 1,4 ^s ; 0,07 ^μ , 0,03 ^μ		18 50 04,3 04,8 15,8 16,3 42 52
				17.VII	Dąb. (GIG):		22 16 42,6
	Kra. (Ch)	Δ = 83 km eiP _{gNEZ} eiSg _{NEZ} Lm NEZ: 1,2 ^s ; 1,0 ^s ; 0,8 ^s ; 0,07 ^μ , 0,04 ^μ , 0,03 ^μ	16 19 54,0 20 05,0 47 21	Kra. (Ch)	N, E - forte ag. mi. e _Z e _Z F		22 16 58,8 17 00,8 18
16.VII	H = 09 ^h 09 ^m 29,6 ^s ; Dąb. (GIG):		09 09 42,7	19.VII	φ = 50°21'; λ = 19°01'; h = 6 km; H = 13 ^h 23 ^m 32,8 ^s ; M = 2,6 (Kraków), 2,7 (Chorzów), 2,5 (Dąbrowa Górnica); Dąb.: eP _E 13 23 36,8, Lm _Z 1,0 ^s ; 1,2 ^μ ; Byt.: eS _E 13 23 38,0		
	Rac. (SKM)	Δ = 62 km, N - illisible eP _{gZ} eSg _Z e _E F	09 09 40,9 49,2 10 13,5 12	Cho. (SK)	Δ = 7 km i _N , ei _{EZ} Lm		13 23 36,5 38,5

- 144 -

Dates	Station	Phases	G.M.T. h m s	Dates	Station	Phases	G.M.T. h m s
19.VII (suite)	Cho.	NEZ: 1,0 ^s ; 9,0 μ , 5,0 μ , 5,5 μ	13 24	22.VII	Dąb. (GIG): 01 43 29,8		
	F			Kra.	(Ch) e ^e NEZ	01 43 46,7	
	Kra.	$\Delta = 75$ km			e ^e EZ	48,0	
	(Ch)	eiPg _{NEZ}	13 23 46,5		e ^e EZ	44 13,0	
		eiSg _{NEZ}	56,5		F	45	
	Lm		24 26	23.VII	H = 21 ^h 56 ^m 59 ^s ; M = 2,6 (Chorzów), 2,5 (Kraków); Dąb. (GIG): 21 57 01,4		
		NEZ: 1,3 ^s ; 1,1 ^s ; 1,1 ^s ; 0,09 μ , 0,11 μ , 0,06 μ		Cho.	$\Delta = 6$ km		
	F		25	(SK)	ePg _{NEZ}	21 57 01,0	
	Rac.	Faible			iSg _{NEZ}	02,2	
	(SK)	e ^e Z	13 23 47,5	Lm		05	
		e ^e NZ	24 16,0		NEZ: 0,8 ^s ; 9,0 μ , 5,5 μ , 4,0 μ		
		e ^e E	20,0	F		58	
	F		26	Kra.	$\Delta = 67$ km		
20.VII	Dąb. (GIG): 04 15 06,7			(Ch)	ePg _{NEZ}	21 57 11,7	
Cho.	(SK) e ^e NEZ	04 15 07,0			eiSg _{NEZ}	20,7	
	Lm		11	Lm		56	
		NEZ: 0,8 ^s ; 4,0 μ , 3,0 μ , 2,0 μ		F		59	
	F		16	Ryb.	Traces		
	Kra.			(SK)	NEZ	21 57-59	
	(SKM)	e ^e EZ	04 15 14,4	Rac.	Traces		
		e ^e NEZ	26,8	(SK)	NEZ	21 57-59	
	F		17	25.VII	Dąb. (GIG): 07 24 48,3		
21.VII	H = 18 ^h 38 ^m 27,8 ^s ; M = 2,4 (Chorzów); Dąb. (GIG): 18 38 32,3			Kra.	Faible		
Cho.	$\Delta = 9$ km			(Ch)	e ^e NEZ	07 24 58,0	
(SK)	eiS _{NE} , iS _Z	18 38 31,4			e ^e NEZ	25 07,1	
	Lm		33	F		26	
		NEZ: 1,0 ^s ; 4,0 μ , 4,0 μ , 2,0 μ		26.VII	Kra.	Traces	
	F		40	(Ch)	e ^e Z	15 43 20,2	
Ryb.					e ^e Z	31,2	
(SK)	ei ^e EZ	18 38 35,3		F		44	
	e ^e Z	40,0		Rac.	N, E - traces		
	ei ^e NE	44,3		(SK)	e ^e Z	15 43 22,0	
	F		39		e ^e Z	34,0	
	Kra.	$\Delta = 73$ km		F		45	
	(Ch)	ePg _{EZ}	18 38 41,2	28.VII	Dąb. (GIG): 00 42 46,5		
		eSg _{NEZ}	51,0	Cho.	Z - illisible		
		e ^e Z	53,7	(SK)	e ^e N, ei ^e E	00 42 48,4	
	F		40	Lm		50	
					NE: 0,7 ^s ; 3,5 μ , 2,0 μ		
				F		44	

- 145 -

Dates	Station	Phases	G.M.T. h m s	Dates	Station	Phases	G.M.T. h m s	
28.VII (suite)	Kra.	Traces		31.VII	H = 12 ^h 32 ^m 37,0 ^s ; M = 2,8 (Chorzów); Dąb. (GIG): 12 32 41			
	(Ch)	e ^e EZ	00 42 57,1	Cho.	$\Delta = 10$ km			
		F	44	(SK)	eP _{NE} , iP _Z	12 32 39,5		
	Ryb.	Traces			ei ^e E	40,7		
	(SK)	NE	00 43-44	Lm		43		
28.VII	Dąb. (GIG): 19 11 19,8				NEZ: 0,8 ^s ; 5,5 μ , 2,5 μ , 4,4 μ			
Kra.	Traces			F		34		
(Ch)	e ^e EZ	19 11 39,1		Kra.	$\Delta = 83$ km			
	e ^e Z	46,0		(SKM)	eiPg _{NEZ}	12 32 52,0		
	F	13			eiSg _{NEZ}	33 03,0		
28.VII	Zab. (GIG): 21 22 18,7; Dąb. (GIG): 21 22 26,0				e ^e NEZ	22,0		
Kra.	Traces			Lm		36		
(SKM)	e ^e NEZ	21 22 45,1			E: 1,1 ^s ; 0,06 μ			
	e ^e Z	54,6		F		35		
	F	24						
1965				A O Ū T				1965
2.VIII	$\varphi = 50^{\circ}20'$; $\lambda = 18^{\circ}58'$; H = 16 ^h 01 ^m 50,3 ^s ; M = 2,7 (Chorzów); Zab. (GIG): 16 01 52,9; Dąb.: (GIG): 16 01 55,5			2.VIII	Kra.			
Cho.	$\Delta = 7$ km			(Ch)	e ^e NEZ	18 15 02,0		
(SK)	iS _{NZ} , eiS _E	16 01 53,3			e ^e NEZ	10,0		
Lm		55		F		16		
	EZ: 0,9 ^s ; 3,0 μ , 5,6 μ			3.VIII	Zab. (GIG): 14 15 02,4; Byt. (GIG): 14 15 03,8; Dąb. (GIG): 14 15 07,2			
Lm		56		Cho.				
	N: 0,8 ^s ; 6,0 μ			(SK)	e ^e EZ	14 15 05,0		
F		03			e ^e N	05,5		
Kra.	$\Delta = 75$ km				i ^e NEZ	09,9		
(SKM)	ePg _{NEZ}	16 02 04,0		Lm		11		
	eSg _{NEZ}	14,0			NZ: 1,1 ^s ; 3,0 μ , 1,3 μ			
	F	04		Lm		12		
Ryb.	$\Delta = 41$ km				E: 0,9 ^s ; 2,0 μ			
(SK)	eSg _{NEZ}	16 02 06,4		F		16		
	Lm	22		Kra.				
	N: 1,0 ^s ; 0,3 μ			(Ch)	eSg _{NEZ}	14 15 24,4		
Rac.	Faible				e ^e NZ	29,5		
(SK)	e ^e E	16 02 20,0			e ^e NZ	32,2		
	e ^e Z	21,0			e ^e NZ	46,0		
	F	05		F		17		
2.VIII	Dąb. (GIG): 18 14 51,1			4.VIII	$\varphi = 50^{\circ}21,8'$; $\lambda = 18^{\circ}50,5'$; H = 17 ^h 59 ^m 06,0 ^s ; h = 2,5 km; M = 2,5 (Zabrze), 2,2 (Bytom, Kraków); Zab.: eP _N 17 59 08,1, Lm _{NE} 3,1 μ ,			

- 146 -

Dates	Station	Phases	G.M.T. h m s	Dates	Station	Phases	G.M.T. h m s
4.VIII (suite)		5,0 μ ; Byt.: eS _E 08,8, Lm _{NE} 5,8 μ , 5,8 μ ; Dąb. (GIG): 17 59 13,3	17 59	8.VIII	Kra. (SKM)	eP _{NE} , eIP _{GZ} eIS _{GE} , iS _{GZ} eI _N , e _E eL _{NEZ} F	16 01 27,5 36,2 42,4 54 03
	Ryb. (SK)	$\Delta = 40$ km eS _{GNZ} F	17 59 18,8 18 01				
	Kra. (Ch)	$\Delta = 86$ km eP _{GNZ} e _N eS _{GEZ} Lm NE: 1,2 ^s ; 1,4 ^s ; 0,03 μ , 0,04 μ F	17 59 21,6 32,0 33,0 18 00 07 01	9.VIII		Byt. (GIG): 02 17 13,4; Dąb. (GIG): 02 17 18,3	
	Rac. (SK)	Traces NEZ	17 59-18 02		Kra. (SKM)	e _Z e _{NEZ} e _Z F	02 17 30,0 38,5 47,5 19
5.VIII		H = 05 ^h 56 ^m 34,7 ^s ; Dąb. (GIG): 05 56 36,9		9.VIII	Ryb. (SK)	eI _N e _{NZ} F	19 55 44,1 50,6 58
	Kra. (Ch)	$\Delta = 67$ km eP _{GEZ} e _N eS _{NE} , iS _{GZ} e _{NE} F	05 56 47,0 48,0 56,0 57 08,0 58		Rac. (SK)	Traces NEZ	19 56-58
	Kra. (SKM)	Traces e _E e _{NE} , eI _Z eI _Z F	16 44 37,6 43,1 57,1 46		Kra. (Ch)	Traces NZ	19 56-57
5.VIII		Byt. (GIG): 16 44 16,0; Dąb. (GIG): 16 44 20,0		13.VIII		H = 04 ^h 30 ^m 17,9 ^s ; Dąb. (GIG): 04 30 20,2	
	Kra. (SKM)	Faible e _E e _{NE} , eI _Z eI _Z F	16 44 37,6 43,1 57,1 46		Cho. (SK)	$\Delta = 4$ km iP _N , eP _{EZ} i _{EZ} Lm EZ: 0,8 ^s ; 3,0 μ , 3,5 μ F	04 30 19,5 20,5 24,5 31
7.VIII		Dąb. (GIG): 01 57 51,2			Kra. (SKM)	$\Delta = 73$ km eIP _{GZ} eI _Z iS _{NE} , eIS _{GZ} eI _N , e _{EZ} F	04 30 31,2 39,5 41,0 58,0 32
	Ryb. (SK)	e _{NZ} F	01 58 07,0 02 00		Ryb. (SK)	e _{NZ} e _{NZ} F	04 30 46,5 52,7 32
	Kra. (SKM)	eP _{NE} eI _{NE} , e _{EZ} eI _Z F	01 58 07,8 08,3 08,8 59	13.VIII		Byt. (GIG): 08 19 47,2	
	Rac. (SK)	Traces e _Z F	01 58 18,0 02 00		Kra. (SKM)	Traces NEZ	08 20-21
8.VIII		H = 16 ^h 01 ^m 15,6 ^s			Ryb. (SK)	Traces N	08 21-23
	Kra.	$\Delta = 65$ km					

- 147 -

Dates	Station	Phases	G.M.T. h m s	Dates	Station	Phases	G.M.T. h m s
14.VIII		$\varphi = 50^{\circ}19'$; $\lambda = 18^{\circ}50'$; H = 06 ^h 11 ^m 37,9 ^s ; M = 2,5 (Kraków), 2,6 (Dąbrowa Górnicza); Bobrek: eP _{NE} 06 11 39,4, eS _{NE} 40,5; Byt.: eP _{NE} 06 11 39,6; Dąb.: eP _{EZ} 06 11 43,8, eS _{EZ} 48,0, Lm _Z 1,5 ^s ; 0,85 μ		15.VIII	Ryb. (SK)	Traces NZ	12 00-02
	Kra. (Ch)	$\Delta = 83$ km eIP _{GEZ} i _Z eI _{NE} , i _Z eIS _{GEZ} Lm NEZ: 1,5 ^s ; 0,07 μ , 0,06 μ , 0,04 μ F	06 11 52,8 54,8 12 02,3 03,8 33		Cho. (SK)	eI _{NZ} , e _E i _E i _Z Lm EZ: 0,9 ^s ; 2,0 μ , 2,5 μ F	12 48 00,2; 12 48 01,8 12 48 02,0 03,0 04,0 07 49
	Rac. (SK)	Faible e _E e _Z F	06 12 08,8 16,3 14		Kra. (SKM)	e _Z e _Z e _Z e _{NEZ} F	12 48 12,8 21,3 24,8 40,3 50
	Ryb. (SK)	Traces i _N , eI _Z F	06 12 52,1 15	18.VIII		Zab. (GIG): 17 10 00,2; Byt. (GIG): 17 10 03,0; Dąb. (GIG): 17 10 05,2	
15.VIII		H = 11 ^h 59 ^m 11,1 ^s ; M = 2,4 (Kraków); Dąb. (GIG): 11 59 14,1; Byt. (GIG): 11 59 27,7			Kra. (Ch, SKM)	e _Z e _{NZ} , eI _E eI _{NEZ} F	17 10 16,3 27,8 30,3 12
	Cho. (SK)	$\Delta = 16$ km eS _{NEZ} e _{NEZ} e _Z Lm NEZ: 1,0 ^s ; 1,4 μ , 1,5 μ , 1,5 μ F	11 59 16,7 18,6 20,7 26 12 00		Rac. (SK)	Traces NEZ	17 10-12
	Kra. (Ch)	$\Delta = 64$ km eIP _{NEZ} e _{NE} eIS _{NEZ} Lm Z: 1,4 ^s ; 0,08 μ Lm NE: 1,0 ^s ; 0,08 μ , 0,05 μ F	11 59 22,8 25,4 31,4 44 55 12 01	19.VIII	Ryb. (SK)	eI _{NE} e _Z eI _E e _{NE} F	00 37 36,4 41,7 44,2 58,0 39
	Rac. (SK)	Traces NEZ	11 59-12 01		Kra. (SKM)	e _{NEZ} eI _N , e _{EZ} e _{NEZ} F	00 37 57,0 59,3 38 16,0 39
	Rac. (SK)	Traces NEZ	11 59-12 01		Rac. (SK)	Traces NEZ	00 37-40
				19.VIII		H = 01 ^h 20 ^m 41,0 ^s ; Dąb. (GIG): 01 20 46,7	
					Kra. (SKM)	$\Delta = 83$ km eIP _{NE} , eP _{GZ} eIS _{NEZ}	01 20 56,0 21 07,0

- 148 -

Dates	Station	Phases	G.M.T. h m s	Dates	Station	Phases	G.M.T. h m s
19.VIII (suite)	Kra.	e _{NEZ}	01 21 10,0	21.VIII	Kra.	Traces	
		e _{NEZ}	24,0	(SKM)	e _Z		12 43 14,7
		F	22		F		44
	Rac.	Traces		23.VIII		H = 02 ^h 58 ^m 20,8 ^s ; M = 2,3	
	(SK)	NEZ	01 21-22		(Chorzów)		
19.VIII		$\varphi = 50^{\circ}22,5'$; $\lambda = 18^{\circ}54'$; H = 16 ^h 28 ^m 10,0 ^s ; M = 2,5		Cho.	$\Delta = 9$ km		
		(Kraków), 2,3 (Dąbrowa		(SK)	e _{P_{NE}}		02 58 23,0
		Górnicza); Byt. (GIG):			e _Z		23,5
		16 28 10,8; Zab. (GIG):			i _{NEZ}		27,0
		16 28 11,3; Dąb. e _{P_Z}			Lm		28
		16 28 14,8; e _{S_{EZ}} 18,2,				NEZ: 0,8 ^s ; 2,0 μ , 1,5 μ ,	
		Lm _Z 1,1 ^s ; 0,5 μ			F	1,5 μ	59
	Ryb.			Kra.	$\Delta = 75$ km		
	(SK)	e _E	16 28 19,3	(SKM)	e _{P_{NEZ}}		02 58 34,5
		e _{NE}	21,7		e _{S_{NZ}}		44,5
		e _{i_{NEZ}}	27,1		e _{NEZ}		59 09,0
		F	32		F		03 00
	Kra.	$\Delta = 83$ km		23.VIII		Byt. (GIG): 09 49 40,5	
	(Ch)	e _{P_{NEZ}}	16 28 24,8	Kra.	Faible, forte ag. mi.		
		i _{S_{NEZ}}	35,8	(SKM)	e _{EZ}		09 49 53,4
		i _{EZ}	37,7		e _Z		50 04,4
		Lm	29 09		e _{NZ}		06,1
		NEZ: 1,1 ^s ; 0,06 μ ,			F		51
		0,03 μ , 0,03 μ		Ryb.	Traces		
		F	30	(SK)	Z		09 50-51
	Rac.	$\Delta = 60$ km		Rac.	Traces		
	(SK)	e _{S_{EZ}}	16 28 29,0	(SK)	e _{NEZ}		09 50 10
		e _Z	41,0		F		52
		e _E	48,0	23.VIII		Byt. (GIG): 16 40 56,3	
		F	32			Dąb. (GIG) 16 41 00,5	
21.VIII		H = 08 ^h 11 ^m 10,3 ^s ; Dąb.		Cho.			
		(GIG): 08 11 16,1		(SK)	e _Z		16 41 00,0
	Cho.	$\Delta = 9$ km			e _{NE}		01,0
	(SK)	i _{S_N} , e _{i_{S_Z}}	08 11 14,0		i _Z		07,0
		e _E	14,5		Lm		08
		Lm	17			NEZ: 1,0 ^s ; 2,5 μ , 1,5 μ ,	
		NEZ: 0,9 ^s ; 2,0 μ , 2,0 μ , 2,0 μ			F	1,0 μ	42
		F	12				
	Kra.	$\Delta = 80$ km		Kra.	Forte ag. mi.		
	(Ch)	e _{i_{P_{EZ}}}	08 11 24,8	(SKM, Ch)	e _{EZ}		16 41 12,8
		e _{i_{S_{NEZ}}}	35,0		e _{NEZ}		20,4
		e _N , e _{i_E}	54,0		e _E		24,4
		F	13		F		43
	Ryb.	Traces		26.VIII		H = 13 ^h 18 ^m 35,1 ^s ; Dąb.	
	(SK)	NEZ	08 11-13			(GIG): 13 18 37,1	
21.VIII		Dąb. (GIG): 12 42 45,9					
		Zab. (GIG): 12 44 - traces					

- 149 -

Dates	Station	Phases	G.M.T. h m s	Dates	Station	Phases	G.M.T. h m s
26.VIII (suite)	Kra.	$\Delta = 59$ km		27.VIII		Byt. (GIG): 02 34 31,8;	
	(SKM)	e _{P_{GZ}}	13 18 46,0			Dąb. (GIG): 02 34 38,0	
		e _{S_{GZ}}	54,0		Kra.	Traces	
		e _{NEZ}	19 06,0		(SKM)	NEZ	02 34-36
		F	20	27.VIII		H = 12 ^h 14 ^m 28,9 ^s ; Dąb.	
26.VIII		Zab. (GIG): 22 29 45,0;				(GIG): 12 14 31,1	
		Byt. (GIG): 22 29 47,3;		Kra.	$\Delta = 72$ km		
		Dąb. (GIG): 22 29 51,5		(SKM)	e _{P_{G_E}} , e _{i_{P_{GZ}}}		12 14 42,0
	Kra.				e _Z		48,0
	(SKM)	e _{P_{G_{EZ}}}	22 29 59,7		e _{i_{S_N}} , e _{S_{G_{EZ}}}		51,6
		e _E	30 10,0		e _Z		54,0
		e _{i_N} , e _Z	10,2		F		16
		e _{i_Z}	11,7	28.VIII		Dąb. (GIG): 21 06 03,0	
		F	31		Kra.	Traces	
	Ryb.	Traces			(SKM)	NEZ	21 06-07
	(SK)	NEZ	22 30-32				
1965				1965			
3.IX		Dąb. (GIG): 10 26 08,0		7.IX	Cho.	EZ: 0,8 ^s ; 4,0 μ , 2,5 μ	
	Kra.	Traces, forte ag. mi.			F		14 13
	(SKM)	e _Z	10 26 25,0	Ryb.	$\Delta = 34$ km		
		F	27	(SK)	e _{P_{NEZ}}		14 11 45,4
3.IX		Dąb. (GIG): 15 02 08,0			e _{NZ} , e _{i_E}		52,7
	Kra.	Forte ag. mi.			e _E		57,2
	(Ch)	e _{NZ} , e _{i_E}	15 02 25,3		Lm		12 11
		e _{NEZ}	30,5			NE: 1,5 ^s ; 0,6 μ , 0,3 μ	
		F	03		F		13
7.IX		Dąb. (GIG): 08 52 30,2		Rac.	Traces		
	Kra.	Faible		(SK)	NEZ		14 11-15
	(SKM)	e _{EZ}	08 53 46,7	Kra.	$\Delta = 79$ km		
		i _{EZ}	47,4	(Ch)	e _{P_{G_{NZ}}}		14 11 53,0
		e _{EZ}	52,7		e _{S_{G_{NE}}} , i _{S_{GZ}}		12 03,5
		F	55		Lm		29
7.IX		$\varphi = 50^{\circ}16'$; $\lambda = 18^{\circ}54'$;				Z: 1;3 ^s ; 0,03 μ	
		H = 14 ^h 11 ^m 38,7 ^s ; M = 2,6			Lm		32
		(Kraków), 2,4 (Bytom),				NE: 1,2 ^s ; 0,09 μ , 0,07 μ	
		2,5 (Zabrze); Zab.: e _{P_N}			F		13
		14 11 41,1, Lm _{NE} 4,0 μ ,		8.IX		Dąb. (GIG): 16 14 28,6	
		4,4 μ ; Byt.: e _{S_N} 14 11 43,6,			Cho.		
		Lm _{NE} 4,7 μ , 2,3 μ			(SK)	e _{NE} , e _{i_Z}	16 14 26,3
	Cho.	$\Delta = 6$ km				Lm	29
	(SK)	i _{P_{NEZ}}	14 11 39,8			NEZ: 0,5 ^s ; 2,0 μ , 2,0 μ	
		e _{S_Z}	40,5			Lm	31
		Lm	42			F	15

Dates	Station	Phases	G.M.T. h m s	Dates	Station	Phases	G.M.T. h m s
8.IX (suite)	Kra. (SKM)	Traces e ₁ EZ F	16 14 48,0 16	10.IX		H = 03 ^h 13 ^m 23,7 ^s ; M = 2,6 (Chorzów), 2,4 (Dąbrowa Górnica); Byt.: eP _E 03 13 25,9; Dąb.: eP _E 03 13 26,8, Lm _Z 1,0 ^s ; 0,8μ	
9.IX		Zab. (GIG): 06 51 42,1; Dąb. (GIG): 06 51 44,7; Byt. (GIG): 06 52 - traces		Cho. (SK)		Δ = 6 km eiP _N , eP _E , iP _Z 03 13 25,0 iS _E 26,2 Lm 30 Z: 0,7 ^s ; 4,5μ Lm 31 E: 0,7 ^s ; 3,5μ F 15	
9.IX	Kra. (SKM)	Traces NEZ	06 51-53	Ryb. (SK)		Δ = 45 km, Z - inactive eP _{NE} 03 13 32,1 eS _{NE} 38,3 e _{NE} 53,2 F 15	
		φ = 50°23'; λ = 18°53'; H = 20 ^h 28 ^m 36,1 ^s ; h ≈ 1 km; M = 2,5 (Chorzów), 2,4 (Dąbrowa Górnica); Byt.: eP _N 20 28 37,5; Dąb.: eP _{EZ} 20 28 40,9, Lm _Z 2,0 ^s ; 0,8μ		Kra. (SKM)		Δ = 75 km ePg _Z 03 13 37,6 eiS _{NEZ} 47,6 e _{NEZ} 14 05,0 F 15	
	Cho. (SK)	Δ = 13 km eP _{NE} , eiP _Z 20 28 39,3 iS _{EZ} 41,5 i _N 42,3 i _Z 45,3 Lm 47 NEZ: 0,8 ^s ; 1,2μ, 2,0μ, 1,2μ F 30		Rac. (SK)		Traces NEZ 03 13-16	
	Ryb. (SK)	Z - inactive e _{NE} 20 28 42,9 i _N 47,8 e _E 48,3 i _E 52,3		10.IX		Dąb. (GIG): 08 44 17,9	
	Rac. (SK)	Δ = 59 km ePg _{EZ} 20 28 47,0 e _N 51,6 e _E 52,5 e _{EZ} 29 06,5 F 32		Kra. (SKM)		Traces e _Z 08 44 39,0 F 45	
	Kra. (SKM)	Δ = 84 km ePg _N , iP _{G_E} , eiPg _Z 20 28 51,1 ei _Z 53,9 iS _{G_Z} 29 02,2 i _E 02,6 Lm 38 NEZ: 1,3 ^s ; 0,06μ, 0,07μ, 0,08μ F 31		11.IX		φ = 50°22'; λ = 18°48'; H = 13 ^h 26 ^m 21,3 ^s ; M = 2,5 (Chorzów), 2,7 (Zabrze), 2,4 (Bytom); Zab.: eP _{NE} 13 26 23,0, Lm _{NE} 11,7μ, 8,8μ; Byt.: eS _{NE} 13 26 24,1, Lm _{NE} 6,7μ, 3,8μ; Dąb.: eP _Z 13 26 27,3	
10.IX		φ = 50°20'; λ = 19°00';		Cho. (SK)		Δ = 17 km eP _{NEZ} 13 26 25,0 iS _{NE} , eiS _Z 27,7 Lm 34 NEZ: 1,0 ^s ; 1,0μ, 2,0μ, 1,0μ F 28	
				Ryb. (SK)		Δ = 41 km, Z - inactive eS _{NE} 13 26 34,4 F 28	

Dates	Station	Phases	G.M.T. h m s	Dates	Station	Phases	G.M.T. h m s
11.IX (suite)	Kra. (SKM)	Δ = 89 km, Forte ag. mi. e _{EZ} 13 26 38,0 e _Z 45,5 eS _{G_{EZ}} 48,0 eL _{NEZ} 27 12 F 28		17.IX	Kra. (SKM)	Traces NEZ 18 39-40	
	Rac. (SK)	Faible e _{NEZ} 13 27 52,2 F 29		18.IX		φ = 50°16'; λ = 18°56'; H = 03 ^h 18 ^m 37,4 ^s ; M = 2,4 (Chorzów), 2,6 (Zabrze); Byt.: eS _E 03 18 41,5; Dąb.: eP _Z 03 18 41,8; Zab.: eS _{NE} 03 18 42,3, Lm _{NE} 2,2μ, 3,9μ	
13.IX		Zab. (GIG): 18 13 42,2; Dąb. (GIG): 18 13 47,7		Cho. (SK)		Δ = 6 km iP _{EZ} 03 18 39,2 Lm 43 Z: 0,8 ^s ; 5,5μ F 20	
	Kra. (SKM)	Traces e _Z 18 14 06,2 F 15		Ryb. (SK)		Z - inactive e _E 03 18 46,9 e _{NE} 49,9 e _{NE} 52,4 Lm 19 05 NE: 1,2 ^s ; 0,4μ, 0,5μ F 21	
14.IX		Dąb. (GIG): 02 38 24,8		Rac. (SK)		Δ = 77 km ePg _{EZ} 03 18 51,3 eiS _{NEZ} 19 01,5 ei _{NEZ} 09,0 eL _{NE} 19 F 20	
	Kra. (SKM)	Traces NEZ 02 38-39		19.IX		φ = 50°25'; λ = 19°03'; H = 03 ^h 29 ^m 54,8 ^s ; Byt. (GIG): 03,28 56,0; Dąb.: eP _{EZ} 03 28 58,1	
14.IX		Zab. (GIG): 18 55 16,1; Dąb. (GIG): 18 55 19,1		Ryb. (SK)		Δ = 54 km ePg _{NE} 03 29 04,8 e _{NE} 07,6 e _{NE} 12,8 e _Z 26,0 F 31	
	Ryb. (SK)	Z - inactive e _E 18 55 25,8 e _N 27,0 e _E 29,8 F 57		Kra. (SKM)		Δ = 75 km ePg _E , eiPg _Z 03 29 08,5 eS _{NEZ} 18,5 ei _{NEZ} 19,5 eL _{EZ} 44 F 31	
	Kra. (SKM)	Traces ei _E , i _Z 18 55 41,0 eiS _{NEZ} 45,3 eL _{EZ} 56 13 F 57		17.IX		Byt. (GIG): 18 24 08,6; Dąb. (GIG): 18 24 08,9	
	Rac. (SK)	Faible e _{NEZ} 18 55 46,2 F 58		Kra. (SKM)		Traces NEZ 18 24-26	
16.IX		Dąb. (GIG): 04 25 34,5		17.IX		Dąb. (GIG): 18 39 01,8; Byt. (GIG): 18 39 - traces	
	Kra. (SKM)	N - forte ag. mi. e _{EZ} 04 25 44,8 i _{EZ} 52,3 e _{EZ} 26 10,0 F 27					

- 152 -

Dates	Station	Phases	G.M.T. h m s	Dates	Station	Phases	G.M.T. h m s
19.IX (suite)	Rac. (SK)	NE - traces e _Z F	03 29 24,6 31	23.IX	Cho.	e _{iZ} Lm EZ: 1,0 ^S ; 1,4μ, 1,4μ F	08 37 28,2 33 38
22.IX		φ = 50°19'; λ = 18°52'; H = 05 ^h 50 ^m 03 ^s ; M = 2,1 (Chorzów), 2,0 (Dąbrowa Górnica); Bobrek: e _P ^{NE} 05 50 04,0; Byt.: e _P ^N 05 50 05,0; Dąb.: e _P ^Z 05 50 07,9, Lm _Z 1,0 ^S ; 0,25μ			Ryb. (SK)	Δ = 36 km, Z - traces e _{iS} ^{NE} e _{NE} e _N F	08 37 34,2 39,1 46,6 40
	Cho. (SK)	Δ = 12 km e _{iP} ^E , i _P ^Z Lm EZ: 0,8 ^S ; 1,5μ, 0,6μ F	05 50 05,8 12 51		Kra. (SKM)	Δ = 85 km, forte ag. mi. e _{iP} ^{GZ} e _{NZ} e _S ^{GZ} e _{iL} ^{NEZ} F	08 37 38,0 48,3 49,3 38 13,3 40
	Kra. (SKM)	Δ = 85 km, N - forte ag. mi. e _P ^{GZ} e _{iS} ^{GZ} F	05 50 18,0 29,0 52		Rac. (SK)	Traces e _{EZ} F	08 37 53,0 40
22.IX		Byt. (GIG): 11 53 57,2; Dąb. (GIG): 11 54 00,6; Zab. (GIG): 11 54 - traces		23.IX		H = 16 ^h 21 ^m 31,3 ^s ; Dąb.: e _P ^Z 16 21 35,0; Byt.: (GIG): 16 22 - traces	
	Kra. (SKM)	N, E - forte ag. mi. e _Z e _Z F	11 54 11,0 21,0 56		Kra. (SKM)	Δ = 75 km, forte ag. mi. e _P ^{GZ} e _S ^{GZ} e _L ^{NEZ} F	16 21 45,0 55,0 22 16 23
22.IX		H = 17 ^h 41 ^m 03,3 ^s ; Byt. (GIG): 17 41 05,4; Dąb. (GIG): 17 41 08,4		23.IX		Dąb. (GIG): 17 13 30,2	
	Kra. (SKM)	Δ = 83 km e _{iP} ^{GZ} e _S ^{GZ} , e _{iS} ^{GZ} e _{NEZ} F	17 41 18,3 29,3 55,0 43		Kra. (SKM)	Forte ag. mi. e _Z e _{NE} e _{NEZ} F	17 13 31,0 40,0 48,0 15
23.IX		φ = 50°18'; λ = 18°50'; H = 08 ^h 37 ^m 22,6 ^s ; M = 2,3 (Chorzów, Zabrze); Zab.: e _P ^N 08 37 23,2, Lm _{NE} 9,9μ, 14,3; Byt.: e _P ^E 08 37 25,0; Dąb. (GIG): 08 37 30,2		23.IX		Zab. (GIG): 18 35 46,6; Byt. (GIG): 18 35 47,2; Dąb. (GIG): 18 35 51,2	
	Cho. (SK)	Δ = 11 km, N - inactive e _P ^{EZ} e _E	08 37 25,2 25,9		Kra. (SKM)	Forte ag. mi. e _Z e _Z e _Z e _{EZ} F	18 35 59,0 36 01,3 09,5 19,0 37
				26.IX		φ = 50°19'; λ = 19°13'; H = 14 ^h 00 ^m 43,7 ^s ; M = 2,6 (Chorzów), 2,5 (Dąbrowa Górnica); Dąb.: e _P ^{NEZ} 14 00 44,8, Lm _{NEZ} 1,0 ^S ;	

- 153 -

Dates	Station	Phases	G.M.T. h m s	Dates	Station	Phases	G.M.T. h m s
26.IX (suite)		7,5μ, 17,0μ, 14,5μ; Byt. (GIG): 14 01 - traces		27.IX	Kra.	i _{EZ} i _{NEZ} e _{iEZ} Lm NEZ: 1,7 ^S ; 0,11μ, 0,17μ, 0,26μ F	10 56 55 57 04,6 21,6 30 59
	Cho.	Δ = 17 km e _P ^{NEZ} e _{SZ} i _E i _{NZ} Lm NEZ: 1,0 ^S ; 1,5μ, 2,0μ, 1,6μ	14 00 47,6 50,3 50,8 51,5 57		Rac. (SK)	e _{NE} e _N e _Z Lm NEZ: 1,5 ^S ; 0,6μ, 0,4μ, 0,4μ F	10 57 03,6 07,6 11,5 57 11 00
	Kra. (SKM)	Δ = 59 km e _P ^{GZ} e _N , e _{iEZ} i _S ^{GZ} e _{iNEZ} Lm NEZ: 1,0 ^S ; 0,06μ, 0,06μ, 0,07μ	14 00 54,3 55,5 01 02,3 17,3 25				
	Ryb. (SK)	Traces, E - inactive e _N F	14 01 08,0 03	27.IX		H = 01 ^h 54 ^m 18,3 ^s ; M = 2,3 (Dąbrowa Górnica); Dąb.: e _P ^E 01 54 22,2, Lm _Z 1,0 ^S ; 0,75μ	
	Rac. (SK)	Traces NEZ	14 01-03		Kra. (SKM)	Δ = 69 km e _P ^{GZ} i _S ^{GZ} e _{NEZ} F	01 54 31,0 40,7 57,0 56
27.IX				27.IX		Byt. (GIG): 10 56 41,9; Zab. (GIG): 10 56 43,2	
	Cho. (SK)	i _{NEZ} F	10 56 43,0 58		Kra. (SKM)	Δ = 83 km i _P ^{GZ} e _S ^{GZ} Lm EZ: 1,5 ^S ; 0,07μ, 0,10μ F	10 09 10,9 17,4 26,9 12 10 09 14,6 25,0 52 11
	Ryb. (SK)	EZ - inactives e _{iN} e _N Lm N: 1,2 ^S ; 1,5μ	10 56 43,5 49,8 57 33 11 00	29.IX		Dąb. (GIG): 21 27 14,7	
	Kra. (SKM)	e _N	10 56 51,0		Kra. (SKM)	Faible e _{NEZ} e _{NZ} F	21 27 31,0 44,0 29
					Ryb. (SK)	E - inactive e _N	21 27 34,8

- 154 -

Dates	Station	Phases	G.M.T. h m s	Dates	Station	Phases	G.M.T. h m s
29.IX (suite)	Ryb.	e _N F	21 27 38,3 29	30.IX	(Bytom), 2,8 (Dąbrowa Górnica); Zab.: eP _E 14 44 20,5, Lm _{NE} 7,2μ, 6,6μ; Byt.: eP _E 14 44 21,8, Lm _{NE} 2,8μ, 3,8μ; Dąb.: eP _Z 14 44 25,2, Lm _Z 1,0 ^S ; 1,0μ		
30.IX		Zab. (GIG): 12 17 30,7; Dąb. (GIG): 12 17 35,5; Byt. (GIG): 12 18 - traces					
	Rac. (SK)	e _{NE} e _{NE} e _{EZ} F	12 17 38,3 40,8 59,0 20		Ryb. (SK)	Δ = 35 km, E - inactive eP _N eS _N Lm N: 1,0 ^S ; 0,3μ	14 44 26,0 31,0 44 46
	Ryb. (SK)	E - inactive e _{NZ} e _{NZ} Lm N: 1,0 ^S ; 0,3μ F	12 17 45,6 48,2 59 20		Kra. (SKM)	Δ = 91 km eP _{EZ} e _{NEZ} eS _{gN} , eIS _{gEZ} F	14 44 35,7 45,7 47,0 46
	Kra. (SKM)	Forte ag. mi. e _{EZ} e _{NEZ} F	12 17 53,0 18 19,0 19		Rac. (SK)	Faible e _E e _{iN} e _{EZ} F	14 44 38,3 40,3 50,8 47
30.IX		φ = 50°20,6'; λ = 18°46,7'; H = 14 ^h 44 ^m 19,2 ^s , h < 1,0 km; M = 2,4 (Zabrze), 2,3					
1965 OCTOBRE 1965							
1.X	Dąb. (GIG): 06 33 07,0			1.X	Cho. E: 0,9 ^S ; 8,5μ F 08 09		
	Kra. (Ch)	e _N e _{EZ} e _N e _{EZ} e _{NEZ} F	06 33 16,5 17,8 24,8 25,3 32,8 35		Ryb. (SK)	Δ = 43 km, EZ - inactives eP _{gN} eS _{gN} e _N e _N F	08 07 28,0 33,7 36,6 50,0 09
1.X		φ = 50°20,5'; λ = 18°53,5'; H = 08 ^h 07 ^m 20,2 ^s ; h = 1,9 km; M = 2,9 (Dąbrowa Górni- cza), 3,0 (Chorzów); Dąb.: eP _E 08 07 24,8, Lm _{NEZ} 0,5 ^S ; 0,5 ^S ; 1,0 ^S ; 0,25μ, 1,1μ, 1,5μ			Rac. (SK)	Δ = 57 km e _{EZ} eS _{gN} e _{NEZ} F	08 07 35,0 38,0 51,0 10
	Cho. (SK)	Δ = 10 km iP _{NEZ} Lm Z: 0,9 ^S ; 8,5μ Lm	08 07 22,6 25 27	1.X	Dąb. (GIG): 14 ^h 58 ^m 27,7 ^s ; Zab. (GIG): 14 59 - traces		
					Kra. (Ch)	Traces e _{NEZ} F	14 58 50,0 15 00
					Ryb. (SK)	Traces, E,Z - inactives N	14 58-15 00

- 155 -

Dates	Station	Phases	G.M.T. h m s	Dates	Station	Phases	G.M.T. h m s
1.X (suite)	Rac. (SK)	Traces NEZ	14 58-15 02	2.X	Kra.	e _{EZ} F	18 00 14,6 01
2.X		φ = 50°20,0'; λ = 18°52,5'; H = 16 ^h 29 ^m 41,6 ^s , h < 1 km; M = 2,6 (Chorzów, Dąbrowa Górnica), 2,7 (Zabrze); Zab. (GIG): 16 30(00), Lm _{NE} 7,6μ, 11,0μ; Dąb.: eP _{EZ} 16 29 46,6, eIS _E 50,3, Lm _Z 1,0 ^S ; 0,9μ; Bobrek: eIP _{NZ} 16 29 42,7, iS _{NE} 43,4			Ryb. (SK)	Traces N	17 59-18 01
	Cho. (SK)	Δ = 10 km iP _{NEZ} Lm EZ: 1,0 ^S ; 4,0μ, 2,8μ Lm N: 0,8 ^S ; 4,0μ F	16 29 44,0 51 54 30	3.X		φ = 50°21,7'; λ = 18°49,5'; H = 21 ^h 42 ^m 29,8 ^s , h < 1 km; M = 2,3 (Bytom), 2,4 (Cho- rzów, Dąbrowa Górnica), 2,6 (Kraków); Bobrek: eP _Z 21 42 30,7; Zab.: eP _E 21 42 31,6; Byt.: eP _N 21 42 31,6, Lm _{NE} 4,7μ, 10,3μ; Dąb.: eP _{EZ} 21 42 35,4, Lm _Z 1,5 ^S ; 0,75μ	
	Ryb. (SK)	Δ = 37 km, E,Z - inactives eP _N e _N e _N F	16 29 48,7 58,5 30 09,0 32		Cho. (SK)	Δ = 14 km eP _{NE} , iP _Z e _Z i _Z i _{EZ} Lm N: 0,4 ^S ; 1,0μ Lm EZ: 1,0 ^S ; 1,2μ, 1,0μ F	21 42 32,8 34,0 35,8 36,6 40 41 44
	Rac. (SK)	Δ = 59 km eP _{gEZ} eS _{gEZ} e _N e _N F	16 29 52,5 30 00,5 01,1 05,7 33		Ryb. (SK)	Δ = 39 km eP _N i _N eL _N F	21 42 37,0 43,2 43 16 46
	Kra. (Ch)	Δ = 86 km eIP _{gNEZ} e _{NEZ} e _{iNZ} F	16 29 57,0 30 07,0 10,8 32		Kra. (Ch)	Δ = 87 km eIP _{gNEZ} e _{iNEZ} eIS _{gNEZ} Lm NEZ: 1,2 ^S ; 1,1 ^S ; 1,2 ^S ; 0,06μ, 0,06μ, 0,04μ F	21 42 45,2 47,2 56,5 43 30 45
2.X		H = 17 ^h 59 ^m 24,8 ^s ; M = 1,8 (Chorzów); Dąb. (GIG): 17 59 30,6			Rac. (SK)	e _{EZ} e _{NE} e _{EZ} F	21 42 51,0 58,2 43 00,3 46
	Cho. (SK)	Δ = 4 km eIP _E , iP _Z e _N , e _Z iS _Z Lm NEZ: 0,9 ^S ; 2,0μ, 2,0μ, 1,5μ F	17 59 26,2 26,5 27,2 29 18 00	4.X		H = 11 ^h 48 ^m 56,3 ^s ; Byt. (GIG): 11 48 57,5; Dąb. (GIG): 11 49 01,6	
	Kra. (Ch)	Δ = 75 km eIS _{gN}	17 59 48,0		Ryb.	Traces, E,Z - inactives	

- 156 -

Dates	Station	Phases	G.M.T. h m s	Dates	Station	Phases	G.M.T. h m s
4.X (suite)	Ryb. (SK)	e _N e _N F	11 49 07,7 12 50	8.X	Kra. (Ch)	Traces NEZ	06 35-37
	Kra. (Ch)	Δ = 83 km eP _{NEZ} e _{NEZ} eS _{NEZ} F	11 49 11,3 19,3 22,3 51		Ryb. (SK)	Traces NEZ	06 35-37
	Rac. (SK)	Traces NEZ	11 49-51	8.X		H = 22 ^h 47 ^m 48,4 ^s ; M = 2,5 (Kraków); Byt. (GIG): 22 47 49,7; Dąb. (GIG): 22 47 52,4	
5.X		H = 21 ^h 38 ^m 43,0 ^s ; M = 2,1 (Kraków); Byt. (GIG): 21 38 41,7; Zab. (GIG): 21 39(00)			Ryb. (SK)	Z - traces e _{NE} e _N F	22 48 00,0 11,5 50
	Ryb. (SK)	Δ = 33 km iS _N , eS _{EZ} e _Z e _N F	21 38 53,7 58,3 58,7 40		Kra. (Ch)	Δ = 80 km eP _{NEZ} e _Z e _{iE} , e _Z e _{iS_N} , eS _Z Lm NEZ: 1,0 ^s ; 0,05μ, 0,07μ, 0,03μ F	22 48 03,3 09,5 12,4 13,7 48 50
	Kra. (Ch)	Δ = 74 km e _{iP_{EZ}} e _{iS_{NZ}} e _E Lm	21 38 56,5 39 06,6 07,2 41	9.X		φ = 50°21'; λ = 18°47,5'; H = 05 ^h 04 ^m 27,8 ^s ; M = 2,4 (Zabrze), 2,3 (Bytom); Bobrek: eP _Z 05 04 29,2, eS _{EZ} 30,4; Zab.: eP _E 05 04 29,5, Lm _{NE} 4,1μ, 5,5μ; Byt.: eS _N 05 04 31,6, Lm _{NE} 4,7μ, 1,9μ	
	Rac. (SK)	Traces NEZ	21 39-41		Kra. (Ch)	Δ = 88 km eP _{EZ} e _{NZ} iS _E , eS _Z e _{iZ} F	05 04 44,0 54,2 55,7 57,1 06
6.X		Dąb. (GIG): 12 16 46,1			Ryb. (SK)	Faible e _{iNE} e _{NZ} F	05 04 46,1 50,4 06
	Kra. (Ch)	Forte ag.mi. e _{NZ} e _{NEZ} e _{NEZ} F	12 16 51,8 58,5 17 10,0 18		Rac. (SK)	N, Z - traces e _E e _E F	05 04 47,0 05 02,5 07
7.X		Dąb. (GIG): 07 02 34,9		9.X		φ = 50°22'; λ = 18°49'; H = 16 ^h 23 ^m 18,8 ^s ; M = 2,6	
	Kra. (SKM)	Faible e _{EZ} i _{NEZ} e _Z F	07 02 44,4 52,2 56,2 04				
	Ryb. (SK)	Traces NZ	07 03-04				
8.X		Byt. (GIG): 06 35 20,0; Dąb. (GIG): 06 35 23,4					

- 157 -

Dates	Station	Phases	G.M.T. h m s	Dates	Station	Phases	G.M.T. h m s
9.X (suite)		(Kraków), 2,4 (Chorzów, Zabrze); Zab.: eP _E 16 23 20,5, Lm _{NE} 4,1μ, 5,5μ; Byt.: eS _N 16 23 21,7; Dąb. (GIG): 16 23 25,5		11.X	Ryb.	e _{NZ} F	09 13 06,2 15
	Cho. (SK)	Δ = 15 km eP _{NZ} e _Z e _E , i _Z Lm NEZ: 1,0 ^s ; 1,5μ, 1,0μ, 1,0μ F	16 23 22,2 23,2 25,1 30,4		Kra. (Ch)	Δ = 86 km e _{iP_{NEZ}} e _{iS_{NEZ}} F	09 13 02,3 13,6 15
	Ryb. (SK)	Δ = 41 km e _{NE} iS _{NE} e _{iNEZ} F	16 23 27,0 32,0 37,0 25	12.X		φ = 50°22'; λ = 18°50'; H = 06 ^h 04 ^m 15,3 ^s ; M = 2,3 (Chorzów); 2,5 (Kraków); Bobrek: e _{iP_{EZ}} 06 04 17,1, e _{iS_{NEZ}} 18,4; Zab.: eP _N 06 04 18,6; Byt. (GIG): 06 04 18,9; Dąb. (GIG): 06 04 44,4	
	Rac. (SK)	e _Z e _{EZ} e _{EZ} e _{NZ} F	16 23 28,0 30,7 37,6 51,1 26		Cho. (SK)	Δ = 14 km e _{EZ} i _E Lm E: 0,4 ^s ; 2,0μ Lm Z: 0,9 ^s ; 1,0μ F	06 04 19,4 23,6 26 28 06
	Kra. (Ch)	Δ = 87 km eP _{NEZ} e _{iS_{NZ}} Lm NEZ: 1,1 ^s ; 1,3 ^s ; 1,1 ^s ; 0,08μ, 0,04μ, 0,03μ F	16 23 34,5 46,0 24 19 NEZ: 1,1 ^s ; 1,3 ^s ; 1,1 ^s ; 0,08μ, 0,04μ, 0,03μ 25		Kra. (Ch)	Δ = 87 km eP _{NEZ} e _{iS_{NEZ}} Lm NEZ: 1,1 ^s ; 0,07μ, 0,06, 0,05μ F	06 04 31,0 42,5 05 17 06
11.X		φ = 50°22'; λ = 18°50'; H = 09 ^h 12 ^m 47,0 ^s ; h ≪ 1 km; M = 2,4 (Dąbrowa Górnicza); 2,5 (Chorzów, Zabrze); Bo- brek: iP _Z 09 12 47,6, iS _{NZ} 48,1; Zab.: eP _E 09 12 49,1, Lm _{NE} 4,5μ, 5,5μ; Byt. (GIG): 09 12 49,5; Dąb. (GIG): 09 12 52,5, Lm _Z 1,0 ^s ; 0,4μ			Rac. (SK)	Traces e _Z F	06 04 49,3 07
	Cho. (SK)	Δ = 14,5 km iP _{EZ} Lm EZ: 0,8 ^s ; 2,5μ, 1,4μ F	09 12 50,2 57 14	14.X		φ = 50°23'; λ = 18°49'; H = 04 ^h 53 ^m 28,1 ^s ; M = 2,5 (Chorzów), 2,6 (Kraków); Byt.: eP _E 04 53 29,8; Zab.: eP _N 04 53 30,1; Dąb.: eP _{NZ} 04 53 33,5	
	Ryb. (SK)	Traces e _N	09 13 00,7		Cho. (SK)	Δ = 17 km eP _{NEZ} i _E Lm NE: 0,8 ^s ; 1,5μ, 1,5μ Lm E: 1,0 ^s ; 2,0μ F	04 53 31,7 34,7 40 42 55

- 158 -

Dates	Station	Phases	G.M.T. h m s	Dates	Station	Phases	G.M.T. h m s
14.X	Rac.	$\Delta = 53$ km		16.X	(Kraków), Zab. (GIG): 03		
(suite)	(SK)	ePg _{NEZ}	04 53 38,0		59 22,8; Dąb. (GIG): 03 59		
		eSg _{NEZ}	45,2		28,6		
		e _{NE}	50,2				
		F	56				
	Ryb.	$\Delta = 43$ km			Ryb. $\Delta = 39$ km		
(SK)	(SK)	iSg _N , eiSg _Z	04 53 41,7	(SK)	ePg _{NZ}	03 59 29,2	
		ei _N	49,6		iSg _N	34,7	
		F	55		F	04 01	
	Kra.	$\Delta = 87$ km			Kra. $\Delta = 84$ km		
(Ch)	(Ch)	eiPg _{NEZ}	04 53 43,8	(Ch)	ePg _{EZ}	03 59 36,8	
		e _E	53,9		e _{NZ} , ei _E	37,3	
		eiSg _{EZ}	55,3		eSg _{NZ} , iSg _E	47,9	
		Lm	54 28		ei _E , e _Z	55,0	
		NEZ: 1,0 ^s ; 1,2 ^s ; 1,2 ^s ;			Lm	04 00 21	
		0,08 μ , 0,07 μ ,			NE: 1,2 ^s ; 0,06 μ , 0,03 μ		
		0,06 μ			F	01	
		F	56		Rac. Traces		
				(SK)	NEZ	03 59-04 02	
14.X		$\varphi = 50^{\circ}22'$; $\lambda = 18^{\circ}53'$;		16.X	$\varphi = 50^{\circ}21'$; $\lambda = 18^{\circ}49'$;		
		H = 17 ^h 51 ^m 11,8 ^s ; M = 2,4			H = 15 ^h 31 ^m 09,7 ^s ; M = 2,4		
		(Kraków), 2,3 (Bytom);			(Chorzów), 2,7 (Kraków);		
		Byt.: eP _N 17 51 12,7,			Zab. (GIG): 15 31 10,9;		
		Lm _{NE} 11,9 μ , 20,9 μ ; Dąb.: eP _{EZ} 17 51 16,9			Byt.: eS _N 15 31 12,6,		
					Lm _{NE} 4,7 μ , 3,0 μ ; Dąb.: eP _Z 15 31 15,8		
	Cho.	$\Delta = 13$ km			Cho. $\Delta = 14$ km		
(SK)	(SK)	eP _N , eiP _{EZ}	17 51 14,8	(SK)	eP _{NEZ}	15 31 12,7	
		Lm	18		Lm	20	
		N: 0,6 ^s ; 2,0 μ			NEZ: 1,0 ^s ; 1,0 μ ,		
		F	52		2,0 μ , 1,5 μ		
	Kra.	$\Delta = 83$ km			F	32	
(Ch)	(Ch)	ePg _E , eiPg _Z	17 51 26,8		Kra. $\Delta = 87$ km		
		e _N , e _Z	35,5	(Ch)	ePg _N , eiPg _{EZ}	15 31 25,4	
		iSg _N , eiSg _Z	37,8		e _{NZ}	28,9	
		i _N , ei _E	43,0		eSg _{NE} , eiSg _Z	36,9	
		Lm	52 08		ei _{NEZ}	42,4	
		NE: 1,3 ^s ; 0,06 μ , 0,03 μ			Lm	32 12	
		F	53		NZ: 1,2 ^s ; 1,3 ^s ; 0,08 μ ,		
					0,07 μ		
	Rac.	Traces			F	33	
(SK)	(SK)	Z	17 51-53		Rac. (SK)	e _{NEZ}	15 31 30,6
					e _Z	39	
16.X		H = 02 ^h 28 ^m 43,5 ^s ; Byt. (GIG): 02 28 43,7; Dąb. (GIG): 02 28 49,3			F	34	
	Kra.	$\Delta = 84$ km		17.X	H = 14 ^h 51 ^m 10,2 ^s ; M = 2,4 (Chorzów)		
(Ch)	(Ch)	ePg _{EZ}	02 29 58,8		Cho. $\Delta = 12$ km		
		eSg _N , iSg _{EZ}	30 10,0	(SK)	eP _{NEZ}	14 51 14,7	
		F	31				
16.X		H = 03 ^h 59 ^m 21,6 ^s ; M = 2,4					

- 159 -

Dates	Station	Phases	G.M.T. h m s	Dates	Station	Phases	G.M.T. h m s
17.X	Cho.	ei _Z	14 51 18,5	21.X	Kra.	ei _{NEZ}	16 13 23,5
(suite)		e _{EZ}	19,9			e _{NE}	14 05,2
		Lm	25			F	15
		NEZ: 0,9 ^s ; 1,5 μ , 2,0 μ ,			Rac.	Traces	
		1,4 μ		(SK)	NEZ	16 13-15	
		F	52				
	Kra.	$\Delta = 71$ km		22.X		$\varphi = 50^{\circ}16,5'$; $\lambda = 19^{\circ}11'$;	
(SKM, Ch)	(SKM, Ch)	eiPg _{NEZ}	14 51 22,5			H = 06 ^h 15 ^m 04,0 ^s ; M = 2,5	
		eiSg _{NEZ}	31,5			(Kraków, Dąbrowa Górnicza);	
		ei _{NEZ}	52,0			Dąb.: eP _{NEZ} 06 15 05,8,	
		F	53			Lm _{NEZ} 1,0 ^s ; 1,7 μ , 2,7 μ ,	
	Ryb.	Traces				3,5 μ ; Byt. (GIG): 06 15	
(SK)	(SK)	NE	14 51-53			09,8	
20.X		$\varphi = 50^{\circ}26'$; $\lambda = 19^{\circ}03'$;			Ryb.	$\Delta = 53$ km	
		H = 23 ^h 04 ^m 43,7 ^s ; M = 2,7		(SK)	i _N , e _Z	06 15 12,4	
		(Chorzów, Dąbrowa Górnicza); Dąb.: eP _{NZ} 23 04			ei _E	13,4	
		47,3, Lm _Z 1,0 ^s ; 1,8 μ			eiSg _E	19,7	
					Lm	36	
					NEZ: 1,0 ^s ; 1,1 μ , 1,6 μ ,		
					0,9 μ		
					F	17	
	Cho.	$\Delta = 16$ km			Rac.		
(SK)	(SK)	iP _{NZ} , eiP _E	23 04 47,1	(SK)	i _N , e _Z	06 15 12,4	
		e _Z	48,4		ei _E	19,7	
		eiS _E	49,6		F	17	
		i _Z	50,5		Kra.	$\Delta = 60$ km	
		Lm	54	(Ch)	ePg _{NEZ}	06 15 15,1	
		EZ: 1,0 ^s ; 2,5 μ , 2,0 μ			iSg _E , eiSg _Z	23,2	
		F	06		e _{EZ}	29,4	
					Lm	53	
	Kra.	$\Delta = 76$ km			NEZ: 1,0 ^s ; 0,09 μ ,		
(SKM)	(SKM)	ePg _{NEZ}	23 04 57,5		0,07 μ , 0,09 μ		
		ei _{NEZ}	05 05,2		F	17	
		e _{NEZ}	06,0				
		eSg _{NEZ}	07,6				
		F	06				
	Ryb.	Z traces		22.X		Byt. (GIG): 11 02 30,3	
(SK)	(SK)	e _E	23 04 59,0		Kra.		
		e _E	05 03,0		(Ch, SKM)	e _{NEZ}	11 02 53,0
		ei _{NE}	08,6			e _{EZ}	57,8
		F	07			F	04
	Rac.	Traces					
(SK)	(SK)	NEZ	23 05-07	25.X		H = 05 ^h 22 ^m 21,3 ^s ; Zab. (GIG): 05 22 22,7; Dąb. (GIG): 05 22 24,8	
21.X		Byt. (GIG): 16 12 58,1;					
		Dąb.: (GIG): 16 13 01,3			Ryb.		
	Ryb.	Z - inactive		(SK)	i _{NE}	05 22 33,4	
(SK)	(SK)	ei _N	16 13 08,3		e _N , ei _E	37,4	
		e _{NE}	11,3		i _E , e _Z	38,6	
		e _{NE}	13,8		F	25	
		F	15		Rac.		
	Kra.	Forte ag. mi.		(SK)	e _{NZ}	05 22 39,5	
(SKM)	(SKM)	ei _{NE}	16 13 21,7				

- 160 -

Dates	Station	Phases	G.M.T. h m s	Dates	Station	Phases	G.M.T. h m s
25.X (suite)	Rac.	e _{NEZ} F	05 22 43,5 25	28.X	Rac. (SK)	Traces NEZ	09 48-50
	Kra. (Ch)	$\Delta = 81$ km ePg _{NEZ} e _{EZ} eSg _{NEZ} e _{NE} , i _Z F	05 22 36,0 44,0 46,8 51,0 24	31.X		Zab. (GIG): 01 37 03,5; Dąb. (GIG): 01 37 05,4; Byt. (GIG): 01 37 - traces	
28.X		H = 09 ^h 47 ^m 58,5 ^s ; Zab. (GIG): 09 48 - traces			Kra. (Ch)	Traces e _Z e _{EZ} F	01 37 13,5 24,0 38
	Kra. (Ch)	$\Delta = 58$ km ePg _{EZ} e _i _{NZ} e _i _{Sg_N} , i _{Sg_{EZ}} F	09 48 09,3 11,8 17,2 49	31.X		Dąb. (GIG): 04 04 11,5	
					Kra. (SKM)	Traces e _{EZ} F	04 04 29,7 05

1965 NOVEMBRE 1965

1.XI		Dąb. (GIG): 21 00 22,9		8.XI		Dąb. (GIG): 10 44 38,5	
	Kra. (SKM)	Traces i _E F	21 00 41,2 01		Kra. (Ch)	Faible e _{NZ} e _i _E , e _Z F	10 44 49,4 57,9 46
5.XI		$\varphi = 50^{\circ}20,3'$; $\lambda = 18^{\circ}46,8'$; H = 00 ^h 30 ^m 05,7 ^s ; h ≤ 1 km; M = 3,1 (Racibórz), 2,9 (Kraków); Zab.: e _{S_{NE}} 00 30 08,0; Byt.: e _{S_N} 00 30 09,7; Dąb. (GIG): 00 30 11,9		8.XI		Byt. (GIG): 20 52 03,2; Dąb. (GIG): 20 52 08,5	
	Kra. (Ch)	$\Delta = 89$ km ePg _{NEZ} e _i _N , i _{EZ} i _{NEZ} e _i _{NEZ} i _{Sg_{NEZ}} Lm NEZ: 1,2 ^s ; 1,3 ^s ; 1,2 ^s ; 0,10 μ , 0,06 μ , 0,06 μ	00 30 21,8 22,5 23,3 32,3 33,6 31 08 32		Kra. (Ch)	Traces e _{NEZ} e _{NZ} F	20 52 28,2 40,5 54
				8.XI		Dąb. (GIG): 23 46 19,5	
	Rac. (SK)	$\Delta = 52$ km e _{NE} e _i _N e _{NZ} Lm NEZ: 2,2 ^s ; 1,5 μ , 1,5 μ , 1,5 μ	00 30 24,8 29,8 31,8 31 19 33		Kra. (SKM)	Traces e _Z eSg _N , e _i _{Sg_{EZ}} e _{EZ} F	23 46 28,0 36,7 47 17,0 48
				10.XI		Byt. (GIG): 00 17 21,8; Dąb. (GIG): 00 17 25,8	
					Kra. (Ch)	Traces e _{EZ} e _i _N F	00 17 45,6 47,1 19
				10.XI		Dąb. (GIG): 05 08 21,1	
					Kra. (Ch)	Traces e _{NZ}	05 08 31,8

- 161 -

Dates	Station	Phases	G.M.T. h m s	Dates	Station	Phases	G.M.T. h m s
10.XI (suite)	Kra.	e _E F	05 08 39,1 10	16.XI	Kra. (Ch)	Faible e _Z e _i _{NEZ} F	06 23 33,7 45,0 25
11.XI		H = 06 ^h 26 ^m 20,3 ^s ; Byt. (GIG): 06 26 21,4; Zab. (GIG): 06 26 21,7; Dąb. (GIG): 06 26 24,4		17.XI		H = 01 ^h 43 ^m 56,2 ^s ; Dąb. (GIG): 01 43 59,7	
	Kra. (Ch)	$\Delta = 77$ km ePg _{NEZ} e _{EZ} eSg _{NEZ} e _{NZ} F	06 26 34,4 39,7 44,7 48,2 28		Kra. (Ch)	$\Delta = 65$ km ePg _{EZ} eSg _{NEZ} e _i _{EZ} e _{NZ} F	01 44 08,2 17,0 18,0 22,2 46
13.XI		Dąb. (GIG) 23 33 02,6			Ryb. (SK)	Traces NEZ	01 44-46
	Kra. (Ch)	Traces NEZ	23 33-34	17.XI		Dąb. (GIG): 09 59 47,9; Byt. (GIG): 10 00 - traces	
14.XI		$\varphi = 50^{\circ}15'$; $\lambda = 18^{\circ}53'$; H = 00 ^h 12 ^m 38,4 ^s ; M = 2,6 (Kraków, Bytom), 2,7 (Zabrze); Zab.: e _{S_E} 00 12 41,6, Lm _{NE} 4,5 μ , 4,4 μ ; Byt.: e _{S_{NE}} 00 12 43,5, Lm _{NE} 6,2 μ , 4,6 μ ; Dąb. (GIG); 00 12 44,6			Kra. (Ch)	Traces e _{EZ} e _{NE} e _{NZ} F	09 59 58,4 59,4 10 00 06,9 01
	Ryb. (SK)	$\Delta = 33$ km eS _{NE} eL _E e _Z F	00 12 49,1 13 03 10,0 15	17.XI		Dąb. (GIG): 12 30 59,2	
	Rac. (SK)	Traces NEZ	00 12-16		Kra. (Ch)	Faible e _{NEZ} i _Z F	12 31 09,3 12,5 32
	Kra. (Ch)	$\Delta = 78$ km ePg _{NEZ} i _{NEZ} e _i _{Sg_{EZ}} Lm NE: 1,2 ^s ; 0,09 μ , 0,08 μ	00 12 52,6 13 02,4 03,0 35	17.XI		Dąb. (GIG): 22 24 31,1	
					Kra. (Ch)	Faible e _i _{NE} e _i _{EZ} e _{NEZ} F	22 24 47,9 48,8 54,7 26
				19.XI		Dąb. (GIG): 00 23 01,4	
					Kra. (Ch)	Traces NEZ	00 23-24
16.XI		Zab. (GIG): 04 00 05		19.XI		Dąb. (GIG): 19 11 37,9	
	Kra. (Ch)	Traces e _Z e _i _Z F	04 00 19,4 30,2 01		Kra. (Ch)	Traces e _{EZ} e _Z i _N e _{EZ} F	19 11 40,6 44,8 47,8 49,8 13
16.XI		Dąb. (GIG): 06 23 20,0					

- 162 -

Dates	Station	Phases	G.M.T. h m s	Dates	Station	Phases	G.M.T. h m s
20.XI		H = 03 ^h 11 ^m 42,9 ^s ; M = 2,2 (Kraków); Dąb. (GIG): 03 11 48,1, Zab. (GIG): 03 11 - traces		22.XI	Kra. (Ch)	Traces NEZ	01 04-06
	Kra. (Ch)	$\Delta = 75$ km ePg _{EZ} eSg _N , iSg _E , eiSg _Z ei _{NEZ} Lm NEZ: 1,2 ^s ; 0,03 μ , 0,03 μ , 0,03 μ F	03 11 56,6 12 06,6 15,1 35	22.XI	Byt. (GIG): 13 00 34,6; Dąb. (GIG): 13 00 39,6		
	Ryb. (SK)	Traces NEZ	03 12-14		Kra. (Ch)	e _{EZ} i _{EZ} ei _Z e _{NZ} F	13 00 46,1 49,2 51,1 01 01,5 02
20.XI		$\varphi = 50^{\circ}22'$; $\lambda = 18^{\circ}48'$; H = 16 ^h 06 ^m 44,6 ^s ; M = 2,7 (Kraków); Zab.: eP _N 16 06 46,3; Byt.: eS _E 16 06 47,9; Dąb. (GIG): 16 06 51,6		23.XI	Ryb. (SK)	Traces NE	13 01-02
	Ryb. (SK)	$\Delta = 41$ km eSg _{NZ} , eiSg _E e _{NE} eL _{NE} F	16 06 57,8 07 02,9 16,0 10	23.XI	Dąb. (GIG): 00 38 39,9		
	Kra. (Ch)	$\Delta = 89$ km ePg _{NEZ} e _{EZ} eiSg _{NEZ} Lm NEZ: 1,2 ^s ; 1,2 ^s ; 1,5 ^s ; 0,07 μ , 0,07 μ , 0,03 μ F	16 07 00,7 03,3 12,5 48	23.XI	Kra. (Ch)	e _{EZ} e _N e _{EZ} ei _R F	00 38 07,6 08,5 08,9 11,6 39
	Rac. (SK)	$\Delta = 58$ km eSg _{NEZ} e _{EZ} F	16 07 02,8 05,7 09	23.XI	Dąb. (GIG): 02 01 13,3		
21.XI		Dąb. (GIG): 12 51 42,7			Kra. (Ch)	Traces NEZ	02 01-03
	Kra. (Ch)	e _{EZ} i _Z i _{NZ} , ei _E i _Z F	12 51 33,5 36,6 37,2 38,7 53	23.XI	$\varphi = 50^{\circ}21'$; $\lambda = 18^{\circ}53'$; H = 08 ^h 53 ^m 42,8 ^s ; M = 2,9 (Kraków, Racibórz); Zab.: eS _E 08 53 46,7; Byt. (GIG): 08 53 46,9; Dąb.: eS _{EZ} 08 53 50,4		
22.XI		Dąb. (GIG): 01 03 45,6			Rac. (SK)	$\Delta = 57$ km ePg _Z e _{NE} eSg _{NE} e _Z Lm NEZ: 2,0 ^s ; 2,0 ^s ; 1,5 ^s ; 1,0 μ , 0,9 μ , 0,6 μ F	08 53 52,9 54,7 54 00,6 07,8 54
	Ryb. (SK)	e _{EZ} i _N , e _Z F	08 53 53,6 57,1 54 02,0 56		Kra. (Ch)	$\Delta = 83$ km ePg _{EZ} e _E	08 53 58,2 54 04,7

- 163 -

Dates	Station	Phases	G.M.T. h m s	Dates	Station	Phases	G.M.T. h m s
23.XI (suite)	Kra.	eiSg _{NEZ} ei _{NEZ} Lm NEZ: 1,0 ^s ; 1,0 ^s ; 1,3 ^s ; 0,11 μ , 0,08 μ , 0,07 μ F	08 54 09,2 10,7 47	25.XI	Kra. (Ch)	$\Delta = 83$ km ePg _Z e _{NZ} , ei _E eSg _{NZ} , ei _E Lm NEZ: 1,2 ^s ; 1,0 ^s ; 1,2 ^s ; 0,09 μ , 0,10 μ , 0,07 μ F	15 24 16,4 18,6 27,4 59
23.XI	Byt. (GIG): 16 24 47,5; Dąb. (GIG): 16 24 53,4				Rac. (SK)	Faible e _{NEZ} eL _{NEZ} F	15 24 25,0 34 28
24.XI		H = 05 ^h 55 ^m 50,8 ^s ; M = 2,5 (Kraków); Dąb.: eP _Z 05 55 54,0; Byt. (GIG): 05 55 57,5		26.XI	Zab. (GIG): 01 45 24,3; Dąb.: (GIG): 01 45 31,7		
	Ryb. (SK)	$\Delta = 47$ km eiPg _{EZ} e _{NZ} e _{NE} F	05 55 59,6 56 11,5 21,9 58		Kra. (Ch)	Faible ei _{NEZ} ei _E e _N , i _Z F	01 45 50,4 53,4 55,0 47
	Kra. (Ch)	$\Delta = 71$ km ePg _N , eiPg _{EZ} eSg _N , iSg _{EZ} Lm NE: 1,2 ^s ; 0,07 μ , 0,07 μ F	05 56 03,8 13,3 42 58	27.XI	Zab. (GIG) 06 55 33,3; Dąb. (GIG): 06 55 37,6		
	Rac. (SK)	Traces EZ	05 56-58		Kra. (Ch)	e _{NEZ} e _{EZ} e _{NEZ} F	06 55 47,0 57,4 56 29,1 57
24.XI		H = 08 ^h 29 ^m 29,8 ^s ; Dąb. (GIG): 08 29 35,6; Byt. (GIG): 08 29 45,8			Ryb. (SK)	Traces NEZ	06 55-57
	Kra. (Ch)	$\Delta = 83$ km ePg _N , iPg _{EZ} ei _Z eiSg _{NE} , iSg _Z F	08 29 44,8 52,3 55,8 31	27.XI	Dąb. (GIG): 20 48 10,0		
25.XI		$\varphi = 50^{\circ}22'$; $\lambda = 18^{\circ}55'$; H = 15 ^h 24 ^m 01,4 ^s ; M = 2,7 (Kraków); Zab.: eS _E 15 24 05,7; Dąb.: eS _E 15 24 08,8			Kra. (SKM)	N - illisible e _E e _{EZ} e _{EZ} Lm E: 1,5 ^s ; 0,05 μ F	20 48 37,3 42,1 49,9 49 08 50
	Ryb. (SK)	$\Delta = 43$ km eSg _{NEZ} e _{NZ} e _{NZ} F	15 24 15,0 19,5 33,5 27	29.XI	Dąb. (GIG): 17 08 44,4		
	Kra. (Ch)	Traces NEZ	17 08-10				

Dates	Station	Phases	G.M.T. h m s	Dates	Station	Phases	G.M.T. h m s
1965				1965			
D E C E M B R E							
1.XII		$\varphi = 50^{\circ}22'$; $\lambda = 18^{\circ}49'$; $H = 10^h 51^m 03,1^s$; $M = 2,8$ (Kraków, Racibórz); Zab.: $eP_E 10 51 04,7$; Byt.: eS_E $10 51 05,9$; Dąb.: $eP_E 10$ $51 09,5$		2.XII	Ryb.	i_N, ei_Z ei_{NEZ} F	13 38 12,5 18,4 39
	Ryb.	$\Delta = 42$ km			Kra.	Forté ag. m1.	
	(SK)	$ei_{Pg_{NEZ}}$ 10 51 11,1 ei_{NEZ} 12,5 iSg_N, eSg_{EZ} 16,9 F 53			(Ch)	e_{NEZ} 13 38 14,1 F 40	
	Rac.	$\Delta = 55$ km			Rac.	Traces	
	(SK)	e_{NZ} 10 51 14,6 eSg_{NEZ} 20,8 e_Z 24,1 ei_N 25,8 Lm 52 15 NEZ: $1,8^s$; $1,0\mu$, $0,8\mu$, $0,7\mu$ F 54		3.XII		$H = 20^h 14^m 31,0^s$; Byt.: $eP_E 20 14 33,9$; Dąb. (GIG): $20 14 36,0$; Zab. (GIG): $20 14 -$ traces	
	Kra.	$\Delta = 88$ km			(Ch)	$eP_{g_{NEZ}}$ 20 14 44,7 ei_{NZ} 54,3 eSg_{NEZ} 54,7 i_Z 58,5 F 16	
	(Ch)	$eP_{g_{NE}}, ei_{Pg_Z}$ 10 51 19,0 e_{NEZ} 21,3 iSg_{EZ} 30,7 Lm 52 04 NEZ: $1,5^s$; $0,14\mu$, $0,09\mu$, $0,07\mu$ F 53			Kra.	$\Delta = 75$ km	
	Cho.	$\Delta = 15$ km			(SK)	e_{NEZ} 20 14 52,0 ei_{EZ} 53,0 Lm 55 NEZ: $0,9^s$; $2,0\mu$, $2,0\mu$, $2,0\mu$ F 15 25	
	(SK)	e_{EZ} 10 51 21,5 e_N 21,8 i_Z 26,0 Lm 29 NEZ: $0,9^s$; $2,0\mu$, $2,5\mu$, $2,0\mu$ F 52			Ryb.	Traces	
					(SK)	NEZ 20 14-16	
2.XII		Dąb. (GIG): 13 37 55,7, Zab. (GIG): 13 37 - traces		7.XII	Rac.	Traces	
	Cho.				(SK)	Z 20 15-17	
	(SK)	i_N 13 38 09,0 e_E, i_Z 09,8 Lm 13 EZ: $1,0^s$; $3,5\mu$, $3,5\mu$ F 39			Dąb. (GIG): 05 42 59,0		
	Ryb.				Kra.		
	(SK)	ei_E 13 38 11,5			(Ch)	e_{EZ} 05 43 07,6 e_{NEZ} 15,5 i_Z 18,8 e_{NEZ} 20,4 F 45	
					Ryb.	Traces	
					(SK)	NEZ 05 43-45	
					Rac.	Traces	
					(SK)	NEZ 05 43-45	
				8.XII		$H = 00^h 25^m 10,6^s$; $M = 2,6$ (Racibórz)	
					Ryb.	$\Delta = 18$ km	
					(SK)	$ei_{P_{NEZ}}$ 00 25 14,4	

Dates	Station	Phases	G.M.T. h m s	Dates	Station	Phases	G.M.T. h m s
8.XII (suite)	Ryb.	i_{NZ} i_E i_{EZ} Lm	00 25 15,4 16,2 21,6 25	14.XII	Kra.	eSg_{NEZ} e_{NZ} i_N F	12 56 42,2 47,1 57,4 58
		NEZ: $0,8^s$; $3,1\mu$, $3,5\mu$, $3,1\mu$			Ryb.	Traces	
		F 27			(SK)	NEZ 12 56-58	
	Rac.	$\Delta = 32$ km		14.XII		Dąb. (GIG): 17 04 51,8	
	(SK)	eP_{NEZ} 00 25 16,8 e_N 17,8 eS_{NEZ} 21,3 ei_E, e_{NZ} 27,3 Lm 26 02 NEZ: $1,5^s$; $0,8\mu$, $0,8\mu$, $0,7\mu$ F 28			Ryb.	Traces	
	Kra.	$\Delta = 98$ km			(SK)	e_{NEZ} 17 04 56 F 06	
	(Ch)	e_{EZ} 00 25 30,5 e_{NEZ} 33,4 eSg_{NE} 44,6 F 27			Kra.		
11.XII		$H = 12^h 05^m 41,4^s$; Byt. (GIG): 12 05 42,8; Dąb. (GIG): 12 05 45,6			(Ch)	ei_{NEZ} 17 05 10,2 i_N, e_{EZ} 15,4 e_{NE} 29,1	
	Kra.	$\Delta = 76$ km		14.XII		$\varphi = 50^{\circ}21'$; $\lambda = 18^{\circ}53'$; $H = 20^h 37^m 25,6^s$; $M = 2,5$ (Kraków, 2,2 (Chorzów, Bytom); Byt.: $eP_E 20 37$ $26,8$, $Lm_{NE} 13,3\mu$, $4,6\mu$; Zab.: $eS_N 20 37 29,4$; Dąb. (GIG): 20 37 29,8	
	(Ch)	$ei_{Pg_{EZ}}$ 12 05 55,3 e_{NZ} 57,8 ei_E, e_Z 06 03,0 $eSg_N, eiSg_{EZ}$ 05,5 F 08			Cho.	$\Delta = 10$ km	
					(SK)	eS_{NE}, iS_Z 20 37 29,6 Lm 37 EZ: $1,0^s$; $2,0\mu$, $1,2\mu$ Lm 40 N: $0,8^s$; $2,1\mu$ F 39	
14.XII		$\varphi = 50^{\circ}20,5'$; $\lambda = 18^{\circ}52,5'$; $H = 12^h 56^m 16,6^s$; $M = 2,2$ (Chorzów, Zabrze), 2,1 (Bytom); Bobrek: iP_{NEZ} $12 56 17,2$, eiS_{NEZ} 17,7; Byt.: $eS_N 12 56 18,6$, Lm_{NE} $10,4\mu$, $5,7\mu$; Zab.: eS_{NE} $12 56 19,4$, $Lm_{NE} 2,7\mu$, $2,8\mu$			Kra.	$\Delta = 83$ km	
					(Ch)	$eP_{g_{EZ}}$ 20 37 40,6 eSg_{NEZ} 51,6 Lm 38 23 NE: $1,1^s$; $0,06\mu$, $0,03\mu$ F 39	
	Cho.	$\Delta = 9$ km			Ryb.	Traces	
	(SK)	eS_{NE}, iS_Z 12 56 20,2 Lm 27 EZ: $0,8^s$; $1,5\mu$, $1,2\mu$ Lm 30 N: $0,8^s$; $2,0\mu$ F 57 07			(SK)	NE 20 37-39	
	Kra.	$\Delta = 82$ km		14.XII			
	(Ch)	ei_{Pg_E}, eP_{g_Z} 12 56 31,3			Kra.	Faible	
					(Ch)	e_{NEZ} 21 45 57,0 e_{NEZ} 46 01,1 F 47	
					Ryb.	Traces	
					(SK)	NEZ 21 45-47	
				15.XII		Dąb. (GIG): 12 00 42,1	

Dates	Station	Phases	G.M.T. h m s	Dates	Station	Phases	G.M.T. h m s
15.XII (suite)	Rac. (SK)	Z traces e _{NE} e _E e _N F	12 00 21,4 25,2 28,1 03	21.XII	Dąb. (GIG):	21 15 35,6	
	Kra. (Ch)	e _{EZ} e _{EZ} e _{iNZ} e _{iEZ} F	12 00 25,4 37,1 52,3 54,3 02		Kra. (Ch)	Faible e _{NZ} e _{EZ} e _E F	21 15 52,8 16 02,2 06,4 17
	Ryb. (SK)	e _{iN} , e _{iE} e _N , e _{iE} F	12 00 29,1 36,1 02	23.XII	Byt. (GIG):	03 44 14,1;	
18.XII		Dąb. (GIG):	02 20 13,3		Dąb. (GIG):	03 44 18,8;	
	Kra. (SKM, Ch)	e _{EZ} e _{NZ} e _{NE} F	02 20 18,7 30,5 33,7 22		Zab. (GIG):	03 44 - traces	
19.XII		$\varphi = 50^{\circ}20'$; $\lambda = 18^{\circ}51'$; H = $18^{\text{h}}16^{\text{m}}36,6^{\text{s}}$, h \approx ≈ 8 km; M = 2,7 (Kraków), 2,5 (Zabrze); Bobrek: e _{P_N} 18 16 38,7; Zab.: e _{P_N} 18 16 38,8, e _{S_N} 40,4, L _{mNE} 3,6 μ , 3,3 μ ; Byt.: e _{P_N} 18 16 38,9; Dąb.: e _{P_N} 18 16 42,1		27.XII	Byt. (GIG):	13 23 23,4;	
	Ryb. (SK)	$\Delta = 38$ km, Z - illisible e _{P_{NE}} e _{NE} F	18 16 48,8 51,9 18		Dąb. (GIG):	13 23 24,6	
	Kra. (Ch)	$\Delta = 84$ km e _{P_{G_{EZ}}} e _N , e _{iZ} e _{S_{G_{EZ}}} e _{EZ} L _m NEZ: 1,1 ^s ; 1,3 ^s ; 1,3 ^s ; 0,09 μ , 0,05 μ , 0,04 μ	18 16 51,9 56,0 17 03,1 06,1 38		Cho. (SK)	e _{NEZ} L _m F	13 23 19,3 22 24
	Rac. (SK)	Traces e _Z F	18 17 08,0 20		Kra. (Ch)	e _{NEZ} e _Z e _{iE} F	13 23 34,1 43,7 47,4 25
				28.XII	Ryb. (SK)	Traces NE	13 23-25
					Byt. (GIG):	04 17 37,5	
					Ryb. (SK)	e _{NEZ} e _{NEZ} e _{NEZ} F	04 17 42,0 46,7 52,1 19
					Kra. (Ch)	e _{NE} e _{iEZ} e _{iE} e _{iNZ} F	04 17 56,4 57,4 59,9 18 00,8 19
					Rac. (SK)	Traces EZ	04 18-20

Dates	Station	Phases	G.M.T. h m s	Dates	Station	Phases	G.M.T. h m s
28.XII		$\varphi = 50^{\circ}18,6'$; $\lambda = 18^{\circ}51,1'$; H = $17^{\text{h}}30^{\text{m}}02,4^{\text{s}}$, h \approx 3-4 km; M = 2,2 (Zabrze); Zab.: e _{P_N} 17 30 03,7, L _{m_N} 5,7 μ ; Byt. (GIG): 17 30 07,1; Dąb.: e _{P_E} 17 30 08,0		30.XII	Bobrek: e _{P_{EZ}}	12 42 13,2, e _{S_E} , i _{S_Z} 14,0, Dąb. (GIG): 12 42 17,7	
	Ryb. (SK)	$\Delta = 36$ km e _{S_{NEZ}} e _{NEZ} F	17 30 14,0 33,0 32		Cho. (SK)	$\Delta = 10$ km e _{P_N} , e _{iP_{EZ}} L _m NEZ: 0,6 ^s ; 2,0 μ , 2,0 μ , 2,0 μ	12 42 14,8 19 43
	Kra. (Ch)	$\Delta = 83$ km e _{P_{G_{NEZ}}} e _{S_{G_{NE}}} , e _{iS_{G_Z}} F	17 30 17,4 28,4 32		Kra. (Ch)	$\Delta = 82$ km e _{iP_{G_N}} , e _{P_{G_{EZ}}} e _{NZ} e _{S_{G_{NEZ}}} F	12 42 27,8 36,3 38,1 44
29.XII		H = $04^{\text{h}}38^{\text{m}}09,5^{\text{s}}$; M = 2,5 (Kraków), 2,7 (Chorzów); Dąb.: e _{P_N} 04 38 12,2; Byt. (GIG): 04 38 16,7			Ryb. (SK)	Traces NEZ	12 42-44
	Cho. (SK)	$\Delta = 20$ km e _{P_{NEZ}} e _{S_Z} i _Z L _m NEZ: 1,0 ^s ; 2,0 μ , 1,5 μ , 1,5 μ	04 38 13,8 16,8 18,6 23 39		Rac. (SK)	Traces Z	12 42-44
	Kra. (Ch)	$\Delta = 65$ km e _{P_{G_{NEZ}}} e _{NZ} , e _{iE} e _{iS_{G_{EZ}}} L _m NEZ: 1,0 ^s ; 0,09 μ , 0,09 μ , 0,06 μ	04 38 21,3 28,8 30,1 52 40	31.XII	H = $05^{\text{h}}54^{\text{m}}51,5^{\text{s}}$; Byt. (GIG): 05 54 52,1; Dąb.: e _{P_{EZ}} 05 54 56,1; Zab. (GIG): 05 54 - traces		
	Ryb. (SK)	Traces NEZ	04 38-40		Cho. (SK)	$\Delta = 5$ km e _{iP_{G_Z}} e _{NE} e _{S_{G_Z}} i _Z F	05 54 52,9 53,5 53,9 58,5 56
30.XII		$\varphi = 50^{\circ}21'$; $\lambda = 18^{\circ}53'$; H = $12^{\text{h}}42^{\text{m}}12,3^{\text{s}}$; h \approx 1 km; M = 2,6 (Chorzów); Byt.: e _{P_N} 12 42 13,1;			Kra. (Ch)	$\Delta = 79$ km e _{P_{G_{NEZ}}} e _{NEZ} e _{S_{G_{NEZ}}} F	05 55 05,8 08,3 16,3 57
	Ryb. (SK)	Traces NEZ	04 38-40		Ryb. (SK)	e _{NE} e _Z F	05 55 09,2 22,5 57

TABLE DES MATIÈRES

Introduction	3
Constantes des séismographes	4
Résultats des enregistrements des tremblements de terre di- stants	21
Résultats des enregistrements des secousses souterraines plus fortes en Haute Silésie	117